

# LA FIGURE DE VECTEN

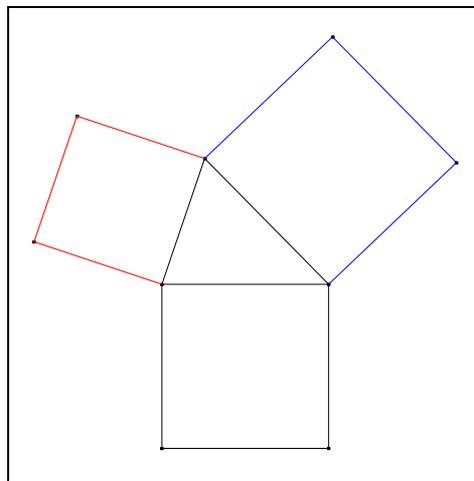
## ÉTUDE

i.e.

**PRENDRE – COMPRENDRE - SE LAISSER PRENDRE**

†

Jean-Louis AYME



### Résumé.

Nous présentons une étude concernant la figure dite du "Moulin à vent", initiée par Vecten en 1817. Dans l'acte de "prendre", nous avons tenté de répertorier d'une façon non exhaustive, tous les résultats concernant aussi bien l'aspect extérieur que l'aspect intérieur de cette figure ; ensuite, dans celui de "comprendre", nous envisageons des résultats reflétant la liaison entre l'aspect extérieur et l'aspect intérieur de la figure ; et, enfin, dans celui de "se laisser prendre", nous laissons au lecteur le soin de le vivre et d'aller plus haut...

La présentation sous la forme d'une longue histoire contée où les hypothèses et les notations restent inchangées figure après figure, a pour ambition d'amener le lecteur "à voler de ses propres ailes". Des exercices sous forme d'application ou d'ouverture sont proposés. L'article peut être amélioré en amenant des preuves plus souples, plus naturelles et moins alambiquées...

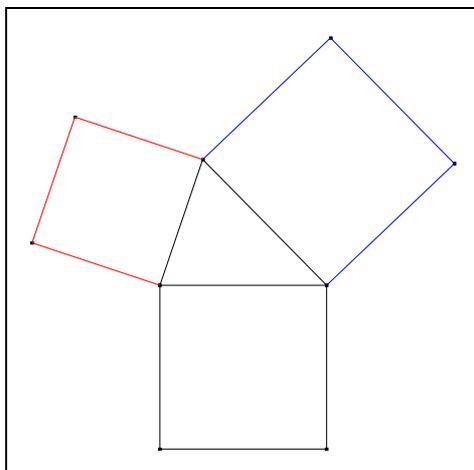
Les figures sont toutes en position générale et tous les théorèmes cités peuvent tous être démontrés synthétiquement.

### Avertissement :

à la fin de chaque partie, une figure récapitulant les notations par rapport à un sommet est présentée.

Sommaire	
I. La figure dite du "Moulin à vent"	3
II. Vecten	4
A. "PRENDRE"	
III. Les quatre premières propositions de Vecten	5
1. Un lemme	5
2. La proposition 2	9
3. La proposition 3	10
4. La proposition 1	12
5. Un triangle rectangle-isocèle	14
6. Un résultat de Joseph Neuberg	20
7. La proposition 4 ou le premier point de Vecten	25
8. Figure récapitulant les notations par rapport à A	27
IV. Un triangle bordé de trois carrés	28
1. Un résultat d'Antreas Hatzipolakis	28
2. Un résultat de Darij Grinberg	31
3. Un résultat de l'auteur	33
4. Un résultat de Paul Yiu	36
5. Deux parallèles	38
6. Deux triangles égaux	40
7. Figure récapitulant les notations par rapport à A	43
V. Le moulin à vent bordé de flancs ou la figure de Vecten	44
1. D'une hauteur à une médiane	44
2. Un carré de Finsler-Hadwiger	47
3. Un premier résultat de Victor Thébault	52
4. Un deuxième résultat de Victor Thébault	54
5. Un troisième résultat de Victor Thébault	58
6. La proposition 5 de Vecten	60
7. Le point $X_{1131}$	61
8. Figure récapitulant les notations par rapport à A	63
VI. La figure de Vecten bordée de parallélogrammes	64
1. Un résultat du Dr. Porson	64
2. Un triangle rectangle-isocèle	68
3. Un résultat de Joseph Neuberg	69
4. Un résultat d'Oene Bottema	71
5. Un résultat de l'auteur	84
6. Figure récapitulant les notations par rapport à A	87
VII. Deux triangles remarquables	87
1. Le triangle de Grebe de ABC	87
2. Nature géométrique de $A\#$	93
3. Un autre triangle ou le triangle $A''B''C''$	94
4. Les triangles IJK et $A''B''C''$	99
VIII. La figure de Vecten bordée de carrés	102
1. D'une médiane à une hauteur	102
2. La proposition 6 de Vecten	103
3. Un résultat de Floor van Lamoen	105
4. Un résultat de van Aubel	107
5. Un résultat d'Oene Bottema	109
6. Un résultat de Niyland	115
7. Exercice : un san Gaku de 1826	117
B. "COMPRENDRE"	
1. La droite de Vecten	119
2. Une reformulation du résultat IV. 3	120
3. Un résultat de Cosmin Pohoata	121
4. La droite de Vecten passe par le point de Lemoine	123
5. La droite de Vecten passe par le centre du cercle d'Euler	126
6. Un résultat de l'auteur	128
C. "SE LAISSER PRENDRE"	
1. L'équivalence de Hatzipolakis-Thébault	130
2. Un résultat de Floor van Lamoen	134
D. ANNEXE	

## I. LA FIGURE DITE DU "MOULIN À VENT"



La première trace de cette figure que l'on obtient en construisant des carrés sur chaque côté d'un triangle rectangle, apparaît au III-ième siècle avant J.-C. chez Euclide<sup>1</sup> d'Alexandrie lors de la première démonstration du théorème de Pythagore.

Elle réapparaît dans le cas d'un triangle quelconque au IV-ième siècle de notre ère chez Pappus<sup>2</sup> d'Alexandrie, au IX-ième siècle chez Thabit ibn Qurra<sup>3</sup>, au XIII-ième siècle chez at-Tusi<sup>4</sup> lors de sa traduction en arabe des *Éléments* d'Euclide, au XIV-ième siècle chez le persan al-Kaschi<sup>5</sup>, au XV-ième siècle chez Leonard de Vinci<sup>6</sup> cité par Howard Eves<sup>7</sup>, au XIX-ième siècle chez Vecten et au XX-ième siècle chez Victor Thébault<sup>8</sup> à qui l'on doit le titre de ce paragraphe.

Au cours des siècles, cette "image pythagoricienne" qui a attiré un assez grand nombre de géomètres, a pris différents noms, le plus populaire étant la chaise de la mariée (bride's chair) chez les grecs et les indous, les lignes principales rappelant celle de la chaise drapée de la mariée lors de la cérémonie du mariage. D'autres noms sont apparus comme le capuchon des franciscains (the Franciscan's cowl) rappelant la forme stylisée d'un A, la queue du paon (the peacock's tail) ou d'une façon plus pragmatique, le pantalon pythagorien (Pythagorean pants) en Russie. De ce folklore mathématique, un nom semble aujourd'hui s'imposer à savoir celui du moulin à vent (windmill) en raison de ce qu'elle peut évoquer quand on la regarde.

Pour plus de précision, rappelons que l'historien des mathématiques Florian Cajori<sup>9</sup> considère que "la chaise de la mariée" résulte d'une erreur de traduction du mot grec  $\nu\omicron\mu\phi\eta$  qui s'appliquait au théorème de Pythagore et qui admet deux significations à savoir "mariée" ou bien "insecte ailé". Toujours selon Cajori, l'écrivain byzantin du XIII-ième siècle, Beha ed-Dîn préféra probablement par respect à Pythagore, à en prendre le premier sens.

Pour terminer, cette figure a provoqué un assez grand nombre d'étude qui ont été répertoriées pour la première fois par l'historien John Sturgeon Mackay<sup>10</sup> d'Édimbourg (France) en 1894.

<sup>1</sup> Euclide (~325 - ~265 av J.-C.), *Éléments*, Livre I, proposition 47.

<sup>2</sup> Pappus (vers l'an 300), Collections IV.

<sup>3</sup> Thabit ibn Qurra (826-901).

<sup>4</sup> at Tusi (1201-1274), Éditions arabes d'Euclide, Rome (1594).

<sup>5</sup> al-Kaschi (1380-1429).

<sup>6</sup> Vinci (de) L. (1451-1519) ; Eves H.

<sup>7</sup> Eves H., *Great Moments in Mathematics before 1650*, MAA (1983).

<sup>8</sup> Thébault, V., Triangle bordé de carrés. *Mathesis* 65, 423-426 (1956).

<sup>9</sup> Cajori F. (1859-1930), *American Mathematical Monthly* f6, n° 3 (1899) 72.

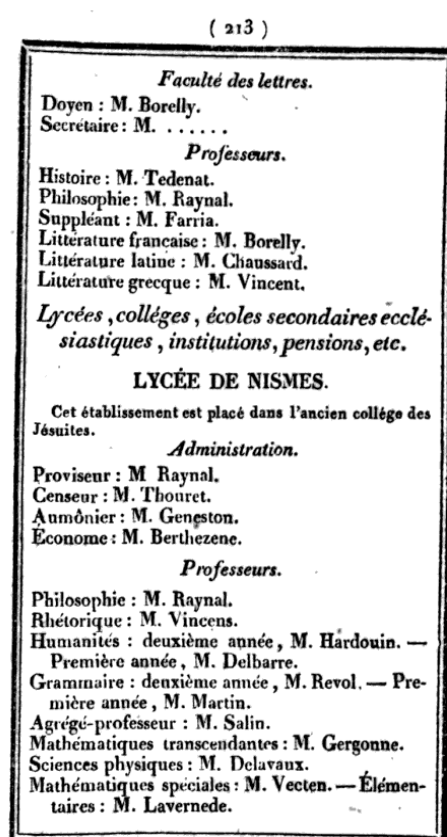
<sup>10</sup> Mackay J. S., *L'intermédiaire de Mathématiciens* (1894) 254, n° 120.

## II. VECTEN

*Un géomètre inconnu*

"Il est vrai que Vecten, qui a pourtant publié pas moins de 22 articles de 1810 à 1824 dans les *Annales* de Gergonne, est en quelque sorte un "inconnu" : on sait seulement qu'il a été dans les années 1810-1816 professeur au lycée impérial de Nîmes, c'est à dire dans le même établissement que Gergonne"<sup>11</sup> que ce dernier quitta en 1816 pour le Collège Royal de Montpellier en 1816.

Pour l'histoire, l'établissement où enseignait Vecten est l'héritier de l'Université de Nîmes, fondée par François 1er en 1539, qui est devenu Collège des Jésuites en 1670, École centrale en 1798, Lycée impérial le 6 mai 1803 organisé sur le modèle militaire où les élèves portent un uniforme et dont leur bataillon figure dans les revues et cérémonie officielles, Collège Royal en 1815 et, enfin, Lycée. Au cours du XX-ième siècle, celui-ci prendra le nom d'un écrivain du pays à savoir Alphonse Daudet.



Almanach<sup>12</sup> de l'université impériale de 1812

En France, Vecten est connu pour avoir été le premier au début du XIX-ième siècle, à étudier le "Moulin à vent". Pour être plus précis, rappelons que ce professeur de mathématiques spéciales, licencié ès sciences, ami intime de Joseph Diaz Gergonne, ancien professeur<sup>13</sup> en 1816, a laissé sa trace sous la forme d'articles dans les *Annales* de Gergonne 1, 2, 9, 14 et 15. Notons que dans les *Annales* 9, Vecten propose une série de situations aussi bien dans le triangle que dans le quadrilatère mettant en jeu des points alignés qu'il traite avec art à l'aide du théorème de Ménélaüs.

Christian Gerini<sup>14</sup> de l'Université du Sud à Toulon (Var, France) écrit au sujet de l'époque de Vecten :

<sup>11</sup> Gerini C.; <http://www.les-mathematiques.net/phorum/read.php?17,501879>.

<sup>12</sup> [books.google.fr](http://books.google.fr)

<sup>13</sup> Vecten, *Annales* de Gergonne (1816-1817).

<sup>14</sup> [gerini@univ-tln.fr](mailto:gerini@univ-tln.fr).

"A son époque, de nombreux professeurs étaient directement embauchés par les municipalités et, si leur carrière ne durait pas trop longtemps, le ministère ne leur versait pas de pension de retraite, d'où l'absence de dossiers les concernant dans le fonds F17 des Archives Nationales.

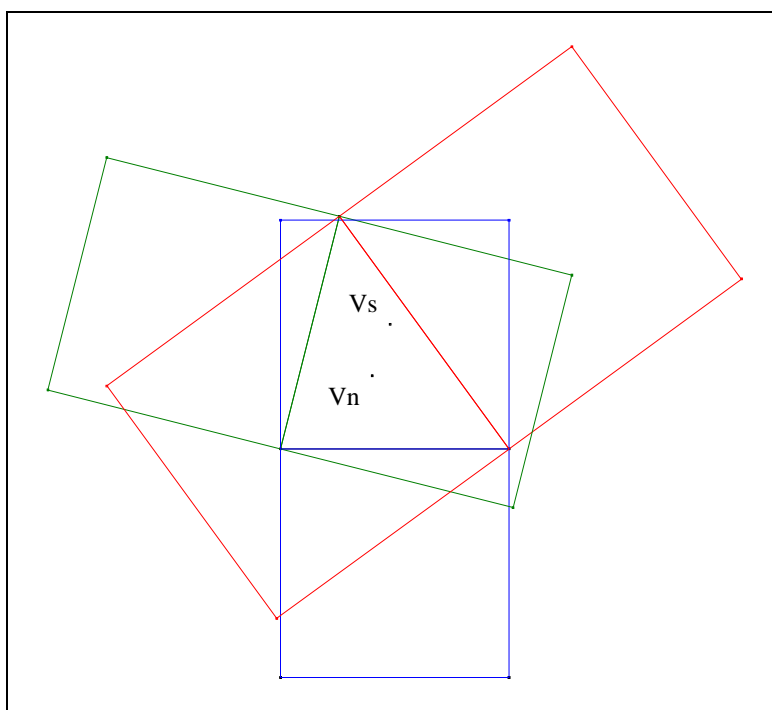
Mais alors, il y a des chances de trouver aux Archives Municipales ou aux Archives Départementales de leur lieu d'exercice un dossier de liquidation de pension".

**"PRENDRE"**

**LES DEUX PÔLES**

**DU**

**RESBIS**



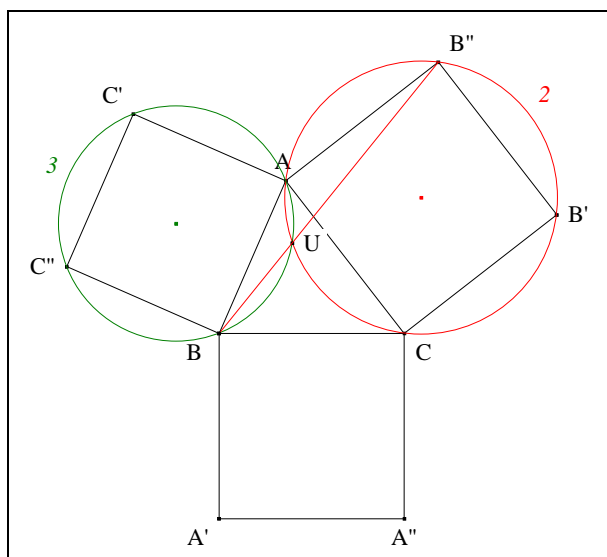
*Lorsque deux aspects semblent s'opposer,  
le géomètre devra croire en tous les deux...*

### III. LES QUATRE PREMIÈRES PROPOSITIONS DE VECTEN

#### 1. Un lemme

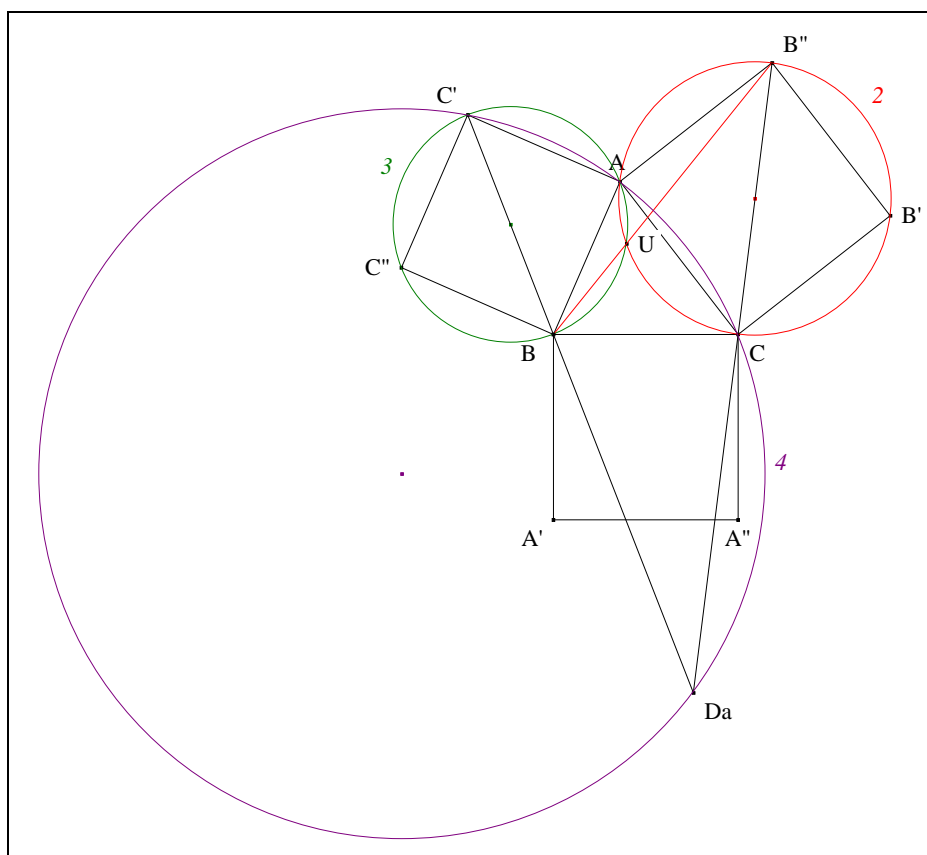
**VISION**

**Figure :**



- Traits :**  $ABC$  un triangle,  
 $CB'B''A, AC''C''B, BA'A''C$  trois carrés resp. extérieurs à  $ABC$ ,  
 2, 3 les cercles circonscrits resp. à  $CB'B''A, AC''C''B$   
 et  $U$  le second point d'intersection de 2 et 3.
- Donné :**  $B, U$  et  $B''$  sont alignés.

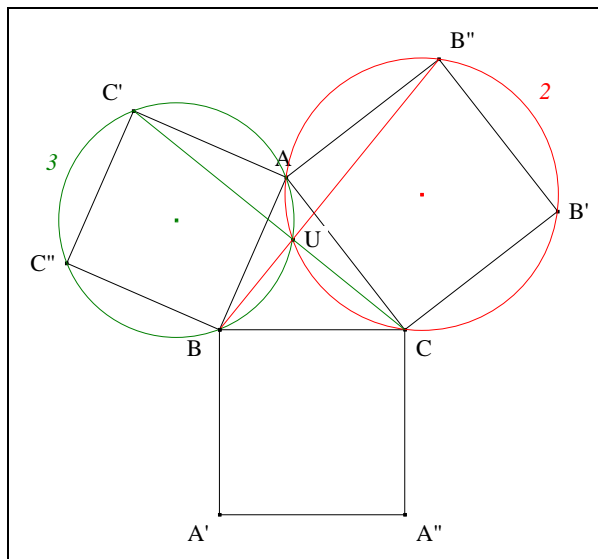
### VISUALISATION



- Notons  $Da$  le point d'intersection de  $(BC)$  et  $(CB'')$ .

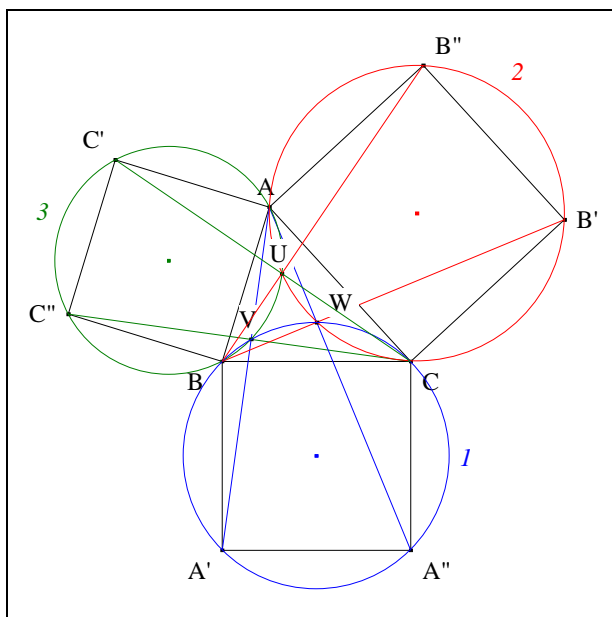
- Les triangles  $ACB''$  et  $ABC'$  étant rectangles-isocèles, sont semblables ; en conséquence, le quadrilatère  $AC'DaC$  ayant les angles opposés en  $C$  et  $C'$  supplémentaires, est cyclique.
- Notons  $4$  ce cercle.
- **Conclusion :** d'après Miquel "Le théorème du pivot" (Cf. Annexe 1) appliqué au triangle  $BDB''$  et aux cercles 3, 4 et 2,  $B, U$  et  $B''$  sont alignés.

**Scolies :** (1) un autre alignement



- **Conclusion :** mutatis mutandis, nous démontrerions que  $C, U$  et  $C'$  sont alignés.

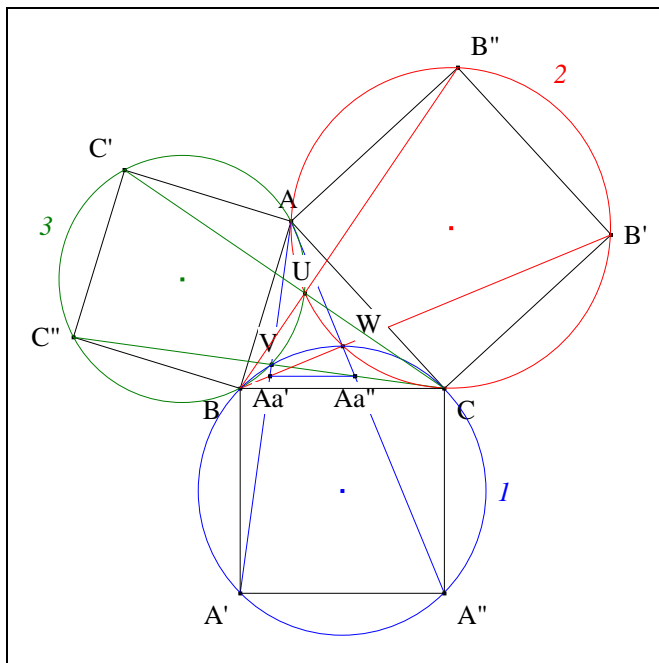
(2) Vision triangulaire



- Notons  $I$  les cercles circonscrits resp. à  $BA'A''C$
- et  $V, W$  les seconds points d'intersection resp. de 3 et 1, de 1 et 2.

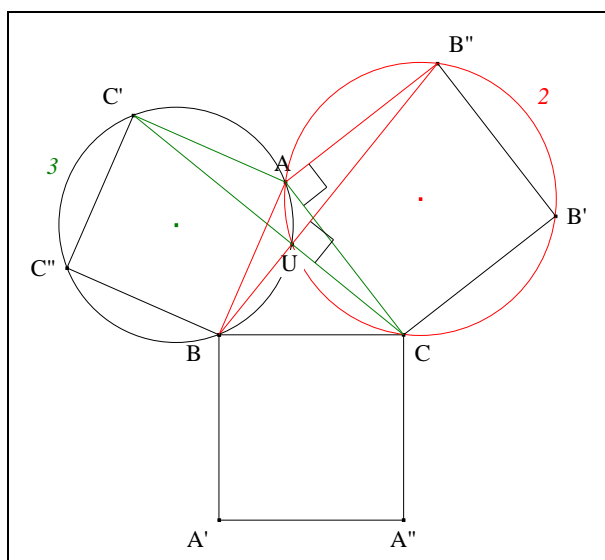
- **Conclusion** : mutatis mutandis, nous montrerions que
  - \*  $C, V$  et  $C''$  sont alignés
  - \*  $A, V$  et  $A'$  sont alignés
  - \*  $A, W$  et  $A''$  sont alignés
  - \*  $B, W$  et  $B'$  sont alignés.

(3) Deux parallèles



- Notons  $Aa', Aa''$  les points d'intersection resp. de  $(AA')$  et  $(BB')$ , de  $(AA'')$  et  $(CC'')$ .
- **Conclusion** : d'après "Un résultat d'Aubert" (Cf. Annexe 2),
  - \*  $(Aa'Aa'')$  est la pascle de l'hexagone  $BW A''A'VCB$
  - \*  $(Aa'Aa'') \parallel (BC)$ .

(4) Vision dynamique



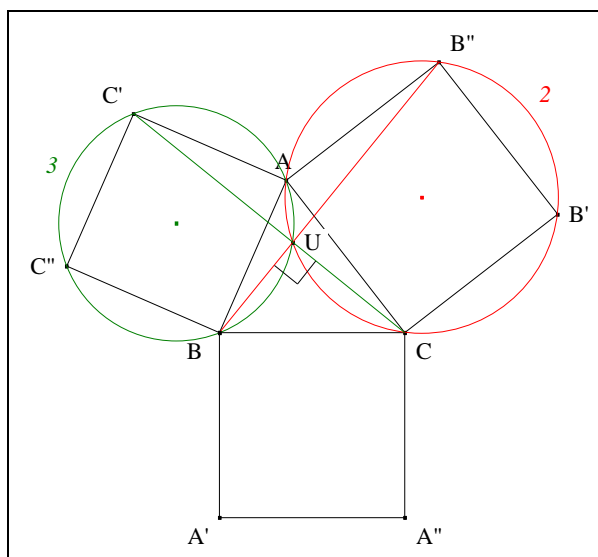
*le triangle  $AC'C$  peut être déplacé vers le triangle  $ABB''$   
par  
la rotation de centre  $A$  et d'angle droit.*

- (5) Les résultats restent vrais lorsque l'on remplace "extérieur" par "intérieur".

## 2. La proposition 2

### VISION

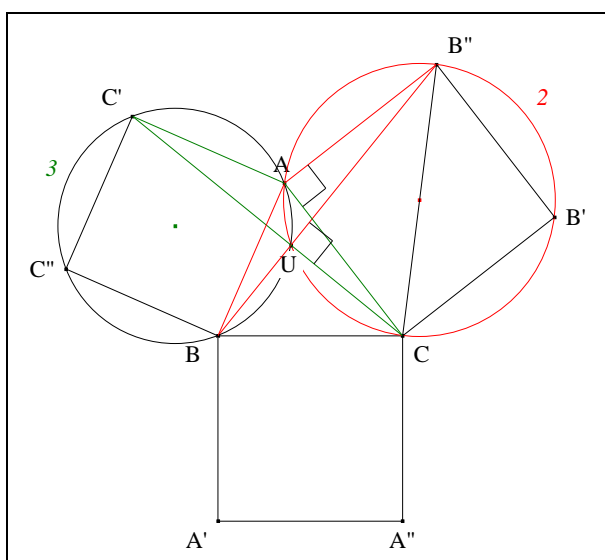
Figure :



**Traits :** les hypothèses et les notations sont les mêmes que précédemment.

**Donnés :**  $BB'' \perp CC'$  et  $BB'' = CC'$ .<sup>15</sup>

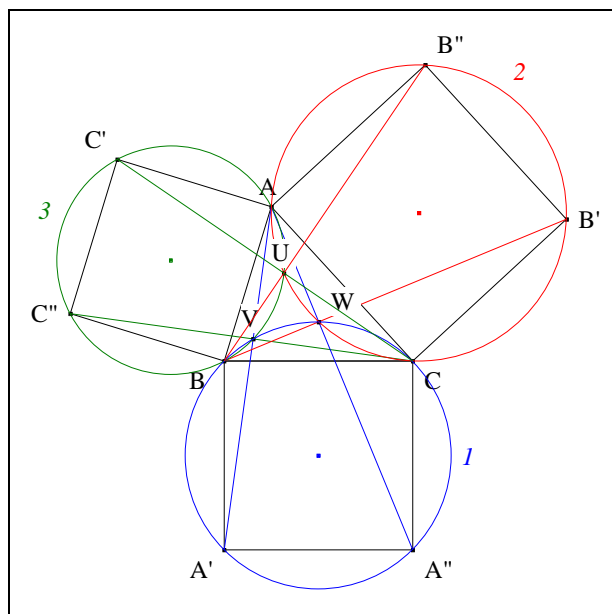
### VISUALISATION



<sup>15</sup> Vecten, Géométrie élémentaire. Extrait d'une lettre au rédacteur des Annales, *Annales de Gergonne* VII (1816-17) 321-324, proposition 2.

- D'après Thalès "Triangle inscrit dans un demi cercle",  $BB'' \perp CC'$  .
- D'après le théorème "c.a.c." appliqué à  $ABB''$  et  $AC'C$ ,  $BB'' = CC'$ .
- **Conclusion** :  $BB'' \perp CC'$  et  $BB'' = CC'$ .

**Scolies :** (1) vision triangulaire



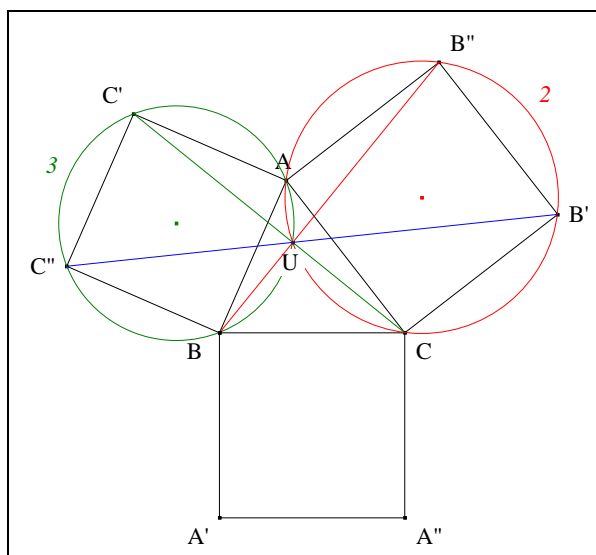
- **Conclusion** : mutatis mutandis, nous montrerions que
  - \*  $CC'' \perp AA'$  et  $CC'' = AA'$
  - \*  $AA'' \perp BB'$  et  $AA'' = BB'$ .

(2) Les résultats restent vrais lorsque l'on remplace "extérieur" par "intérieur".

### 3. La proposition 3

#### VISION

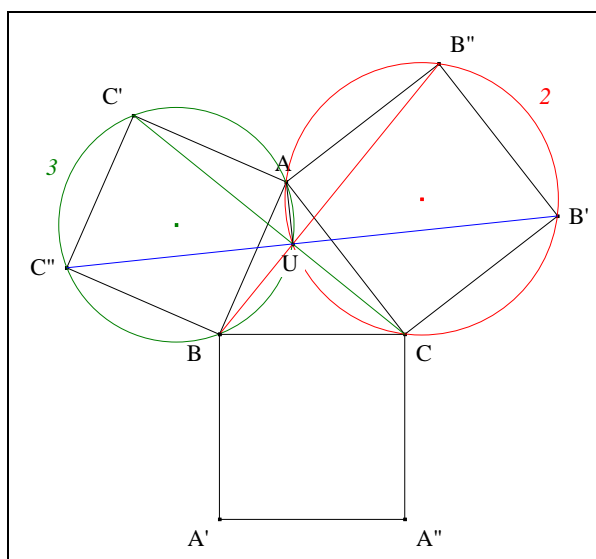
**Figure :**



**Traits :** les hypothèses et les notations sont les mêmes que précédemment.

**Donné :**  $(B'C'')$  passe par  $U$  <sup>16</sup>.

### VISUALISATION

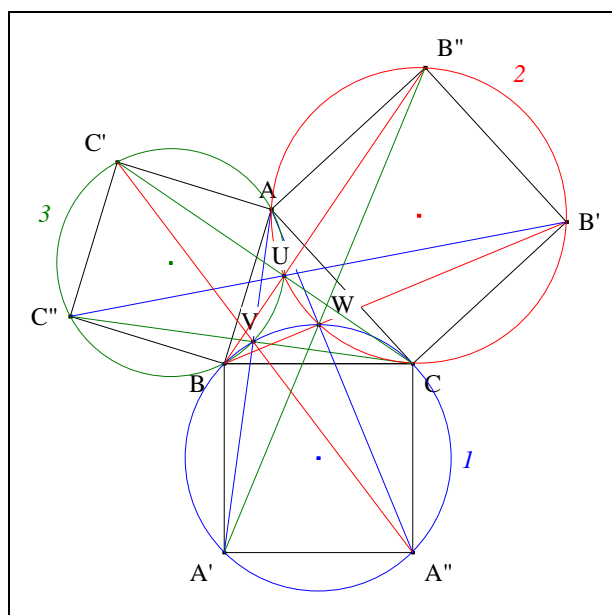


- D'après III. 2. La proposition 2,  $(BB'')$  et  $(CC')$  passent par  $U$ .
- D'après Thalès "Triangle inscrit dans un demi cercle",  $(UC'') \perp (UA)$  et  $(UA) \perp (UB')$  ;  
d'après l'axiome IVa des perpendiculaires,  $(UC'') \parallel (UB')$  ;  
d'après le postulat d'Euclide,  $(UC'') = (UB')$ .
- **Conclusion :**  $(B'C'')$  passe par  $U$ .

**Scolies :** (1)  $(UA)$  et  $(B'UC'')$  sont les bissectrices de l'angle des droites  $(BUB'')$  et  $(CUC')$ .

<sup>16</sup> Vecten, Géométrie élémentaire. Extrait d'une lettre au rédacteur des Annales, *Annales* de Gergonne VII (1816-17) 321-324, proposition 3 ;  
BWM, exercice 1 (1979).

## (2) Vision triangulaire



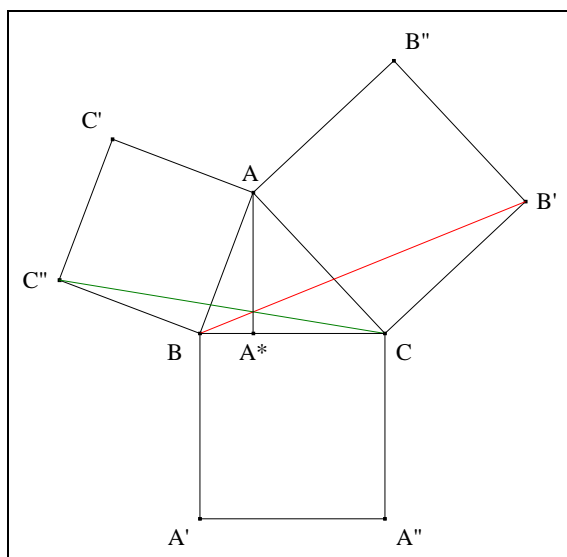
• **Conclusion** : mutatis mutandis, nous montrerions que

- \*  $(C'A'')$  passe par V  
 $(VB)$  et  $(C'VA'')$  sont les bissectrices de l'angle des droites  $(CVC'')$  et  $(AVA')$
  - \*  $(A'B'')$  passe par W  
 $(WC)$  et  $(A'WB'')$  sont les bissectrices de l'angle des droites  $(AWA'')$  et  $(BWB')$ .
- (3) Les résultats restent vrais lorsque l'on remplace "extérieur" par "intérieur".

## 4. La proposition 1

## VISION

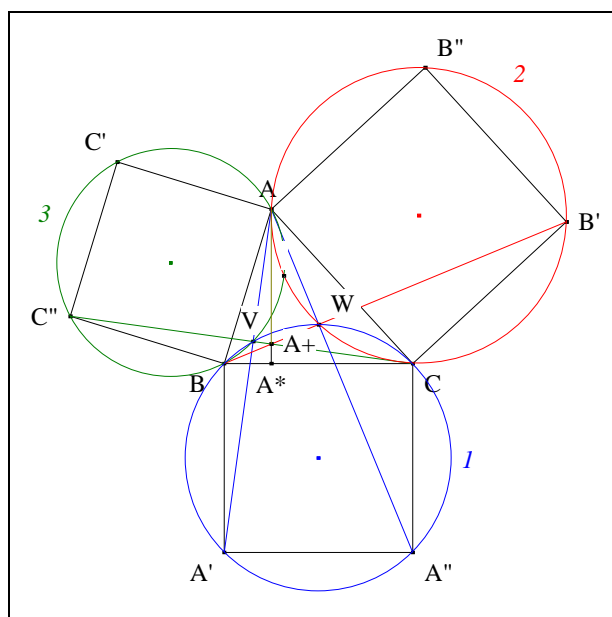
Figure :



**Traits :** les hypothèses et les notations sont les mêmes que précédemment  
 et  $A^*$  le pied de la A-hauteur de ABC.

**Donné :**  $(BB')$ ,  $(CC'')$  et  $(AA^*)$  sont concourantes <sup>17</sup>.

### VISUALISATION



- Notons  $A^+$  le point d'intersection de  $(BB')$  et  $(CC'')$ .
- D'après "Un résultat d'Aubert" (Cf. Annexe 2),
  - (1)  $(AA^+)$  est la pascale de l'hexagone  $BA'VCA''WB$
  - (2)  $(AA^+) \parallel (BA')$ .
- Par hypothèse,  $(BA') \perp (BC)$  ;  
 d'après l'axiome IVa des perpendiculaires,  $(AA^+) \perp (BC)$  ;  
 par hypothèse,  $(BC) \perp (AA^*)$  ;

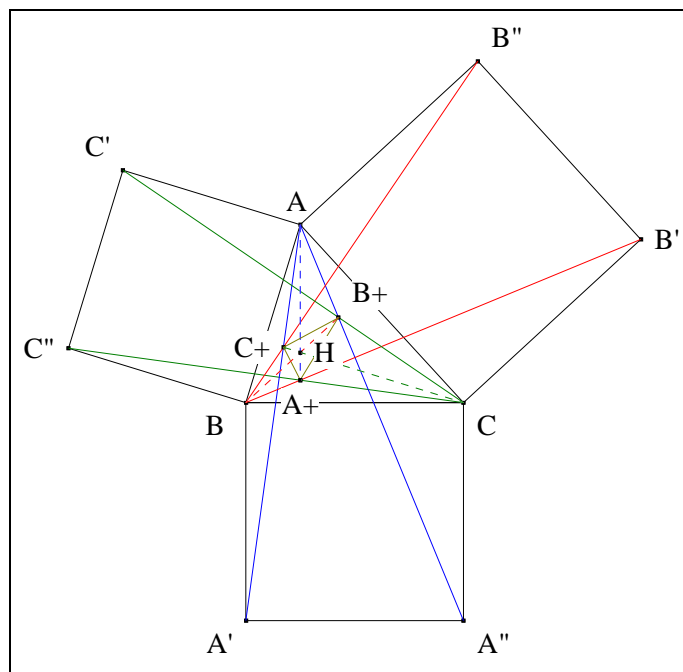
<sup>17</sup> Vecten, Géométrie élémentaire. Extrait d'une lettre au rédacteur des Annales, *Annales* de Gergonne VII (1816-17) 321-324, proposition 1 ;  
 Supposed to be simple, *Mathlinks* du 09/03/2007 ;  
[http://www.mathlinks.ro/Forum/viewtopic.php?search\\_id=1357355152&t=137761](http://www.mathlinks.ro/Forum/viewtopic.php?search_id=1357355152&t=137761).

d'après l'axiome IVa des perpendiculaires,  $(AA+) // (AA^*)$  ;  
d'après le postulat d'Euclide,  $(AA+) = (AA^*)$ .

- **Conclusion :**  $(BB')$ ,  $(CC'')$  et  $(AA^*)$  sont concourantes.

**Note historique :** ce résultat qui aurait été connu de Héron d'Alexandrie (~10, ~75), a été redécouvert par Henri Vuibert<sup>18</sup> fondateur de la librairie éponyme en 1877.

**Scolies :** (1) vision triangulaire



- Notons  $B^*$ ,  $C^*$  les pieds resp. des B, C-hauteurs de ABC,  
et  $B_+$ ,  $C_+$  les points d'intersection resp. de  $(CC')$  et  $(AA'')$ , de  $(AA')$  et  $(BB'')$ ,  
et  $H$  l'orthocentre de ABC.
- Mutatis mutandis, nous montrerions que  $(CC')$ ,  $(AA'')$  et  $(BB^*)$  sont concourantes  
 $(AA')$ ,  $(BB'')$  et  $(BB^*)$  sont concourantes.
- **Conclusion :** H est le centre de perspective de ABC et  $A+B+C+$

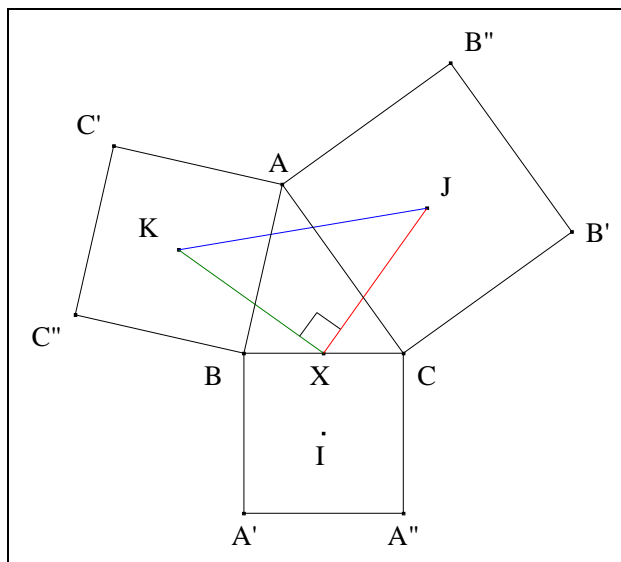
(2) Les résultats restent vrais lorsque l'on remplace "extérieur" par "intérieur".

## 5. Un triangle rectangle-isocèle

### VISION

**Figure :**

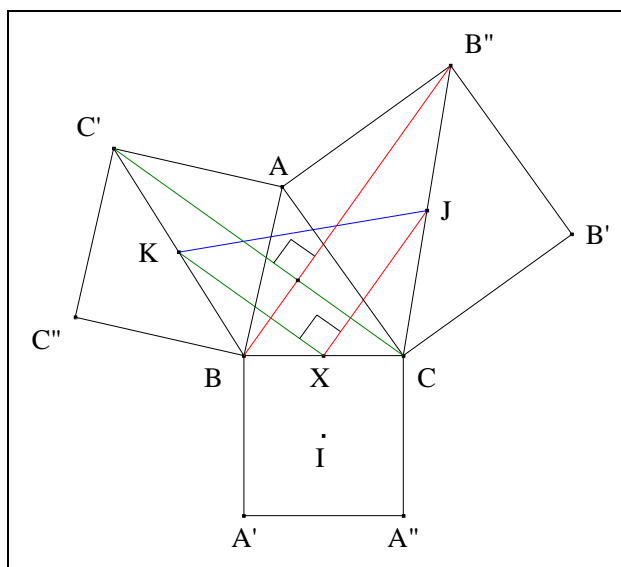
<sup>18</sup> Vuibert H., *Journal de Mathématiques Élémentaires* (1879-1880) 36.



**Traits :** les hypothèses et les notations sont les mêmes que précédemment,  
 et I, J, K les centres resp. de BA'A''C, CB''A, AC''B  
 X le milieu de [BC].

**Donné :** le triangle XJK est rectangle-isocèle en X.<sup>19</sup>

**VISUALISATION**



- D'après III. 1. Un lemme,
  - (1)  $BB'' = CC'$
  - (2)  $(BB'') \perp (CC')$ .

- D'après Thalès "La droite des milieux" appliqué

- (1) au triangle BCB'',  $(BB'') \parallel (XJ)$  et  $2.XJ = BB''$
- (2) au triangle BCC',  $(CC') \parallel (XK)$  et  $CC' = 2.XK$  ;

la relation  $\perp$  étant compatible avec la relation  $\parallel$ ,  
 par transitivité de la relation  $=$ ,

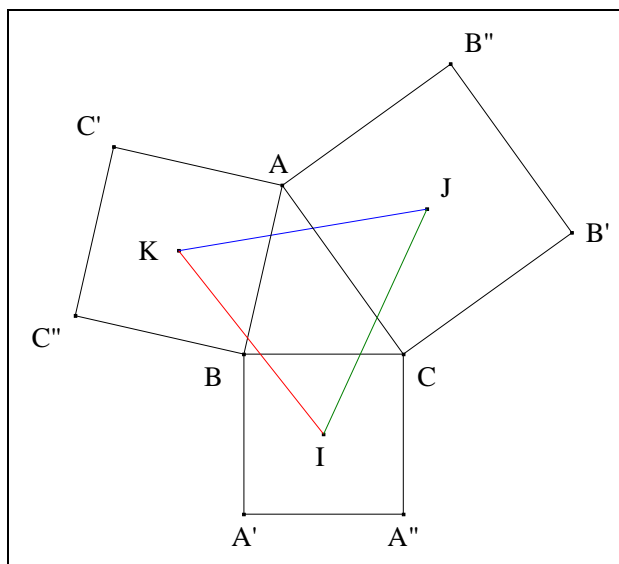
$$(XK) \perp (XJ) ; \quad XJ = XK .$$

<sup>19</sup> Neuberg J..

- **Conclusion** : le triangle XJK est rectangle-isocèle en X.

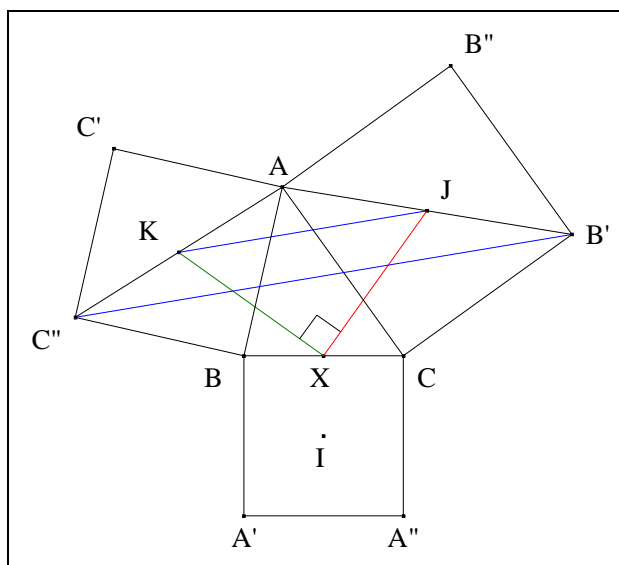
**Note historique** : Charles Ange Laisant<sup>20</sup> (1841-1920) est le premier, à notre connaissance, à avoir considéré les centres des carrés construits sur les divers côtés d'un polygone.

**Scolies** : (1) un triangle remarquable



- Par définition, IJK est le triangle extérieur de Vecten relativement à ABC

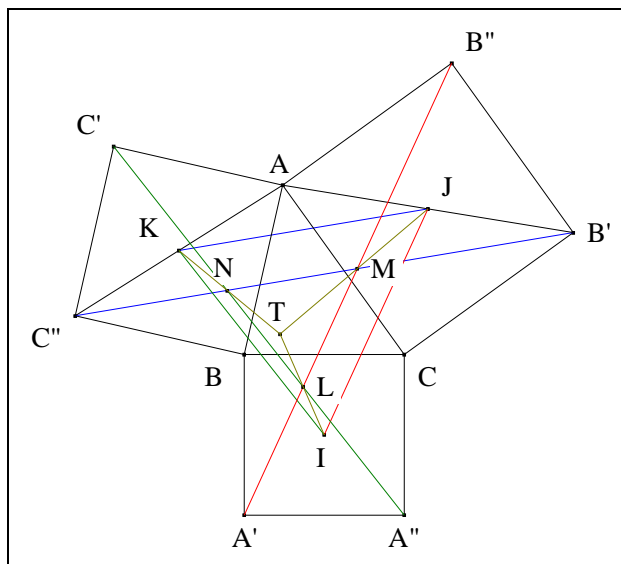
(2) Un résultat de Charles Ange Laisant



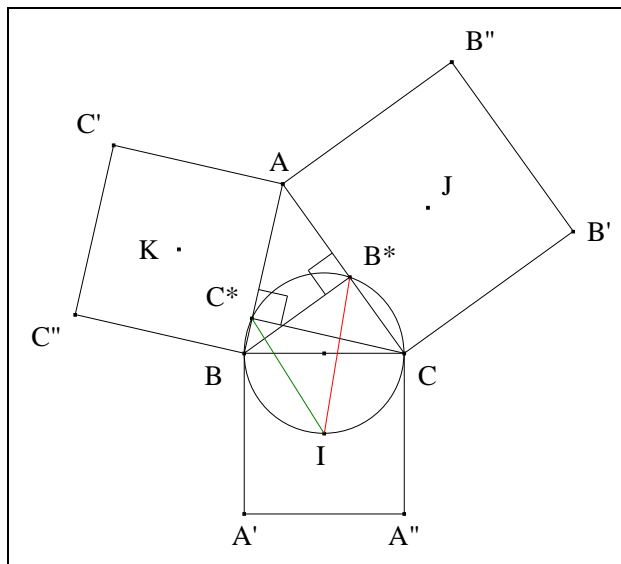
- **Conclusion** : d'après Thalès "La droite des milieux" appliqué au triangle AB'C",  $(KJ) \parallel (B'C'')$  et  $2.KJ = B'C''$ .

(3) Vision triangulaire du résultat de Laisant

<sup>20</sup> Laisant C. A., *Nouvelle Correspondance mathématique* (1877) p. 368 et 400, questions 290 et 302.



- Notons  $L, M, N$  les points d'intersection resp. de  $(A'B'')$  et  $(A''C')$ ,  $(B'C'')$  et  $(B''A')$ ,  $(C'A'')$  et  $(C''B')$ .
  - Les triangles  $LMN$  et  $IJK$  sont homothétiques.
  - **Conclusion :**  $(IL)$ ,  $(JM)$  et  $(KN)$  sont concourantes<sup>21</sup>.
  - Notons  $T$  ce point de concours.
- (4) Une situation d'Antreas Hatzipolakis<sup>22</sup>



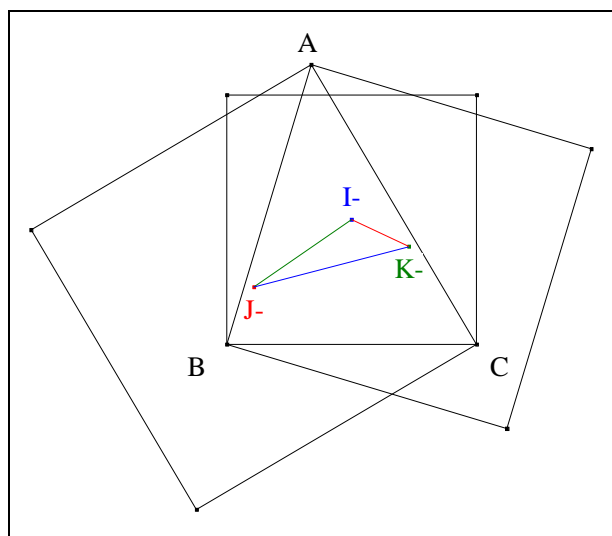
- Notons  $B^*, C^*$  les pieds resp. des B, C-hauteurs de  $ABC$ .  
et  $I''$  le cercle de diamètre  $[BC]$  ; il passe par  $I$ .
- **Conclusion :**  $IB$  étant égal à  $IC$ ,  $B^*$   $(B^*I)$  est la  $B^*$ -bissectrice intérieure du triangle  $B^*BC$

<sup>21</sup> *Ukrainian journal contest*, problem 311, by Vyacheslav Yasinsky. once more about squares constructed at sides of triangle, *Mathlinks* du 13/03/2009 <http://www.mathlinks.ro/Forum/viewtopic.php?t=264254>.

<sup>22</sup> Concurrent!, *Mathlinks* du 30/01/2008 ; [http://www.mathlinks.ro/Forum/viewtopic.php?search\\_id=1365292766&t=185882](http://www.mathlinks.ro/Forum/viewtopic.php?search_id=1365292766&t=185882). Hatzipolakis A., X\_371, Message *Hyacinthos* #1584 du 12/10/2000 ; <http://tech.groups.yahoo.com/group/Hyacinthos/message/1584>.

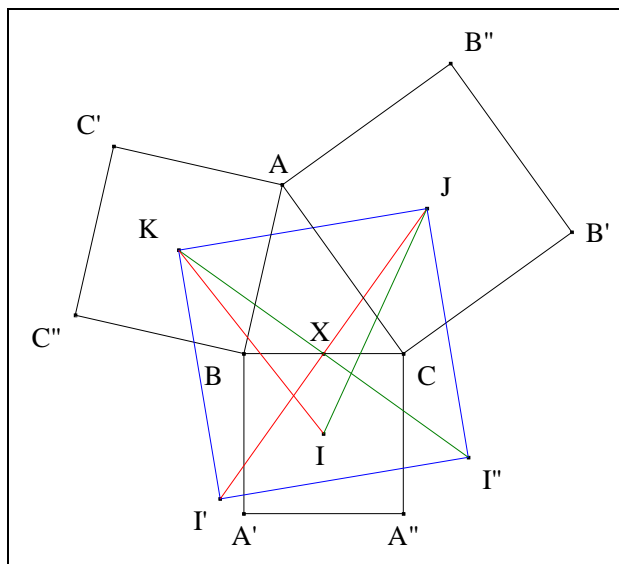
\*  $(C^*I)$  est la  $C^*$ -bissectrice intérieure du triangle  $C^*BC$ .

- (5) Les résultats restent vrais lorsque l'on remplace "extérieur" par "intérieur".  
 (6) Un second triangle remarquable



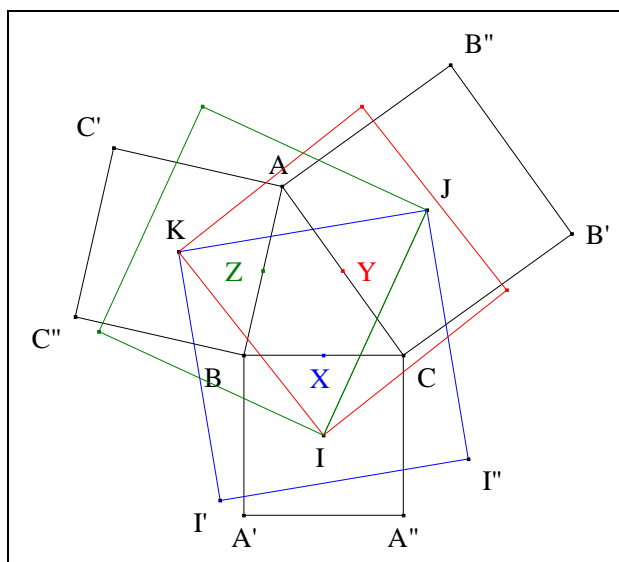
- Notons  $I-, J-, K-$  les centres des carrés construits sur  $[BC], [CA], [AB]$  à l'extérieur de  $ABC$ .
- **Définition :**  $I-J-K-$  est le triangle intérieur de Vecten relativement à  $ABC$ .

- (7) Un nouveau carré



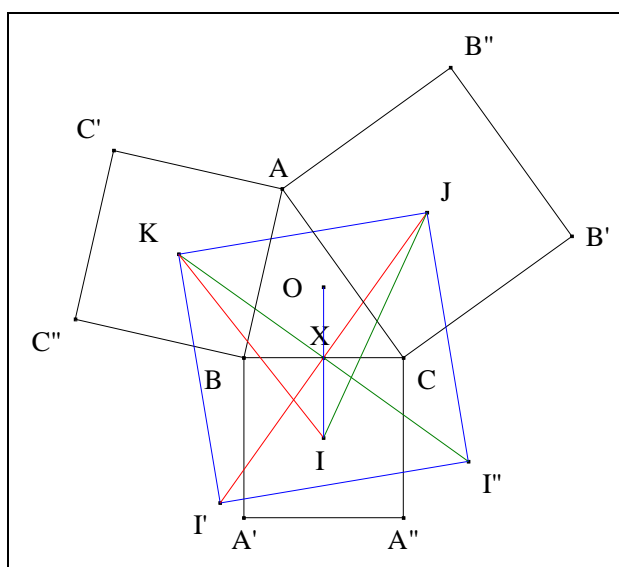
- Notons  $KI'I'J$  le carré intérieur à  $IJK$
- **Conclusion :** le centre  $X$  de  $KI'I'J$  est sur  $[BC]$ .

- (8) Vision triangulaire avec ces "nouveaux carrés"



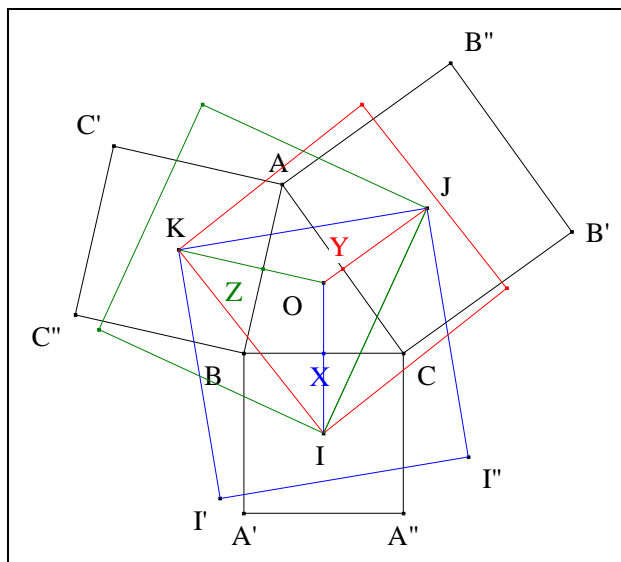
- **Conclusion :** les centres des carrés construits à l'intérieur du triangle des centres des carrés construits à l'extérieur d'un triangle, sont sur les côtés de celui-ci.

(9) Un résultat de Joseph Neuberg



- Notons  $O$  le centre du cercle circonscrit à  $ABC$ .
- Nous avons :  $XB = XC$  et  $IB = IC$ .
- D'après le théorème de la médiatrice,  $(IX)$  est la médiatrice de  $[BC]$ .
- **Conclusion :**  $(IX)$  passe par  $O$ .

(10) Vision triangulaire du résultat de Neuberg

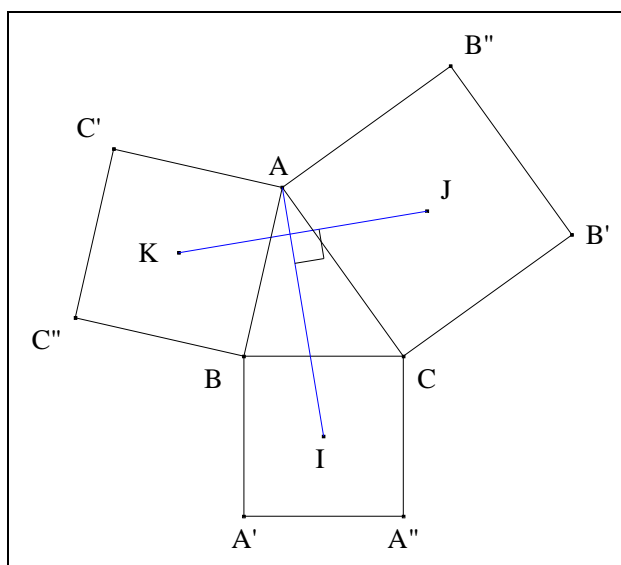


- Mutatis mutandis, nous montrerions que  $(JY)$  passe par  $O$   
 $(KZ)$  passe par  $O$ .
- **Conclusion :** d'après III. 7. Le premier point de Vecten, scolie 4,  $O$  est le second point de Vecten de  $IJK$ .<sup>23</sup>

## 6. Un résultat de Joseph Neuberg

### VISION

Figure :



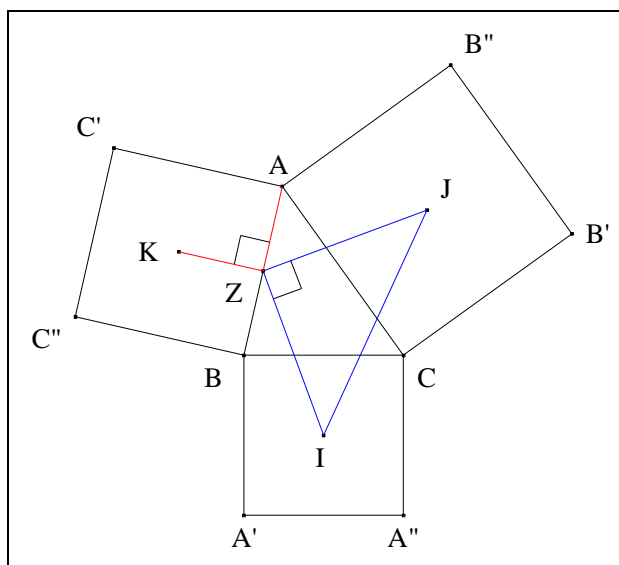
**Traits :** les hypothèses et les notations sont les mêmes que précédemment.

**Donné :**  $(AI)$  est perpendiculaire à  $(JK)$ .<sup>24</sup>

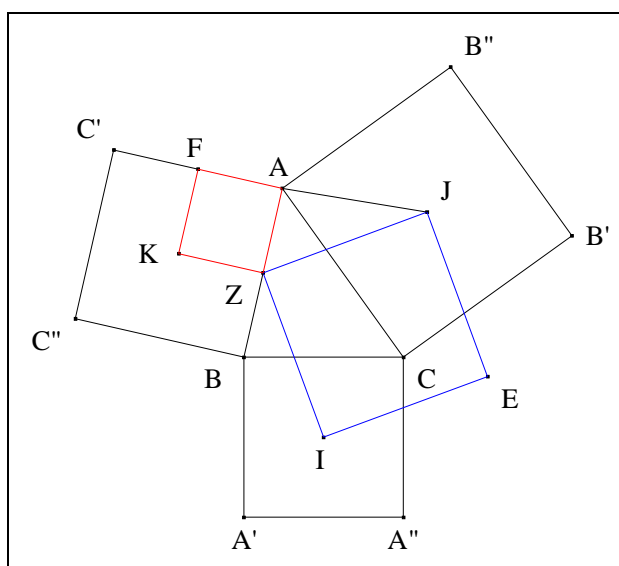
<sup>23</sup>

Neuberg J.,  
 Grinberg D., Squares on the sides, Message *Hyacinthos* # 8603 du 09/11/2003 ;  
<http://tech.groups.yahoo.com/group/Hyacinthos/message/8603>.

## VISUALISATION

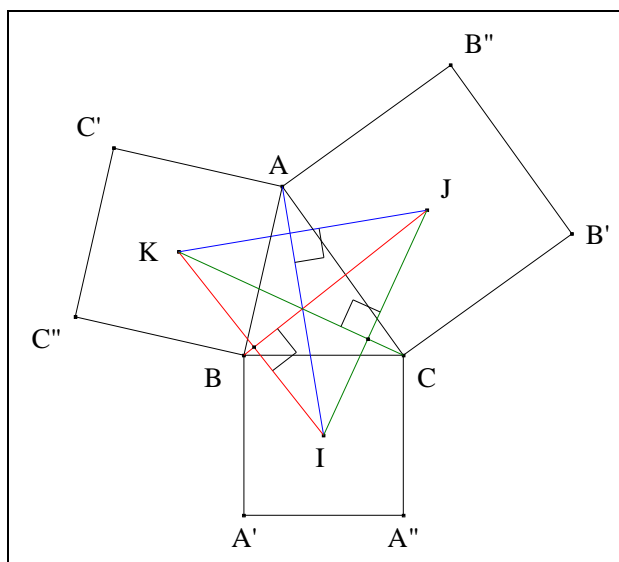


- Notons  $Z$  le milieu de  $[AB]$ .
- D'après III. 5. Un triangle rectangle-isocèle,  $(ZI) \perp (ZJ)$  et  $ZI = ZJ$ .
- **Scolie :**  $(ZK) \perp (ZA)$  et  $ZK = ZA$ .



- Notons  $E, F$  les quatrièmes sommets resp. des carrés  $ZJIE$  et  $ZKAF$ , extérieur du triangle  $AZQ$ .





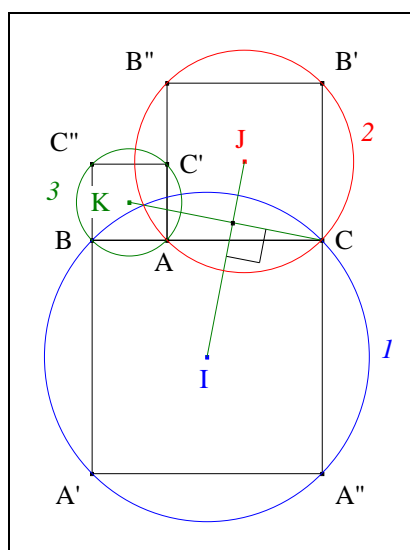
**Énoncé traditionnel** <sup>26</sup> : sur chacun des côtés d'un triangle, on construit extérieurement aux côtés un carré

- 1° les droites joignant un centre de carré extérieur au sommet du triangle opposé au côté de ce carré concourent en un même point qui est l'orthocentre d'un triangle formé par les centres des carrés extérieurs
- 2° la distance d'un centre de carré extérieur, au sommet opposé du triangle, est égale à la distance des deux autres centres des carrés extérieurs.

(4) Un cas particulier

### VISION

**Figure :**

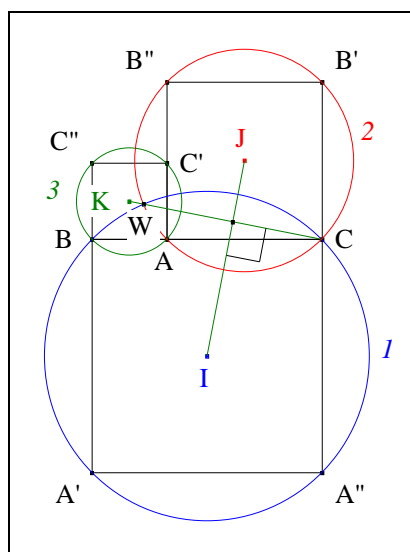


**Traits :** les hypothèses et les notations sont les mêmes que précédemment en considérant que ABC est aplati avec A entre B et C.

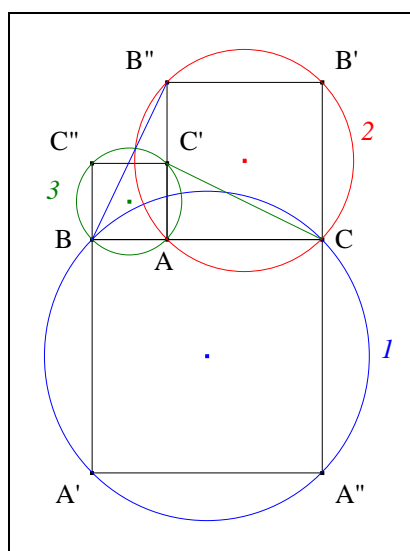
<sup>26</sup> Barisien E.-N., *Journal de Mathématiques élémentaires* (1893) n° 541 ;  
solution : Droz-Farny A., *Journal de Mathématiques élémentaires* (1894) 236 ;

**Donné :** (CK) est perpendiculaire à (IJ) <sup>27</sup>.

### VISUALISATION



- Par construction, en conséquence,  $(CIA') \perp (CJB'')$  ;  
 $1$  et  $2$  sont orthogonaux.
- Mutatis mutandis, nous montrerions que \*  $2$  et  $3$  sont orthogonaux  
\*  $3$  et  $1$  sont orthogonaux.
- D'après "Axe radical de deux cercles sécants" (Cf. Annexe 3),  $K$  est sur l'axe radical (CW) de  $2$  et  $3$ .
- **Conclusion :** (CK) est perpendiculaire à (IJ).
- **Exercice** <sup>28</sup> :



<sup>27</sup>

F. G.-M.

IMO 1959, Day 2, Problem 5 ;

An arbitrary point M is selected in the interior of segment, *Mathlinks* du 06/10/2006 ;

[http://www.mathlinks.ro/Forum/viewtopic.php?search\\_id=1354686636&t=54823](http://www.mathlinks.ro/Forum/viewtopic.php?search_id=1354686636&t=54823).

<sup>28</sup>

1-ière O.I.M., Bucarest (Roumanie) 1959.

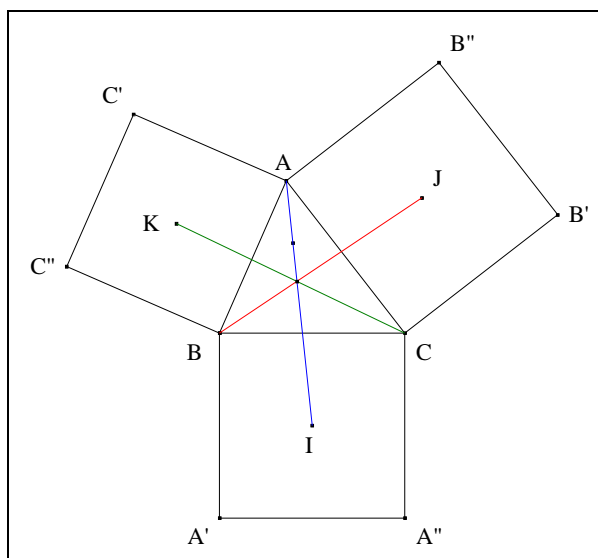
$(BB'')$  est perpendiculaire à  $(CC')$ .

(5) Les résultats restent vrais lorsque l'on remplace "extérieur" par "intérieur".

### 7. La proposition 4 ou le premier point de Vecten <sup>29</sup>

#### VISION

Figure :

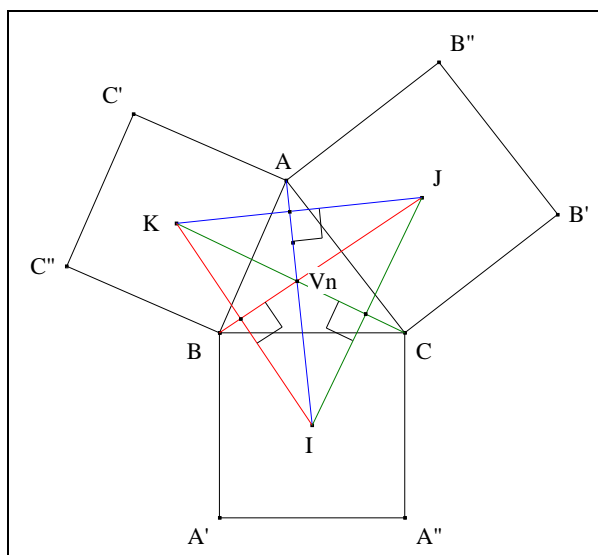


**Traits :** les hypothèses et les notations sont les mêmes que précédemment  
 et I, J, K les centres de  $BA'A''C$ ,  $CB'B''A$ ,  $AC'C''B$ .

**Donnés :**  $(AI)$ ,  $(BJ)$  et  $(CK)$  sont concourantes.

#### VISUALISATION

<sup>29</sup> Vecten, Géométrie élémentaire. Extrait d'une lettre au rédacteur des Annales, *Annales* de Gergonne VII (1816-17) 321-324, proposition 4.



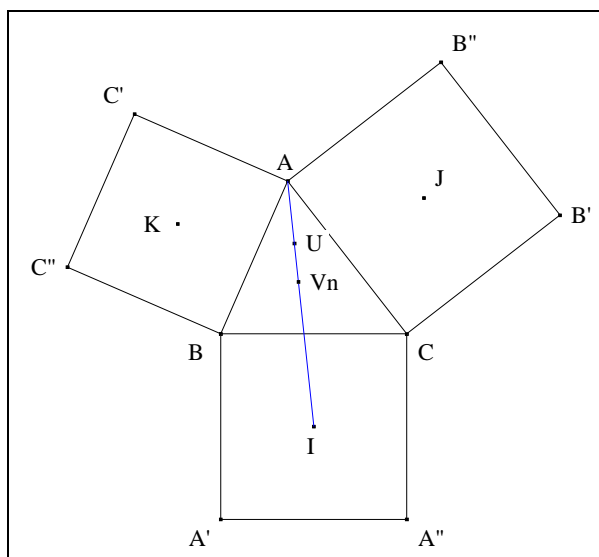
- D'après III. 6. Un résultat de Neuberger,  $(AI)$ ,  $(BJ)$  et  $(CK)$  sont resp. les I, J, K-hauteurs du triangle IJK.
- **Conclusion :**  $(AI)$ ,  $(BJ)$  et  $(CK)$  sont concourantes.
- Notons  $V_n$  ce point de concours.

**Note historique :** ce résultat pour un triangle ABC rectangle en A apparaît dans *Archives de Grunert*<sup>30</sup>. Le résultat pour un triangle quelconque a été signalé dans F. G.-M.<sup>31</sup>. Ernst Wilhelm Grebe a été le premier en 1840, puis en 1850, à nommer  $X_{485}$  sous le nom de "point de Vecten".

- Scolies :**
- (1)  $V_n$  est "le premier point de Vecten de ABC" ou "le point extérieur de Vecten de ABC". Il est répertorié sous  $X_{485}$  chez ETC. Rappelons que John Conway est à l'origine de la notation  $V_n$ , n étant l'initiale de normal.
  - (2)  $V_n$  est l'orthocentre du triangle extérieur de Vecten de ABC i.e. de IJK
  - (3) ABC et IJK sont en perspective de centre  $V_n$ .
  - (4) Quatre points alignés

<sup>30</sup> *Archives de Grunert* 2<sup>ème</sup> série XIV.

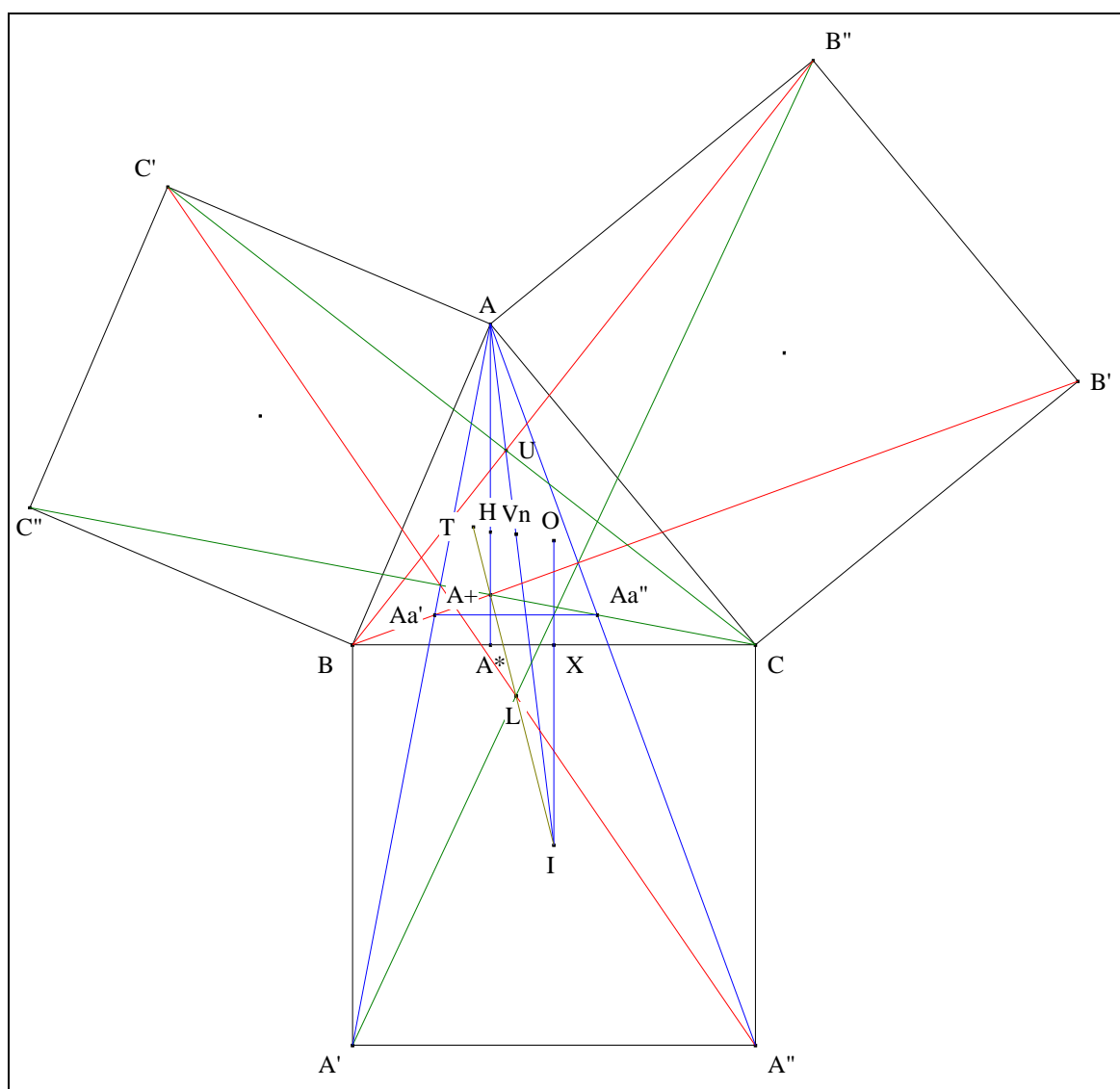
<sup>31</sup> F. G.-M., *Exercices de Géométrie*, 6th ed. (1920), Rééditions Jacques Gabay (Gabay reprint), Paris (1991) ; Théorème 642 XII p. 860.



- **Conclusion :** A, U,  $V_n$  et I sont alignés.

- (5) Le résultat reste vrai lorsque l'on remplace "extérieur" par "intérieur" ; le point de concours est "le second point de Vecten de ABC" et est répertorié sous  $X_{486}$  chez ETC.  
Rappelons que John Conway le note  $V_s$ , s étant l'initiale de "switched".
- (6) Pour Conway,  $V_n$  et  $V_s$  sont "les points pythagoriciens de Vecten de ABC" pour souligner leur lien avec la figure de Pythagore.

## 8. Figure récapitulant les notations par rapport à A

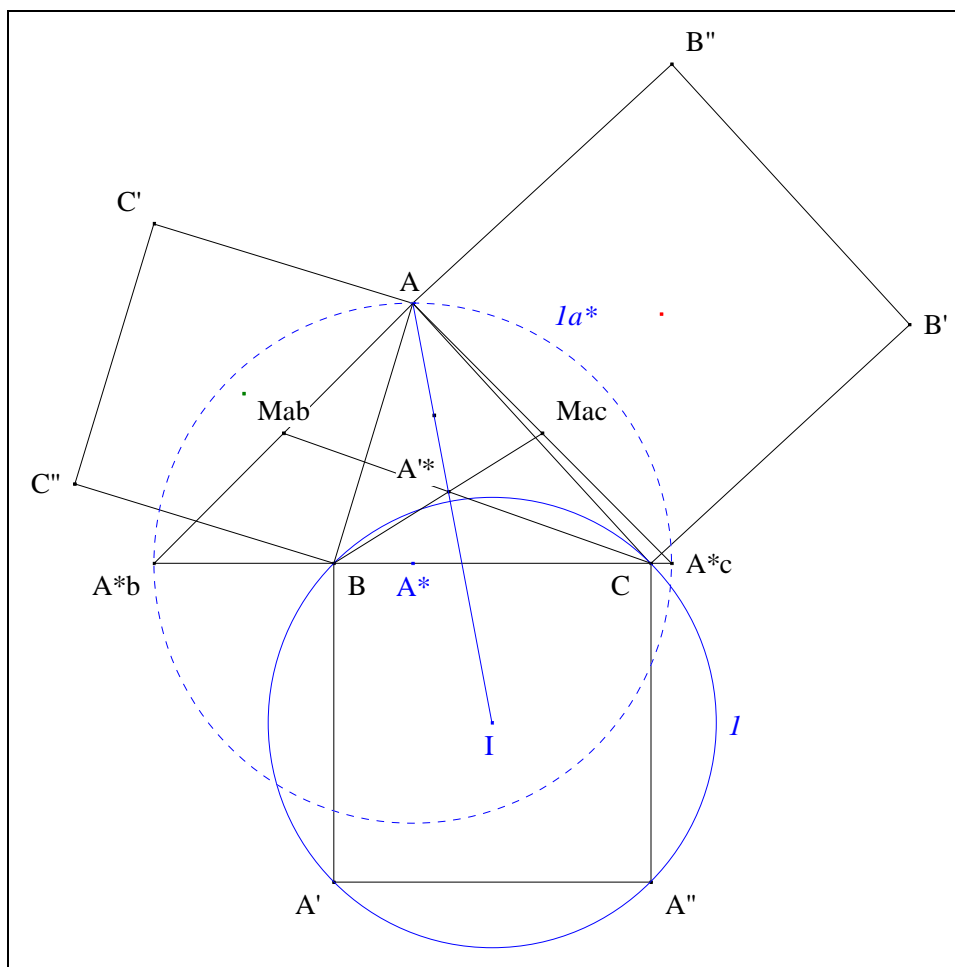


#### IV. UN TRIANGLE BORDÉ DE TROIS CARRÉS

##### 1. Un résultat d'Antreas Hatzipolakis

##### VISION

Figure :

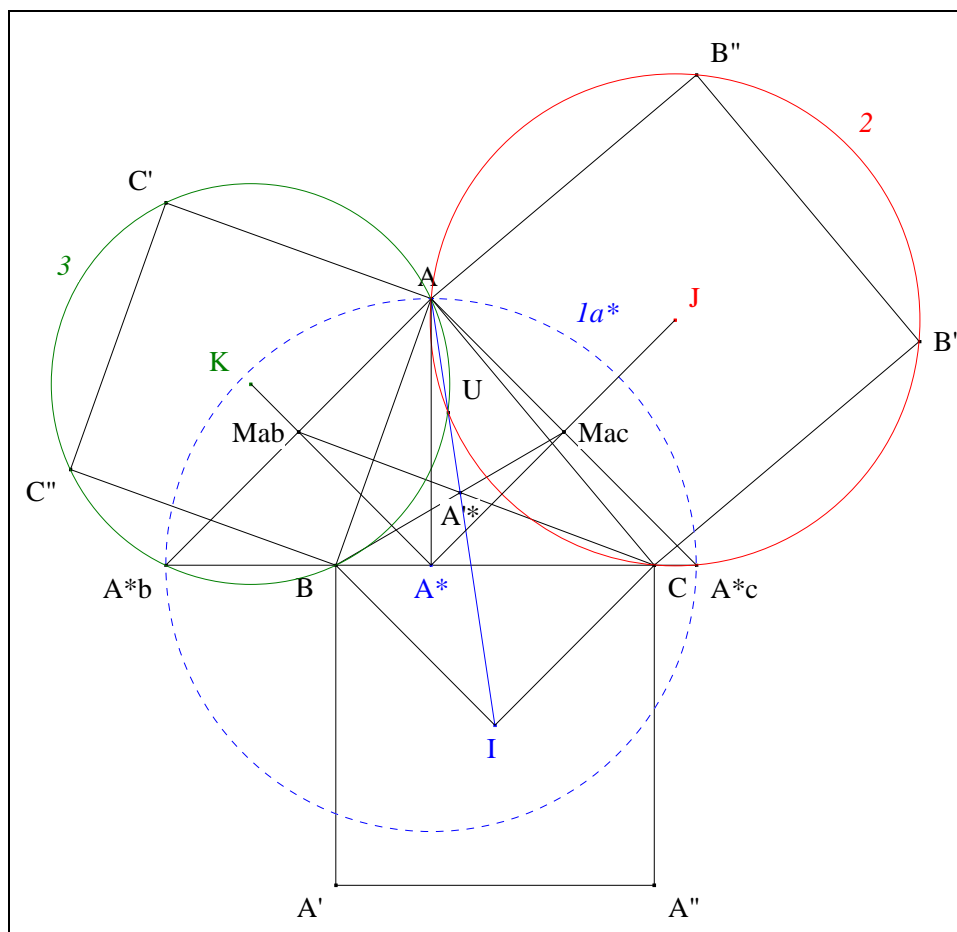


- Traits :**  $Ia^*$  les hypothèses et les notations sont les mêmes que précédemment,  
 $A^*b, A^*c$  le cercle de centre  $A^*$  passant par  $A$ ,  
 $Mab, Mac$  les points d'intersection de  $Ia^*$  avec  $(BC)$  comme indiqués sur la figure,  
 et  $A^*$  les milieux resp. de  $[AA^*b], [AA^*c]$   
 $A^*$  le point d'intersection de  $(BMac)$  et  $(CMab)$ .
- Donné :**  $A, A^*$  et  $I$  sont alignés <sup>32</sup>.

### VISUALISATION

<sup>32</sup>

Hatzipolakis A., Perspector?, Message *Hyacinthos* # 7986 du 23/09/2003;  
<http://tech.groups.yahoo.com/group/Hyacinthos/message/7986>.



- D'après "Un point sur  $I$ " (Cf. Annexe 4) appliqué au triangle  $A^*BA$ ,  $A^*b$  est sur 3.
- Mutatis mutandis, nous montrerions que  $A^*c$  est sur 2.
- Les triangles  $AA^*bA^*c$  et  $IBC$  étant rectangles-isocèles,  $(BI) // (AA^*c)$ .
- D'après Pappus "La proposition 137" (Cf. Annexe 5), le pinceau  $\{B ; (BA), (BC), (BMac), (BI)\}$  est harmonique.
- Mutatis mutandis, nous montrerions que le pinceau  $\{C ; (CA), (CB), (CMab), (CI)\}$  est harmonique.
- Ces deux pinceaux ayant le rayon  $(BC)$  en commun, les points d'intersection des rayons homologues  $(BA)$  et  $(CA)$ ,  $(BMac)$  et  $(CMab)$ ,  $(BI)$  et  $(CI)$  sont alignés.
- **Conclusion :**  $A, A^*$  et  $I$  sont alignés

**Scolies :** (1) deux triades de points alignés

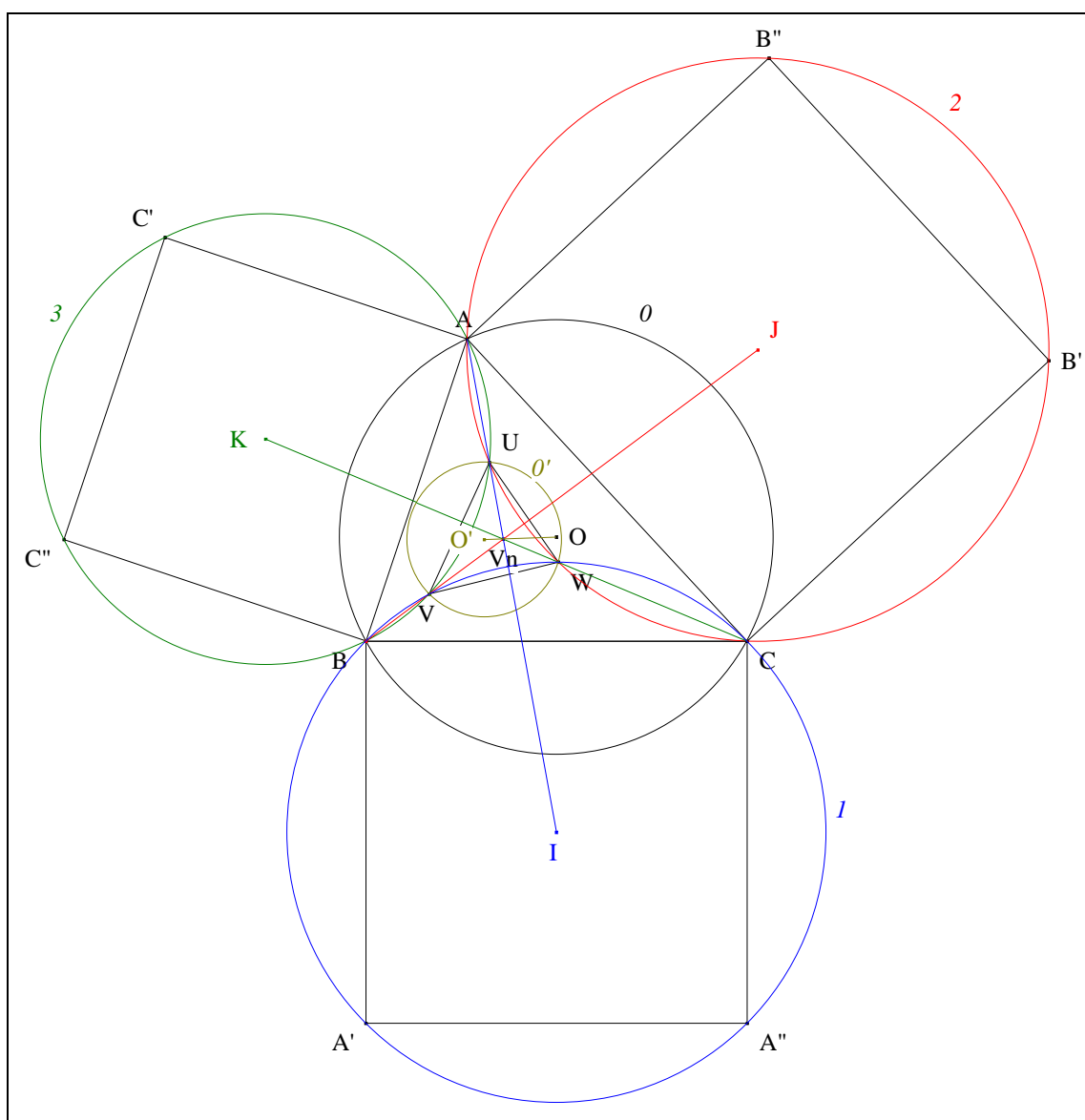
- D'après le théorème de la droite des milieux appliqué au triangle  $A^*bAA^*c$ ,  $(A^*Mab) // (AA^*c)$  ;  
par hypothèse,  $(AA^*c) \perp (AA^*b)$  ;  
d'après l'axiome IVa des perpendiculaires,  $(A^*Mab) \perp (AA^*b)$  ;  
en conséquence,  $(AMab)$  passe par le centre  $K$  de 3.
- **Conclusion :**  $A^*, Mab$  et  $K$  sont alignés.
- Mutatis mutandis, nous montrerions que  $A^*, Mac$  et  $J$  sont alignés.

(2) le résultat reste vrai lorsque l'on remplace "extérieur" par "intérieur".

## 2. Un résultat de Darij Grinberg

### VISION

Figure :

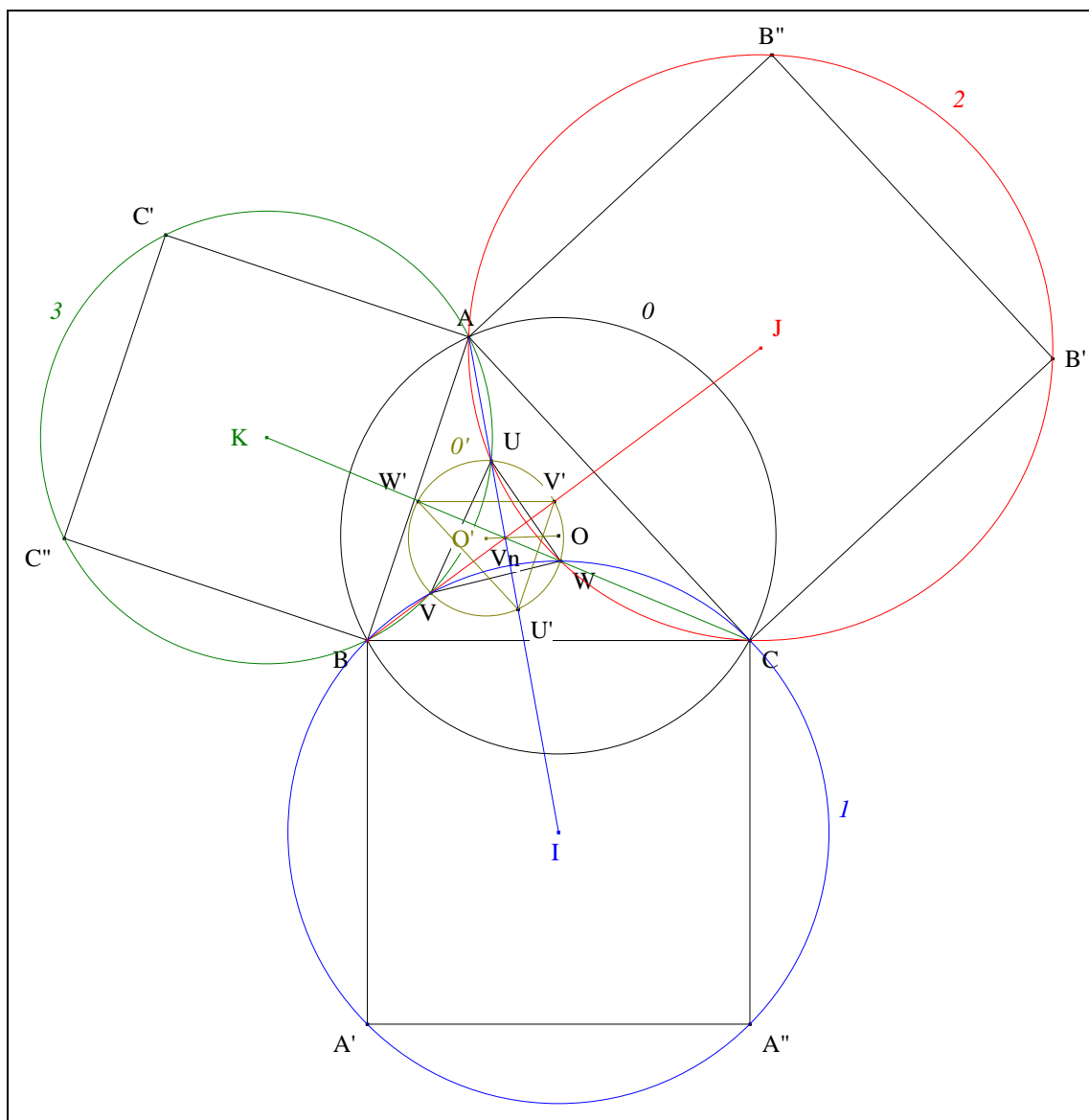


**Traits :** les hypothèses et les notations sont les mêmes que précédemment,  
 $O'$  le cercle circonscrit à  $UVW$   
 et  $O'$  le centre de  $O'$ .

**Donné :**  $Vn, O$  et  $O'$  sont alignés <sup>33</sup>.

<sup>33</sup> Grinberg D., Fermat, Vecten and van Lamoen, Message *Hyacinthos* # 7053 du 26/04/2003;  
<http://tech.groups.yahoo.com/group/Hyacinthos/message/7053>.

## VISUALISATION



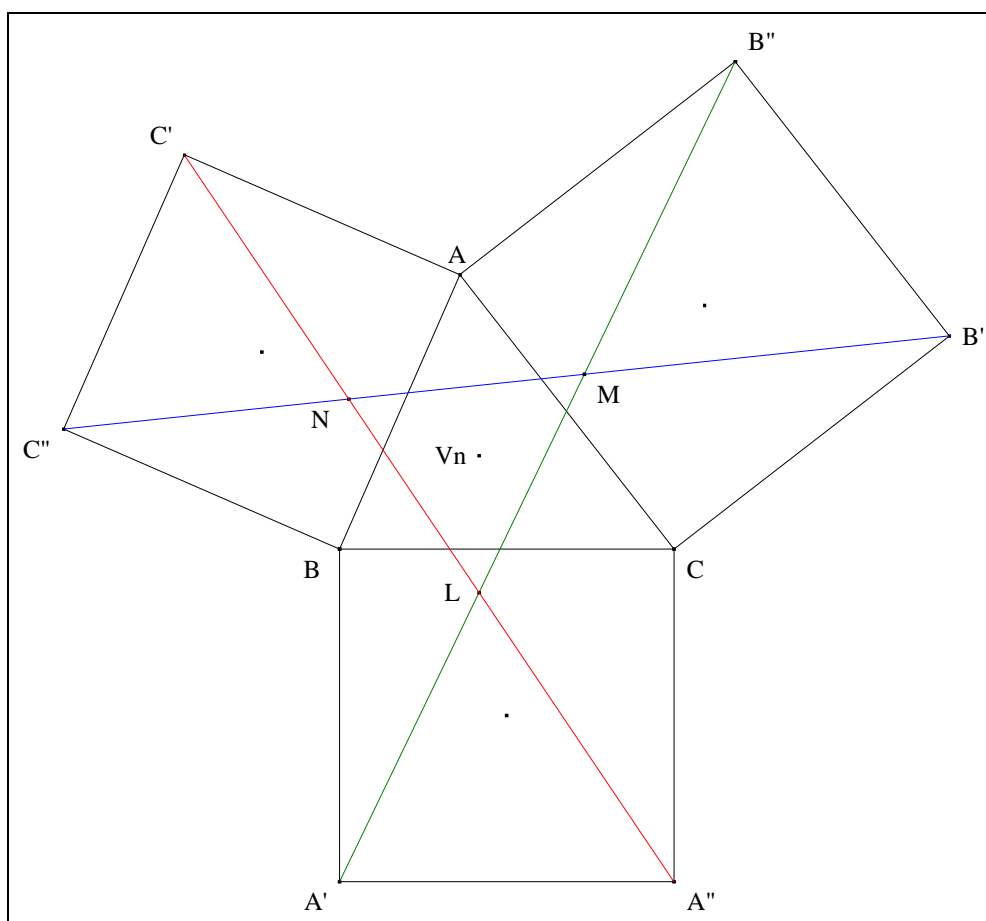
- Notons  $U', V', W'$  les seconds points d'intersection resp. de  $(AU)$ ,  $(BV)$ ,  $(CW)$  avec  $O'$ .
- Les cercles  $O'$  et  $I$ , les points de base  $V$  et  $W$ , les médiannes  $(V'VB)$  et  $(W'WC)$ , conduisent au théorème **0** de Reim ; il s'en suit que  $(V'W') \parallel (BC)$ .
- Mutatis mutandis, nous montrerions que  $(W'U') \parallel (CA)$   
 $(U'V') \parallel (AB)$ .
- **Conclusion** : les triangles  $U'V'W'$  et  $ABC$  sont homothétiques de centre  $V_n$ ,  
 $V_n, O$  et  $O'$  sont alignés.

**Scolie** : le résultat reste vrai lorsque l'on remplace "extérieur" par "intérieur".

### 3. Un résultat de l'auteur

#### VISION

Figure :



**Traits :** les hypothèses et les notations sont les mêmes que précédemment.

**Donné :**  $V_n$  est le second point de Vecten de  $LMN$  <sup>34</sup>.

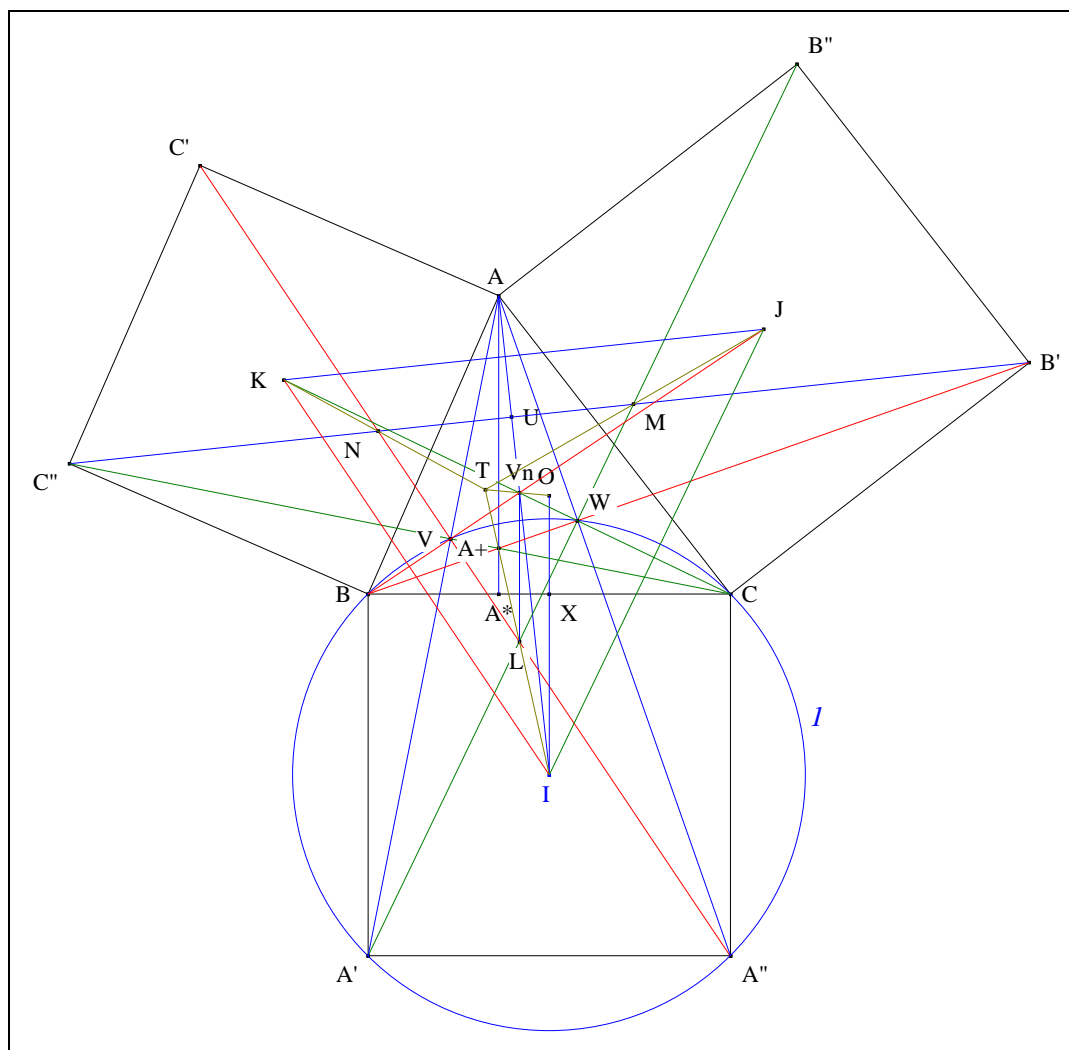
#### VISUALISATION

<sup>34</sup>

Ayme J.-L., Vecten's points, Message *Hyacinthos* # 17406 du 26/03/2009 ;

<http://tech.groups.yahoo.com/group/Hyacinthos/message/17406> ;

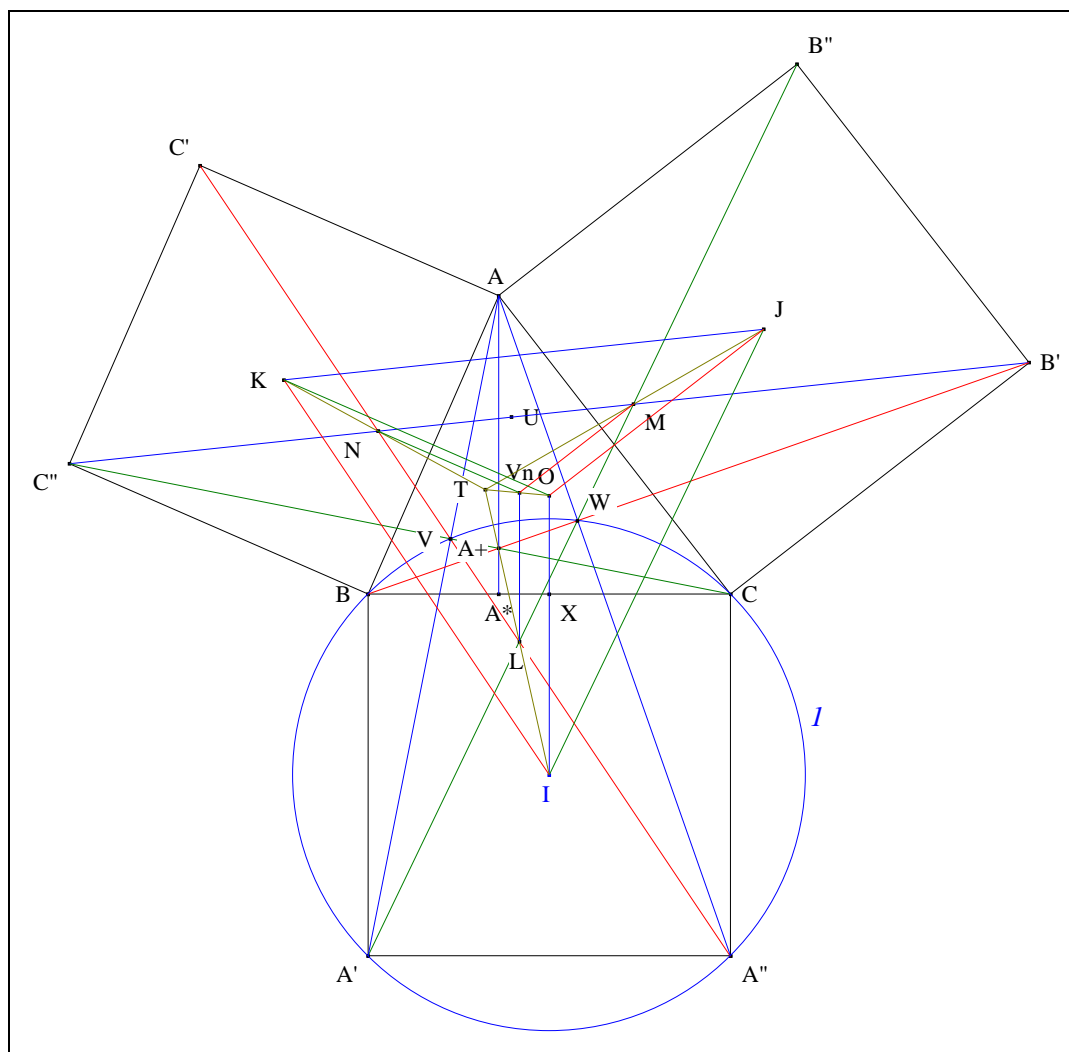
With the Vecten's points, *Mathlinks* du 26/03/2009 ; <http://www.mathlinks.ro/Forum/viewtopic.php?t=266978>.



- D'après "Un résultat d'Aubert" (Cf. Annexe 2),
 

(1)	(VnL) est la pascale de l'hexagone A'BVA''CWA'
(2)	(VnL) // (OI).
- Mutatis mutandis, nous montrerions que
 

	(VnM) // (OJ)
	(VnN) // (OK).



- D'après III. 5. Un triangle rectangle-isocèle, scolie 10, O est le second point de Vecten de IJK.
- **Conclusion** : LMN étant homothétique à IJK, Vn est le second point de Vecten de LMN.

**Note historique :** ce résultat de l'auteur a été relaté et confirmé le 27 mars 2009 par Angel Montesdeoca Delgado<sup>35</sup> de l'université de La Laguna (Îles Canaries, Espagne) dans l'un de ses articles électroniques.

- Scolies :**
- (1) T, O et Vn sont alignés.
  - (2) Un autre alignement<sup>36</sup>

- D'après Pascal "Hexagramma mysticum" (Cf. Annexe 6), (IA+L) est la pascale de l'hexagone A'CVA''BWA'.
- **Conclusion** : I, A+, L et T sont alignés.

- (3) Deux triangles en perspective

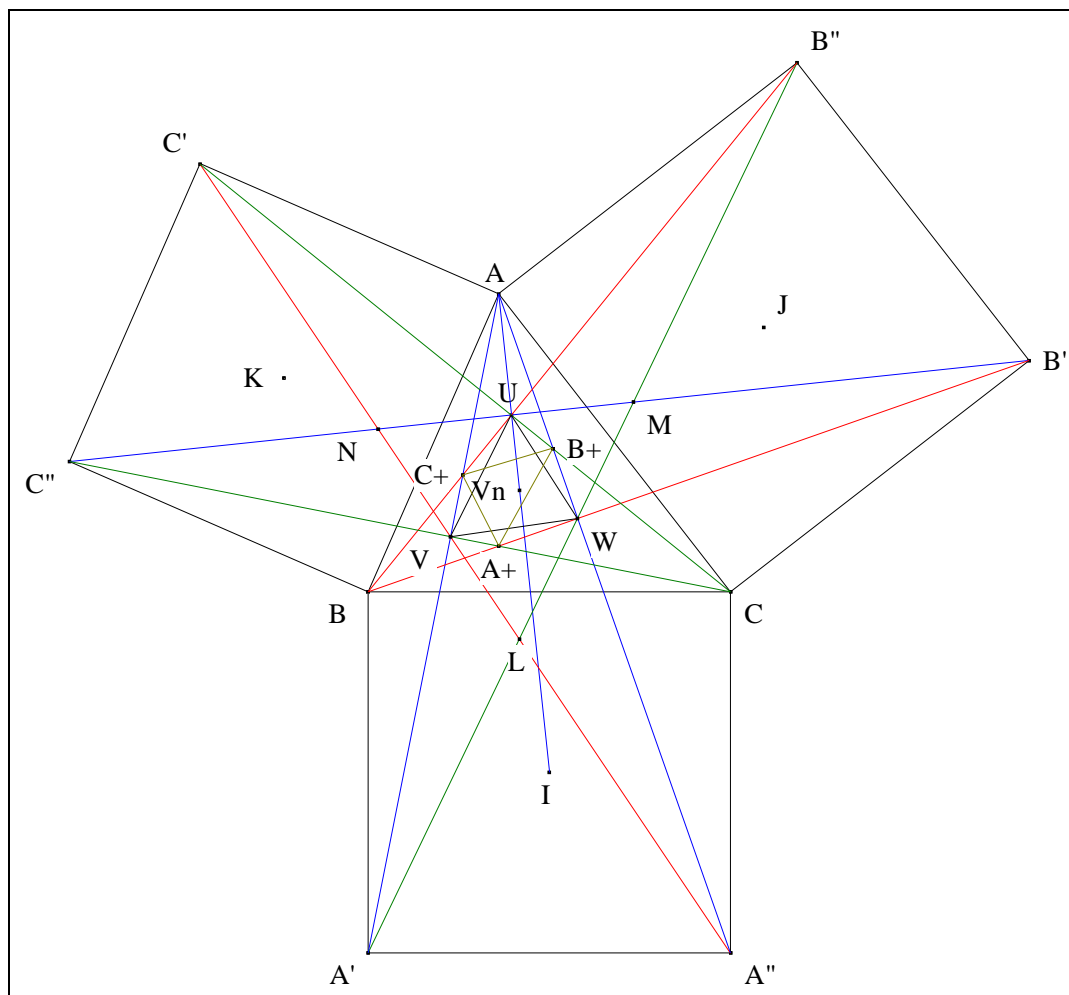
<sup>35</sup> Montesdeoca Delgado A., Geometría métrica y proyectiva en el plano con coordenadas baricéntricas. Algunos tópicos. Version 2.0903271351 ; <http://webpages.ull.es/users/amontes/>.

<sup>36</sup> Lamoën (van) F., Squares erected externally on the sides of a triangle, Message *Hyacinthos* #506 du 14/03/2000 <http://tech.groups.yahoo.com/group/Hyacinthos/message/506>.



## VISION

Figure :

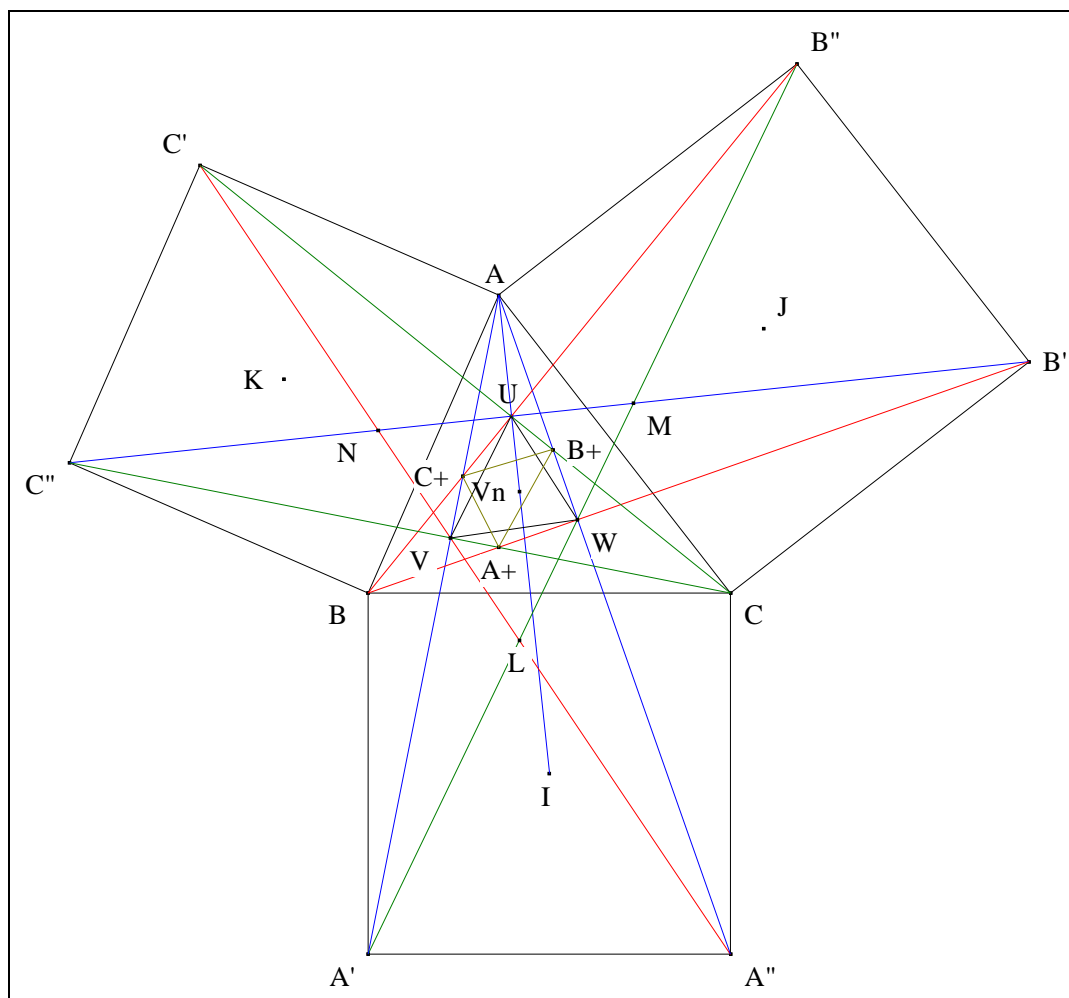


**Traits :** les hypothèses et les notations sont les mêmes que précédemment.

**Donnés :**  $A+B+C+$  et  $UVW$  sont en perspective <sup>38</sup>.

## VISUALISATION

<sup>38</sup> Lamoën (van) F., Squares erected externally on the sides of a triangle, Message *Hyacinthos* #506 du 14/03/2000  
<http://tech.groups.yahoo.com/group/Hyacinthos/message/506>.



- Nous savons que
  - (1)  $ABC$  et  $UVW$  sont en perspective de centre  $V_n$
  - (2)  $A+B+C+$  est le produit desmique de  $ABC$  et  $UVW$ .

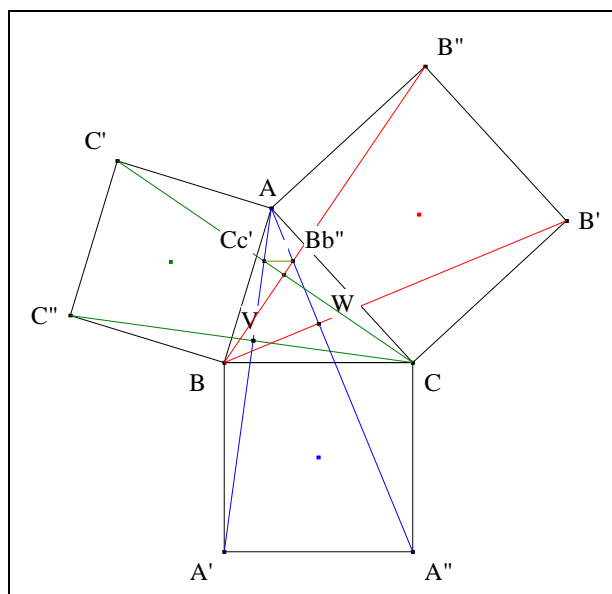
- **Conclusion :** d'après "Le théorème desmique" (Cf. Annexe 8),  $A+B+C+$  et  $UVW$  sont en perspective.

- Scolies :**
- (1)  $V_n$  est le centre de perspective de  $ABC$  et  $UVW$
  - (2)  $H$  est le centre de perspective de  $ABC$  et  $A+B+C+$
  - (3)  $ABC$ ,  $A+B+C+$  et  $UVW$  admettant le même axe de perspective, le centre de perspective de  $A+B+C+$  et  $UVW$  est aligné avec  $H$  et  $V_n$ .
  - (4) Le résultat reste vrai lorsque l'on remplace "extérieur" par "intérieur".

## 5. Deux parallèles

### VISION

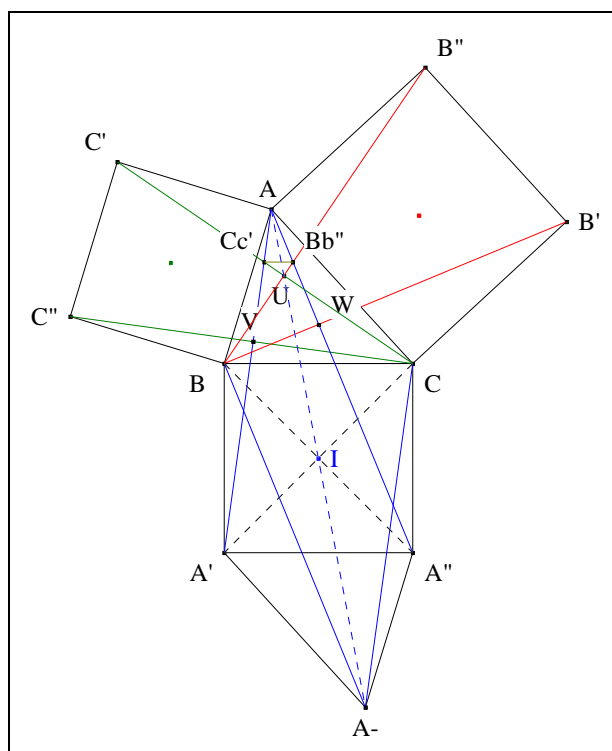
Figure :



**Traits :** les hypothèses et les notations sont les mêmes que précédemment  
 et  $Bb'', Cc'$  les points d'intersection resp. de  $(BB'')$  et  $(AA'')$ , de  $(CC'')$  et  $(AA')$ .

**Donné :**  $(Bb''Cc')$  est parallèles à  $(BC)$ .

### VISUALISATION



- Notons  $A-$  le symétrique de  $A$  par rapport à  $I$ .
- D'après III. 6. Un résultat de Neuberg, scolie 1,  $A, U$  et  $I$  sont alignés ;  
 en conséquence,  $A, U$  et  $A-$  sont alignés.
- Les triangles  $ACc'Bb''$  et  $A-CB$  sont en perspective de centre  $U$ .

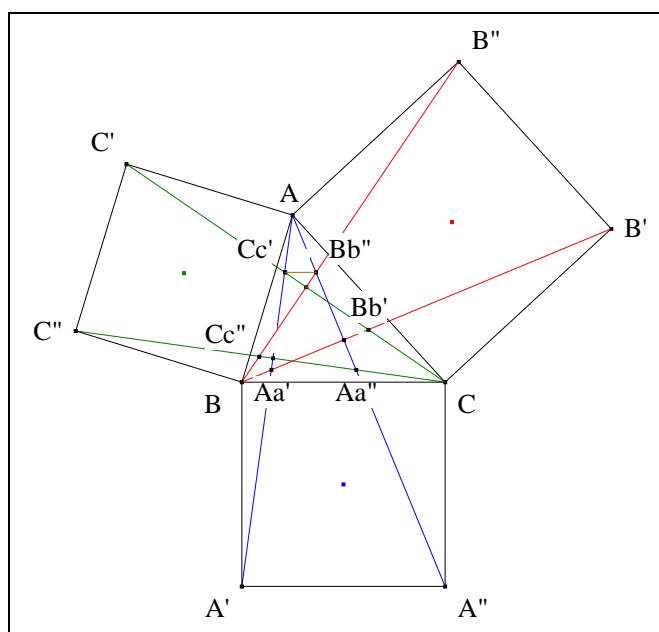
- **Conclusion** : d'après "Le petit théorème de Desargues" (Cf. Annexe 9) appliqué à  $ACc'Bb''$  et  $A-CB$ ,  $(Bb''Cc')$  est parallèle à  $(BC)$ .

**Scolie** : le résultat reste vrai lorsque l'on remplace "extérieur" par "intérieur".

## 6. Deux triangles égaux

### VISION

**Figure** :

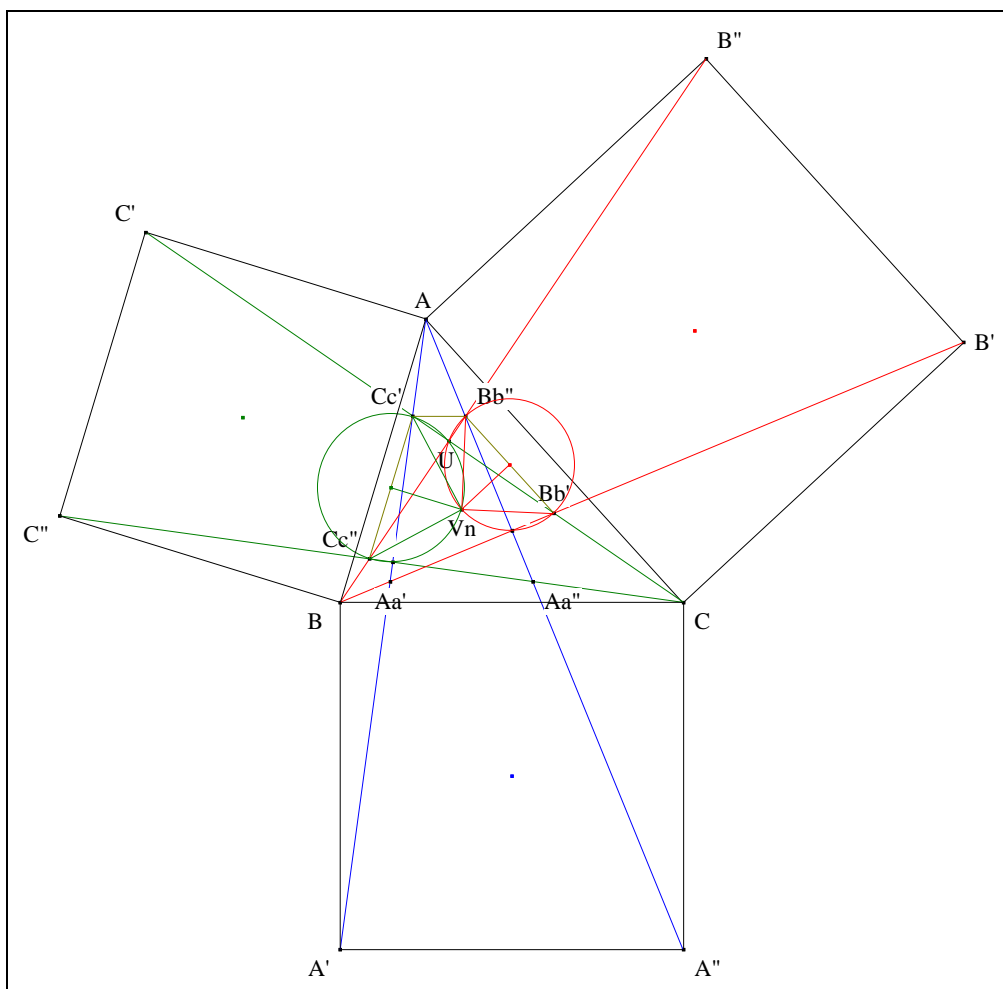


**Traits** : les hypothèses et les notations sont les mêmes que précédemment,  
 et  $Cc'', Aa'$  les points d'intersection resp. de  $(CC'')$  et  $(BB'')$ , de  $(AA')$  et  $(BB')$   
 $Aa'', Bb'$  les points d'intersection resp. de  $(AA'')$  et  $(CC')$ , de  $(BB')$  et  $(CC')$ .

**Donné** :  $Bb''Cc''Aa''$  et  $Cc'Aa'Bb'$  sont isométriques<sup>39</sup>.

### VISUALISATION

<sup>39</sup> P\_1 Q\_1 R\_1 is congruent to triangle P\_2 Q\_2 R\_2, *Mathlinks* du 27/06/2005 ;  
[http://www.mathlinks.ro/Forum/viewtopic.php?search\\_id=1850249780&t=42536](http://www.mathlinks.ro/Forum/viewtopic.php?search_id=1850249780&t=42536) ;  
 China TST 1989, problem 4 ; [http://www.mathlinks.ro/Forum/viewtopic.php?search\\_id=1138386980&t=42573](http://www.mathlinks.ro/Forum/viewtopic.php?search_id=1138386980&t=42573).

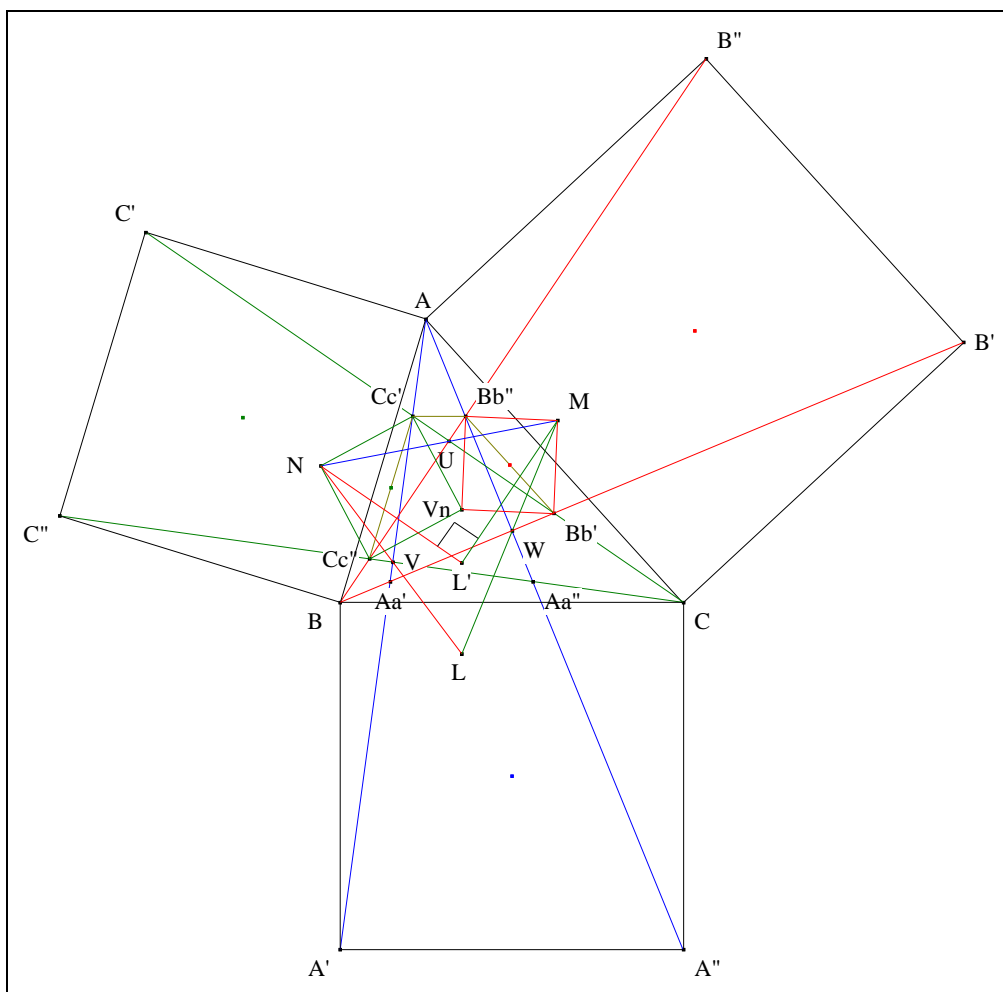


- D'après III. 2. La proposition 2, scolie,  
 $Bb''Cc''Aa''$  et  $Cc'Aa'Bb'$  étant à côtés perpendiculaires, sont semblables.
- D'après IV. 3. Un résultat de l'auteur, scolie 5, les médiatrices de  $[Cc'Cc'']$ ,  $[Bb''Bb']$  passent par  $Vn$ .
- D'après III. 2. La proposition 2, appliqué au triangle  $VnBb''Cc'$ ,  $Bb''Cc'' = Cc'Bb'$ .
- Mutatis mutandis, nous montrerions que  $Cc''Aa'' = Aa'Cc'$   
 $Aa''Bb'' = Bb'Aa'$ .
- **Conclusion** :  $Bb''Cc''Aa''$  et  $Cc'Aa'Bb'$  sont isométriques.

**Scolies :** (1) le triangle LMN <sup>40</sup>

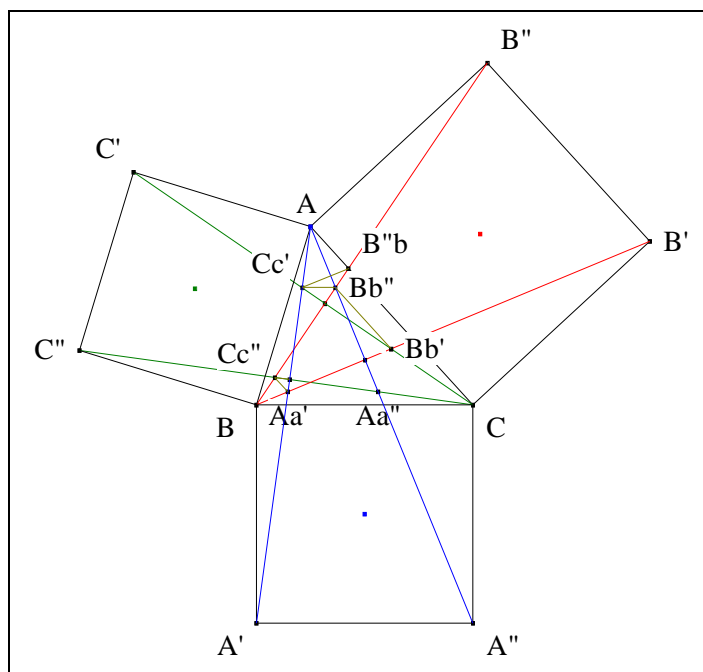
<sup>40</sup>

Very interesting Problem [squares on sides of a triangle], *Mathlinks* du 06/05/2004 ;  
[http://www.mathlinks.ro/Forum/viewtopic.php?search\\_id=1978435267&t=5549](http://www.mathlinks.ro/Forum/viewtopic.php?search_id=1978435267&t=5549).



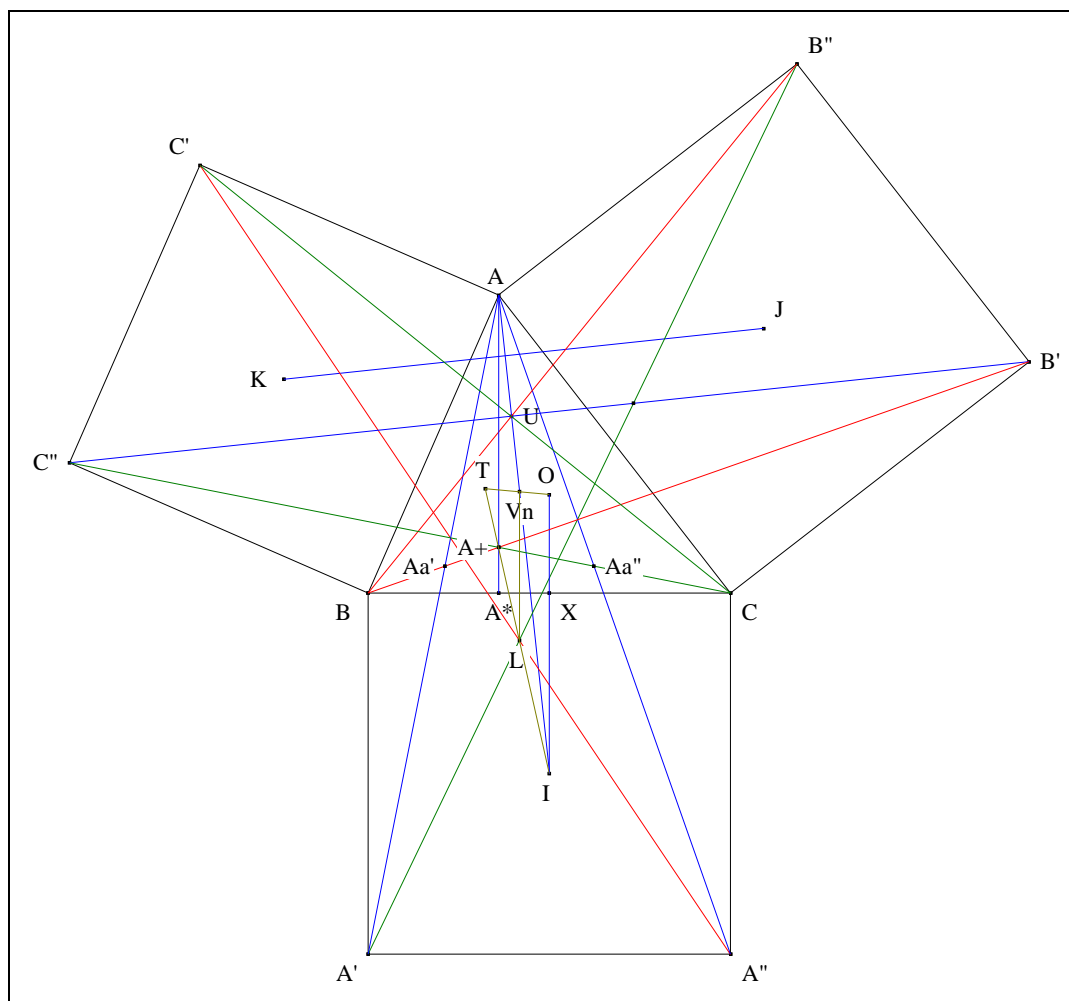
- Nous retrouvons "la figure de Vecten" en considérant le triangle  $V_n B b'' C c'$ .
- D'après III. 2. La proposition 2,  $C c' B b' = B b'' C c''$ .
- Notons  $L'$  le point d'intersection de la parallèle à  $(C c' B b')$  passant par  $N$  avec la parallèle à  $(B b'' C c'')$  passant par  $M$
- D'après VI. 2. Un triangle rectangle-isocèle, scolie 1,
  - (1) le triangle  $L' M N$  est rectangle-isocèle en  $L'$
  - (2)  $L' M = C c' B b'$ .
- **Conclusion** : d'après le théorème de Pythagore,  $M N = \sqrt{2} \cdot C c' B b'$ .
- (2) Deux parallèles <sup>41</sup>

<sup>41</sup> Vecten's figure, *Mathlinks* du 29/03/2009 ; <http://www.mathlinks.ro/Forum/viewtopic.php?t=267579>.



- Notons  $B''b$  le point d'intersection de  $(BB'')$  et  $(CA)$ .
  - **Conclusion :** d'après "Le petit théorème de Pappus" (Cf. Annexe 10) appliqué à l'hexagone  $Cc' B''b C B Bb' Bb'' Cc'$  construit sur  $(BB'')$  et  $(CC')$ ,  $(Cc'B''b) \parallel (BB')$ .
- (3) Les résultats restent vrais lorsque l'on remplace "extérieur" par "intérieur".

### 7. Figure récapitulant les notations par rapport à A



## V. LE MOULIN À VENT BORDÉ DE FLANCS

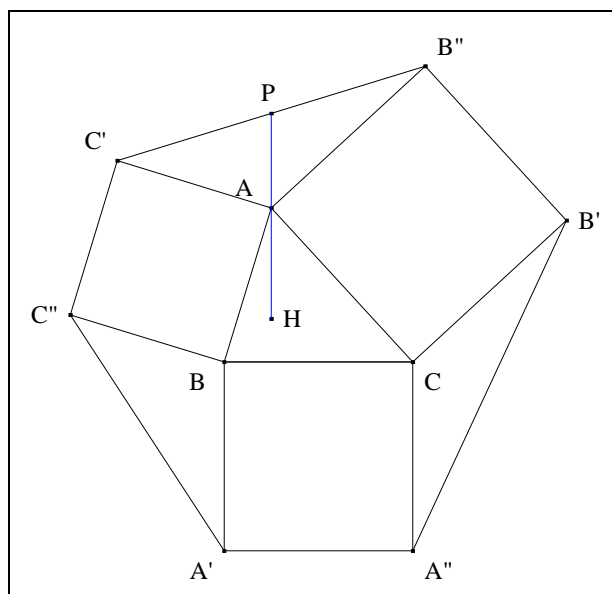
OU

### LA FIGURE DE VECTEN

1. D'une hauteur à une médiane

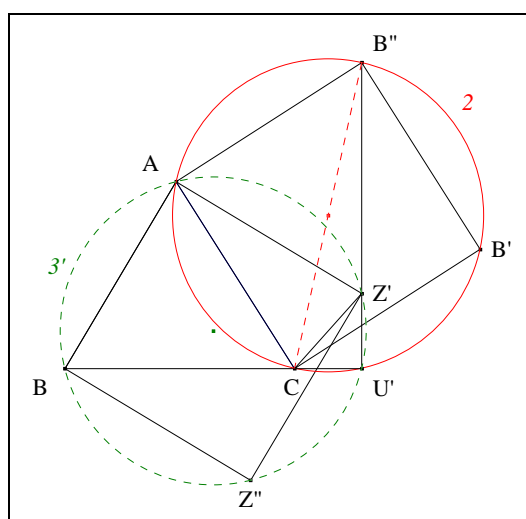
VISION

Figure :



- Traits :** les hypothèses et les notations sont les mêmes que précédemment,  
 H l'orthocentre de ABC  
 et P le point d'intersection de (AH) et (B''C').
- Donné :** P est le milieu de [C'B'']<sup>42</sup>.

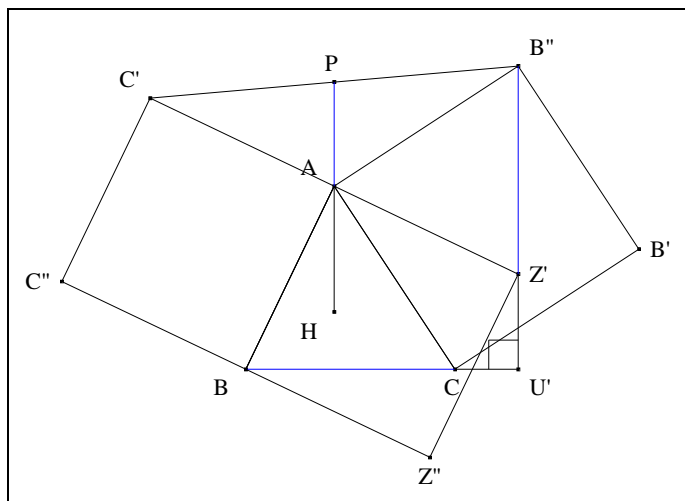
### VISUALISATION



- Notons  $AZ'Z''B$  le carré intérieur à ABC,  
 $3'$  le cercle circonscrit à  $AZ'Z''B$   
 et  $U'$  le second point d'intersection de 2 et  $3'$ .
- D'après III. 1. Un lemme, scolie 5, appliqué au triangle  $ACZ'$ ,
  - (1)  $C, U'$  et  $B$  sont alignés
  - (2)  $Z', U'$  et  $B''$  sont alignés
  - (3)  $(Z'U'B'') \perp (CU'B)$ .

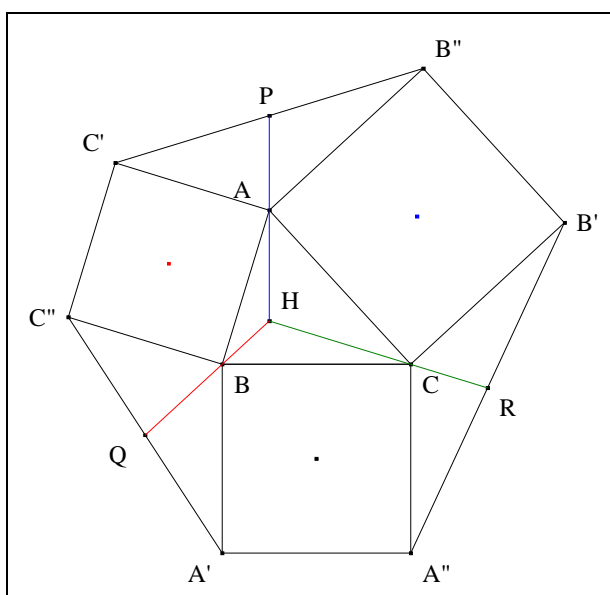
<sup>42</sup> Mosnat E., *Problèmes de géométrie analytique*, Vuibert et Nony (1892).





- D'après III. 2. La proposition 2,  $BC = Z'B''$ .
- D'après Thalès "La droite des milieux" appliqué à  $C'Z'B''$ ,  $Z'B'' = 2 \cdot AP$ .
- **Conclusion** : par transitivité de la relation  $//$ ,  $BC = 2 \cdot AP$ .

(4) Vision triangulaire



- Notons  $Q, R$  les points d'intersection resp. de  $(BH)$  et  $(C''A')$ , de  $(CH)$  et  $(A''B')$ .
- **Conclusion** :  $Q, R$  sont les milieux resp. de  $[C''A']$ ,  $[A''B']$ .

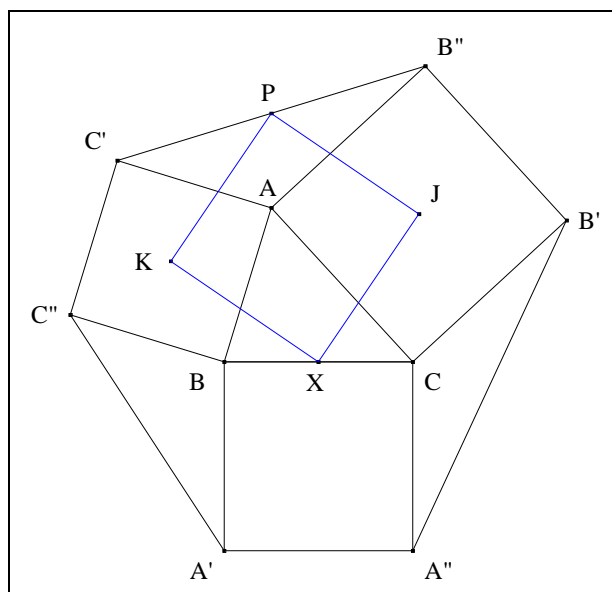
(5) Le résultat reste vrai lorsque l'on remplace "extérieur" par "intérieur".

## 2. Un carré et un cercle de Finsler-Hadwiger <sup>44</sup>

### VISION

<sup>44</sup> Finsler P. and Hadwiger H., Einige Relationen im Dreieck, *Comment. Helv.* 10 (1937) 316-326 ; Hadwiger H. (1908-1981).

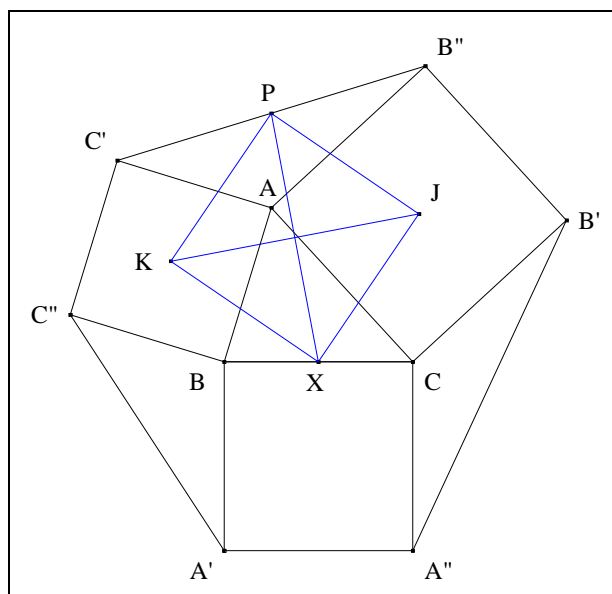
Figure :



**Traits :** les hypothèses et les notations sont les mêmes que précédemment.

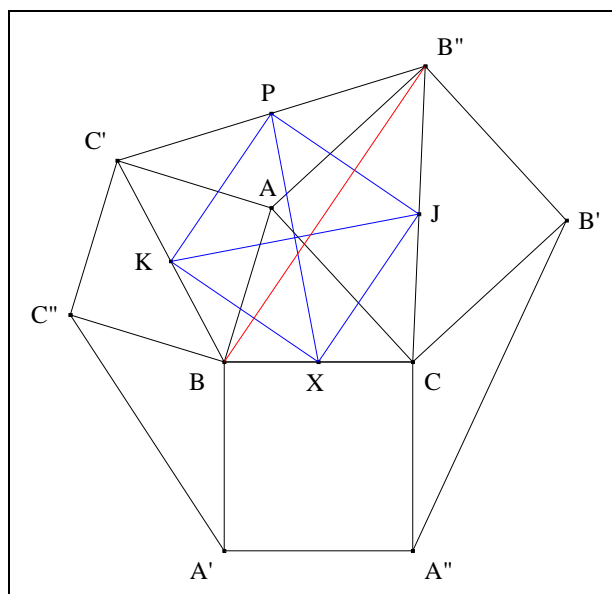
**Donné :** le quadrilatère XJKP est un carré<sup>45</sup>.

### VISUALISATION



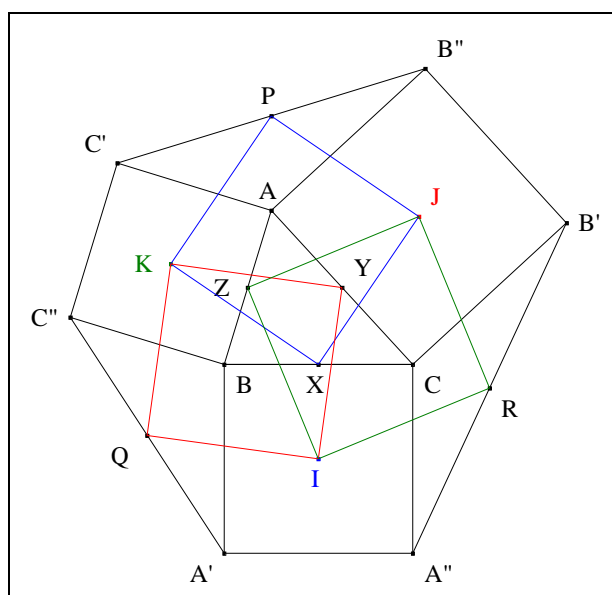
- D'après III. 5. Un triangle rectangle isocèle, (1) le triangle XJK est rectangle-isocèle en X  
(2) le triangle PKJ est rectangle-isocèle en P.
- D'après le théorème de la médiatrice, (PX) est la médiatrice de [JK].

<sup>45</sup> Squares, *Mathlinks* du 27/10/2007 ; [http://www.mathlinks.ro/Forum/viewtopic.php?search\\_id=164826481&t=116421](http://www.mathlinks.ro/Forum/viewtopic.php?search_id=164826481&t=116421).

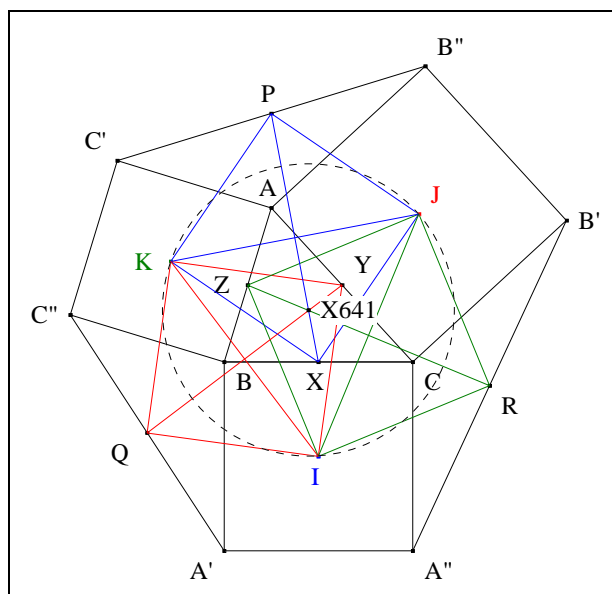


- D'après Thalès "La droite des milieux" appliqué (1) au triangle  $C'BB''$ ,  
par transitivité de la relation = et par simplification, (2) au triangle  $CBB''$ ,  
 $2.KP = BB''$   
 $BB'' = 2.XJ$  ;  
 $KP = XJ$ .
- Le quadrilatère  $XJPK$  ayant quatre côtés égaux est un losange ;  
 $XJPK$  ayant deux côtés consécutifs perpendiculaires est un carré.
- **Conclusion** : le quadrilatère  $XJPK$  est un carré.

- Scolies :**
- (1)  $XJPK$  est 'le A-carré de Finsler-Haswiger de  $ABC''$ .
  - (2)  $(PX)$  est la I-médiatrices de  $IJK$ .
  - (3) Vision triangulaire

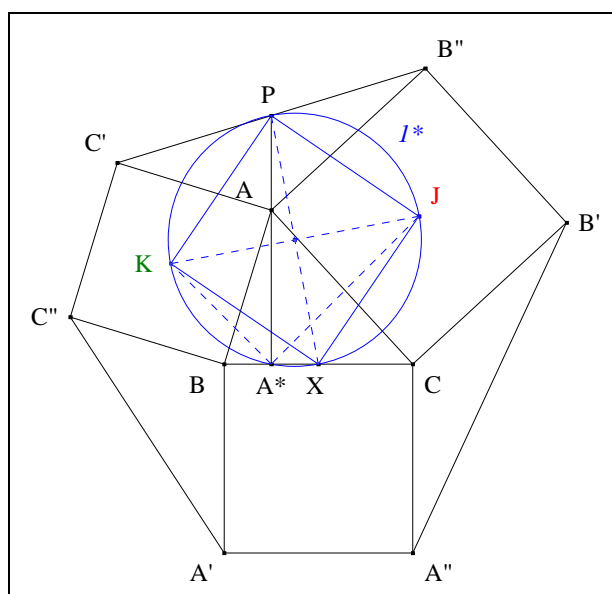


- (4) Centre du cercle circonscrit à  $IJK$  ou le point  $X_{641}$



- **Conclusion :** (PX), (QY) et (RZ) étant les I, J, K-médiatrices de IJK sont concourantes.

- (5) Le cercle circonscrit à XJKP  
ou "le A-cercle de Finsler-Hadwiger relativement à ABC"



- Notons  $I^*$  le cercle circonscrit à XJKP.
- Nous savons que  $[PX]$  est un diamètre de ce cercle  
( $PAA^*$ ) est la a-hauteur de ABC.
- **Conclusion :** d'après Thalès "Triangle inscrit dans un demi cercle",  $A^*$  est sur ce cercle.<sup>46</sup>

- (6) Le résultat reste vrai lorsque l'on remplace "extérieur" par "intérieur".

**Exercices :** (1) deux triplets de droites concourantes

<sup>46</sup> Grinberg D., Squares on the sides, Message *Hyacinthos* # 7993 du 24/09/2003 ;  
<http://tech.groups.yahoo.com/group/Hyacinthos/message/7993>.

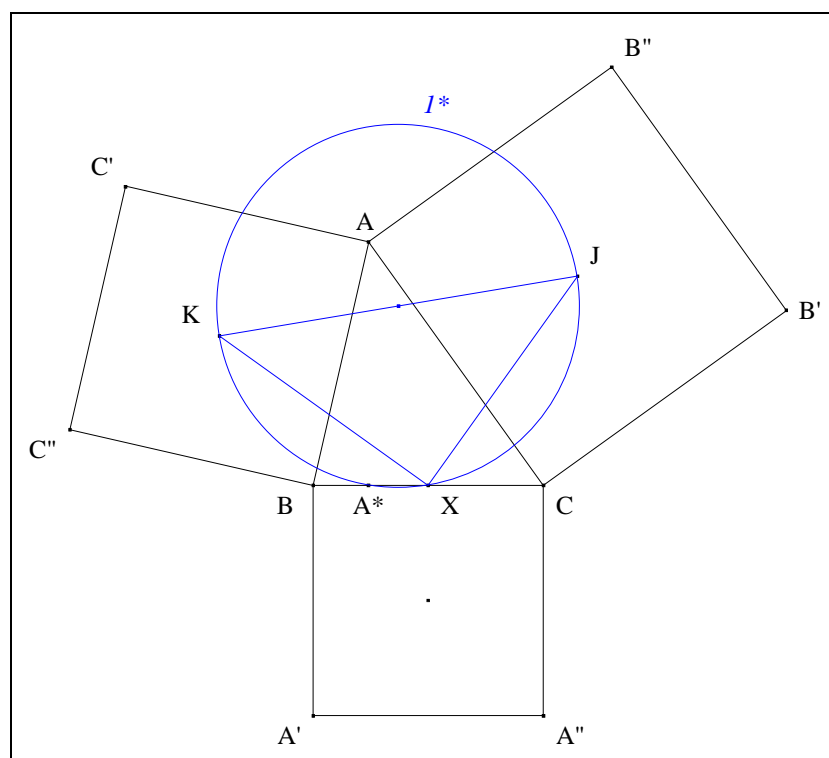


- Notons  $I^*$  le milieu de  $[JK]$ .
- Montrer que si, trois des points  $A, V_n, X, I^*$  sont alignés  
alors, le quatrième l'est aussi.

### 3. Un premier résultat de Thébault

#### VISION

Figure :

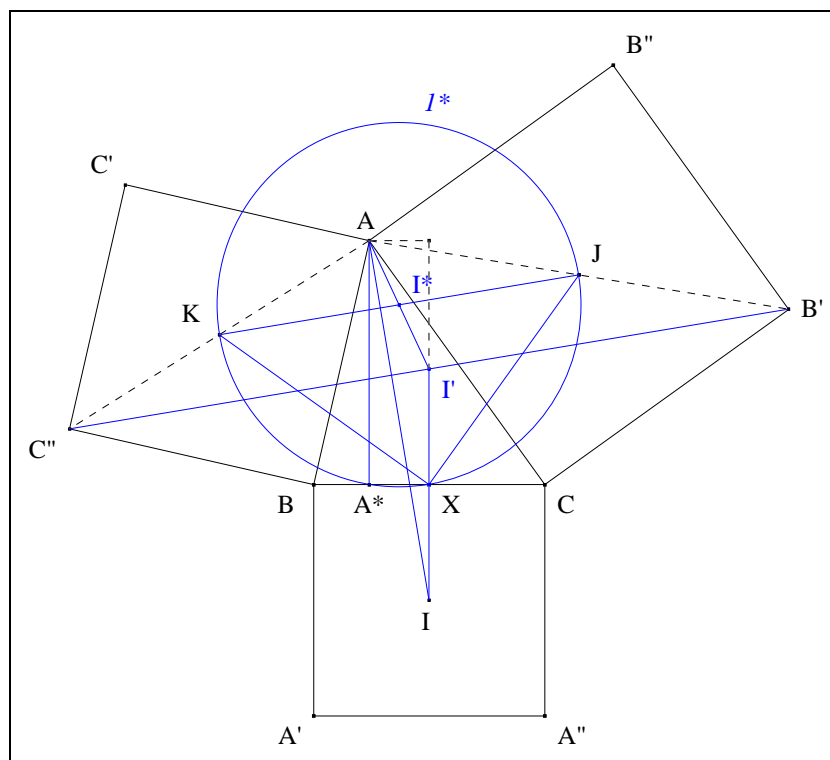


**Traits :** les hypothèses et les notations sont les mêmes que précédemment,  
 $P_{I^*}(A)$  la puissance de A par rapport à  $I^*$   
 et  $T$  l'aire de ABC.

**Donné :**  $|P_{I^*}(A)| = T.$ <sup>49</sup>

#### VISUALISATION

<sup>49</sup> Thébault V., Triangle bordé de carrés, *Mathesis*, 65 (1956) 423-426 ;  
 Grinberg D., Thebault on the Vecten squares, Message *Hyacinthos* # 8888 du 30/12/2003 ;  
<http://tech.groups.yahoo.com/group/Hyacinthos/message/8888>.



- Notons  $I^*$  le centre de  $I^*$   
et  $I'$  le milieu de  $[B'C'']$  (voir p. 72).

- Nous avons :  
en multipliant par 4 les deux membres,  
d'après III. 6. Le résultat de Neuberg,  
en considérant le triangle  $AI'I'$ ,  
par définition de l'aire d'un triangle,  
par transitivité de la relation =,  
 $|P_{I^*}(A)| = |AI'^2 - I'^*K^2|$  ;  
 $4. |P_{I^*}(A)| = |AI'^2 - JK^2|$  ;  
 $|AI'^2 - JK^2| = |AI'^2 - AI^2|$  ;  
 $|AI'^2 - AI^2| = 2. \Pi'.AA^*$  ;  
 $2. \Pi'.AA^* = 4.T$  ;  
 $4. |P_{I^*}(A)| = 4.T$ .

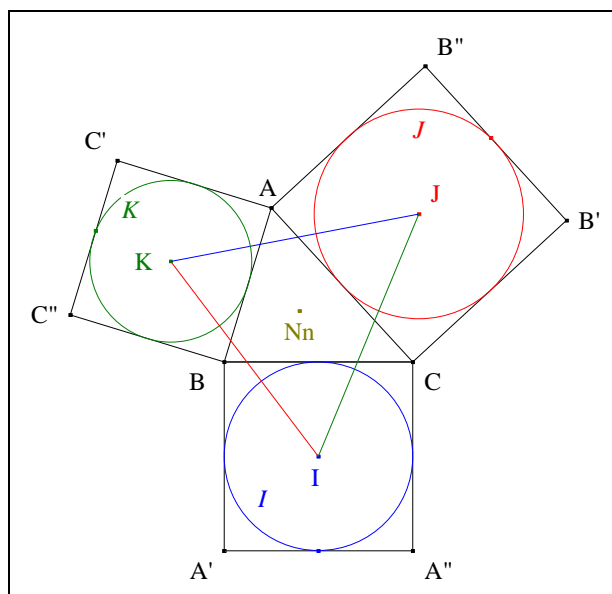
- **Conclusion** : par simplification,  $|P_{I^*}(A)| = T$ .

**Scolie** : le résultat reste vrai lorsque l'on remplace "extérieur" par "intérieur".

#### 4. Un deuxième résultat de Victor Thébault

### VISION

**Figure** :



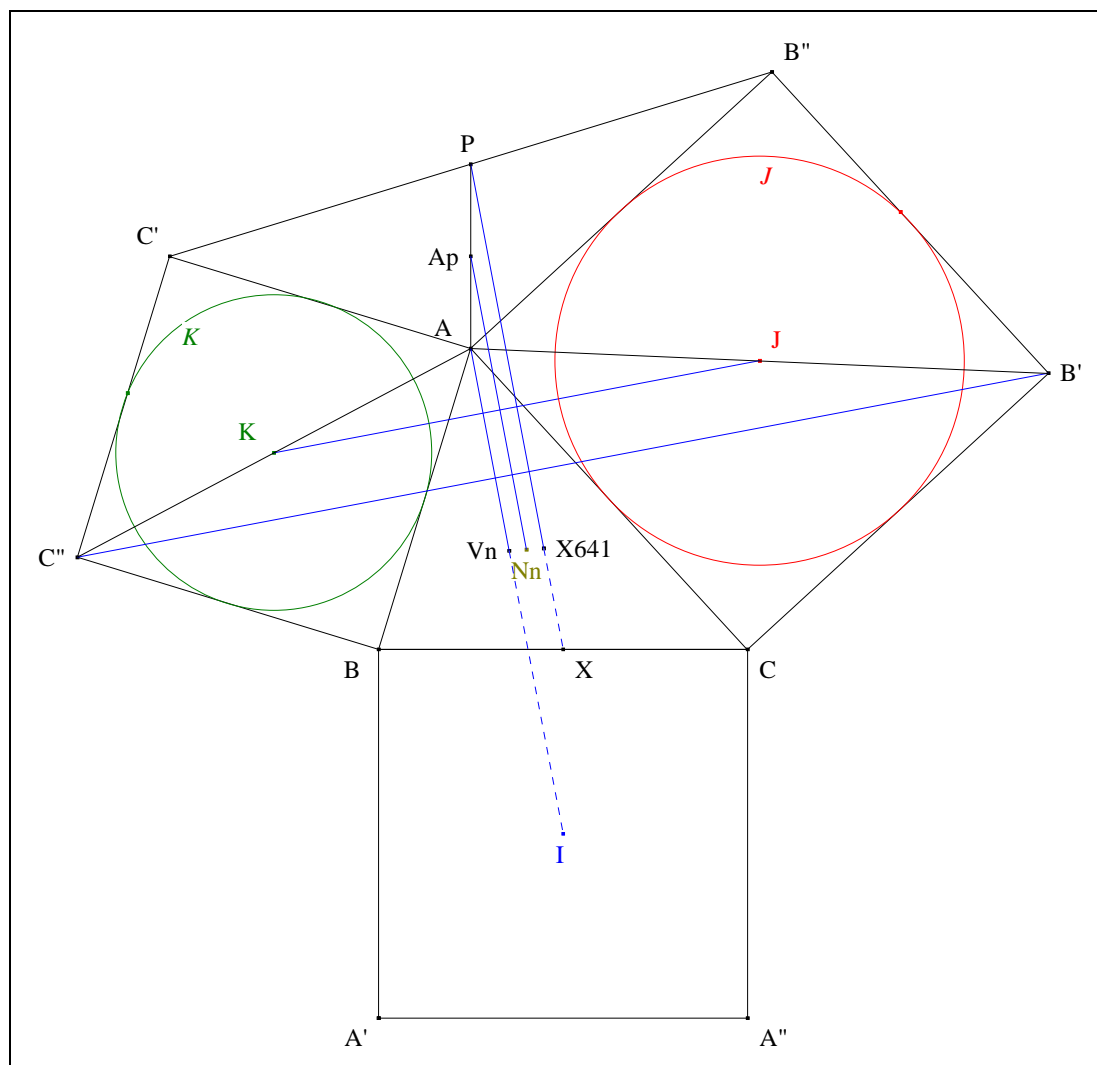
**Traits :** les hypothèses et les notations sont les mêmes que précédemment,  
 $I, J, K$  les cercles inscrits resp. dans  $BA'A''C, CB'B''A, AC'C''B$   
 et  $Nn$  le centre du cercle d'Euler de  $IJK$ .

**Donné :**  $Nn$  est le centre radical de  $I, J$  et  $K$ .<sup>50</sup>

### VISUALISATION

<sup>50</sup>

Thébault, V., Triangle bordé de carrés, *Mathesis* 65 (1956) 423-426 (1956).



- D'après III. 7. Le premier point de Vecten,
 

(1)	(AI) passe par l'orthocentre $V_n$ de IJK
(2)	$(AI) \perp (JK)$
  
- D'après V. 2. Un carré de Finsler-Hadwiger, scolie 2
 

(1)	$(PX)$ est la I-médiatrice $(PX)$ de IJK
(2)	$(PX)$ passe par $X_{641}$
(3)	$(JK) \perp (PX)$ .
  
- D'après l'axiome IVa des perpendiculaires,
 

	$(AI) \parallel (PX)$
--	-----------------------
  
- **Scolie :**  $N_n$  est le milieu de  $[V_n O_{641}]$ .
  
- Notons  $A_p$  le milieu de  $[AP]$ .
  
- L'axe médian de la bande de frontières  $(AI)$  et  $(PX)$ ,  
d'après l'axiome de passage IIIb,
 

	passe par $A_p$ et est parallèle à $(AI)$ ; cet axe médian passe par $N_n$ .
--	---



l'axe radical de  $I$  et  $J$  passe par  $N_n$ .

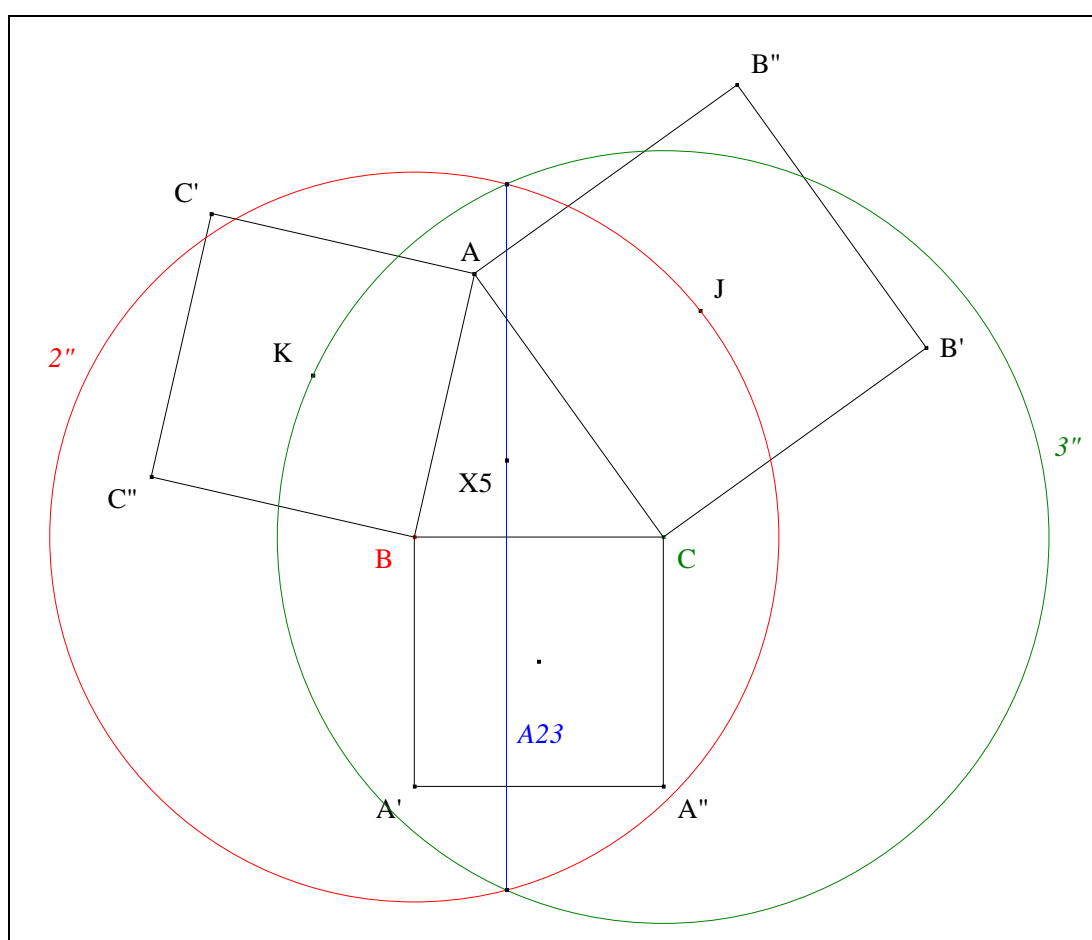
- **Conclusion :**  $N_n$  est le centre radical de  $I, J$  et  $K$ .

**Scolie :** le résultat reste vrai lorsque l'on remplace "extérieur" par "intérieur".

## 5. Un troisième résultat de Victor Thébault

### VISION

**Figure :**

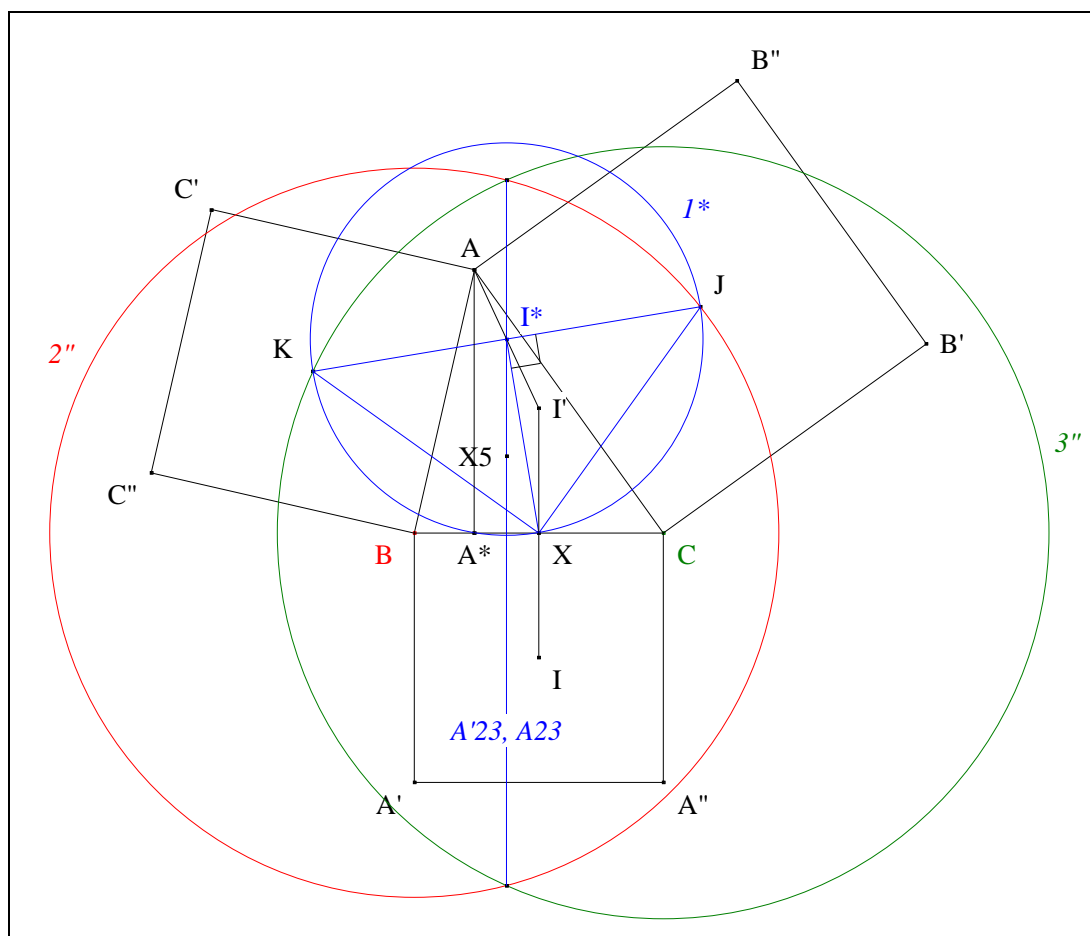


**Traits :** les hypothèses et les notations sont les mêmes que précédemment,  
 $2'', 3''$  les cercles de centre B, C passant resp. par J, K,  
 $A_{23}$  l'axe radical de  $2''$  et  $3''$ ,  
 et  $X_5$  le centre du cercle d'Euler de ABC.

**Donné :**  $A_{23}$  passe par  $X_5$ .<sup>51</sup>

<sup>51</sup> Thébault V., problem E1420, *American Math. Monthly*, 67 (1960) 470 ;  
 Yiu P., A geometry problem of V. Thebault, Message *Hyacinthos* # 1667 du 25/10/2000 ;  
<http://tech.groups.yahoo.com/group/Hyacinthos/message/1667>.

## VISUALISATION



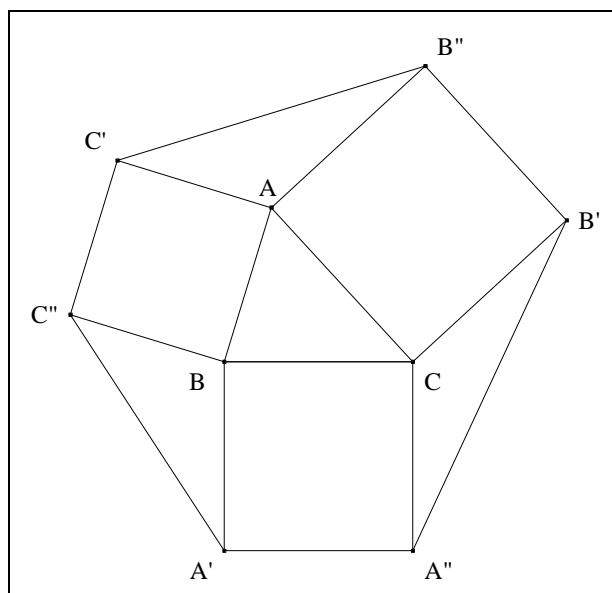
- D'après V. 2. Un carré de Finsler-Hadwiger, scolie 5,  $I^*$  passe par  $A^*$  et  $X$ .
- Notons  $A'23$  la médiatrice de  $[A^*X]$ .
- D'après l'axiome de passage IIIb appliqué à la bande de frontière  $(AA^*)$  et  $(I'XI)$ ,  $I^*$  est sur  $A'23$
- **Scolies :**
  - (1) le cercle d'Euler de  $ABC$  passe par  $A^*$  et  $X$
  - (2)  $X_5$  est sur  $A'23$ .
- D'après III. 5. Un triangle rectangle-isocèle,  $I^*$  étant le milieu de  $[JK]$ ,  $XJK$  est rectangle-isocèle en  $X$  ;  $(JK) \perp (XI^*)$ .
- Nous avons : d'après "Différence de deux carrés" (Cf. Annexe 11), en conséquence,  $P_2''(I^*) = BI^{*2} - BJ^2$  et  $P_3''(I^*) = CI^{*2} - CK^2$  ;  $P_2''(I^*) = P_3''(I^*)$  ;  $I^*$  est sur  $A23$ .
- **Scolie :**  $A23 \perp (BC)$ .
- Sachant que par un point pris hors d'une droite, nous ne pouvons mener qu'une seule perpendiculaire à cette droite,  $A'23$  et  $A23$  sont confondus.
- **Conclusion :**  $A23$  passe par  $X_5$ .

**Note historique :** ce problème de Victor Thébault datant de 1960 a été résolu métriquement par Léon Bankoff <sup>52</sup>.

## 6. La proposition 5 de Vecten

### VISION

**Figure :**



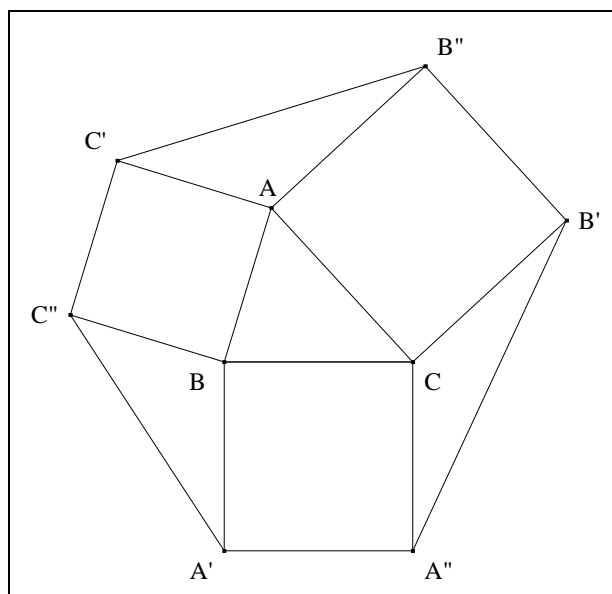
**Traits :** les hypothèses et les notations sont les mêmes que précédemment.

**Donné :** les A, B, C-flancs du moulin à vent ont même aire que ABC <sup>53</sup>.

### VISUALISATION

<sup>52</sup> Bankoff L., problem E1420, *American Math. Monthly*, 68 (1961) 65-66 ;  
Hatzipolakis A., A geometry problem of V. Thebault, Message *Hyacinthos* # 1660 du 26/10/2000 ;  
<http://tech.groups.yahoo.com/group/Hyacinthos/message/1669>.

<sup>53</sup> Vecten, Géométrie élémentaire. Extrait d'une lettre au rédacteur des Annales, *Annales de Gergonne* VII (1816-17) 321-324, proposition 5.



- En appliquant la formule Willebrord Snell (1580-1626) :  $[AB''C''] = AB'' \cdot AC' \cdot \sin \angle B''AC'$  ;  
 $[ABC] = AB \cdot AC \cdot \sin \angle BAC$  ;  
 $\angle B''AC'$  et  $\angle BAC$  étant supplémentaires, leur sinus sont égaux ;  
 en conséquence,  $[AB''C''] = [ABC]$ .
- Mutatis mutandis, nous montrerions que  $[BC''A'] = [ABC]$   
 $[CA''B'] = [ABC]$ .
- **Conclusion** : les A, B, C-flancs du moulin à vent ont même aire que ABC.

**Note historique :** ce résultat pour un triangle ABC rectangle en A a déjà été proposé en 1896 par le Frère Joseph<sup>54</sup>, de son nom civil Jean-Marie Josserand, Supérieur des Écoles Chrétiennes de 1884 à 1897. Rappelons que la tradition voulait que lorsqu'un Frères des Écoles Chrétiennes écrivait un livre, son nom ne fût pas mentionné, mais que l'on indiquât les initiales du Supérieur en fonction. En vérité, le véritable auteur était F. G.-M. i.e. le Frère Gabriel-Marie.

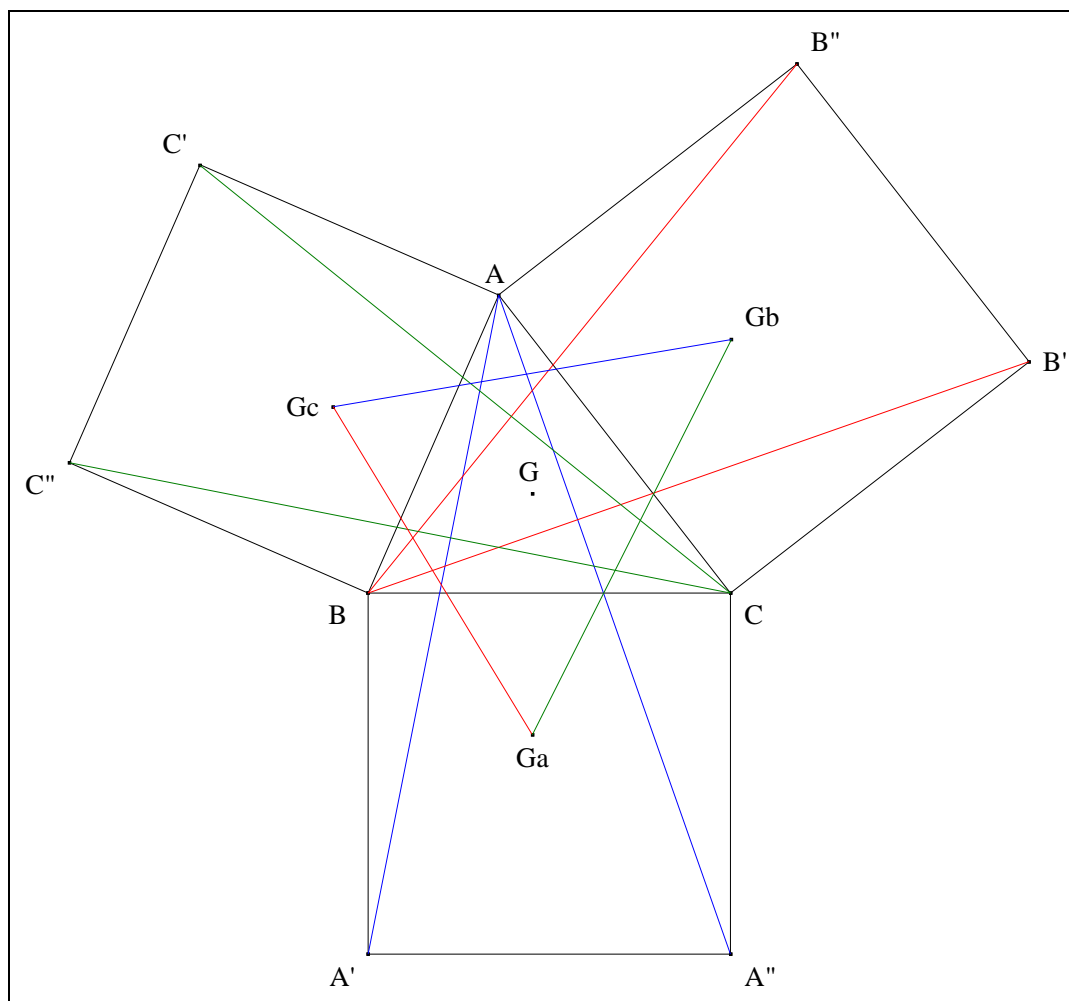
**Scolie :** le résultat reste vrai lorsque l'on remplace "extérieur" par "intérieur".

## 7. Le point $X_{1131}$

### VISION

**Figure :**

<sup>54</sup> F. J., Exercice de Géométrie Paris (1896).

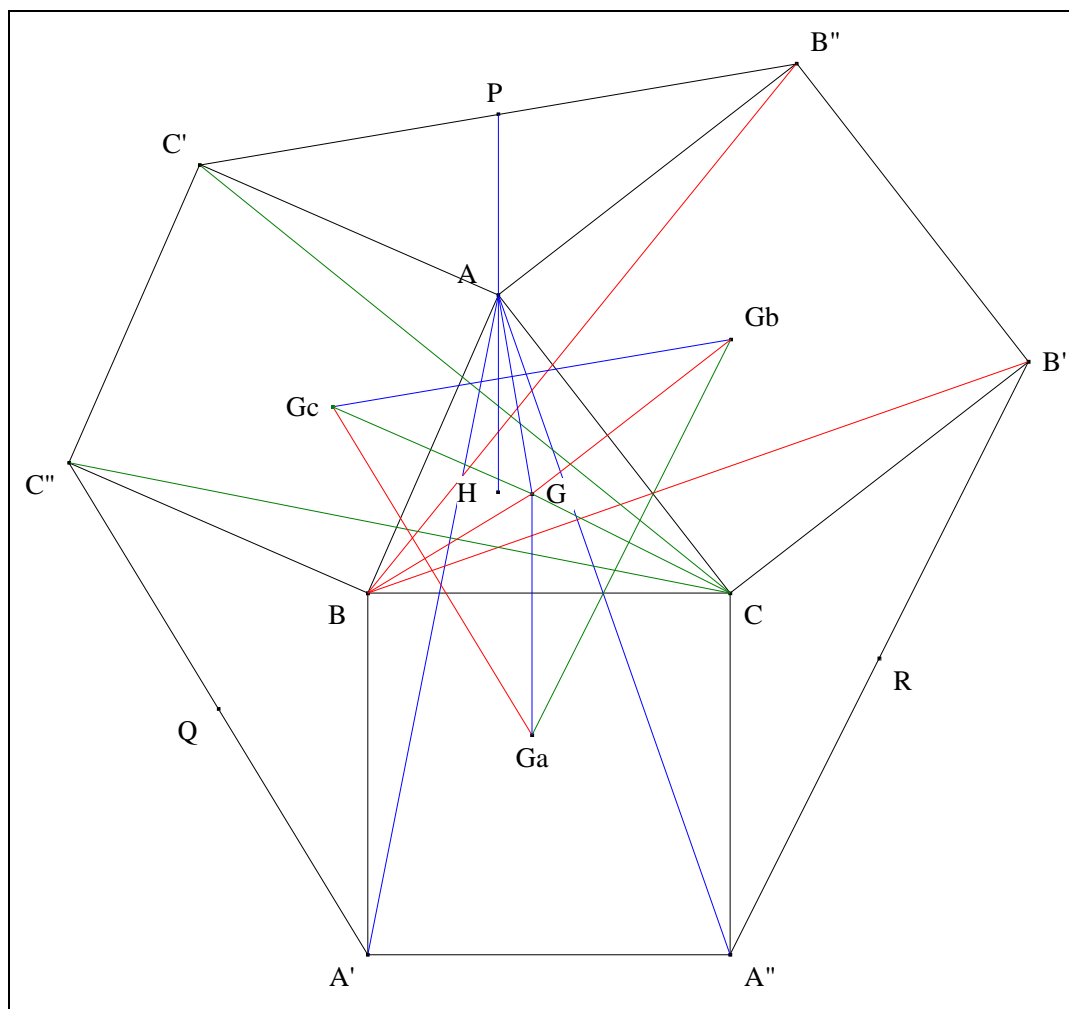


**Traits :** les hypothèses et les notations sont les mêmes que précédemment  
 et  $G_a, G_b, G_c$  les points médians des triangles  $AA'A''$ ,  $BB'B''$ ,  $CC'C''$ .

**Donnés :** les triangles  $G_aG_bG_c$  et  $ABC$  sont comédiens <sup>55</sup>.

### VISUALISATION

<sup>55</sup> Luisgeometria, Vecten's squares and centroid (own discovery), Mathlinks du 28/03/2009 ; <http://www.mathlinks.ro/Forum/viewtopic.php?t=267281>.



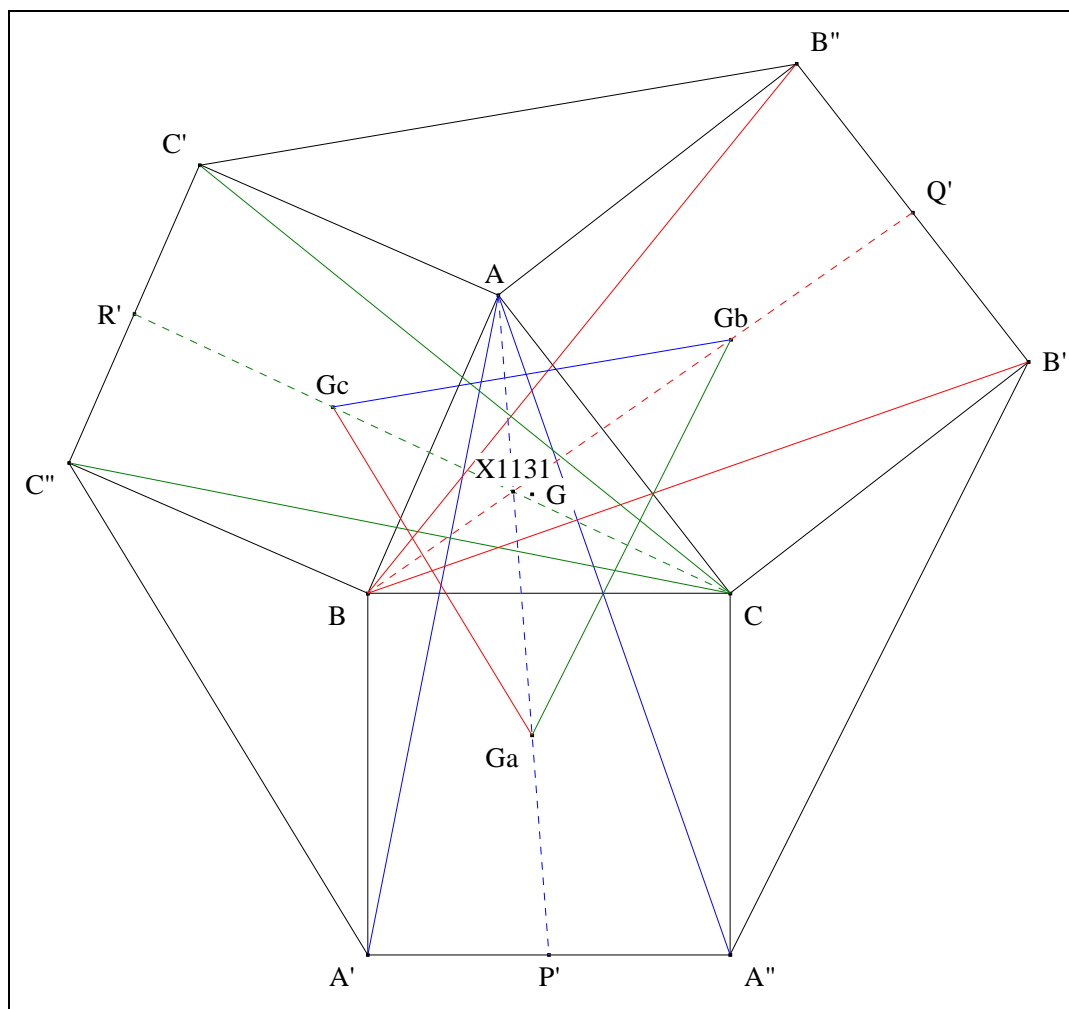
- **Scolies :**
  - (1)  $(GGb) \perp (CA)$  et  $2.GGb = 3.CA$
  - (2)  $(GGc) \perp (AB)$  et  $2.GGc = 3.AB$
  - (3)  $(GGb) \parallel (AB'')$  et  $(GGc) \parallel (AC')$
  - (4)  $(HAP) \parallel (GaG)$ .

- D'après le théorème c.a.c. appliqué à  $GGbGc$  et  $AB''C'$ ,  $GGbGc$  est homothétique à  $AB''C'$ .
- **Conclusion partielle :**  $(AP)$  étant la  $A$ -médiante de  $AB''C''$ ,  $(GaG)$  est la  $G$ -médiante de  $GGbGc$ .
- Mutatis mutandis, nous montrerions que  $(GbG)$  est la  $G$ -médiante de  $GGcGa$   
 $(GcG)$  est la  $G$ -médiante de  $GGaGb$  ;  
 $G$  est le point médian de  $GaGbGc$ .  
 en conséquence,
- **Conclusion :** les triangles  $GaGbGc$  et  $ABC$  sont comédiens.

**Note historique :** ce problème de Luisgeometria a été dédié à l'auteur, à Kostas Vittas ainsi qu'à Lym.

- Scolies :**
  - (1)  $GaGbGc$  et  $ABC$  sont bilogiques
  - (2)  $GaGbGc$  et  $ABC$  sont en perspective <sup>56</sup>

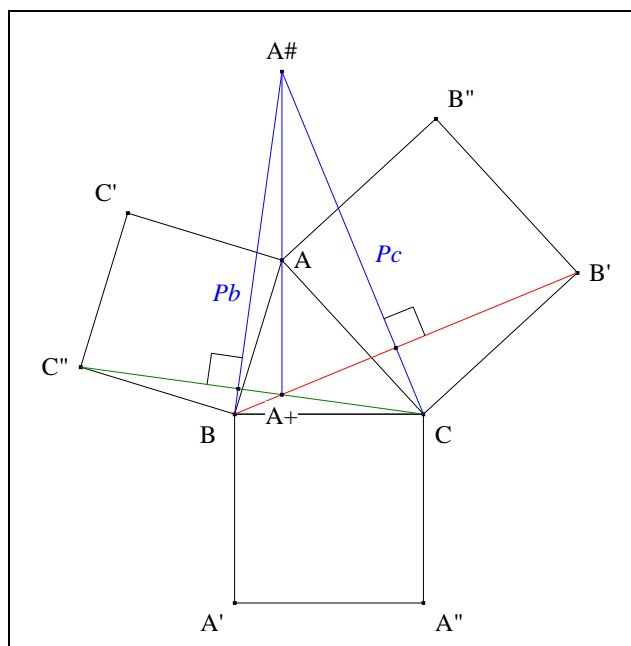
<sup>56</sup> Ayme J.-L., Le théorème de Sondat, G.G.G., vol. 1, 1. Lemme 1 ;  
 Ayme J.-L., Vecten 2, Message *Hyacinthos* # 17413 du 23/03/2009 ;

(3) Deux autres triangles en perspective <sup>57</sup>

- Notons  $P', Q', R'$  les milieux resp. de  $[A'A'']$ ,  $[B'B'']$ ,  $[C'C'']$ .
- Par définition d'un point médian,
  - (1)  $A, G_a$  et  $P'$  sont alignés
  - (2)  $B, G_b$  et  $Q'$  sont alignés
  - (3)  $C, G_c$  et  $R'$  sont alignés.
- **Conclusion :**  $(AP')$ ,  $(BQ')$  et  $(CR')$  sont concourantes.
  - (4) Le centre de cette perspective est référencé sous  $X_{1131}$  chez ETC.

## 6. Figure récapitulant les notations par rapport à A :

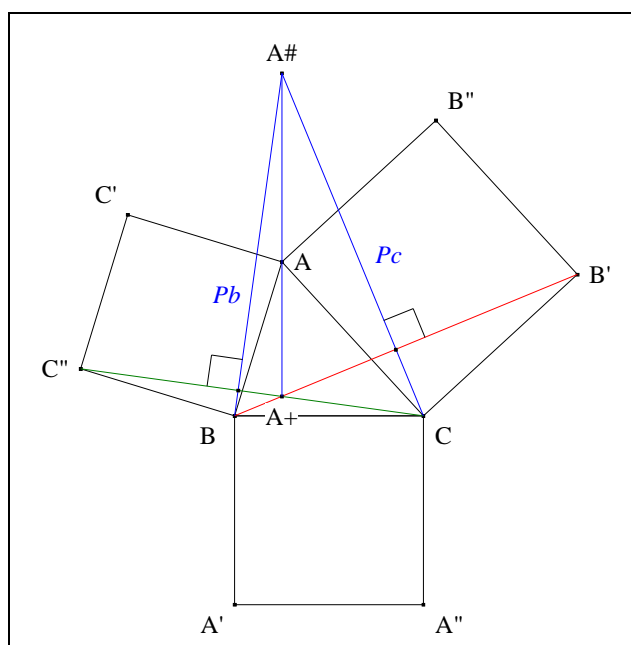




**Traits :** les hypothèses et les notations sont les mêmes que précédemment,  
 $P_b$  la perpendiculaire à  $(CC'')$  passant par  $B$   
 et  $P_c$  la perpendiculaire à  $(BB'')$  passant par  $C$ .

**Donné :**  $P_b, P_c$  et  $(AA_+)$  sont concourantes <sup>58</sup>.

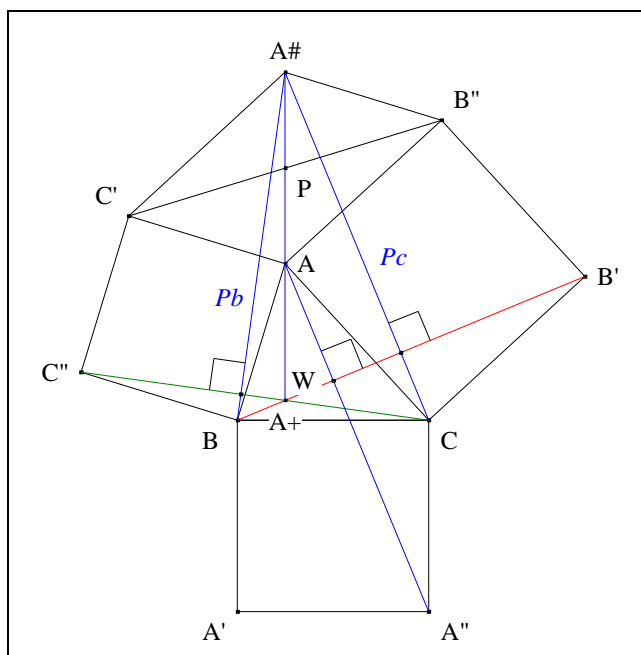
### VISUALISATION



- Notons  $A\#$  le point d'intersection de  $P_b$  et  $P_c$ .
- Par définition,  $A_+$  est l'orthocentre du triangle  $A\#BC$ .
- D'après III. 4. La proposition 1,  $(AA_+) \perp (BC)$  ;

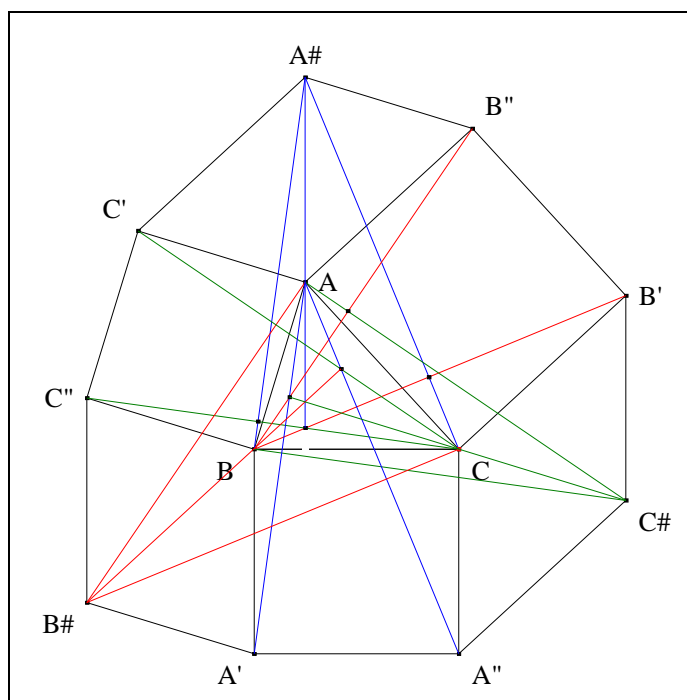
<sup>58</sup> Proposé comme problème par le Dr. Porson (1759-1808).





- D'après IV. 1. D'une hauteur à une médiane, scolie 3,  $2.AP = BC$ .
- Nous avons,  $BC = AA\#$  ;  
par transitivité de la relation =,  $2.AP = AA\#$  ;  
en conséquence, P est le milieu de  $[AA\#]$ .
- **Conclusion :** le quadrilatère  $AB''A\#C'$  ayant ses diagonales se coupant en leur milieu P, est un parallélogramme.

### (3) Vision triangulaire



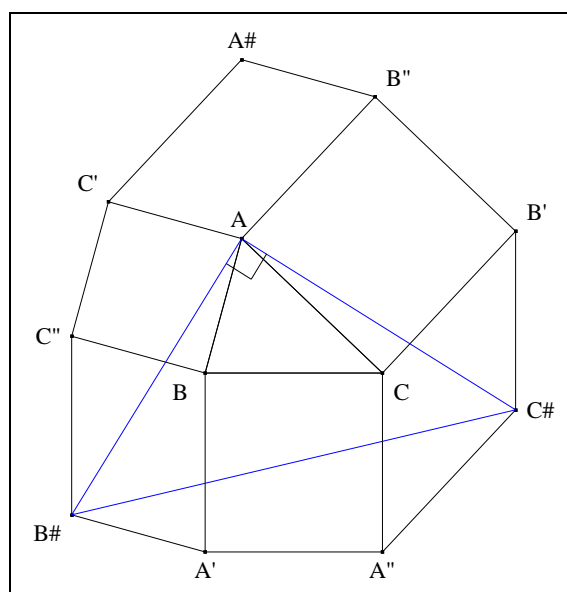
- Notons  $B\#, C\#$  deux points tels que les quadrilatères  $BC''B\#A'$ ,  $CA''C\#A'$  soient des parallélogrammes.

- (4) Le résultat reste vrai lorsque l'on remplace "extérieur" par "intérieur" ;

## 2. Un triangle rectangle-isocèle

### VISION

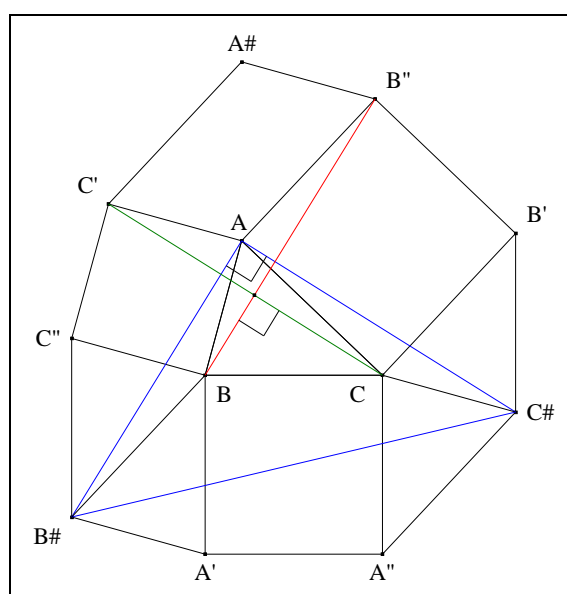
Figure :



**Traits :** les hypothèses et les notations sont les mêmes que précédemment.

**Donné :** le triangle  $AB\#C\#$  est rectangle-isocèle en  $A$ .<sup>65</sup>

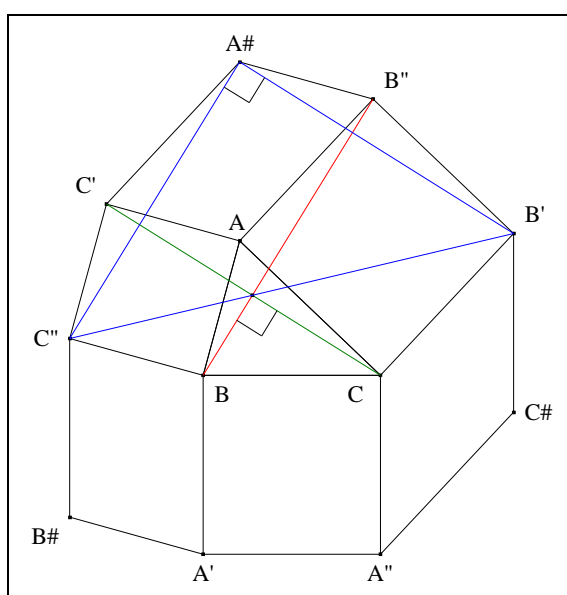
### VISUALISATION



<sup>65</sup> TST Yougoslavie (1992).

- D'après VI. 1. Le problème du Dr. Porson, en conséquence, le quadrilatère  $AB\#BB''$  est un parallélogramme ;  $(BB'') // (AB\#)$  et  $BB'' = AB\#$ .
- Mutatis mutandis, en conséquence, le quadrilatère  $AC\#CC'$  est un parallélogramme ;  $(CC') // (AC\#)$  et  $CC' = AC\#$ .
- D'après III. 2. La proposition 2,  $(BB'') \perp (CC')$  et  $BB'' = CC'$ .
- La relation  $\perp$  étant compatible avec la relation  $//$ ,  $(AB\#) \perp (AC\#)$  ; par substitution,  $AB\# = AC\#$ .
- **Conclusion** : le triangle  $AB\#C\#$  est rectangle-isocèle en A.

**Scolies :** (1) un autre triangle rectangle-isocèle



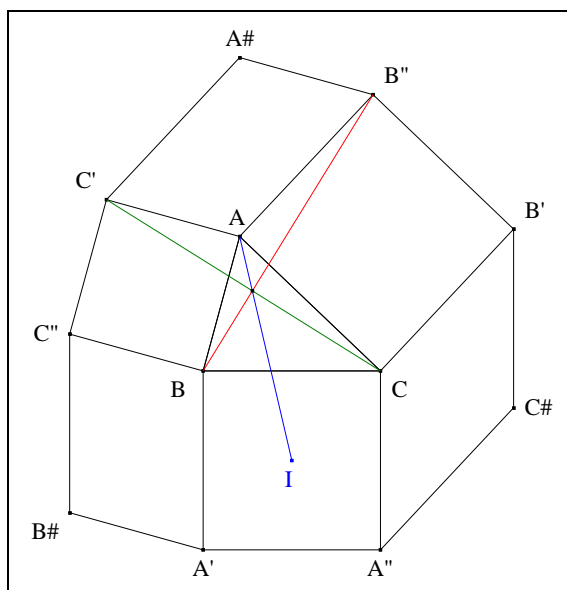
- Le quadrilatère  $A\#C''BB''$  étant un parallélogramme, nous savons que  $A\#C'' = BB''$  et  $(BB'') // (A\#C'')$  ;  
 le quadrilatère  $A\#B'CC'$  étant un parallélogramme,  $BB'' = CC'$  et  $(BB'') \perp (CC')$  ;  
 par transitivité de la relation  $=$ ,  $CC' = A\#B'$  et  $(CC') // (A\#B')$  ;  
 la relation  $\perp$  étant compatible avec la relation  $//$ ,  $A\#C'' = A\#B'$  ;  $(A\#C'') \perp (A\#B')$ .
- **Conclusion** : le triangle  $A\#C''B'$  est rectangle-isocèle en A#.

(2) Le résultat reste vrai lorsque l'on remplace "extérieur" par "intérieur" ;

### 3. Un résultat de Joseph Neuberg

#### VISION

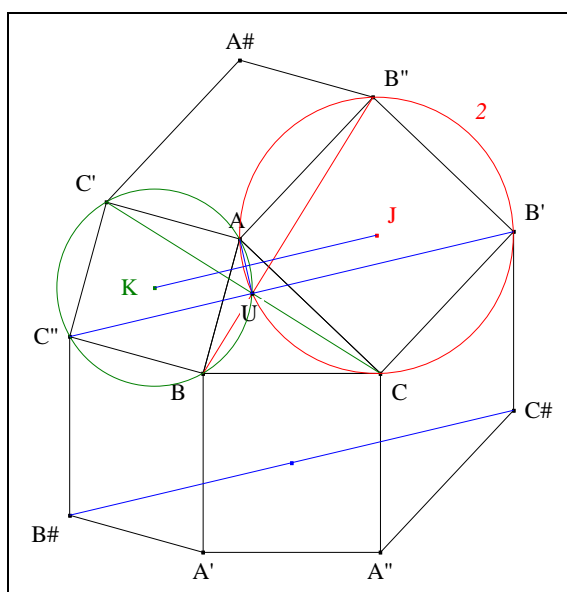
**Figure :**



**Traits :** les hypothèses et les notations sont les mêmes que précédemment.

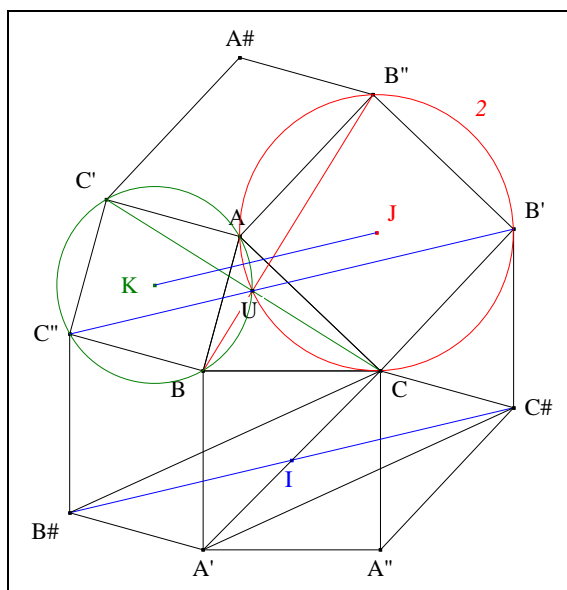
**Donné :** (AI), (BB'') et (CC') sont concourantes <sup>66</sup>.

### VISUALISATION

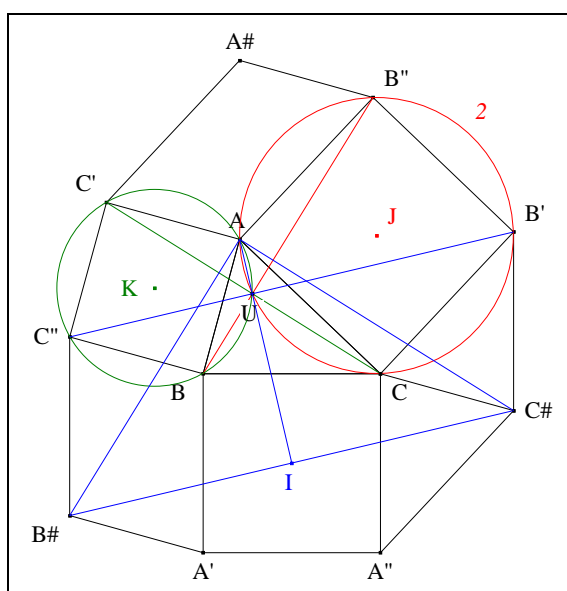


- Nous avons :  
d'après III. 5. Un triangle rectangle-isocèle, scolie 2,  
d'après l'axiome IVa des perpendiculaires,
  - (AU)  $\perp$  (JK) ;
  - (JK) // (B'UC'') ;
  - (AU)  $\perp$  (B'UC'').
- Le quadrilatère B#C#B'C' étant un parallélogramme,  
d'après l'axiome IVa des perpendiculaires,
  - (B'C'') // (B#C#) ;
  - (AU)  $\perp$  (B#C#).

<sup>66</sup> Neuberger J., *Nouvelle Correspondance de Mathématiques IV* (1878) 142-145, n° 5 ; Hungary-Israel (1997) ; Concurrent lines when squares erected on sides of ABC, *Mathlinks* du 31/12/2004 ; [http://www.mathlinks.ro/Forum/viewtopic.php?search\\_id=769743606&t=22304](http://www.mathlinks.ro/Forum/viewtopic.php?search_id=769743606&t=22304).



- D'après VI. 1. Le problème du Dr. Porson, en conséquence, le quadrilatère  $CB\#A'C\#$  est un parallélogramme ;  $I$  est le milieu de  $[B\#C\#]$ .



- D'après VI. 2. Un triangle rectangle-isocèle, en conséquence, i.e.  $(AU)$  est la  $A$ -hauteur de  $AB\#C\#$  isocèle en  $A$  ;  $(AU)$  est la  $A$ -médiante de  $AB\#C\#$  ;  $A, U$  et  $I$  sont alignés.
- **Conclusion :**  $(AI), (BB''),$  et  $(CC')$  sont concourantes.

**Scolie :** le résultat reste vrai lorsque l'on remplace "extérieur" par "intérieur".

#### 4. Un résultat d'Oene Bottema

**VISION**



ce dernier ayant deux côtés consécutifs égaux ( $IB = IC$ ), est un losange ;

ce dernier ayant ses diagonales égales, est un carré ;

en conséquence,

$$(II') \perp (BC) \text{ et } (II') \parallel (B\#C'').$$

- D'après VI. 3. Un résultat de Neuberg,

I est le milieu de  $[B\#C\#]$  ;

en conséquence,

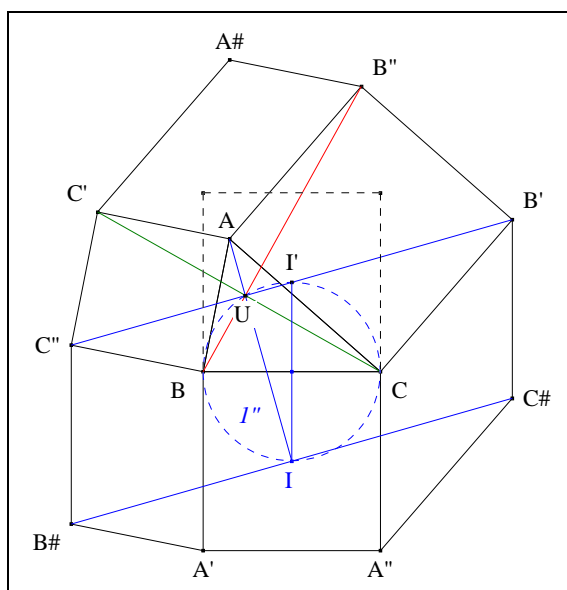
$(II')$  est l'axe médian de la bande de frontières  $(B\#C'')$  et  $(C\#B')$ .

- **Conclusion :** d'après l'axiome de passage IIIb,

I' est le milieu de  $[B'C'']$ .

**Note historique :** le cas particulier où  $ABC$  est A-rectangle a été proposé par F. G.-M. sans référence<sup>68</sup>.

**Scolies :** (1) nature géométrique de I'



- **Conclusion :** I' est le centre du carré construit sur  $[BC]$  à l'intérieur de  $ABC$ <sup>69</sup>.

(2) la médiatrice de  $[B'C'']$

<sup>68</sup> F. G.-M., *Exercices de Géométrie*, 6th ed. (1920), Rééditions Jacques Gabay (Gabay reprint), Paris, (1991) 562.

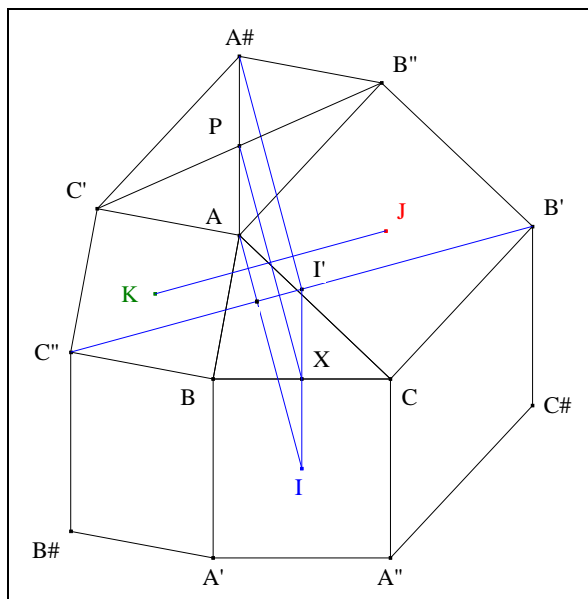
<sup>69</sup> Van Aubel, *Mathesis* (1880) n° 42  
solution : van Aubel, *Mathesis* (1881) 163.



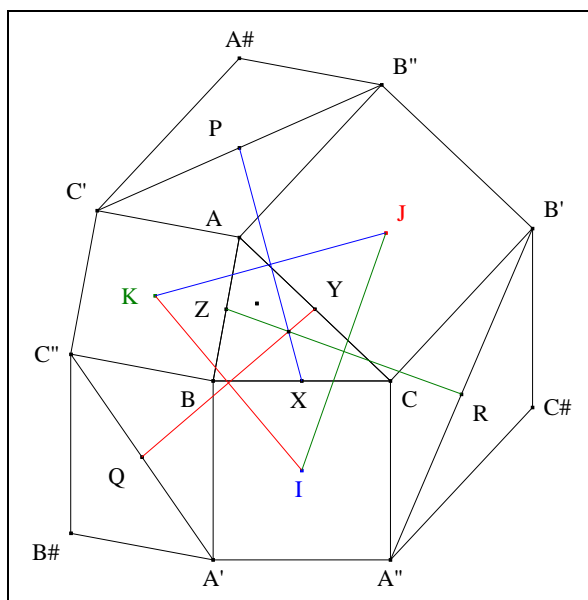


- **Conclusion** :  $ABC$ ,  $IJK$  et  $A\#B\#C\#$  sont comédiens.

(6) Un résultat d'Etienne Deprez <sup>70</sup>



- $AII'A\#$  étant un parallélogramme, nous savons que  
d'après le théorème de Thalès, nous savons que  
d'après l'axiome IVa des perpendiculaires,
  - $(AI) \parallel (A\#I)$  ;
  - P est le milieu de  $[AA\#]$
  - X est le milieu de  $[II']$  ;
  - $(PX) \parallel (AI)$  ;
  - $PX = AI$  ,  $(AI) \perp (JK)$  ,  $AI = JK$  ;
  - $(PX) \perp (JK)$ .
- D'après V. 2. Un carré de Finsler-Hadwiger, d'après le théorème de la médiatrice,
  - $XJPK$  est un carré ;
  - $(PX)$  est la I-médiatrice de  $IJK$  et nous avons :  $PX = JK$ .

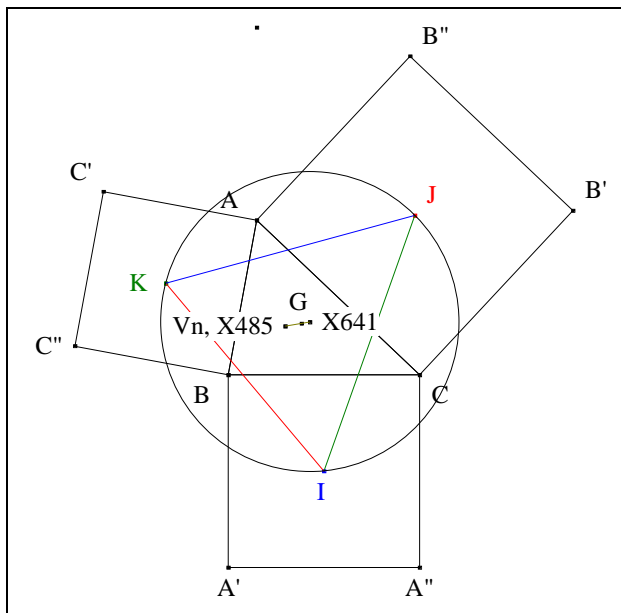


- Mutatis mutandis, nous montrerions que
  - $(PY)$  est la J-médiatrice de  $IJK$  et nous avons :  $PY = KI$  ;
  - $(PZ)$  est la K-médiatrice de  $IJK$  et nous avons :  $PZ = IJ$ .

<sup>70</sup> Deprez E., *Mathesis* n° 987 ; ce résultat a été déjà vu à la page 55.

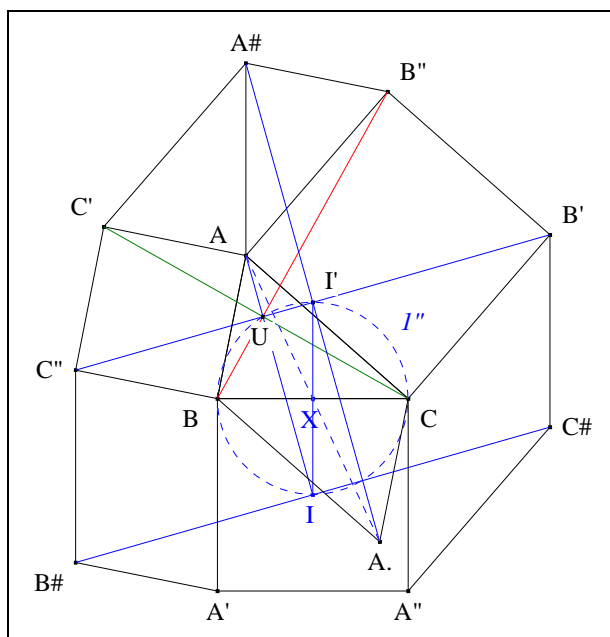
- **Conclusion :** (PX), (QY) et (CZ) sont concourante au centre du cercle circonscrit de IJK.

- (7) Terminologie :
- \* IJK est le triangle extérieur de Vecten de ABC
  - \* le cercle circonscrit à IJK est "le cercle extérieur de Vecten de ABC"
  - \* le centre de ce cercle est répertorié sous  $X_{641}$  chez ETC.
- (8)  $X_{641}$ , G et  $X_{485}$  ou la droite d'Euler de IJK



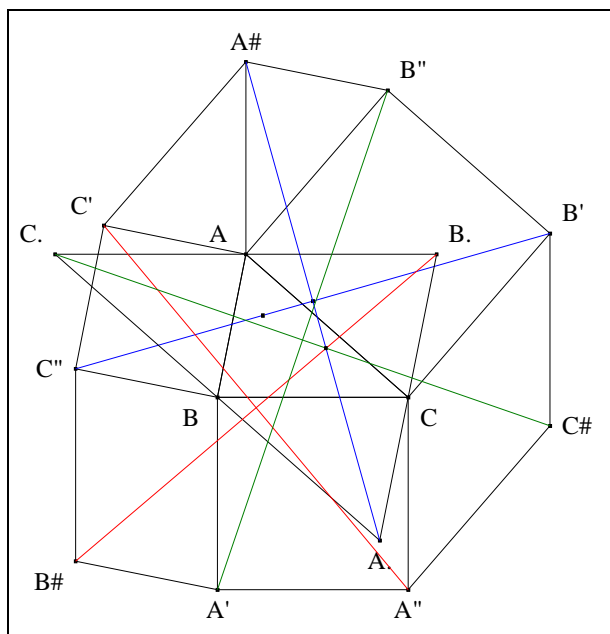
- D'après III. 7. La proposition 4, scolie 2,  $V_n$  i.e.  $X_{485}$  est l'orthocentre de IJK.
- D'après VI. 4. Un résultat de Bottema, scolie 5, ABC et IJK sont comédiens.
- **Conclusion :** d'après Euler <sup>71</sup>,  $X_{641}$  est le complément de  $X_{485}$ .

- (9) Le triangle antimédian de ABC



<sup>71</sup> Ayme J.-L., La fascinante figure de Cundy, G.G.G. Vol. 2, p. 3.

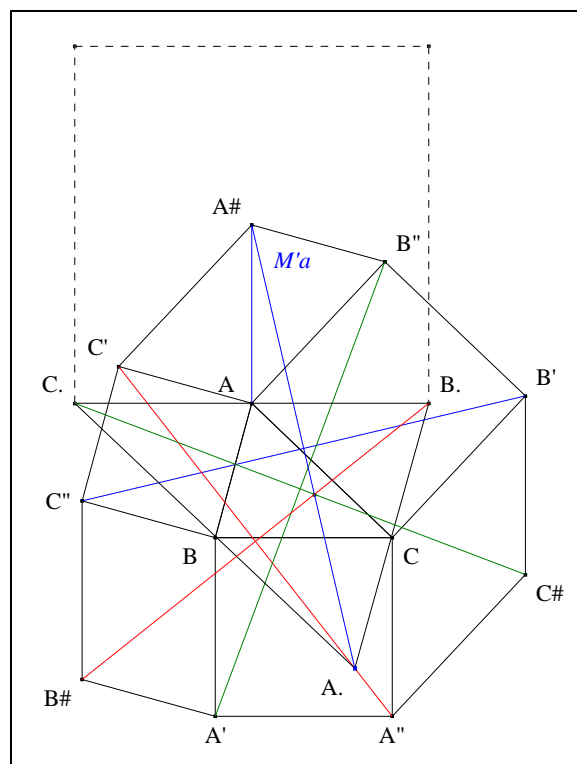
- Notons  $A.B.C.$  le triangle antimédian de  $ABC$ .
- Le quadrilatère  $AIA'I'$  ayant ses diagonales se coupant en leur milieu, est un parallélogramme ;  
 en conséquence,  $(I'A.) // (AI)$  ;  
 nous avons :  $(AI) // (I'A\#)$  ;  
 par transitivité de la relation  $//$ ,  $(I'A.) // (I'A\#)$  ;  
 d'après le postulat d'Euclide,  $(I'A.) = (I'A\#)$  ;  
 en conséquence,  $A\#, I'$  et  $A.$  sont alignés.
- **Conclusion :** la médiatrice de  $[B'C'']$  passe par  $A.$  et  $A\#$ .



- Mutatis mutandis, la médiatrice de  $[C'A'']$  passe par  $B.$  et  $B\#$   
 la médiatrice de  $[A'B'']$  passe par  $C.$  et  $C\#$ .

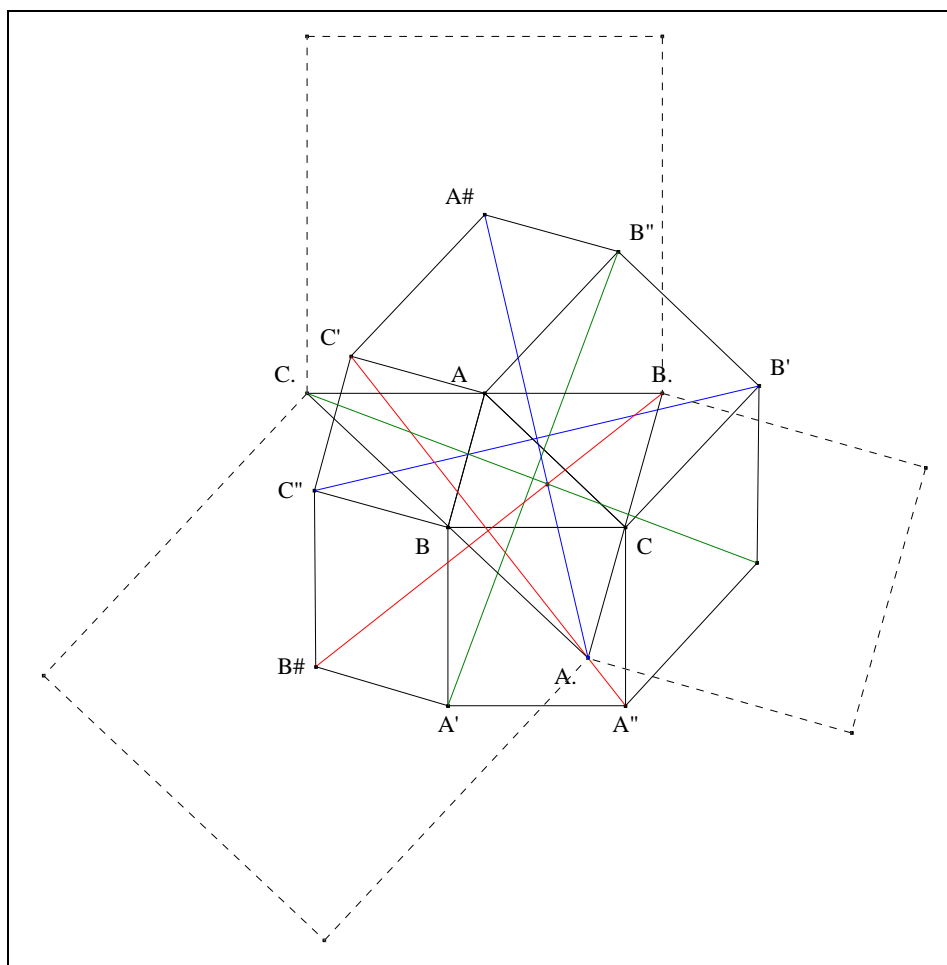
(10) Un résultat de Darij Grinberg <sup>72</sup>

<sup>72</sup> Grinberg D., Squares and perpendicular bisectors, Message *Hyacinthos* # 7238 du 06/06/2003 ;  
<http://tech.groups.yahoo.com/group/Hyacinthos/message/7238>.  
 Germany 1996 for squares erected on sides of triangle ;  
 Kiran Kedlaya's "Geometry Unbound" (problem 2 for section 5.3), *Mathlinks* du 07/01/2005 ;  
[http://www.mathlinks.ro/Forum/viewtopic.php?search\\_id=1417126920&t=22917](http://www.mathlinks.ro/Forum/viewtopic.php?search_id=1417126920&t=22917).



- Nous avons :  
en conséquence,

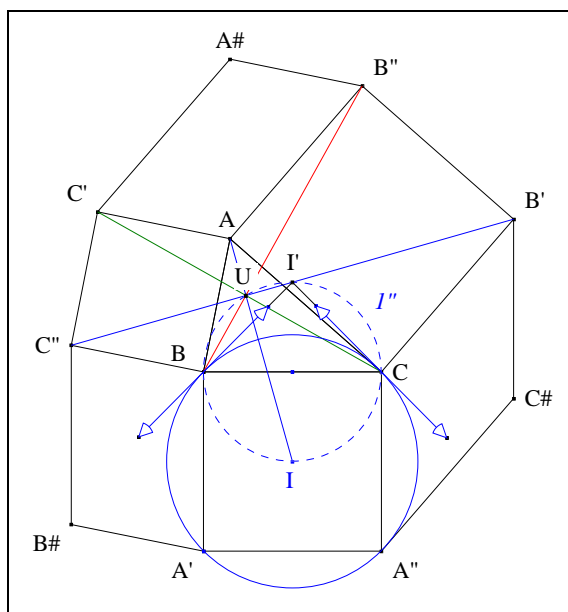
- \*  $(AA\#) \perp (B.C.)$
  - \*  $2.AA\# = 2.BC = B.C.$
- $A\#$  est le centre du carré construit sur  $[B.C.]$  à l'extérieur de  $A.B.C.$



- Mutatis mutandis, nous montrerions,  $B\#$  est le centre du carré construit sur  $[C.A.]$  à l'extérieur de  $A.B.C.$   
 $C\#$  est le centre du carré construit sur  $[A.B.]$  à l'extérieur de  $A.B.C.$
- **Conclusion :** d'après III. 7. La proposition 4,  
 $(A\#A.)$ ,  $(B\#B.)$  et  $(C\#C.)$  concourent au point extérieur de Vecten de  $A.B.C.$
- **Scolies :**
  - \* le point extérieur de Vecten de  $A.B.C.$  est répertorié sous  $X_{488}$  chez ETC.
  - \*  $ABC$  et  $A.B.C.$  étant comédiens<sup>73</sup>,  
 $X_{488}$  est l'anticomplément du point extérieur de Vecten de  $ABC$  i.e. de  $X_{486}$ .
  - \*  $G$  étant le point médian de  $ABC$  et  $A.B.C.$ ,  $G$ ,  $X_{486}$  et  $X_{488}$  sont alignés.
  - \*  $X_{488}$  est le point de de Longchamps du triangle extérieur de Vecten i.e. de  $IJK$ .
- (11) Deux cercles orthogonaux

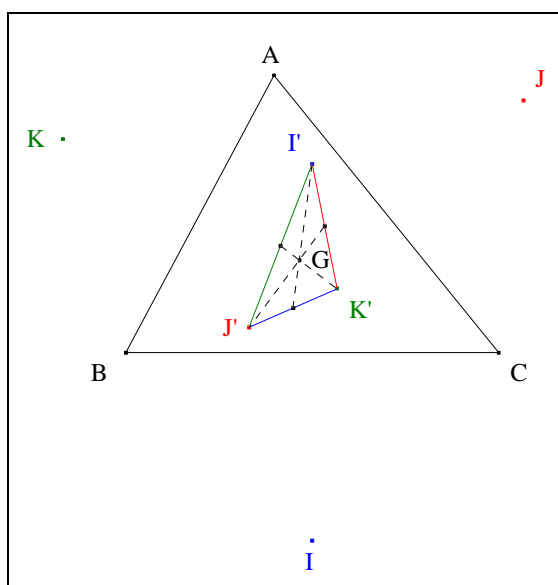
73

i. e. partageant le même point médian.



- **Conclusion :** les cercles  $I$  et  $I''$  étant orthogonaux, les tangentes resp. en  $B, C$  passent par  $I'$ .

- (13) Les résultats restent vrais lorsque l'on remplace "extérieur" par "intérieur" ;
- (14) Un autre triangle comédien avec  $ABC$

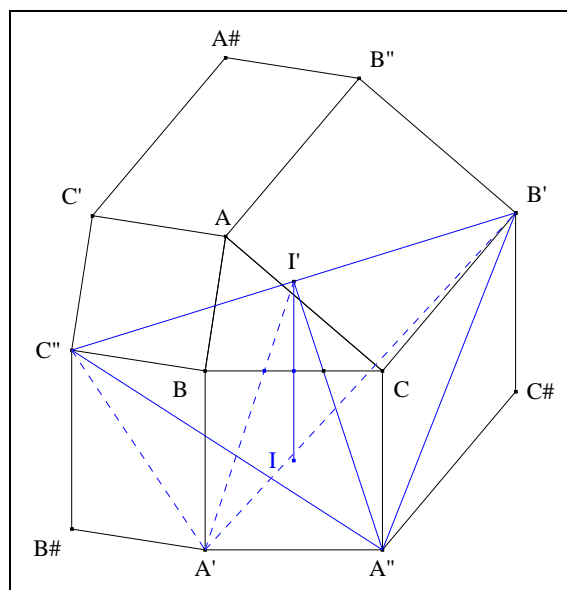


- Notons  $J', K'$  les symétriques de  $J, K$  par rapport à  $(CA), (AB)$ .

- **Conclusion :** mutatis mutandis, nous montrerions que  $ABC$  et  $I'J'K'$  sont comédiens.

- (15) Terminologie :
- \*  $I'J'K'$  est le triangle intérieur de Vecten de  $ABC$
  - \* le cercle circonscrit à  $I'J'K'$  est "le cercle intérieur de Vecten de  $ABC$ "
  - \* le centre de ce cercle est répertorié sous  $X_{642}$  chez ETC.
- (16)  $X_{642}, G$  et  $X_{486}$

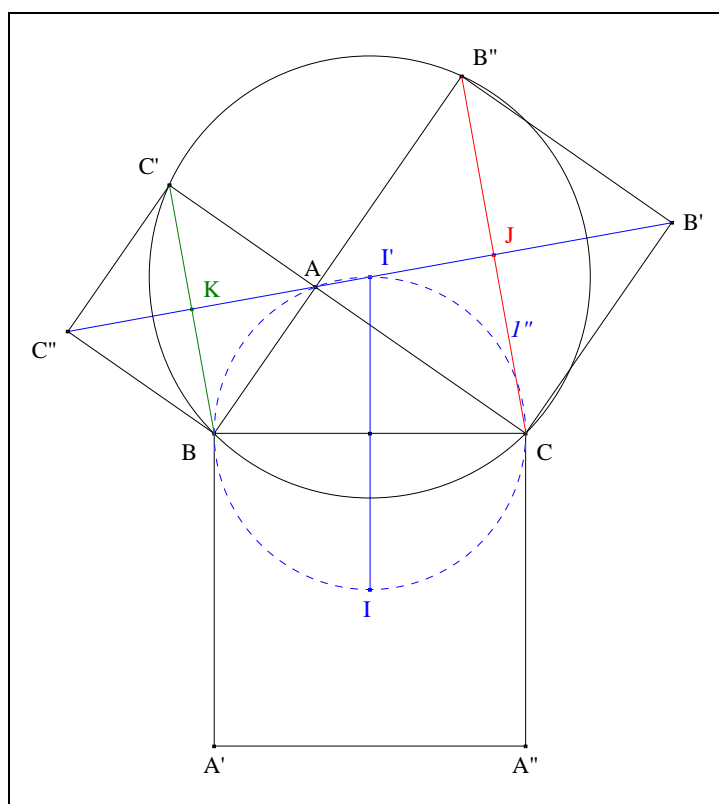




- D'après Thalès,
  - \* le point d'intersection de  $(A''I)$  et  $(BC)$  est le point médian du triangle  $A''B'C'$
  - \* le point d'intersection de  $(A'I)$  et  $(BC)$  est le point médian du triangle  $A'B'C'$ .
- **Conclusion** : ces deux points d'intersection divisent  $[BC]$  en trois parties égales.<sup>75</sup>

**Énoncé traditionnel** : les points médians des triangles  $A'B'C'$  et  $A''B''C''$  divisent  $[BC]$  en trois parties égales.

(18) Cas particulier où  $ABC$  est A-rectangle



<sup>75</sup>

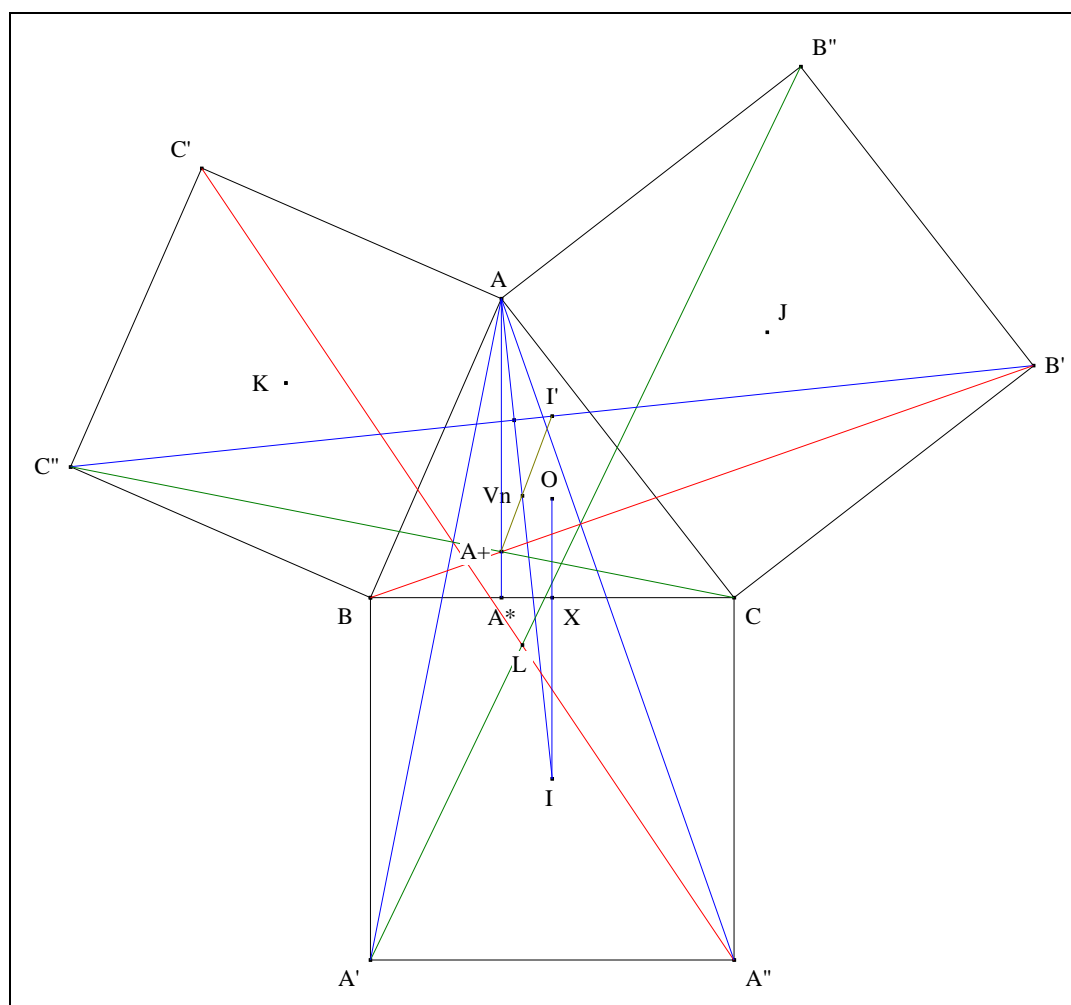
van Aubel, *Mathesis* (1880) n° 41 ;  
solution : van Aubel, *Mathesis* (1881) p. 163.

- **Conclusion :** C, B'' et C' sont sur le cercle de centre I' passant par B.

## 5. Un résultat de l'auteur

### VISION

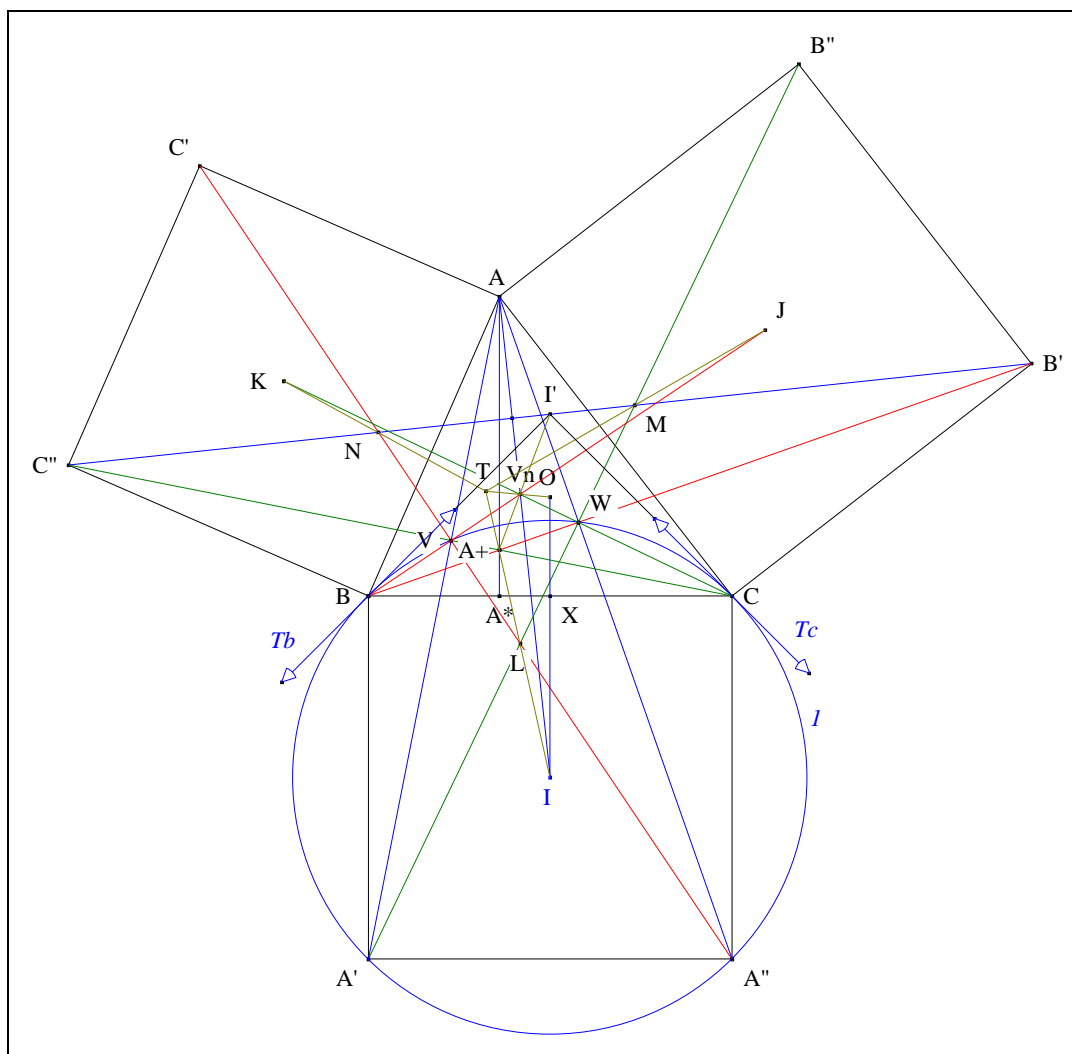
Figure :



**Traits :** les hypothèses et les notations sont les mêmes que précédemment.

**Donnés :**  $I'$ ,  $V_n$  et  $A^+$  sont alignés.

### VISUALISATION

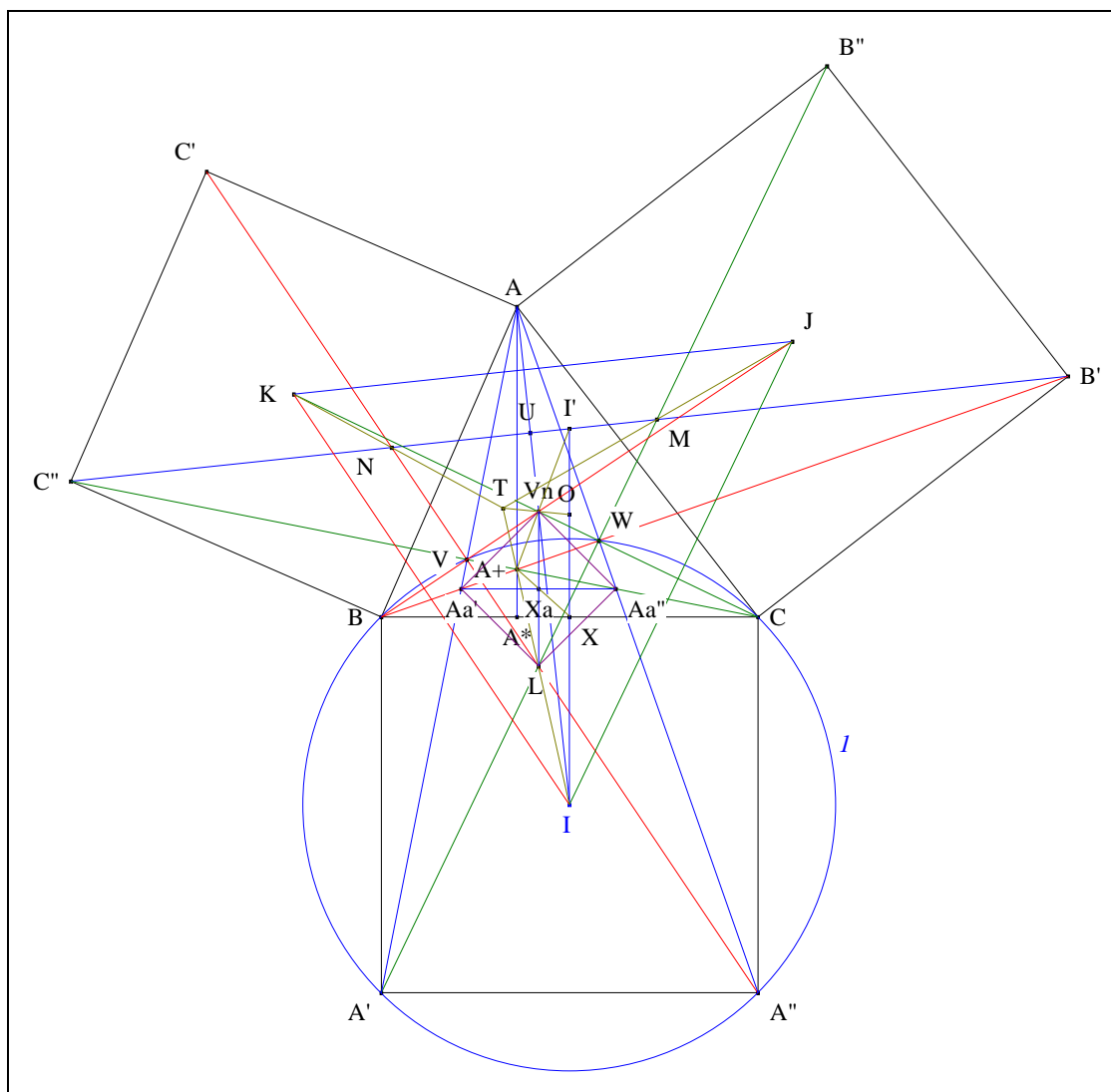


- Notons  $T_b, T_c$  les tangentes resp. à  $I$  en  $B, C$ .
- D'après Pascal "Hexagramma mysticum" (Cf. Annexe 6),  $(I'V_nA^+)$  est la pascale de l'hexagone  $T_b BVC T_c WB$ .
- **Conclusion :**  $I', V_n$  et  $A^+$  sont alignés.

**Scolies :** (1) une médiatrice <sup>76</sup>

<sup>76</sup>

Ce résultat a été déjà vu en IV. 3. Un résultat de l'auteur, scolie 5.

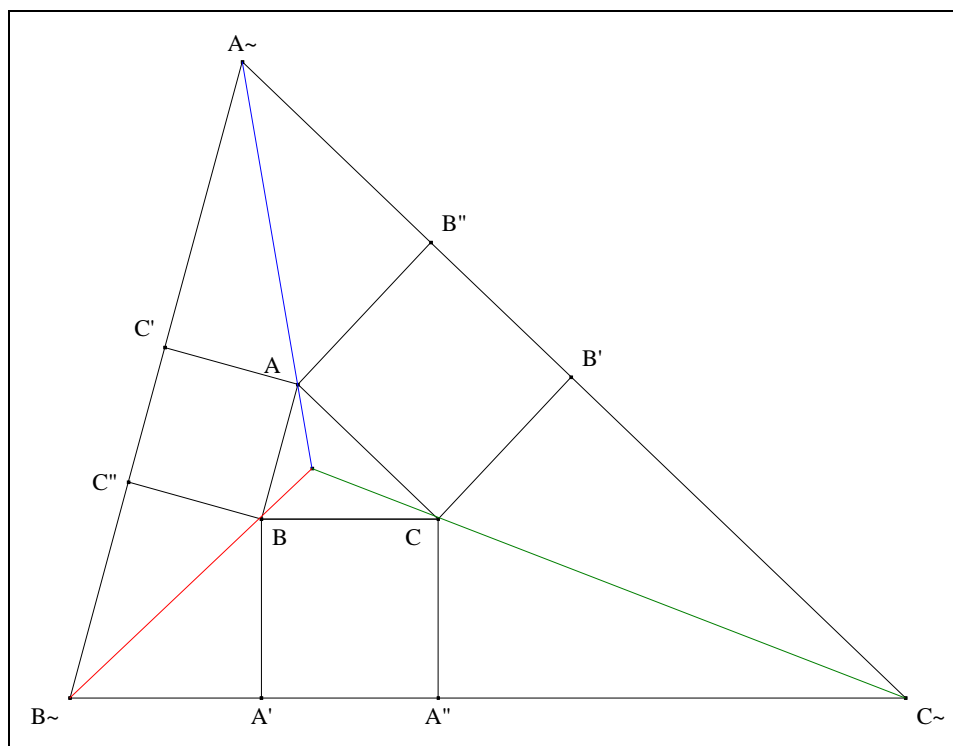


- Notons  $X_a$  le milieu de  $[Aa'Aa'']$ .
- Les triangles  $A+Aa'Aa''$  et  $A+BC$  étant homothétiques,  $A+$ ,  $X_a$  et  $X$  sont alignés
- D'après IV. 3. Un résultat de l'auteur, scolie 4, en conséquence,  $(Aa''L) \parallel (IC)$  et  $(Aa'L) \parallel (IB)$  ;  
 $(Aa''L) \perp (Aa'L)$ .
- Les triangles  $X_aLAa''$  et  $XIC$  sont homothétiques de centre  $A+$ .
- D'après "Le petit théorème de Desargues" (Cf. Annexe 9),  $(XaL) \parallel (IX)$  ;  
en conséquence,  $(XaL)$  passe par  $V_n$  et  $(LXaV_n) \perp (Aa'Aa'')$ .
- Les triangles  $A+II'$  et  $A+LV_n$  sont homothétiques de centre  $A+$  ;  
 $X$  étant le milieu de  $[II']$ ,  $X_a$  est le milieu de  $[LV_n]$ .
- **Conclusion** :  $Aa'LAa''V_n$  est un carré de centre  $X_a$ .

(2) Les résultats restent vrais lorsque l'on remplace "extérieur" par "intérieur".

## 6. Figure récapitulant les notations à partir de A

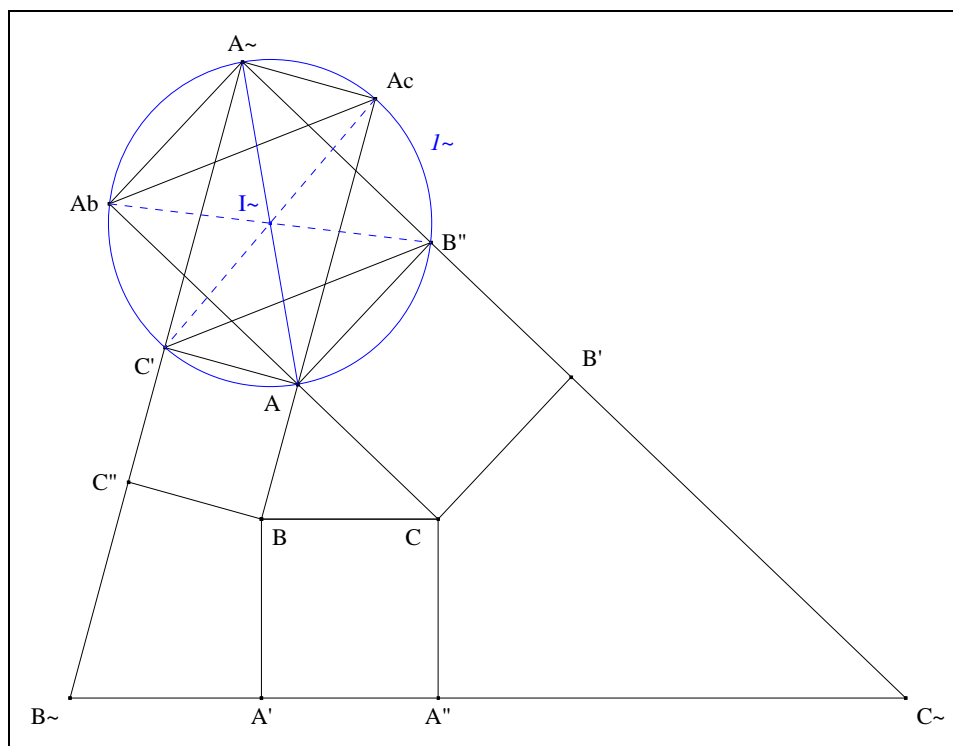




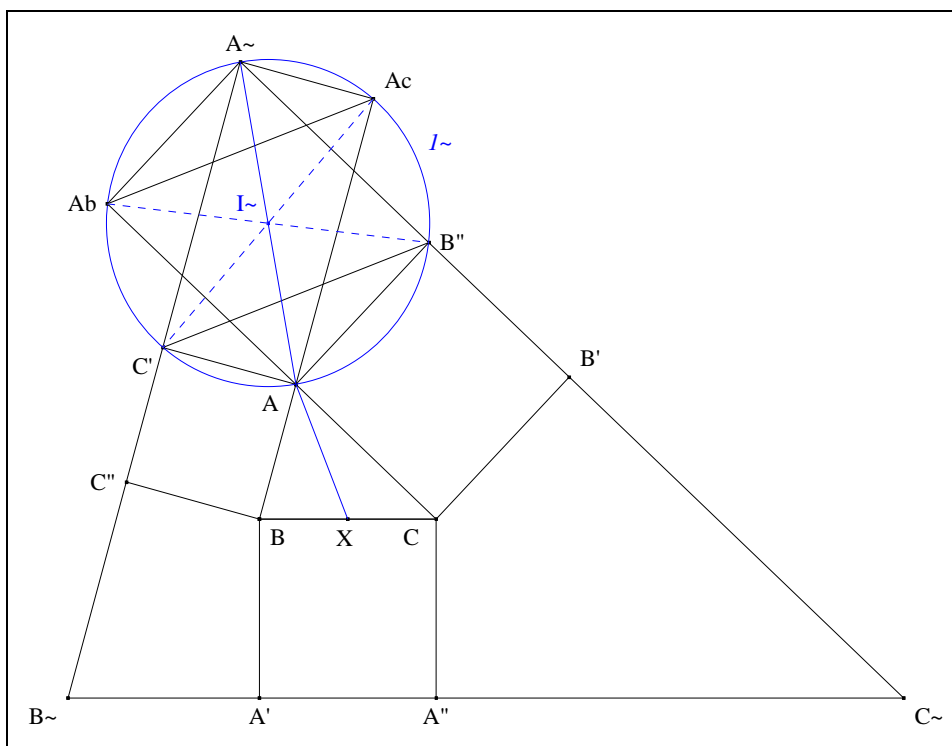
- Traits :** les hypothèses et les notations sont les mêmes que précédemment,  
 et  $A\sim, B\sim, C\sim$  les points d'intersection resp. de  $(B'B'')$  et  $(C'C'')$ ,  $(C'C'')$  et  $(A'A'')$ ,  
 $(A'A'')$  et  $(B'B'')$ .
- Donné :**  $(AA\sim), (BB\sim)$  et  $(CC\sim)$  sont concourantes <sup>77</sup>.

### VISUALISATION

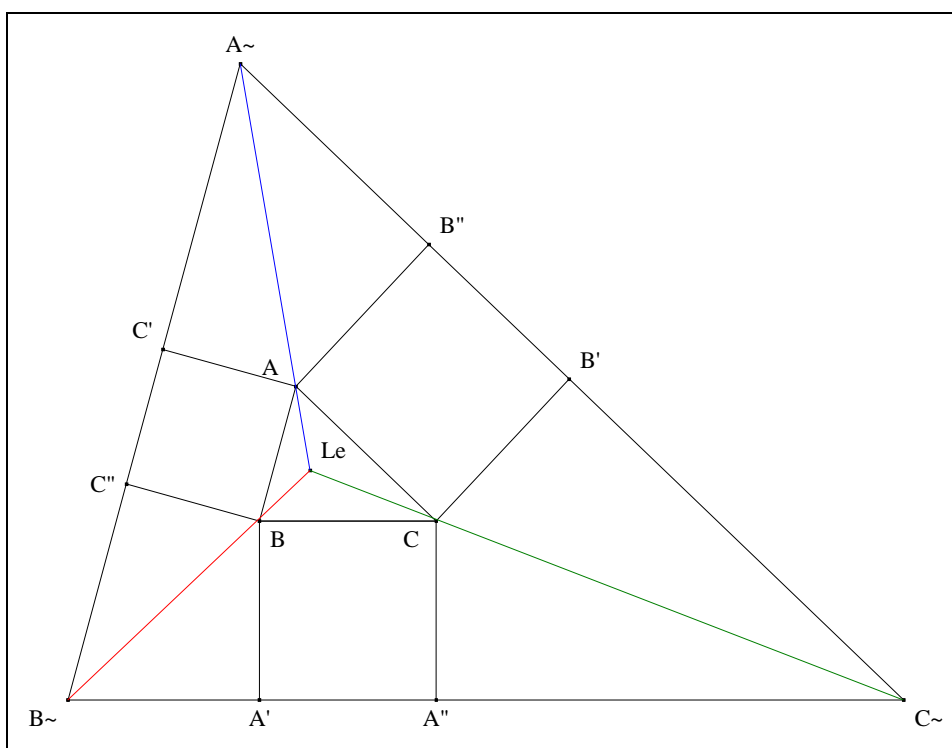
<sup>77</sup> Grebe E. W., Das geradlinige Dreieck in Bezug auf die Quadrate der Perpendikel, die man von einem Punkte seiner Ebene auf seine Seiten Fallen kann, *Grünerts Archiv* 9 (1847).



- D'après Thalès "Triangle inscrit dans un demi cercle", le quadrilatère  $AB''A\sim C''$  est cyclique.
- Notons  $I\sim$  ce cercle  
 $I\sim$  le centre de  $I\sim$  i.e. le milieu de  $[AA\sim]$ ,  
 et  $Ab, Ac$  les seconds points d'intersection resp. de  $(AC)$ ,  $(AB)$  avec  $I\sim$ .
- D'après Thalès "Triangle inscrit dans un demi cercle", les triangles  $AbAA\sim$  et  $AcAA\sim$  sont resp. rectangles en  $Ab, Ac$ .
- Les rectangles  $AB''A\sim Ab$  et  $AACA\sim C''$  étant inscrits dans  $I\sim$  et ayant la diagonale  $(AI\sim A\sim)$  en commun, les diagonales  $(B''Ab)$  et  $(C''Ac)$  sont deux droites diamétrales de  $I\sim$  ;  
 en conséquence,  $(AbAc) \parallel (B''C'')$ .



- D'après V. 1. D'une hauteur à une médiane,  $(B''C') \perp (AX)$  ;  
d'après l'axiome IVa des perpendiculaires,  $(AbAc) \perp (AX)$ .
- D'après Vigarié "Isogonale et perpendiculaire" (Cf. Annexe 12),  $(AA\sim)$  est la A-symédiane de ABC.



- Mutatis mutandis, nous montrerions que  $(BB\sim)$  est la B-symédiane de ABC  
 $(CC\sim)$  est la C-symédiannes de ABC.
- **Conclusion** : d'après Lemoine "Le point de Lemoine" (Cf. Annexe 13),

(AA~), (BB~) et (CC~) sont concourantes.

- Notons Le ce point de concours.

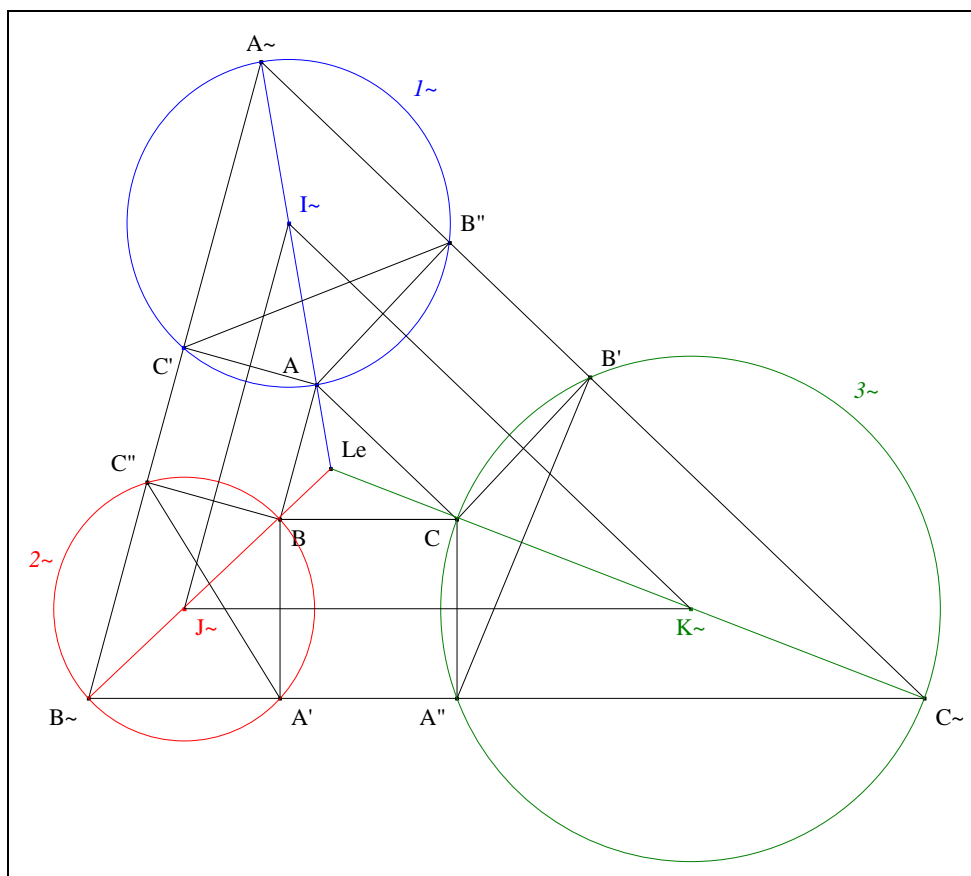
**Note historique :** c'est par ce tracé "accidentel" datant de 1847 qu'Ernst Wilhem Grebe (1804-1874) a découvert cette "concourance" qui avait été rencontrée auparavant par Simon LHuillier et Karl Friedrich Gauss. Elle a été aussi redécouverte par Hossard et E. Hain<sup>78</sup>. Les propriétés de ce point de concours ont été mises en relief par Émile Lemoine<sup>79</sup>. Ce point de concours a été appelé "point de Grebe de ABC" en Allemagne par le Dr. Schemmel de Berlin en 1876, les professeurs Paul Mansion de Gand et E. Lampe de Berlin en 1881 et le Dr. J. Lange de Berlin en 1885. Suite à Joseph Neuberg, il est connu sous le nom de "point de Lemoine de ABC" et est répertorié par X<sub>6</sub> chez ETC.

**Énoncé traditionnel :** des carrés étant construits sur les trois côtés d'un triangle ABC, soit A'B'C' le triangle formé par les côtés de ces carrés, parallèles à ceux du triangle, les droites AA', BB', CC' concourent en un même point.

- Scolies :**
- (1) A~B~C~ est "le triangle de Grebe de ABC" ;  
Le est "le point de Grebe-Lemoine de ABC".
  - (2) I~ est le centre du cercle circonscrit du A-flanc AB"C' de ABC.
  - (3) Vision triangulaire

<sup>78</sup> Hain E., Ueber den Grebeschen Punkt, *Archiv der Mathematik und Physik* **58** (1876) 84-89.

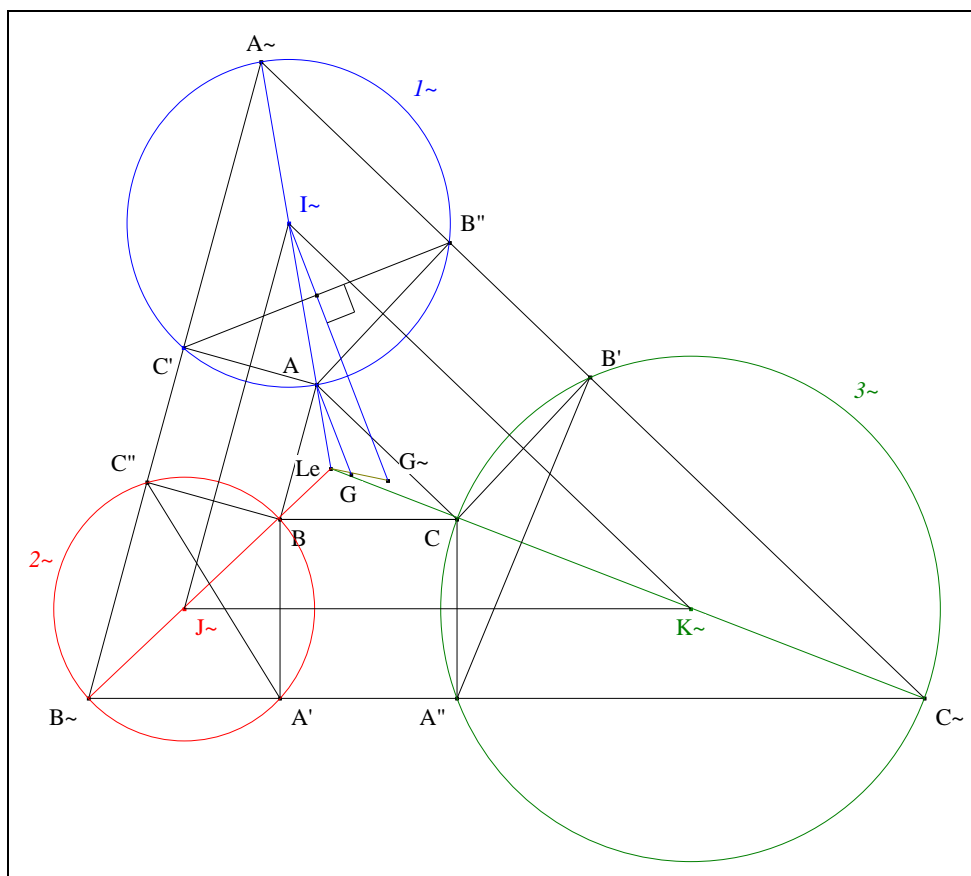
<sup>79</sup> *Nouvelle Correspondance*, n° 268 ;  
solution : *Nouvelle Correspondance* (1977) 400 ; (1980) 214, 365.



- Notons  $J\sim, K\sim$  les centres des cercles circonscrits des B, C-flanc de ABC.
- D'après le théorème de Thalès appliqué à la bande frontières (BC) et (B~C~),  $(J\sim K\sim) \parallel (BC)$ .
- Mutatis mutandis, nous montrerions que  $(K\sim I\sim) \parallel (CA)$   
 $(I\sim J\sim) \parallel (AB)$ .
- **Conclusion** : les triangles homothétiques  $I\sim J\sim K\sim$  et ABC sont en perspective de centre Le.

(4) Un résultat de Darij Grinberg <sup>80</sup>

<sup>80</sup> Grinberg D., Squares and perpendicular bisectors, Message *Hyacinthos* # 7238 du 06/06/2003 ; <http://tech.groups.yahoo.com/group/Hyacinthos/message/7238>.  
Germany 1996 for squares erected on sides of triangle ;  
Kiran Kedlaya's "Geometry Unbound" (problem 2 for section 5.3), *Mathlinks* du 07/01/2005 ;  
[http://www.mathlinks.ro/Forum/viewtopic.php?search\\_id=1417126920&t=22917](http://www.mathlinks.ro/Forum/viewtopic.php?search_id=1417126920&t=22917).



- Notons  $G, G\sim$  les points médians resp. de  $ABC, I\sim J\sim K\sim$ .
- $ABC$  et  $I\sim, J\sim K\sim$  étant homothétiques, d'après V. 1. D'une médiane à une hauteur, d'après l'axiome IVa des perpendiculaires,
 

$(I\sim G\sim) // (AG)$ ;
$(AG) \perp (B''C')$ ;
$(I\sim G\sim) \perp (B''C')$ .
- **Conclusion partielle :**  $(I\sim G\sim)$  est la médiatrice de  $[B''C']$ .
- Mutatis mutandis, nous montrerions que
 

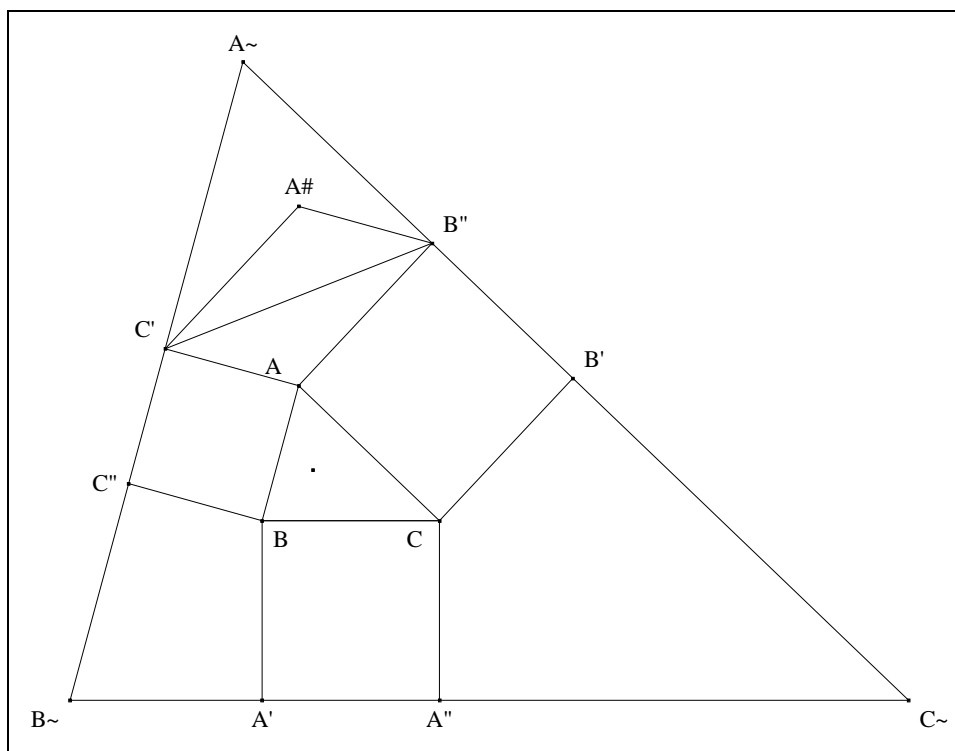
$(J\sim G\sim)$ est la médiatrice de $[C''A']$
$(K\sim G\sim)$ est la médiatrice de $[A''B']$ .
- **Conclusion :** les médiatrices de  $[B''C']$ ,  $[C''A']$  et  $[A''B']$  sont concourantes en  $G\sim$ .

- Scolies :**
- \*  $G\sim$  est répertorié sous  $X_{591}$  chez ETC.
  - \*  $Le$  étant le centre d'homothétie de  $ABC$  et  $I\sim J\sim K\sim$ ,  $Le, G$  et  $G\sim$  sont alignés.
- (5) Les résultats restent vrais lorsque l'on remplace "extérieur" par "intérieur".

## 2. Nature géométrique de $A\#$

### VISION

Figure :



**Traits :** les hypothèses et les notations sont les mêmes que précédemment.

**Donné :**  $A\#$  est l'orthocentre du triangle  $A\sim B''C'$ .

### VISUALISATION

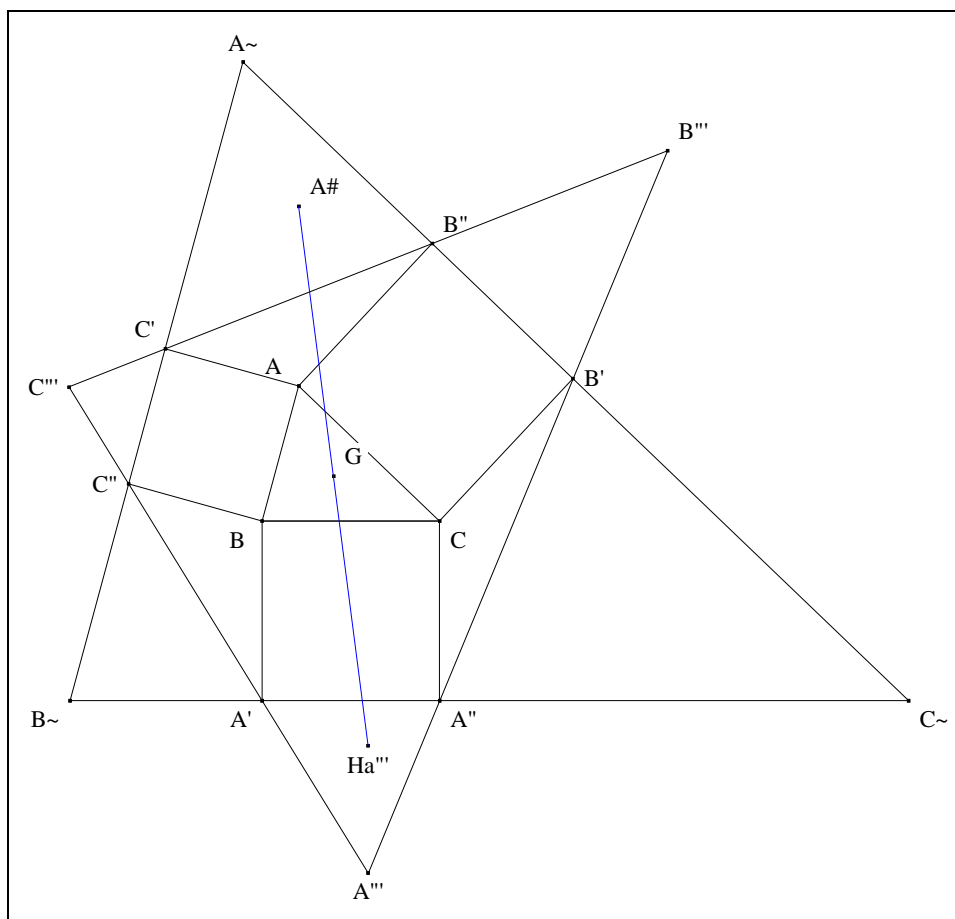
- Le quadrilatère  $AB''A\#C'$  est un rectangle.
- Nous avons :  $(B''A\#) \perp (A\sim C')$  et  $(C'A\#) \perp (A\sim B'')$ .
- **Conclusion :**  $A\#$  est l'orthocentre du triangle  $A\sim B''C'$ .

**Solie :** le résultat reste vrai lorsque l'on remplace "extérieur" par "intérieur".

### 3. Un autre triangle ou le triangle $A'''B'''C'''$

### VISION

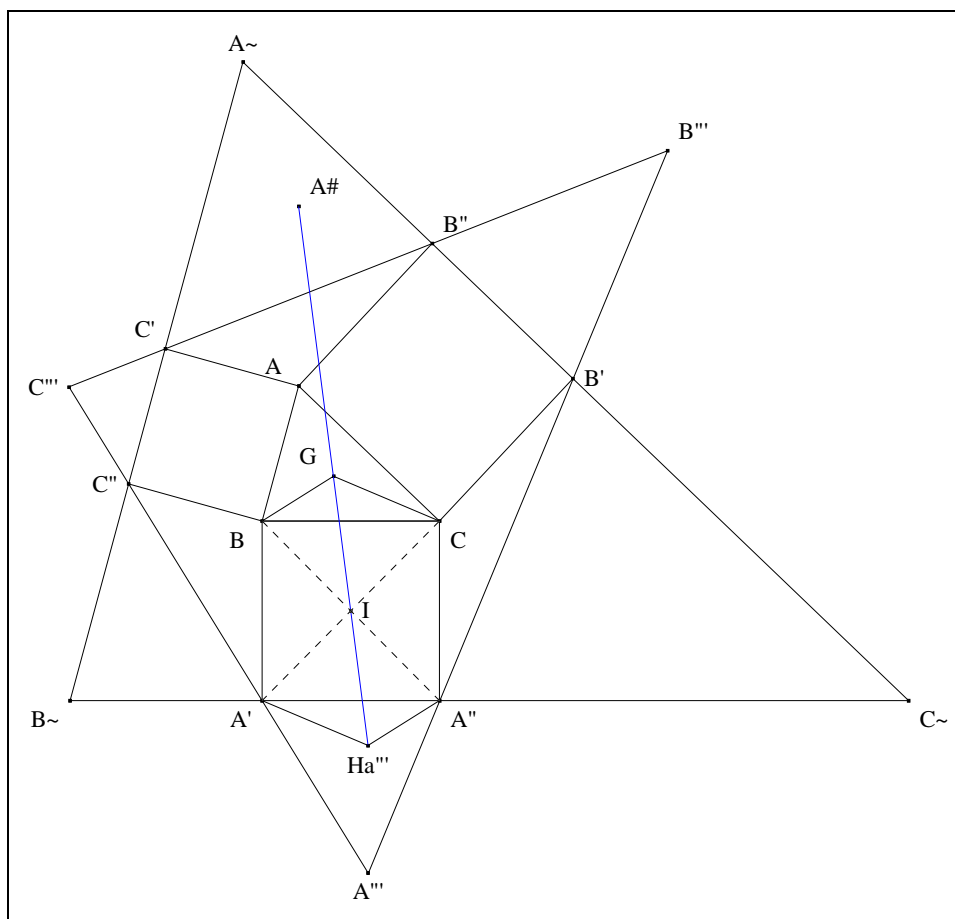
**Figure :**



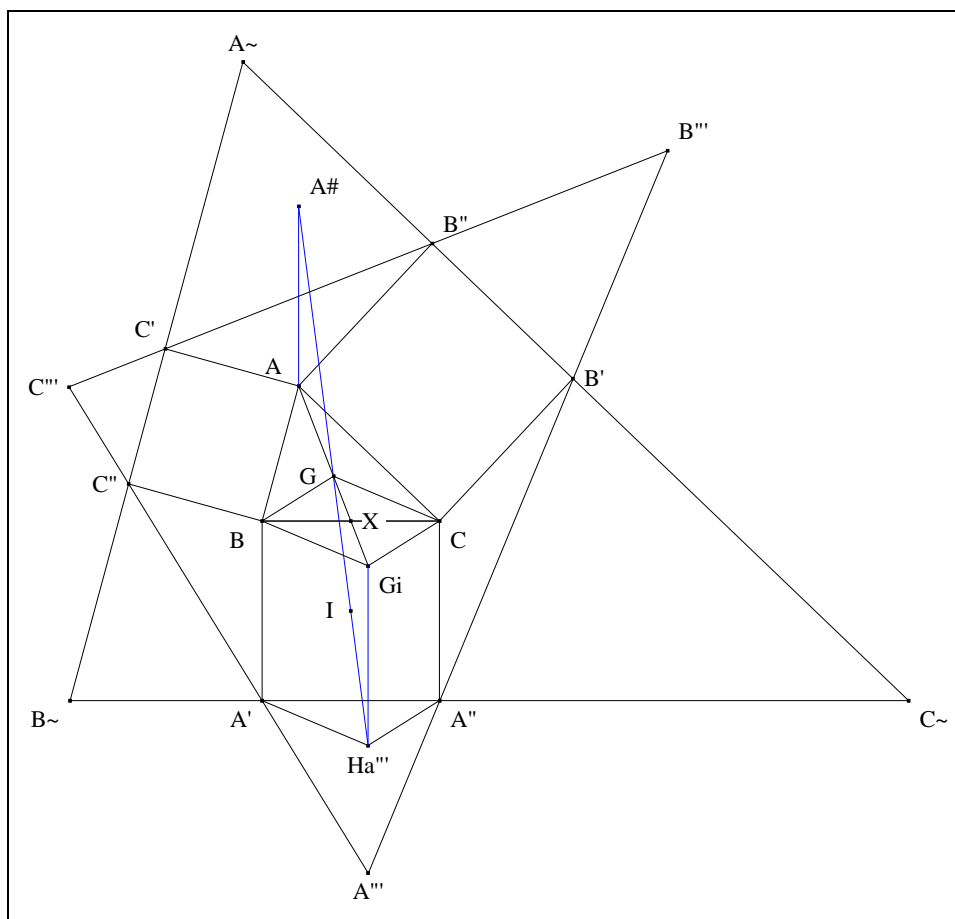
- Traits :** les hypothèses et les notations sont les mêmes que précédemment,  
 $A''$ ,  $B''$ ,  $C''$  les points d'intersection resp. de  $(C''A')$  et  $(A''B')$ , de  $(A''B')$  et  $(B''C')$ ,  
 et  $Ha'''$  de  $(B''C')$  et  $(C''A')$ ,  
 les orthocentres resp. des triangles  $A\sim C''B''$ ,  $A'''A''A'$ .
- Donné :**  $G$  est le milieu de  $[A\# Ha''']$ .<sup>81</sup>

### VISUALISATION

<sup>81</sup> Aubel (van), *Mathesis* (1881) 168, n° 72 ; *Nouvelle Correspondance* IV (1878) 40.  
 Solution : Lambert A., *Mathesis* IV (1886) 39.

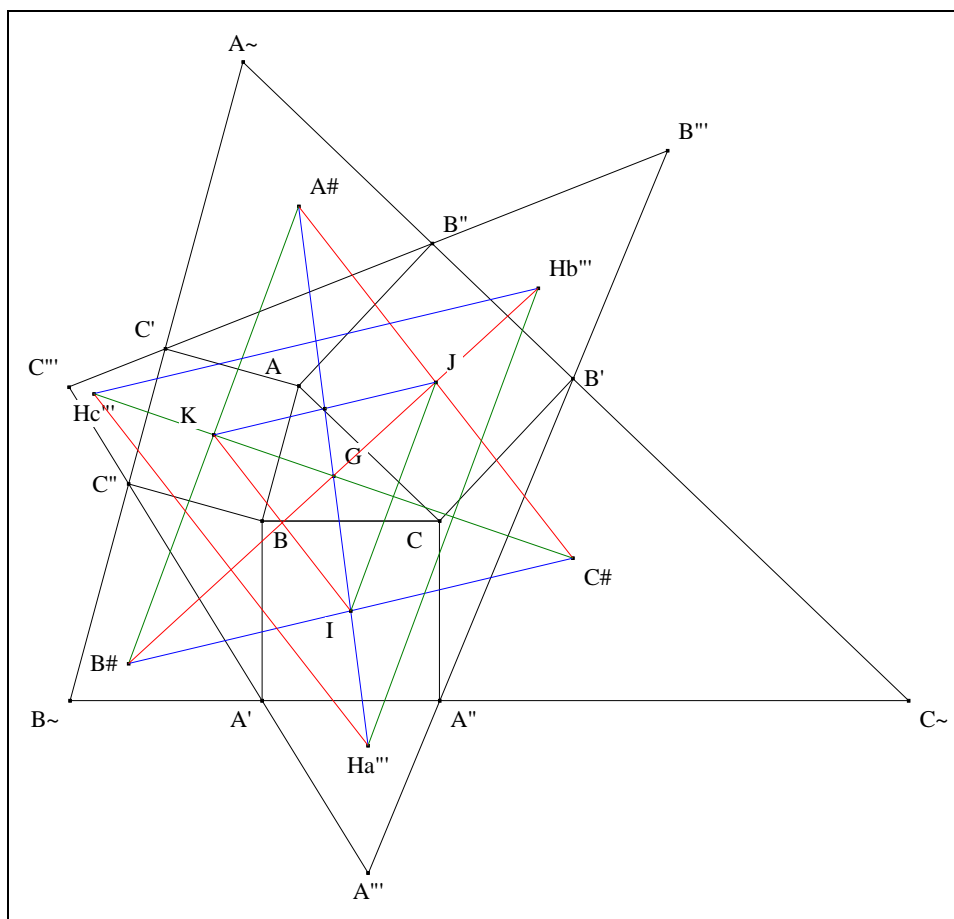


- D'après VII. 2. Nature géométrique de  $A\#$ ,  $A\#$  est l'orthocentre de  $A\sim B\sim C\sim$ .
- D'après "Le petit théorème de Desargues" appliqué aux triangles homothétiques  $GBC$  et  $Ha''A''A'$ ,  
( $GHa'''$ ) passe par  $I$  i.e.  $G, I$  et  $Ha'''$  sont alignés.
- **Scolie :**  $I$  est le milieu de  $[GHa''']$ .
- D'après VI. 4. Un résultat de Bottema,  $A\#, G$  et  $I$  sont alignés ;  
d'après l'axiome d'incidence  $Ia$ ,  $A\#, G$  et  $Ha'''$  sont alignés.

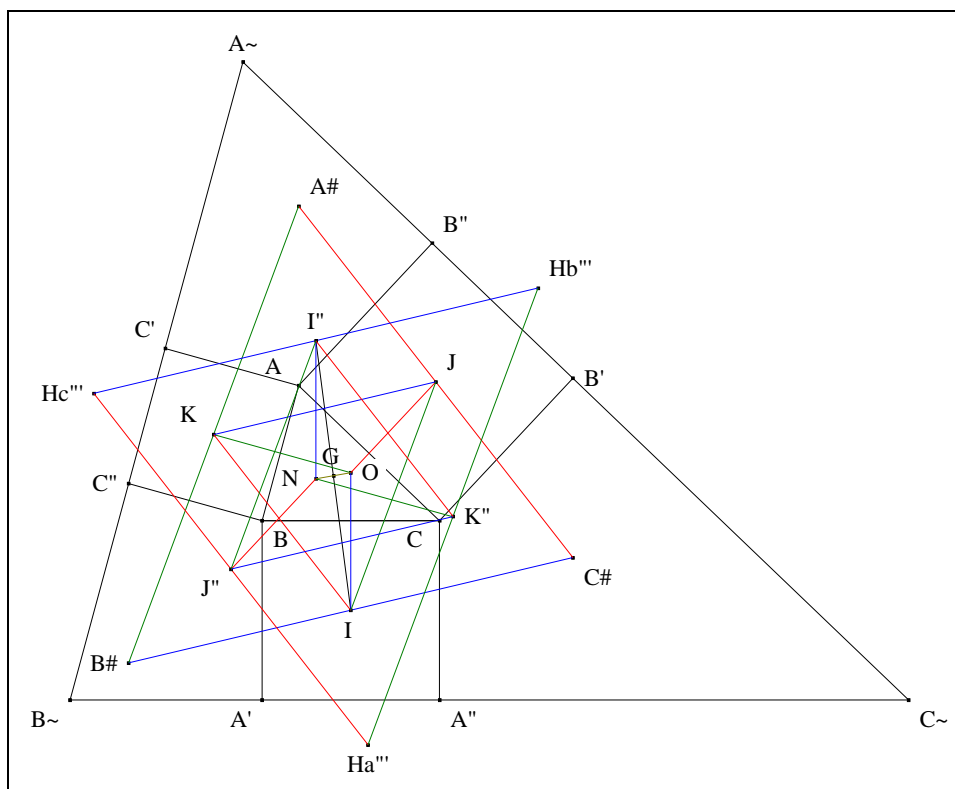


- Notons  $G_i$  le symétrique de  $G$  par rapport à  $X$ .
- Nous savons que  $G$  est le milieu de  $[AG_i]$ .
- D'après "Le petit théorème de Desargues" (Cf. Annexe 9) appliqué aux triangles homothétiques  $G_iCB$  et  $Ha'''A''A'$ ,
  - (1)  $(GiHa''') \parallel (BA')$
  - (2)  $GiHa''' = AA\#$ .
- Le quadrilatère  $A\#AHa'''Gi$  ayant deux côtés opposés parallèles et égaux, est un parallélogramme.
- **Conclusion :**  $G$  est le milieu de  $[A\#Ha''']$ .

**Scolies :** (1) quatre triangles comédiants



- Notons  $Hb'''$ ,  $Hc'''$  les orthocentres resp. des triangles  $B''B''B'$ ,  $C''C''C'$ .
- D'après IV. 3. Le résultat de Neuberg, en conséquence,  $I$  est le milieu de  $[B\#C\#]$  ;  
( $A\#G$ ) est la  $A\#$ -médiane de  $A\#B\#C\#$ .
- Mutatis mutandis, nous montrerions que
  - (1) ( $B\#G$ ) est la  $B\#$ -médiane de  $A\#B\#C\#$
  - (2) ( $C\#G$ ) est la  $C\#$ -médiane de  $A\#B\#C\#$ .
- **Conclusion partielle :**  $G$  est le point médian de  $A\#B\#C\#$ .
- Mutatis mutandis, nous montrerions que
  - (1)  $G$  est le milieu de  $[B\# Hb''']$
  - (2)  $G$  est le milieu de  $[C\# Hc''']$ .
- $Ha'''Hb'''Hc'''$ ,  $A\#B\#C\#$  et  $IJK$  étant homothétiques de centre  $G$ ,  $G$  est le point médian de  $Ha'''Hb'''Hc'''$ .
- $A\#B\#C\#$  et  $IJK$  étant homothétiques de centre  $G$ ,  $G$  est le point médian de  $IJK$ .
- **Conclusion :**  $ABC$ ,  $IJK$ ,  $A\#B\#C\#$  et  $Ha'''Hb'''Hc'''$  sont comédiants.
  - (2) Trois droites concourantes

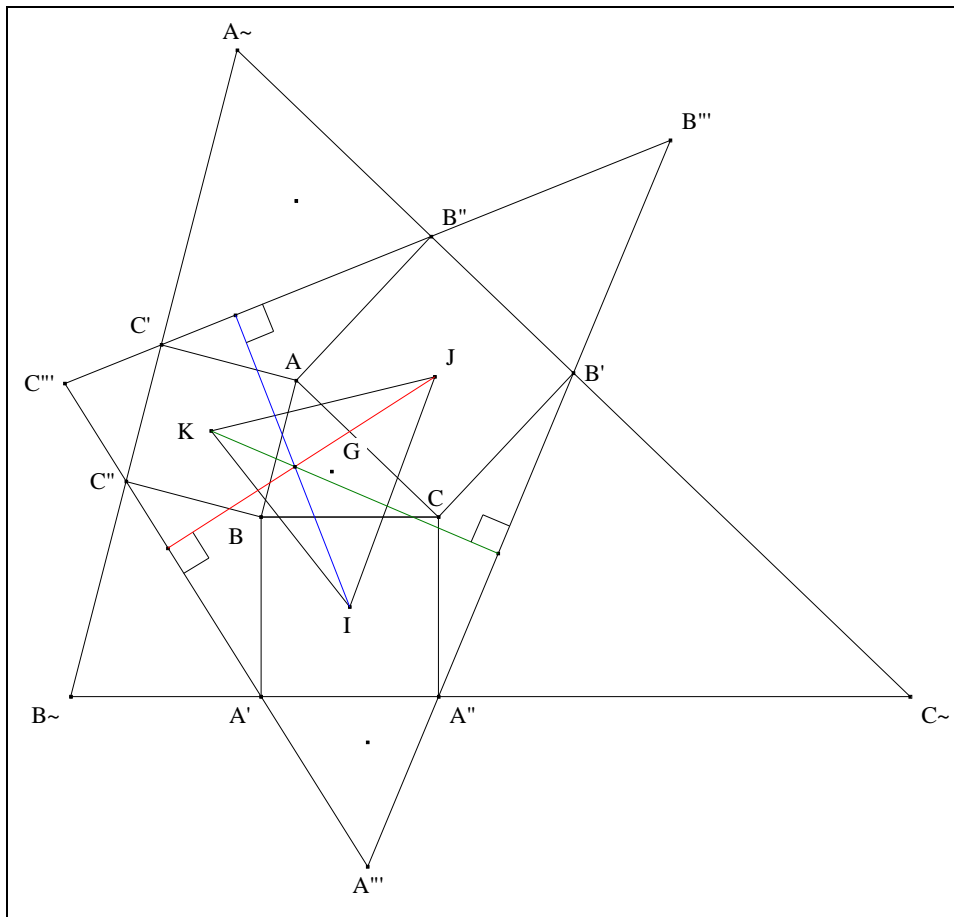


- Notons  $I'', J'', K''$  les milieux resp. de  $[Hb''Hc'']$ ,  $[Hc''Ha'']$ ,  $[Ha''Hb'']$   
et  $N$  le symétrique de  $O$  par rapport à  $G$ .
  - Nous savons que  $A\#B\#C\#$  et  $Ha''Hb''Hc''$  sont homothétiques de centre  $G$  et de rapport  $-1$  ;  
en conséquence,  $IJK$  et  $I''J''K''$  sont homothétiques de centre  $G$  et de rapport  $-1$ .
  - $O$  est le centre d'orthologie de  $IJK$  par rapport à  $ABC$ .
  - **Conclusion :** par symétrie de centre  $G$ ,  
les parallèles resp. à  $(IO)$ ,  $(JO)$ ,  $(KO)$  passant resp. par  $I''$ ,  $J''$ ,  $K''$  sont concourantes en  $N$ .
- (3) Les résultats restent vrais lorsque l'on remplace "extérieur" par "intérieur".

#### 4. Les triangles $IJK$ et $A''B''C''$

### VISION

Figure :



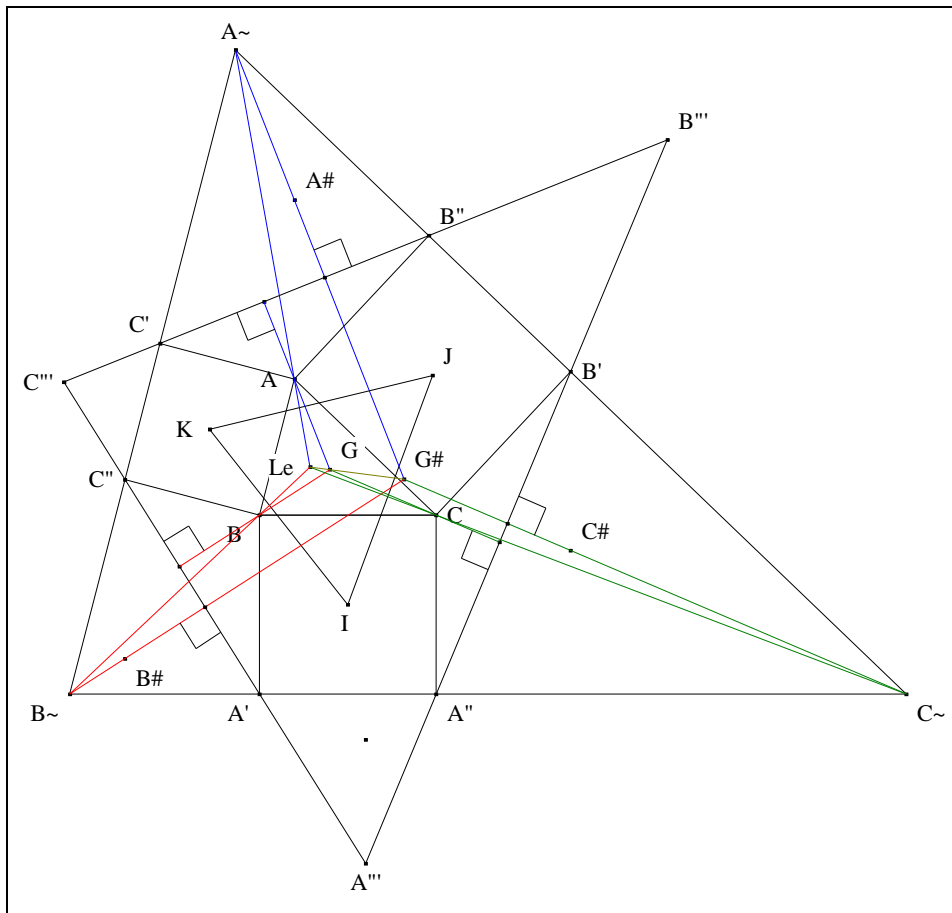
**Traits :** les hypothèses et les notations sont les mêmes que précédemment.

**Donné :** IJK et A''B''C''' sont orthologiques.<sup>82</sup>

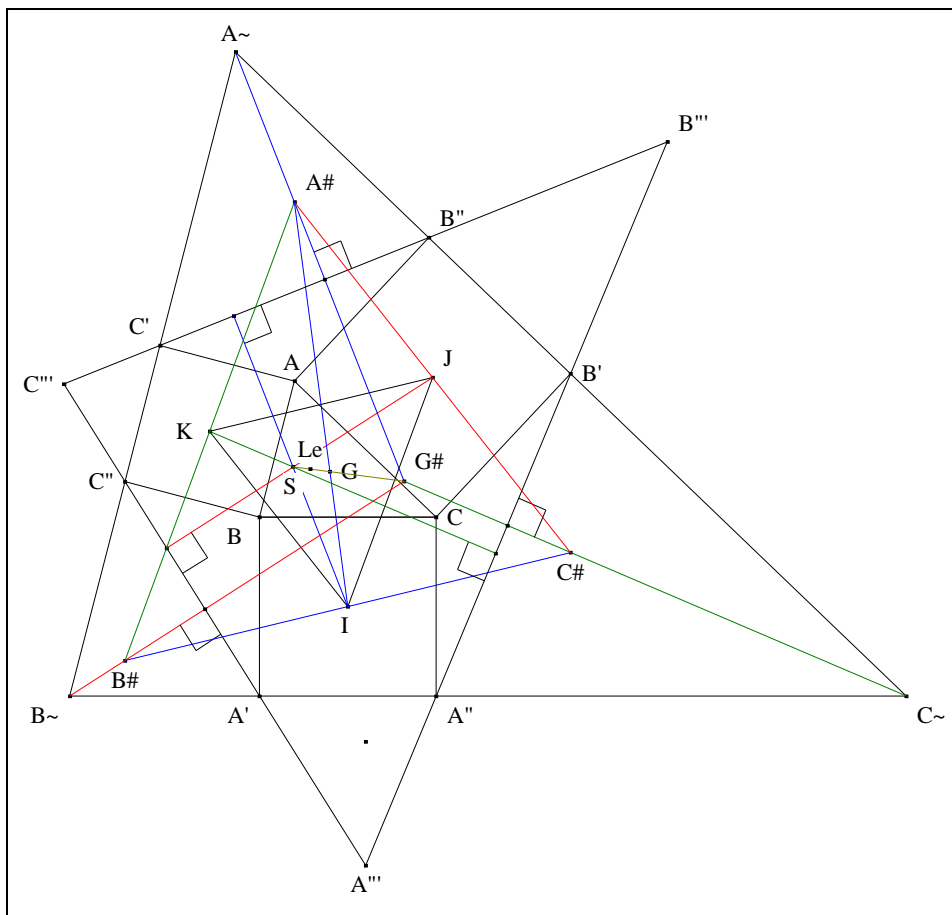
### VISUALISATION

<sup>82</sup>

With the Vecten's points, *Mathlinks* du 26/03/2009 ; <http://www.mathlinks.ro/Forum/viewtopic.php?t=266978>.



- D'après Vigarié "Isogonale et perpendiculaire" (Cf. Annexe 12),
  - (1)  $(A\sim A\#)$  est la  $A\sim$ -isogonale de  $(A\sim ALe)$  relativement à  $A\sim B\sim C\sim$
  - (2)  $(B\sim B\#)$  est la  $B\sim$ -isogonale de  $(B\sim BLe)$  relativement à  $A\sim B\sim C\sim$
  - (3)  $(C\sim C\#)$  est la  $C\sim$ -isogonale de  $(C\sim CLe)$  relativement à  $A\sim B\sim C\sim$ .
- D'après Mathieu "The isogonal theorem" (Cf. Annexe 14),  
 $(A\sim A\#)$ ,  $(B\sim B\#)$  et  $(C\sim C\#)$  sont concourantes.
- Notons  $G\#$  ce point de concours.
- Nous avons :  $(A\sim A\#) \parallel (AG)$  ,  $(B\sim B\#) \parallel (BG)$  ,  $(C\sim C\#) \parallel (CG)$ .
- $ABC$  et  $A\sim B\sim C\sim$  étant homothétiques de centre  $Le$ ,  $G\#$  est le point médian de  $A\sim B\sim C\sim$ .
- **Conclusion partielle** :  $Le$ ,  $G$  et  $G\#$  sont alignés.



- $A\#B\#C\#$  et  $IJK$  sont homothétiques de centre  $G$  ;  
 en conséquence, les parallèles à  $(A\#S\#)$ ,  $(B\#S\#)$ ,  $(C\#S\#)$  passant resp. par  $I, J, K$  sont concourantes.
- Notons  $S$  ce point de concours.
- **Scolies :** (1)  $S, G$  et  $G\#$  sont alignés  
 (2) d'après l'axiome d'incidence Ia,  $Le, S, G$  et  $G\#$  sont alignés.
- **Conclusion :**  $IJK$  et  $A''B''C''$  ont orthologiques.

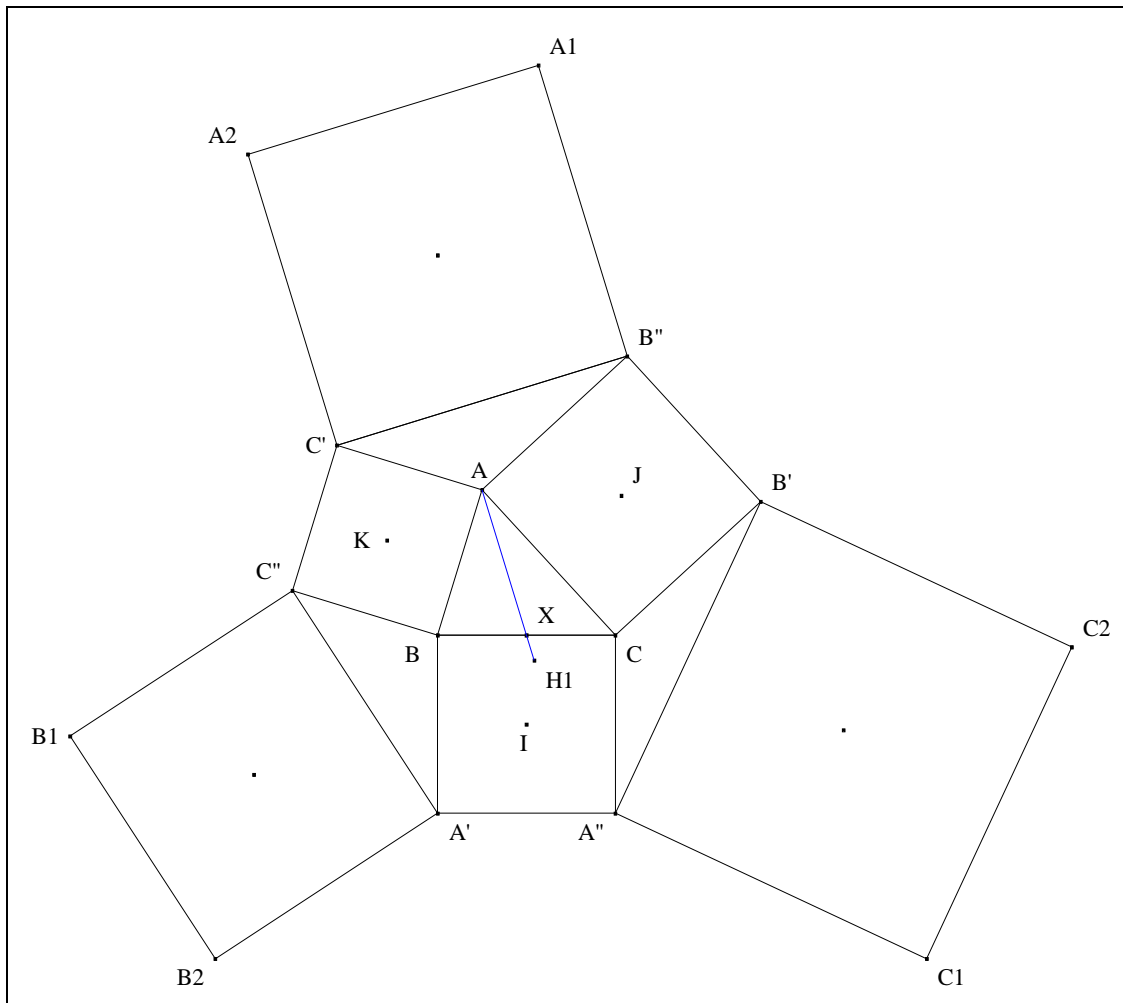
**Scolie :** le résultat reste vrai lorsque l'on remplace "extérieur" par "intérieur".

### VIII. LA FIGURE VECTEN BORDÉ DE CARRÉS

#### 1. D'une médiane à une hauteur

#### VISION

**Figure :**



**Traits :** les hypothèses et les notations sont les mêmes que précédemment  
 et  $H1$  l'orthocentre de  $AB''C'$ .

**Donné :**  $(AH1)$  passe par  $X$ .

### VISUALISATION

- **Conclusion :** d'après V. 1. D'une hauteur à une médiane" appliqué à  $AB''C'$ ,  $(AH1)$  passe par  $X$ .

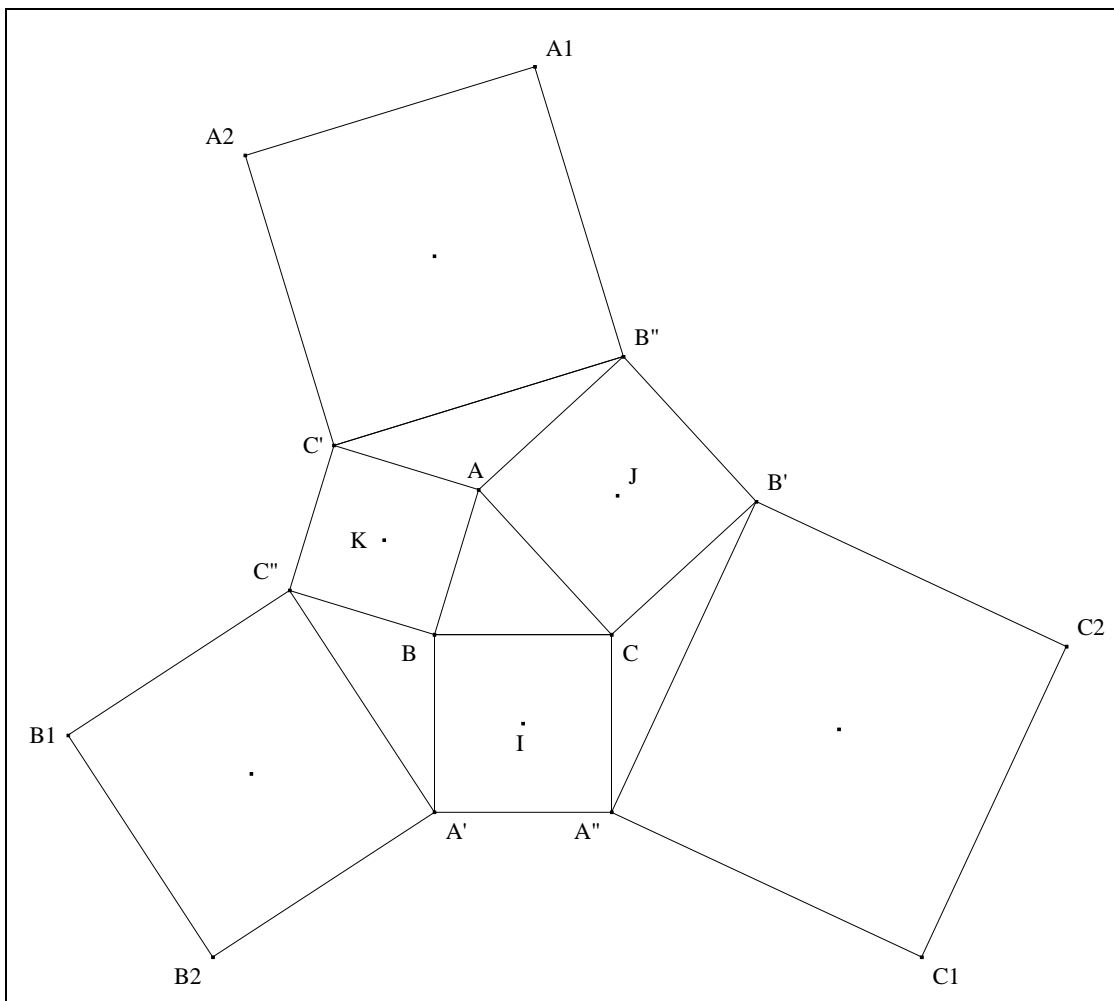
**Énoncé traditionnel :** la hauteur du triangle en haut est la médiane du triangle en bas.

**Scolie :** le résultat reste vrai lorsque l'on remplace "extérieur" par "intérieur".

## 2. La proposition 6 de Vecten

### VISION

**Figure :**



**Traits :** les notations sont les mêmes que précédemment  
 et  $B''A_1A_2C', C''B_1B_2, A''C_1C_2B'$  trois carrés resp. extérieurs à la figure de Vecten.

**Donné :**  $B''C'^2 + C''A'^2 + A''B'^2 = 3.(BC^2 + CA^2 + AB^2)$ .<sup>83</sup>

**VISUALISATION**

- D'après al-Kaschi (Cf. Annexe 15),  
 ou encore  $B''C'^2 = AB'^2 + AC'^2 - 2.AB''.AC'.\cos \angle B''AC'$   
 $B''C'^2 = AC^2 + AB^2 + 2.AC.AB.\cos \angle BAC.$
- Mutatis mutandis, nous montrerions que  $C''A'^2 = BA^2 + BC^2 + 2.BA.BC.\cos \angle CBA$   
 $A''B'^2 = CB^2 + CA^2 + 2.CB.CA.\cos \angle ACB.$
- Nous avons :  $AC.AB.\cos \angle BAC + BA.BC.\cos \angle CBA = AB.(CA.\cos \angle BAC + CB.\cos \angle CBA) = AB^2$   
 $BA.BC.\cos \angle CBA + CB.CA.\cos \angle ACB = BC.(AB.\cos \angle CBA + AC.\cos \angle ACB) = BC^2$   
 $CB.CA.\cos \angle ACB + AC.AB.\cos \angle BAC = CA.(BC.\cos \angle ACB + BA.\cos \angle BAC) = CA^2.$
- **Conclusion :** par sommation,  $B''C'^2 + C''A'^2 + A''B'^2 = 3.(BC^2 + CA^2 + AB^2).$

<sup>83</sup> Vecten, Géométrie élémentaire. Extrait d'une lettre au rédacteur des Annales, *Annales* de Gergonne VII (1816-17) 321-324, proposition 6.

**Note historique :** ce résultat pour un triangle rectangle a déjà été proposé.<sup>84</sup>

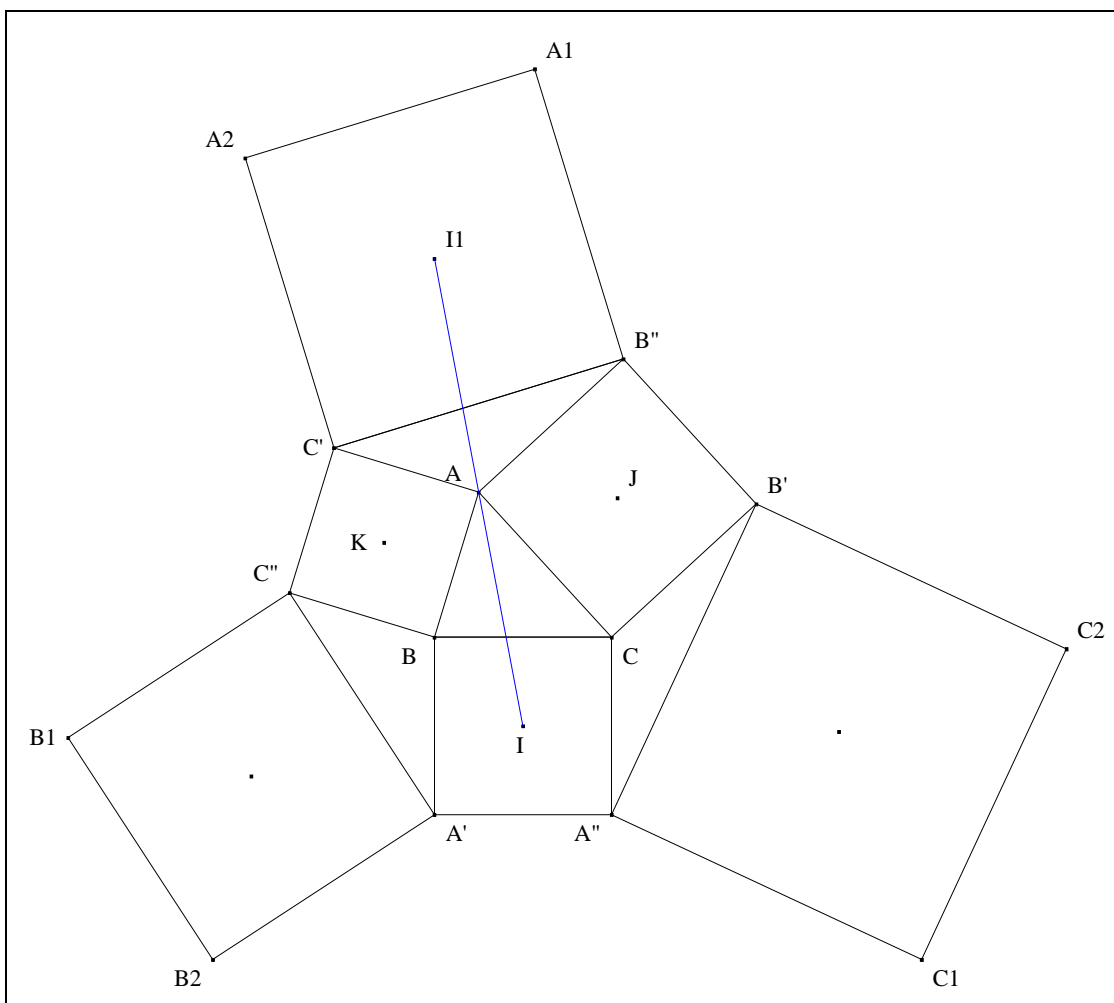
**Scolie :** le résultat reste vrai lorsque l'on remplace "extérieur" par "intérieur".

**Exercice :** en notant  $BC = a$ ,  $CA = b$  et  $AB = c$ , montrer que  $A''B'^2 - B''C'^2 = 3.(a^2 - b^2)$ .

**3. Un résultat de Floor van Lamoen**

**VISION**

**Figure :**

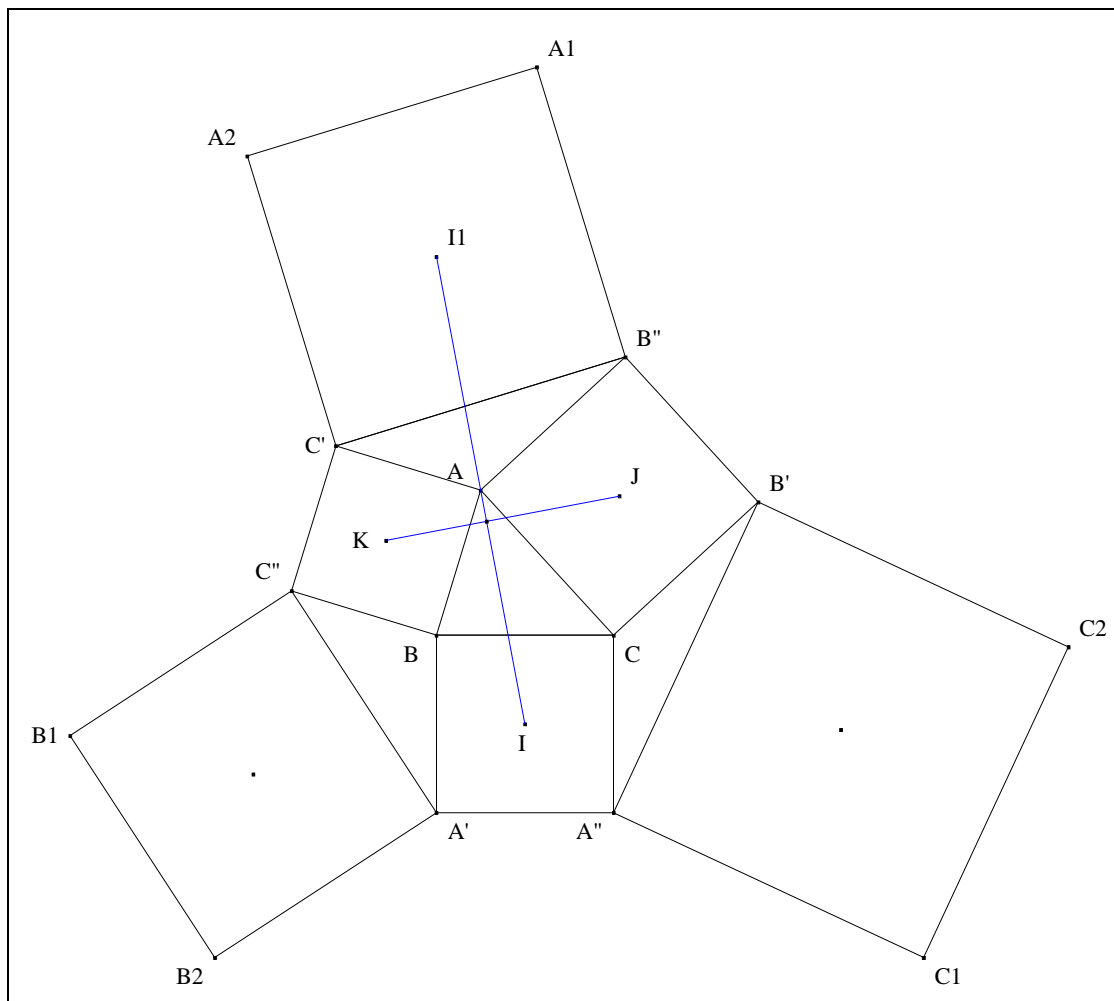


**Traits :** les hypothèses et les notations sont les mêmes que précédemment,  
 et I1, I2, I3 les centres resp. de  $B''A1A2C'$ ,  $C''B1B2$ ,  $A''C1C2B'$ .

**Donné :** A, I et I1 sont alignés<sup>85</sup>.

<sup>84</sup> Fourrey E., *Curiosités Géométriques*, 4-ième édition, Vuibert, Paris (1938) 100.  
<sup>85</sup> Lamoen (van) F., Friendship Among Triangle Center, *Forum Geometricorum* 1 (2003) 1-6 ;  
<http://forumgeom.fau.edu/FG2001volume1/FG200101index.html>.

## VISUALISATION

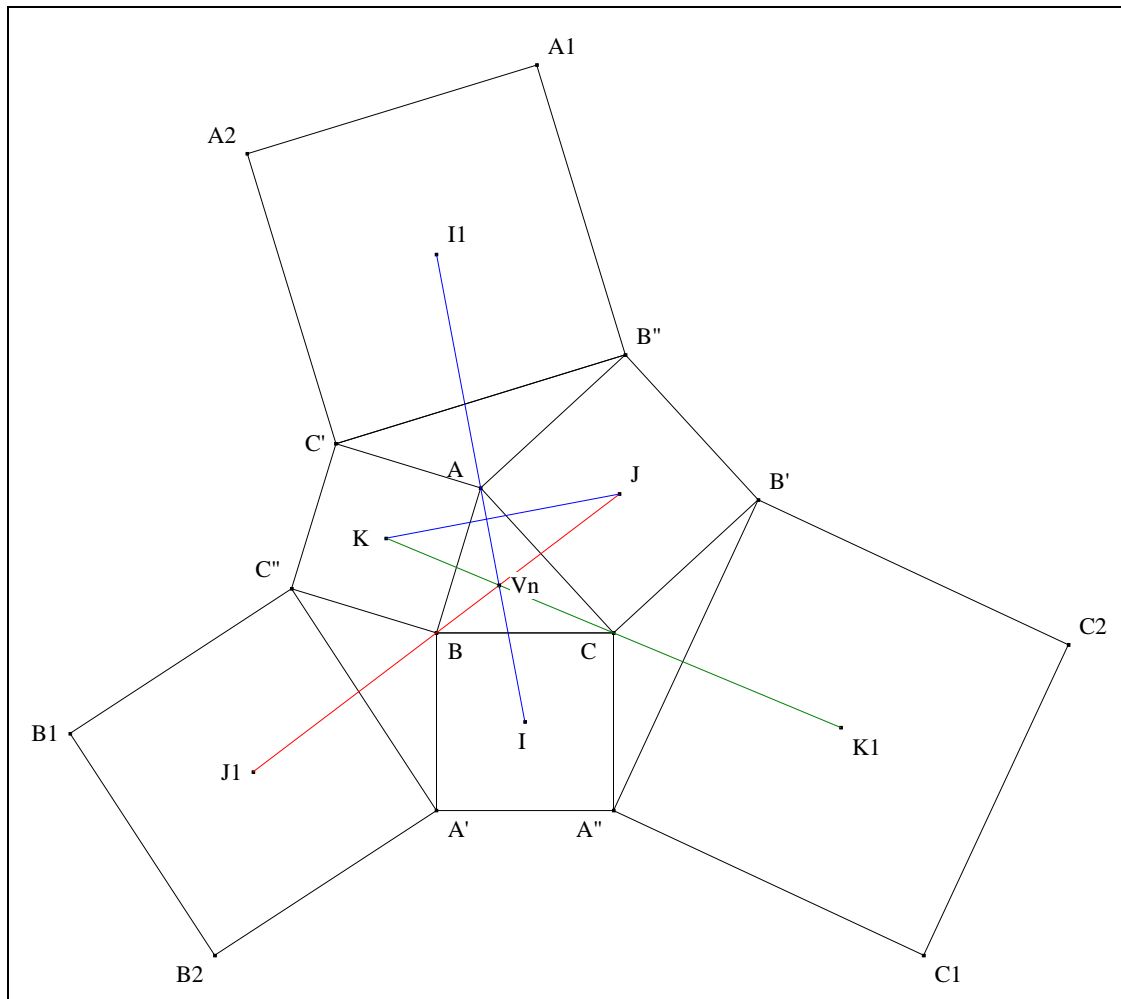


- D'après III. 6. Un résultat de E.-N. Barisien, appliqué au moulin à vent

(1) basé sur  $ABC$ ,  $(AI) \perp (JK)$   
 (2) basé sur  $AB''C'$ ,  $(JK) \perp (AI1)$  ;  
 d'après l'axiome IVa des perpendiculaires,  $(AI) \parallel (AI1)$  ;  
 d'après le postulat d'Euclide,  $(AI) = (AI1)$ .

- **Conclusion :**  $A, I$  et  $I1$  sont alignés.

**Scolies :** (1) deux autres alignement



- **Conclusion :** mutatis mutandis, nous montrerions que
 

B, J et J1 sont alignés
C, K et K1 sont alignés.
  
- (2) (II1), (JJ1) et (KK1) sont concourantes au point extérieur de Vecten de ABC.
- (3) A est le milieu de [II1] <sup>86</sup>
  
- D'après III. 6. Un résultat de Neuberg, scolie 2, appliqué au moulin à vent
 

* basé sur ABC,	AI = JK
* basé sur AB"C',	JK = AI1 ;
par transitivité de la relation =,	AI = AI1 ;
  
- **Conclusion :** A, I et I1 étant alignés, A est le milieu de [II1].
  
- Mutatis mutandis, nous montrerions que
 

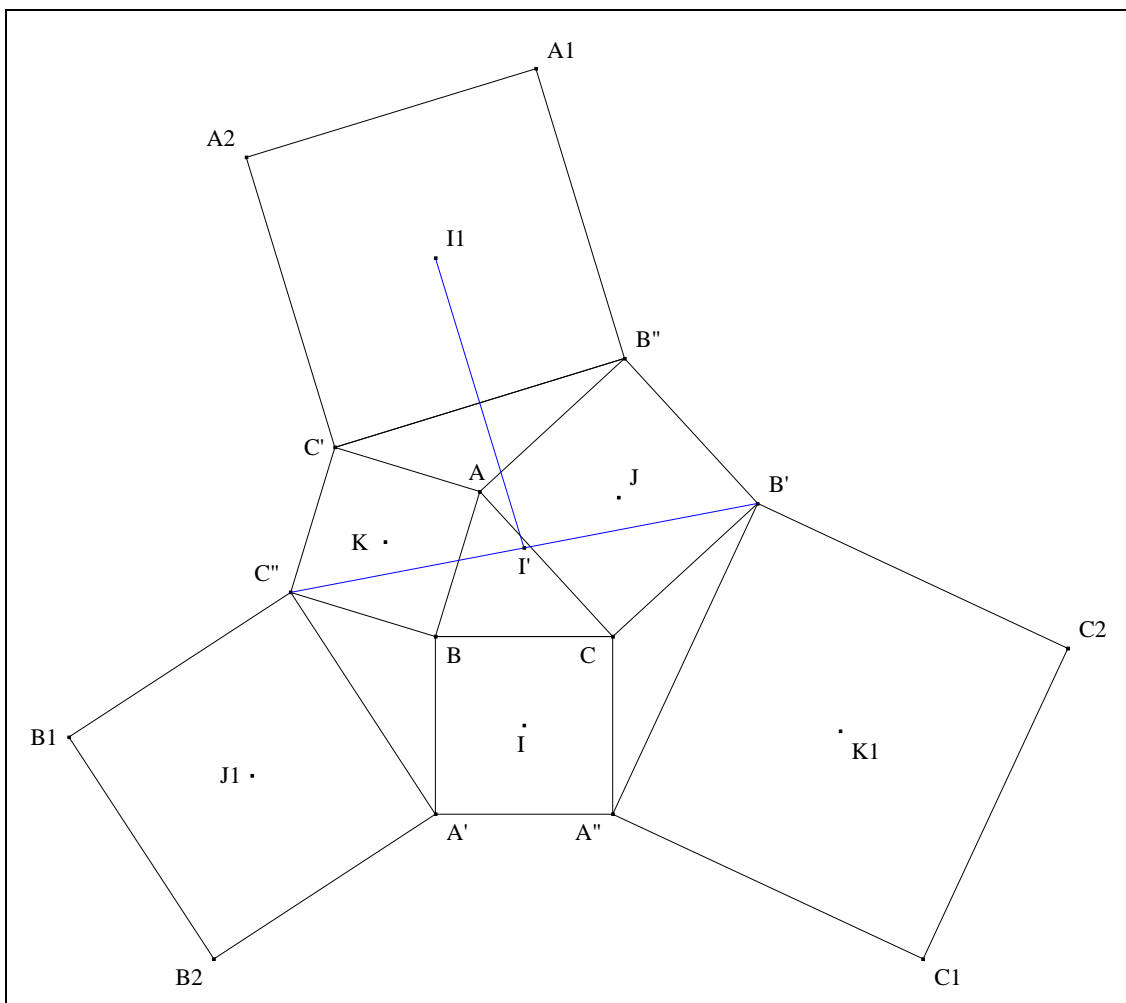
B est le milieu de [JJ1]
C est le milieu de [KK1].
  
- (4) Les résultats restent vrais lorsque l'on remplace "extérieur" par "intérieur".

#### 4. Un résultat de van Aubel

<sup>86</sup> Grinberg D., Fermat, Vecten and van Lamoen, Message *Hyacinthos* # 7053 du 26/04/2003; <http://tech.groups.yahoo.com/group/Hyacinthos/message/7053>.

VISION

Figure :



**Traits :** les hypothèses et les notations sont les mêmes que précédemment.

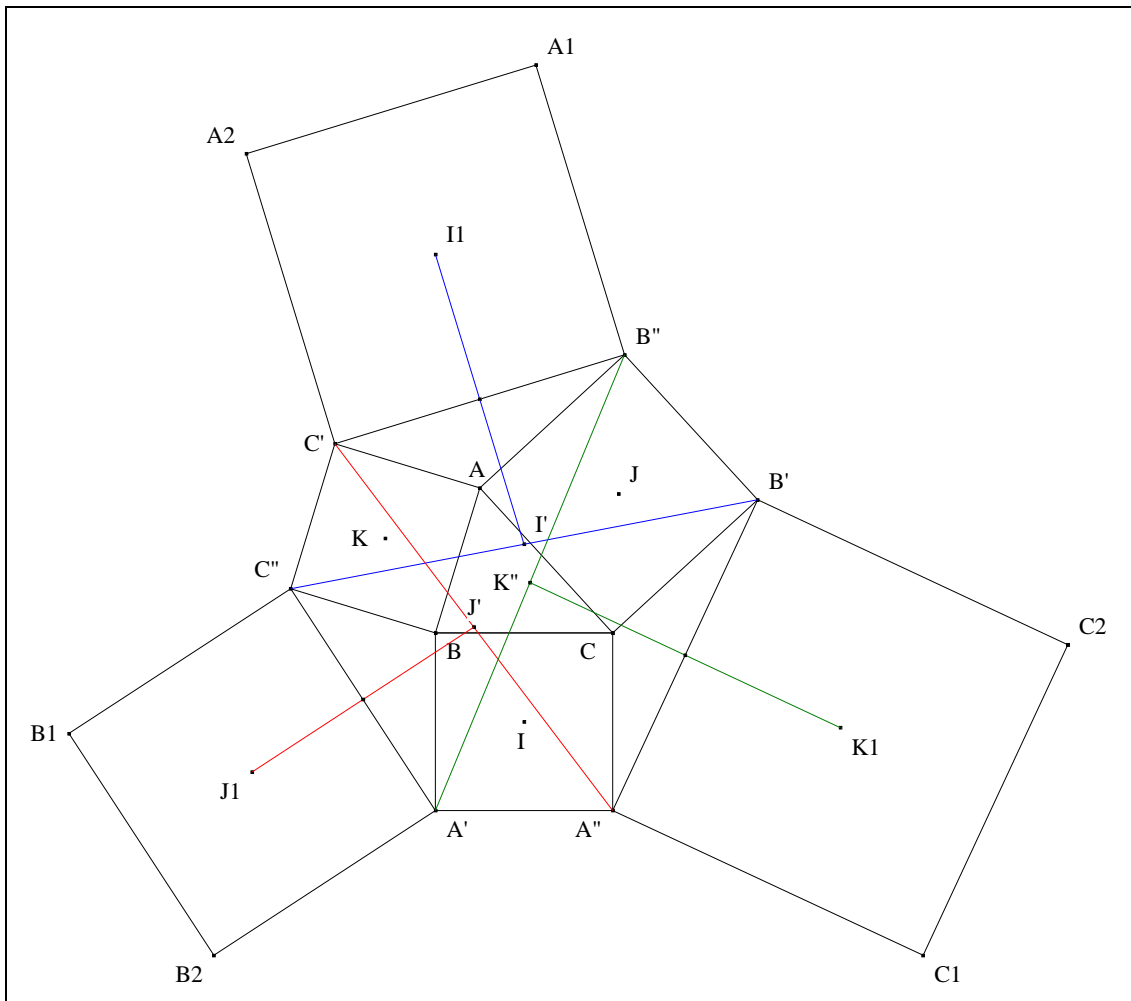
**Donné :**  $I'$  est le symétrique de  $I_1$  par rapport à  $(B''C')$  <sup>87</sup>.

VISUALISATION

- **Conclusion :** d'après VI. 4. Un résultat de Bottema, scolie 1, appliqué au triangle  $AB''C'$ ,  $I'$  est le centre du carré construit sur  $[B''C']$  à l'intérieur de  $AB''C'$ .

**Scolies :** (1) vision triangulaire

<sup>87</sup> Van Aubel, *Mathesis* (1880) n° 42 ;  
solution : van Aubel, *Mathesis* (1881) 163.

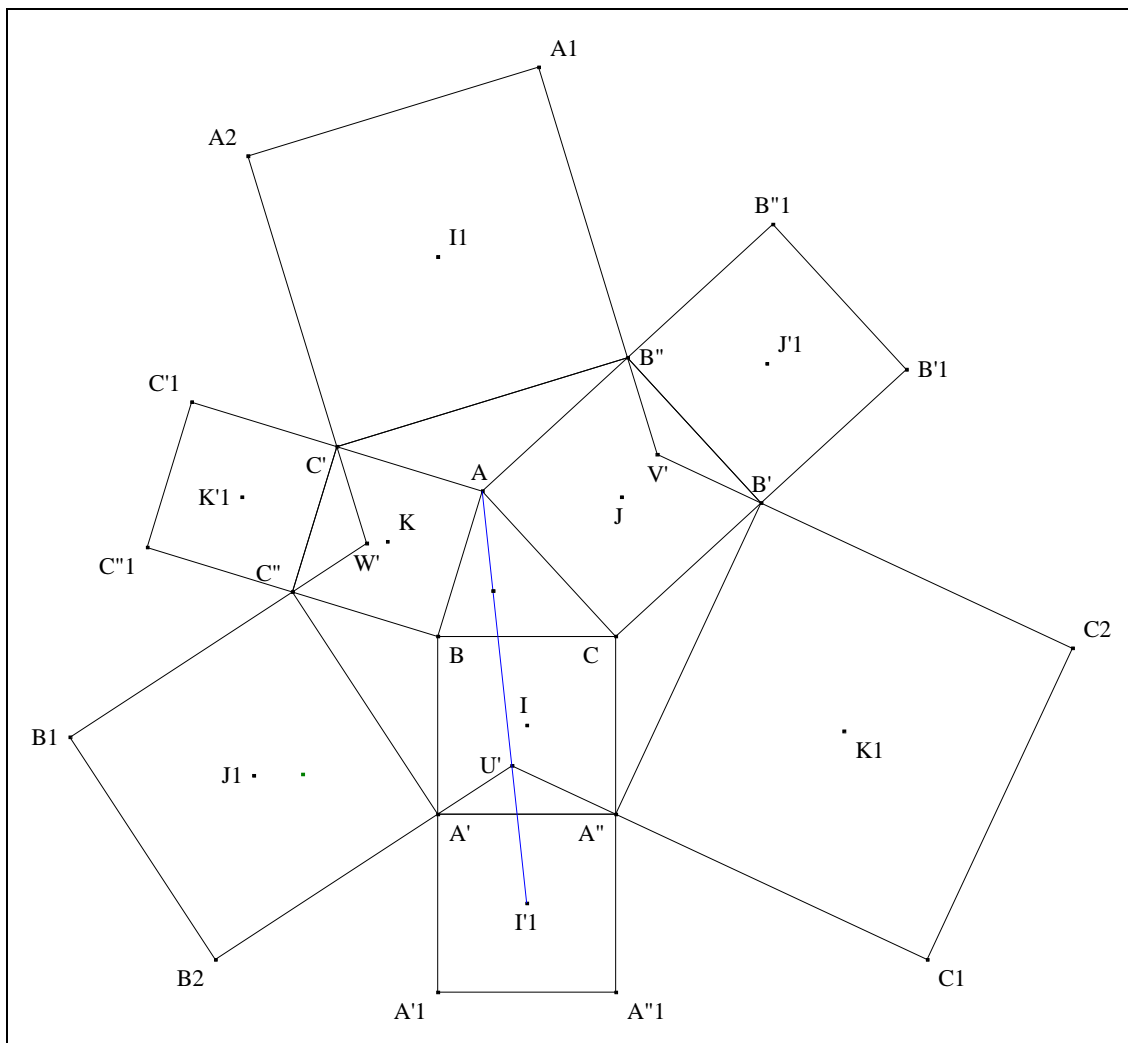


(2) Le résultat reste vrai lorsqu'on remplace "extérieur" par "intérieur".

### 5. Un résultat d'Oene Bottema

#### VISION

Figure :



**Traits :**

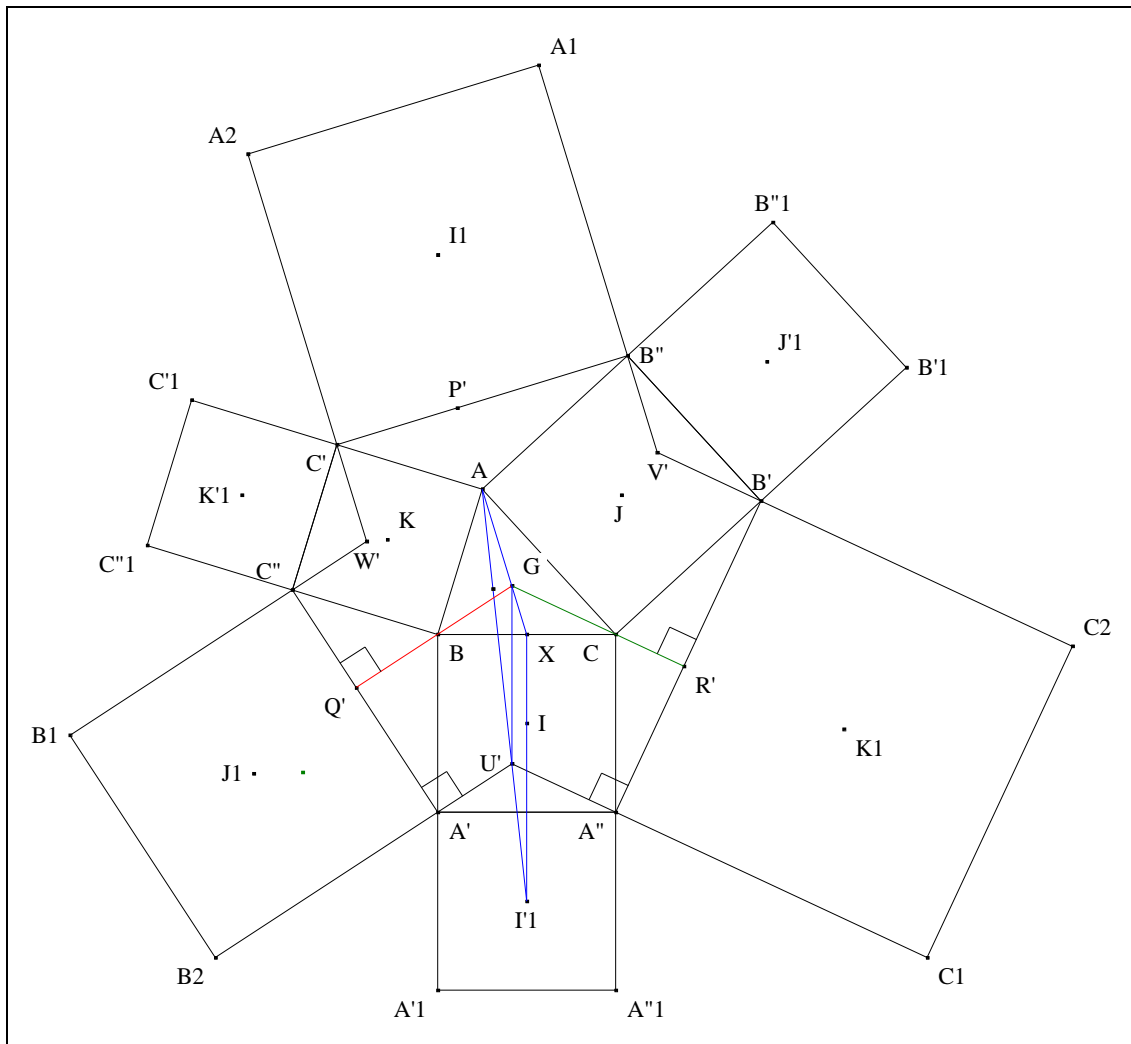
$A'A'1A''1A''$ ,  $B'B'1B''1B''$ ,  $C'C'1C''1C''$   
 $I'1$ ,  $J'1$ ,  $K'1$   
 et  $U'$ ,  $V'$ ,  $R'$

les hypothèses et les notations sont les mêmes que précédemment,  
 trois carrés resp. extérieurs à la figure de Vecten,  
 le centre resp. de  $A'A'1A''1A''$ ,  $B'B'1B''1B''$ ,  $C'C'1C''1C''$   
 le point d'intersection de  $(A'B2)$  et  $(A''C1)$ ,  
 de  $(B'C2)$  et  $(B''A1)$ , de  $(C'A2)$  et  $(C''B1)$ .

**Donné :**  $A$ ,  $U'$  et  $I'1$  sont alignés.<sup>88</sup>

**VISUALISATION**

<sup>88</sup> Bottema O., Het problem van de verloren schat, Verscheidenheden, *Nederlandse Vereniging van Wiskundeleraren*, Groningen (1978) 51.



- D'après "Le petit théorème de Desargues" (Cf. Annexe 9) appliqué aux triangles homothétiques  $GBC$  et  $U'A'A''$ ,  $(GU') \parallel (BA')$  et  $GU' = BA'$ .
- Nous avons :
 

(1)	$3.AG = 2.AX$
(2)	$3.GU' = 2.XI'$
- **Conclusion** :  $A, U$  et  $I'$  sont alignés.

**Note historique :** ce résultat d'Oene Bottema a été présenté en exercice chez Paul Yiu<sup>89</sup>.

- Scolies :**
- (1)  $GBA'U'$  et  $GCA''U'$  sont deux parallélogrammes.
  - (2) Trois droites concourantes<sup>90</sup>

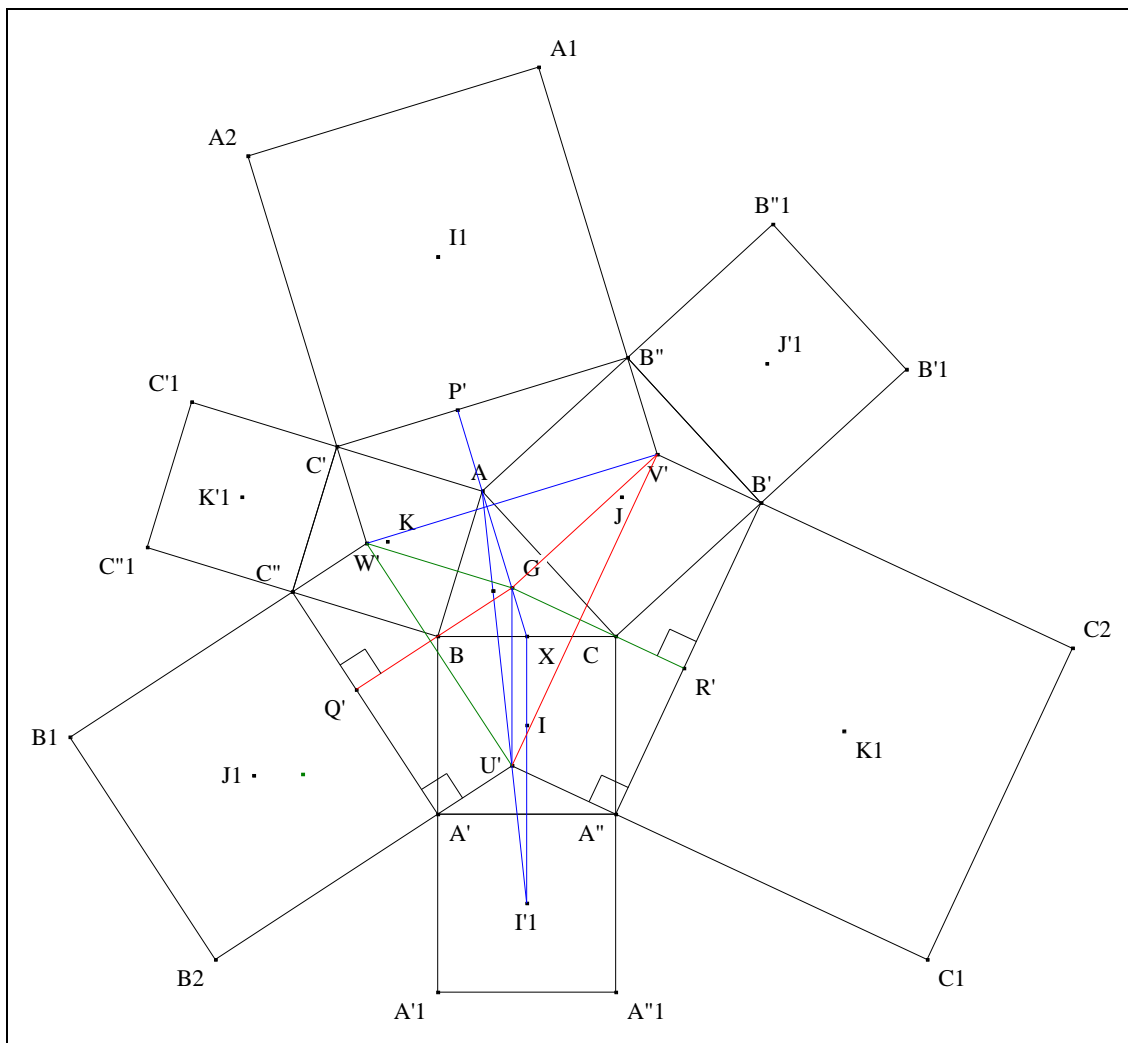
<sup>89</sup>

Yiu P., Notes on Euclidean Geometry (1998) ; <http://www.math.fau.edu/yiu/geometry.html>.

<sup>90</sup>

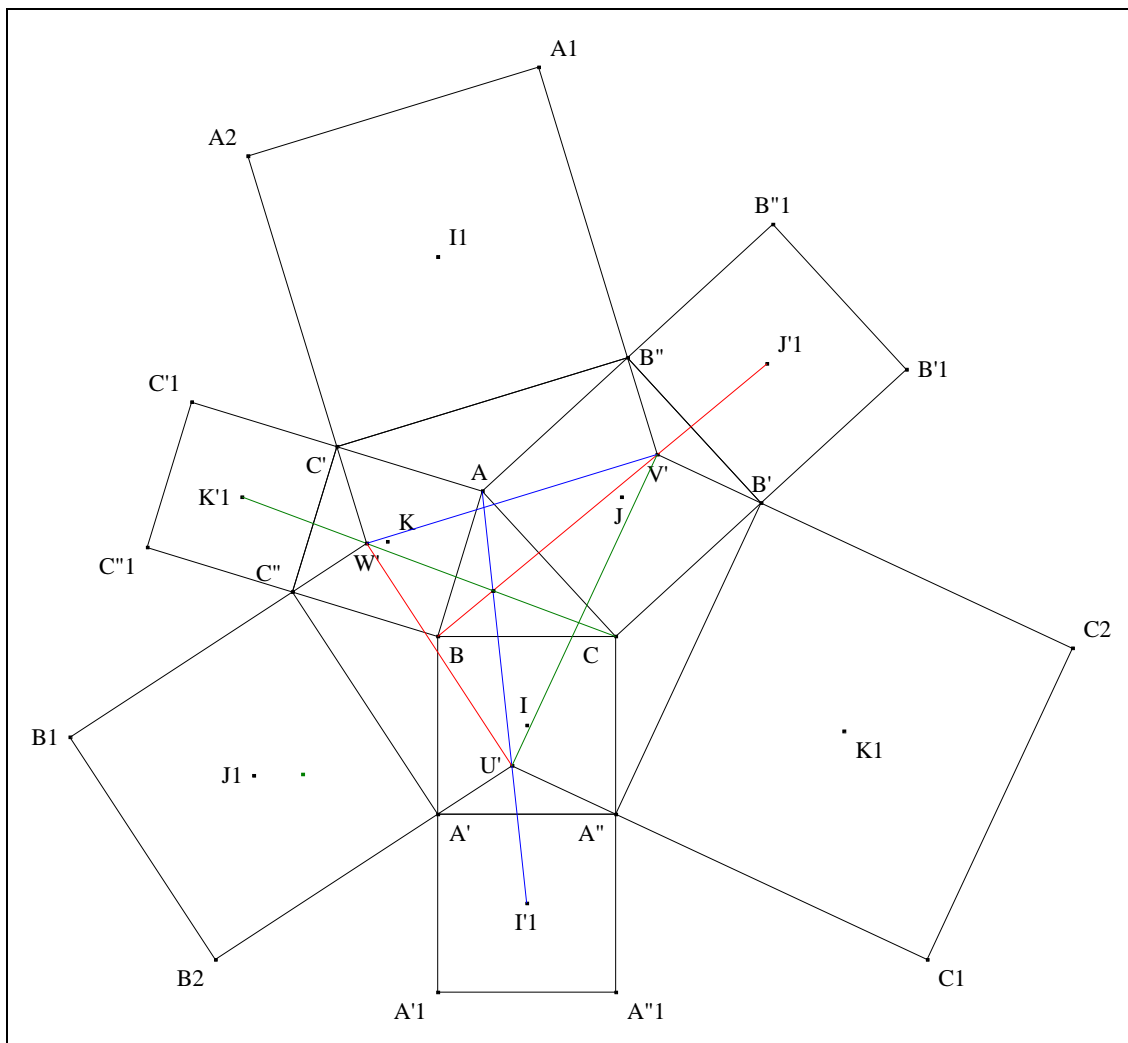
Common point, *Mathlinks* du 08/11/2006 ; <http://www.mathlinks.ro/Forum/viewtopic.php?t=118200>.





- Mutatis mutandis,  $C''A'U'W'$  est un rectangle  
 $A''B'V'U'$  est un rectangle.
- $G$  étant le pôle commun d'orthologie des triangles  $ABC$  et  $U'V'W'$ , ceux-ci sont bilogiques ;  
 en conséquence,  $ABC$  et  $U'V'W'$  sont en perspective.<sup>91</sup>

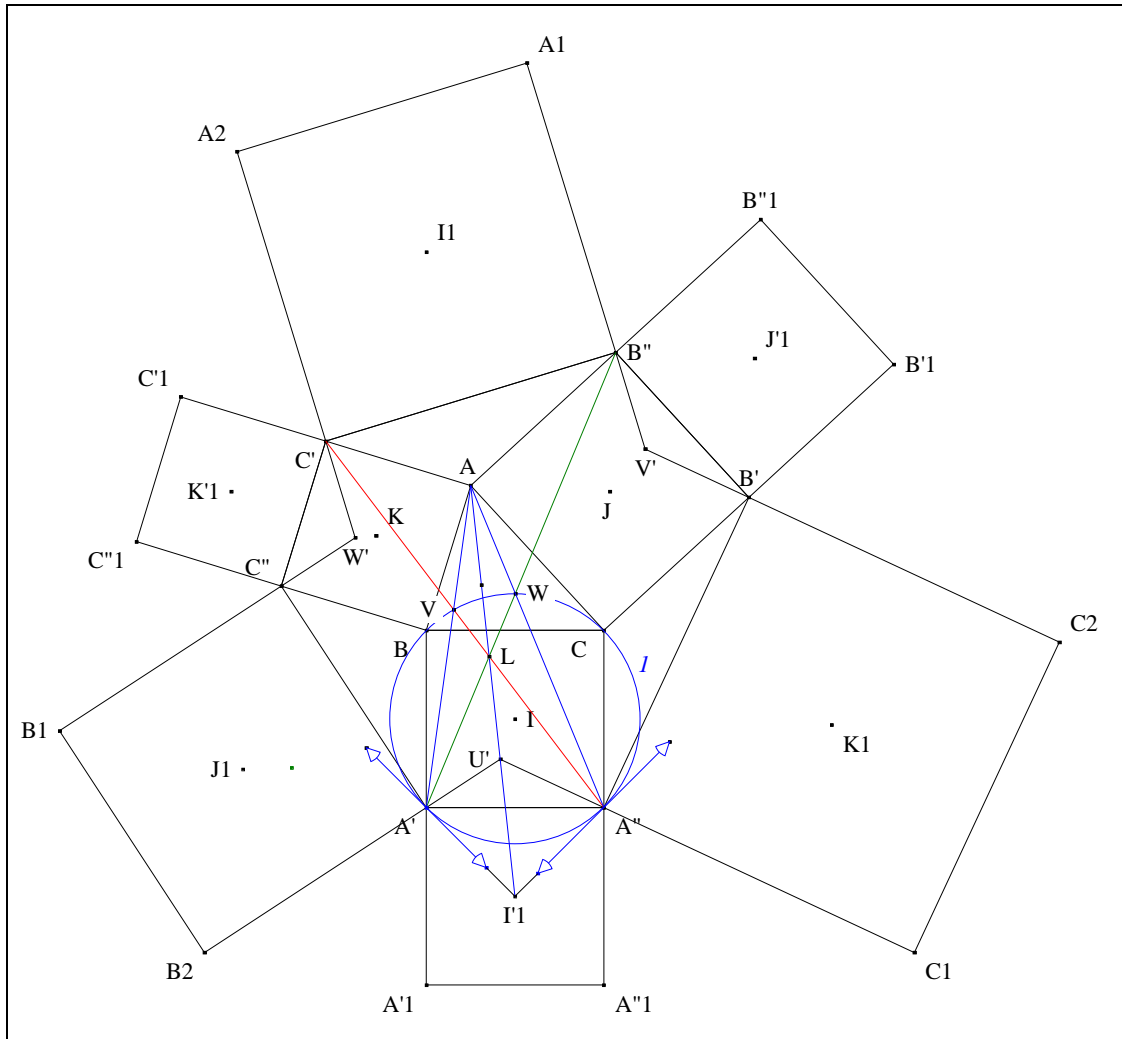
<sup>91</sup> Ayme J.-L., Le théorème de Sondat, G.G.G. vol. 1 ; <http://pagesperso-orange.fr/jl.ayme/>.



• **Conclusion :**  $(AI'1), (BJ'1)$  et  $(CK'1)$  sont concourantes.

(3) Trois droites concourantes <sup>92</sup>

<sup>92</sup> Iranian National Olympiad (3rd Round) 2007  
 Concurrent lines, *Mathlinks* du 27/08/2007 ; [http://www.mathlinks.ro/Forum/viewtopic.php?search\\_id=114974103&t=164548](http://www.mathlinks.ro/Forum/viewtopic.php?search_id=114974103&t=164548).

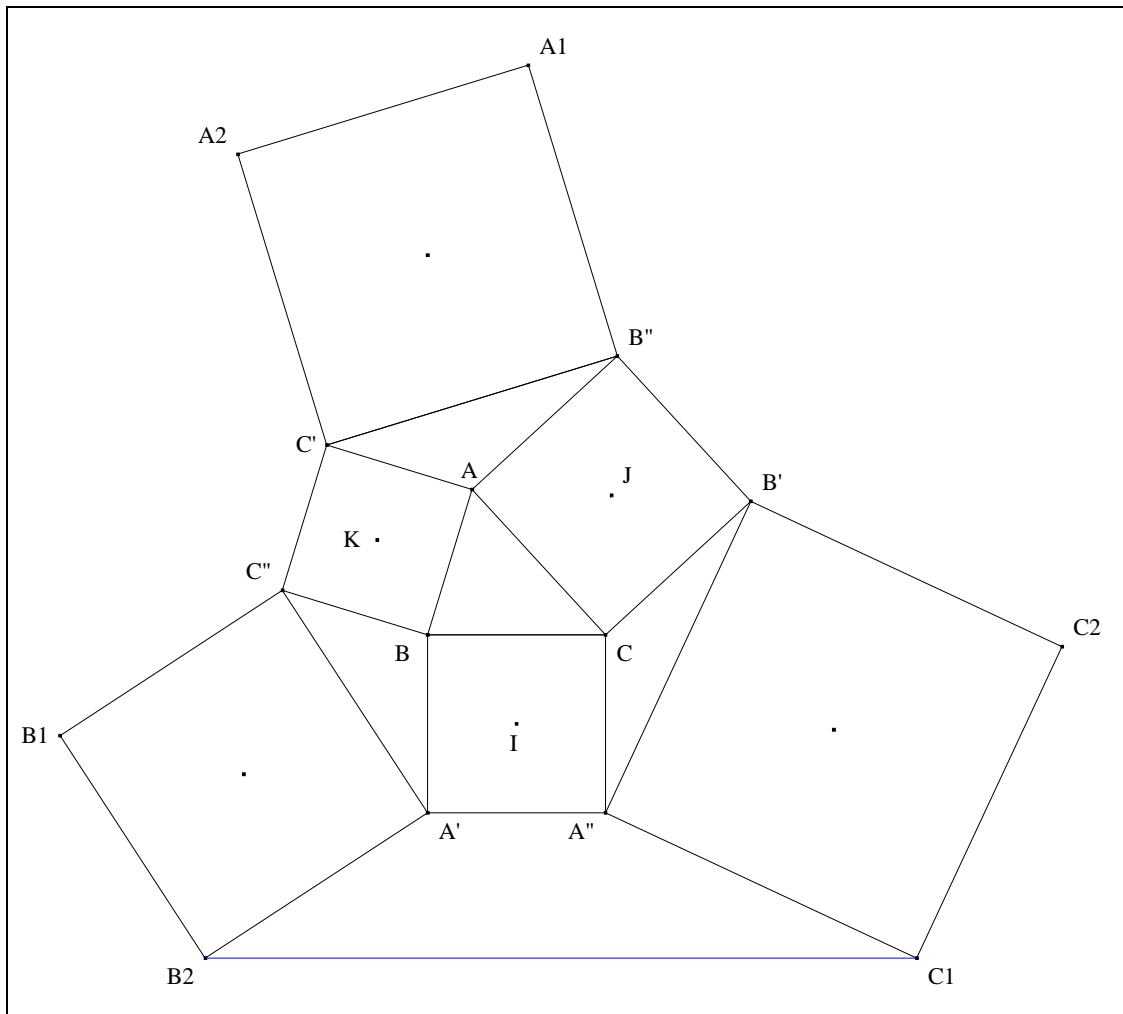


- D'après III. La proposition 2, scolie 1,  $I$  passe par B, C, A', A'', V et W.
  - Notons  $Ta', Ta''$  les tangentes à  $I$  resp. en A', A'' .
  - Nous avons :  $Ta' = (A'I'1)$  et  $Ta'' = (A''I'1)$ .
  - D'après MacLaurin "Tetragramma mysticum" (Cf. Annexe 16) appliqué à l'hexagone dégénéré A'VA'' Ta'' WA' Ta',  $(A'W)$  et  $(A''V)$  se coupent sur  $(AI'1)$ .
  - **Conclusion :**  $(A'B'')$ ,  $(A''C')$  et  $(AI'1)$  sont concourantes en L.
- (4) Les résultats restent vrais lorsque l'on remplace "extérieur" par "intérieur".

6. Un résultat de Niyland

VISION

Figure :

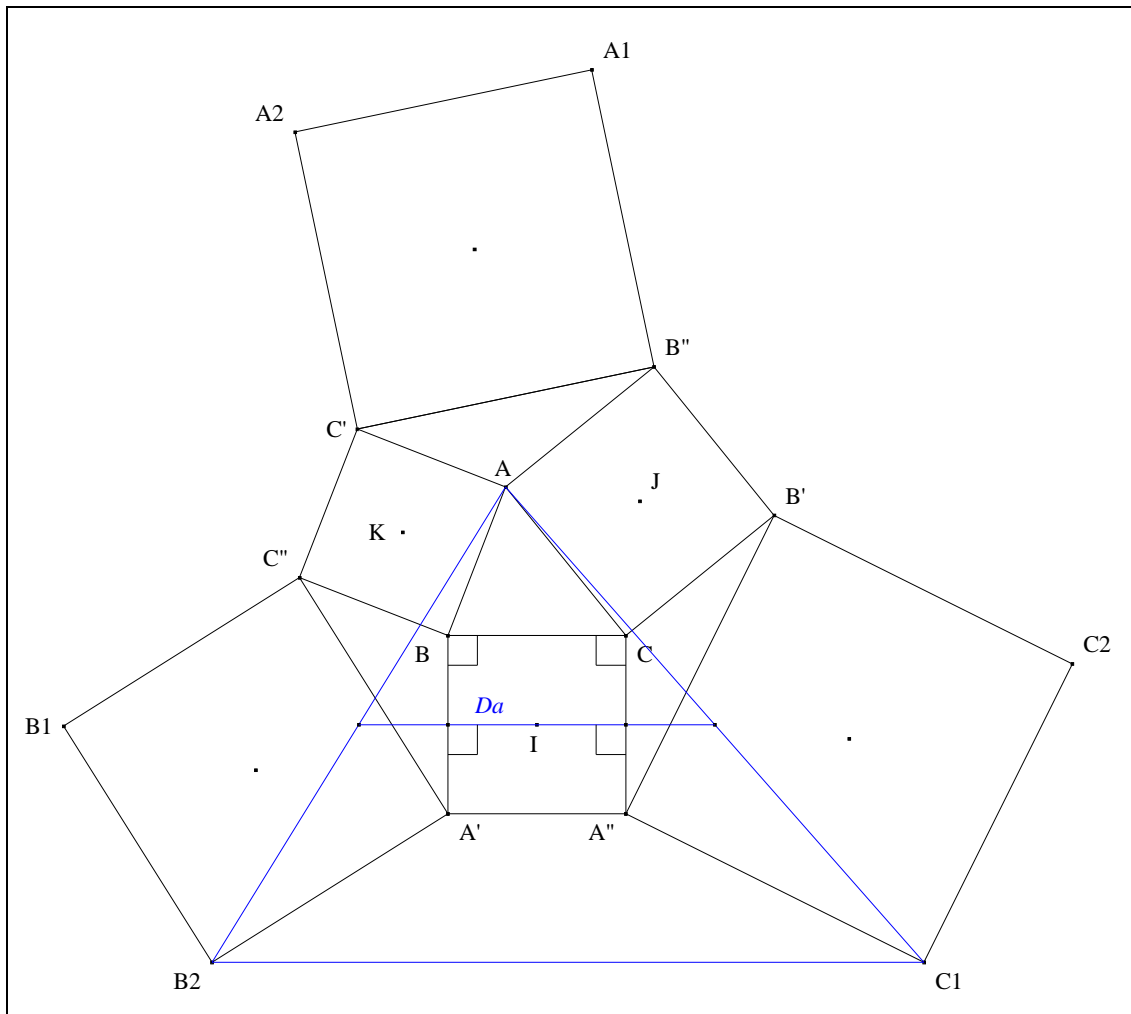


**Traits :** les hypothèses et les notations sont les mêmes que précédemment,

**Donné :**  $(B_2C_1)$  est parallèle à  $(A'A'')$  <sup>93</sup>.

### VISUALISATION

<sup>93</sup> Niyland, *Mathesis* n° 893.  
68-ième O.M. Russie (2005).



- D'après VI. 4. Un résultat de Bottema, appliqué
  - (1) au triangle  $BA'C''$ , le milieu de  $[AB_2]$  est le symétrique de  $I$  par rapport à  $(A'B)$
  - (2) au triangle  $CB'A''$ , le milieu de  $[AC_1]$  est le symétrique de  $I$  par rapport à  $(A''C)$ .
 en conséquence, ces deux milieux sont alignés avec  $I$ .
- Notons  $Da$  cette droite.
- $Da$  étant la  $A$ -droite des milieux du triangle  $AB_2C_1$ , nous avons :
 

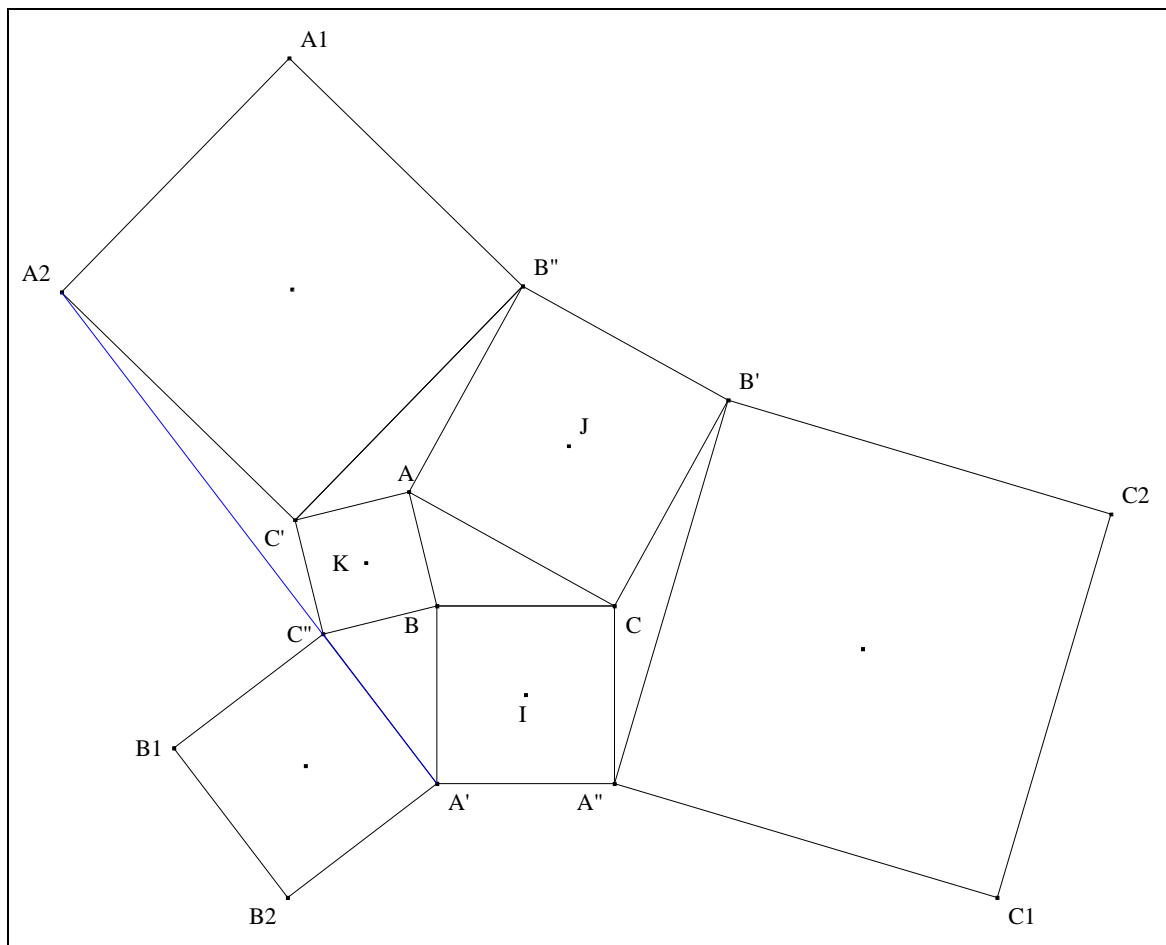
	$(B_2C_1) // Da$ ;
	$Da // (BC)$ ;
par transitivité de la relation $//$ ,	$(B_2C_1) // (BC)$ .
- **Conclusion :**  $(B_2C_1)$  est parallèle à  $(A'A'')$ .

- Scolies :**
- (1)  $B_2C_1 = 4 \cdot BC$ .
  - (2) Les résultats restent vrais lorsque l'on remplace "extérieur" par "intérieur".

## 7. Exercice : un San Gaku de 1826

**VISION**

Figure :



**Traits :** les hypothèses et les notations sont les mêmes que précédemment,

**Donné :** A', C'' et A2 sont alignés si, et seulement si,  $2AB = AC$  <sup>94</sup>.

**Note historique :** la tablette concernant ce san Gaku de 1826 de la préfecture de Tokyo a aujourd'hui disparue.

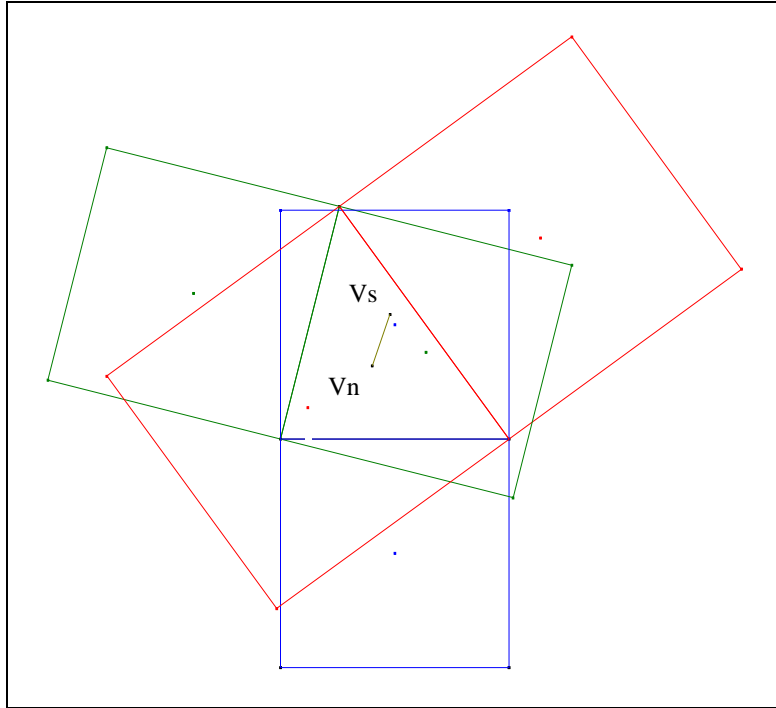
**B. "COMPRENDRE"**

**LA LIAISON ENTRE LES DEUX PÔLES**

**DU**

**RESBIS**

<sup>94</sup> Fukagawa H., Pedoe D., Japanese Temple Geometry Problems (1989) Winnipeg, Canada, problem 4.2.1. p.47.

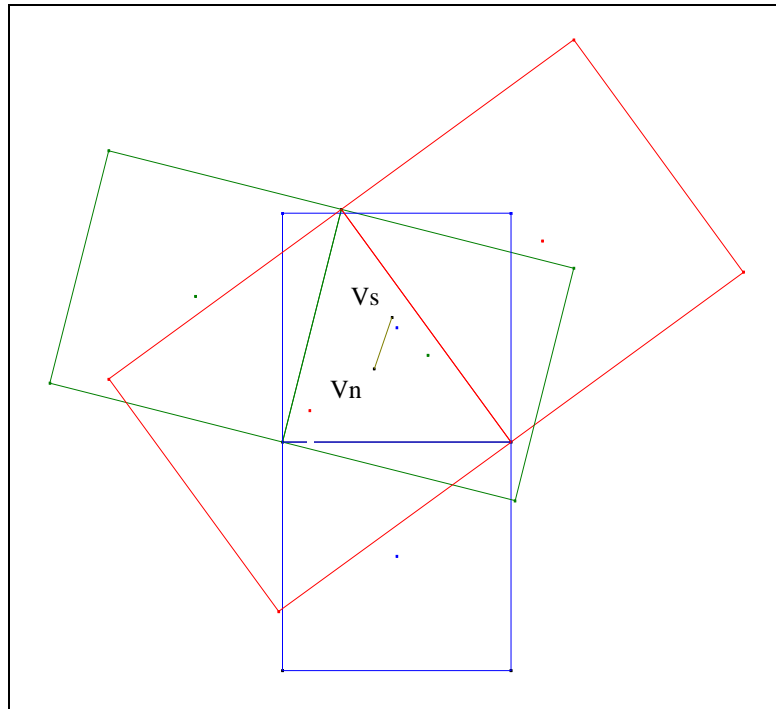


*Lorsque deux aspects semblent s'opposer,  
le géomètre devra croire en tous les deux  
avec la conviction qu'ils puissent engendrer un lien...*

## 1. La droite de Vecten

### VISION

Figure :



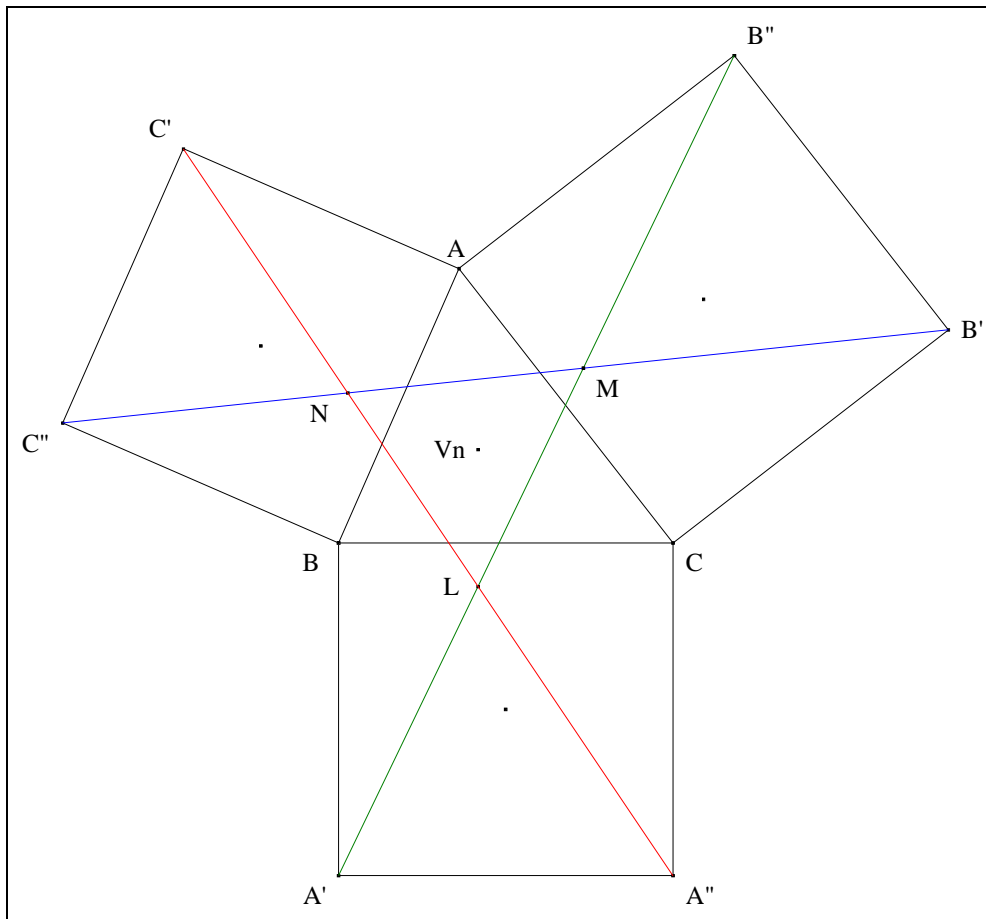
**Finition :**  $ABC$  un triangle,  
 $V_n, V_s$  les points resp. extérieur, intérieur de Vecten de  $ABC$ .

**Définition :**  $(V_n V_s)$  est la droite de Vecten de  $ABC$ .

## 2. Une reformulation du résultat IV. 3

### VISION

**Figure :**



**Traits :** les hypothèses et les notations sont les mêmes que précédemment.

**Donnés :**  $V_n$  est le second point de Vecten de LMN  
 $V_s$  est le premier point de Vecten de LMN <sup>95</sup>.

**Énoncé traditionnel :** ABC et LMN partagent la même droite de Vecten.

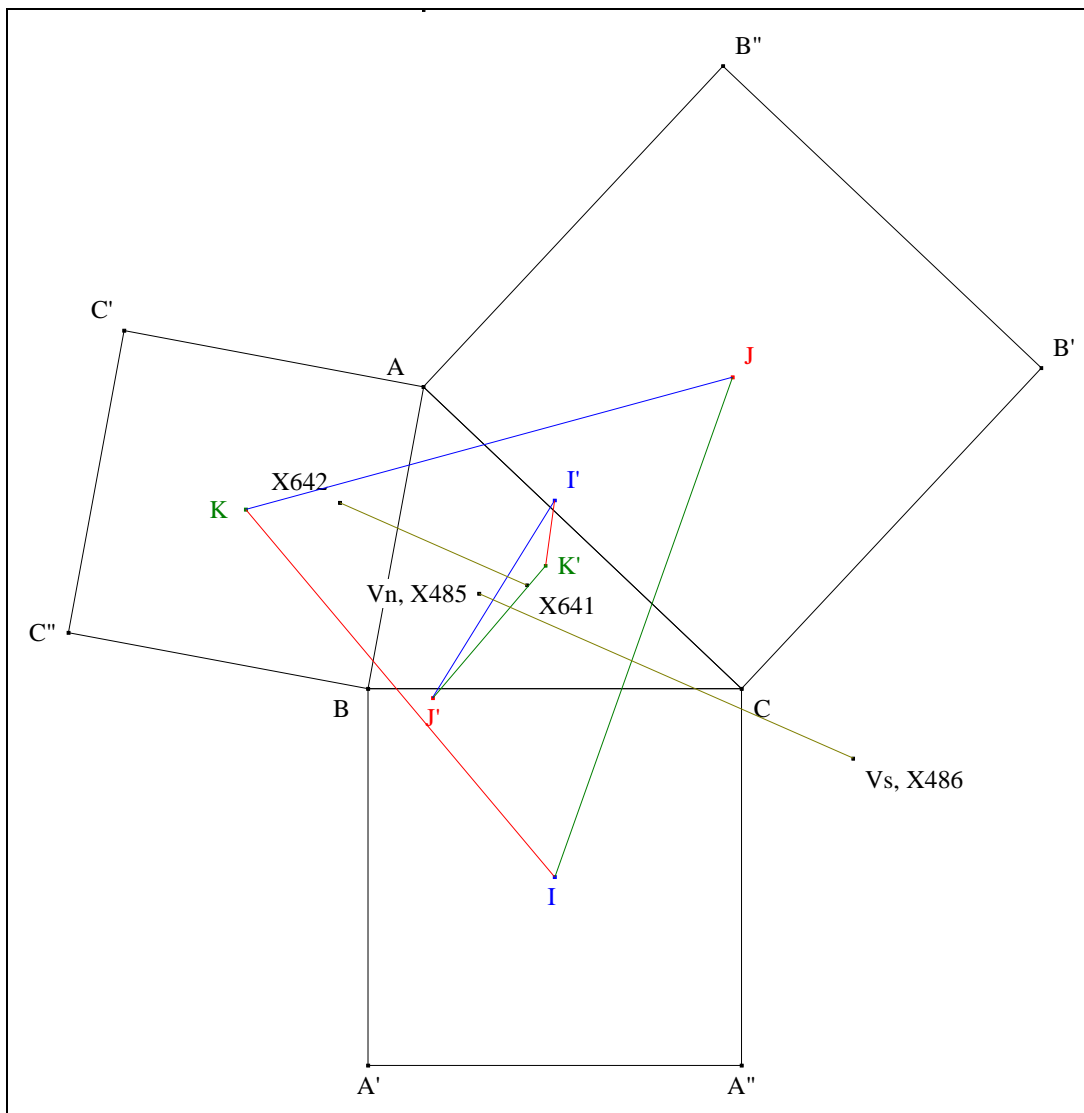
### 3. Un résultat de Cosmin Pohoata

#### VISION

**Figure :**

<sup>95</sup>

Ayme J.-L., Vecten's points, Message *Hyacinthos* # 17406 du 26/03/2009 ;  
<http://tech.groups.yahoo.com/group/Hyacinthos/message/17406> ;  
 With the Vecten's points, *Mathlinks* du 26/03/2009 ; <http://www.mathlinks.ro/Forum/viewtopic.php?t=266978>.

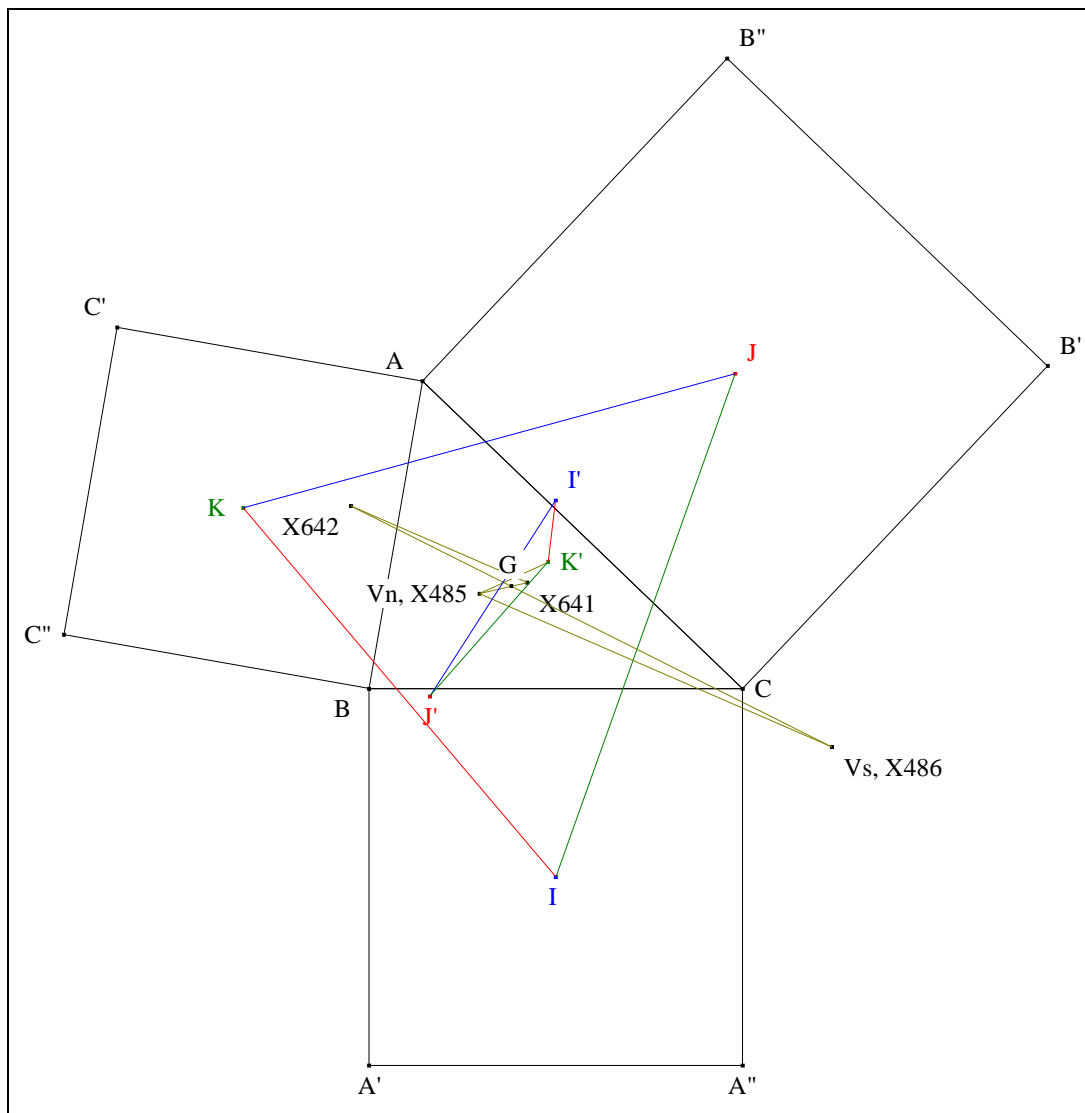


**Traits :** les hypothèses et les notations sont les mêmes que précédemment,  
 $X_{641}$  le centre du cercle circonscrit à IJK  
 et  $X_{642}$  le centre du cercle circonscrit à I'J'K'.

**Donnés :**  $(X_{641}X_{642})$  est parallèle à  $(VnVs)$ .<sup>96</sup>

**VISUALISATION**

<sup>96</sup> Pohata C., Message privé du 08/04/2009.



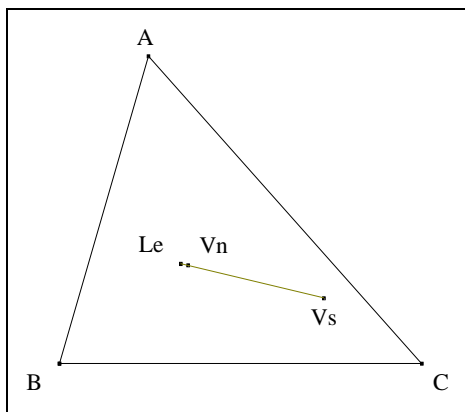
- D'après VI. 4. Un résultat de Bottema,
 

(1)	scolie 8,	$X_{641}$ est le complément de $X_{485}$
(2)	scolie 16,	$X_{642}$ est le complément de $X_{486}$ .
- **Conclusion** : d'après Thalès,  $(X_{641}X_{642})$  est parallèle à  $(VnVs)$ .

**4. La droite de Vecten passe par le point de Lemoine**

**VISION**

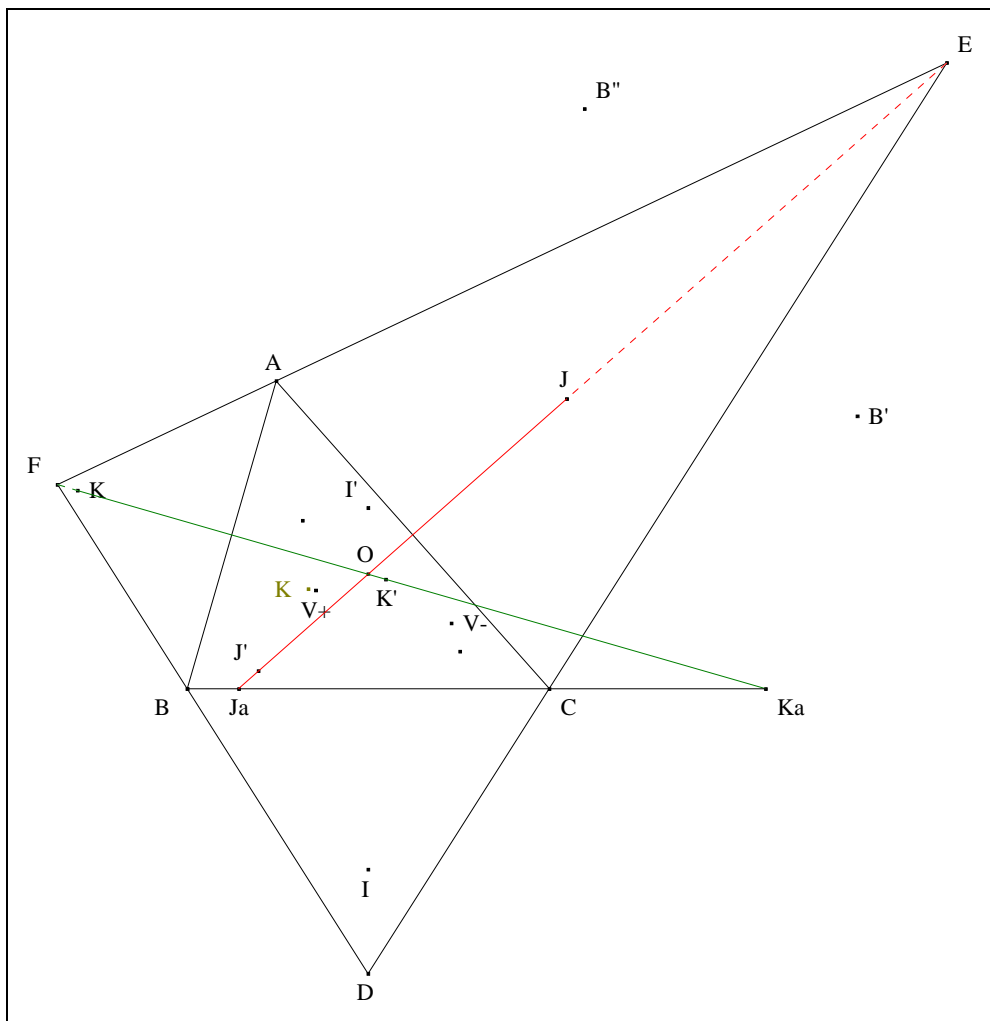
**Figure :**



**Traits :** les hypothèses et les notations sont les mêmes que précédemment,  
 et Le le point de Lemoine de ABC

**Donné :** Vn, Vs et Le sont alignés <sup>97</sup>.

**VISUALISATION**

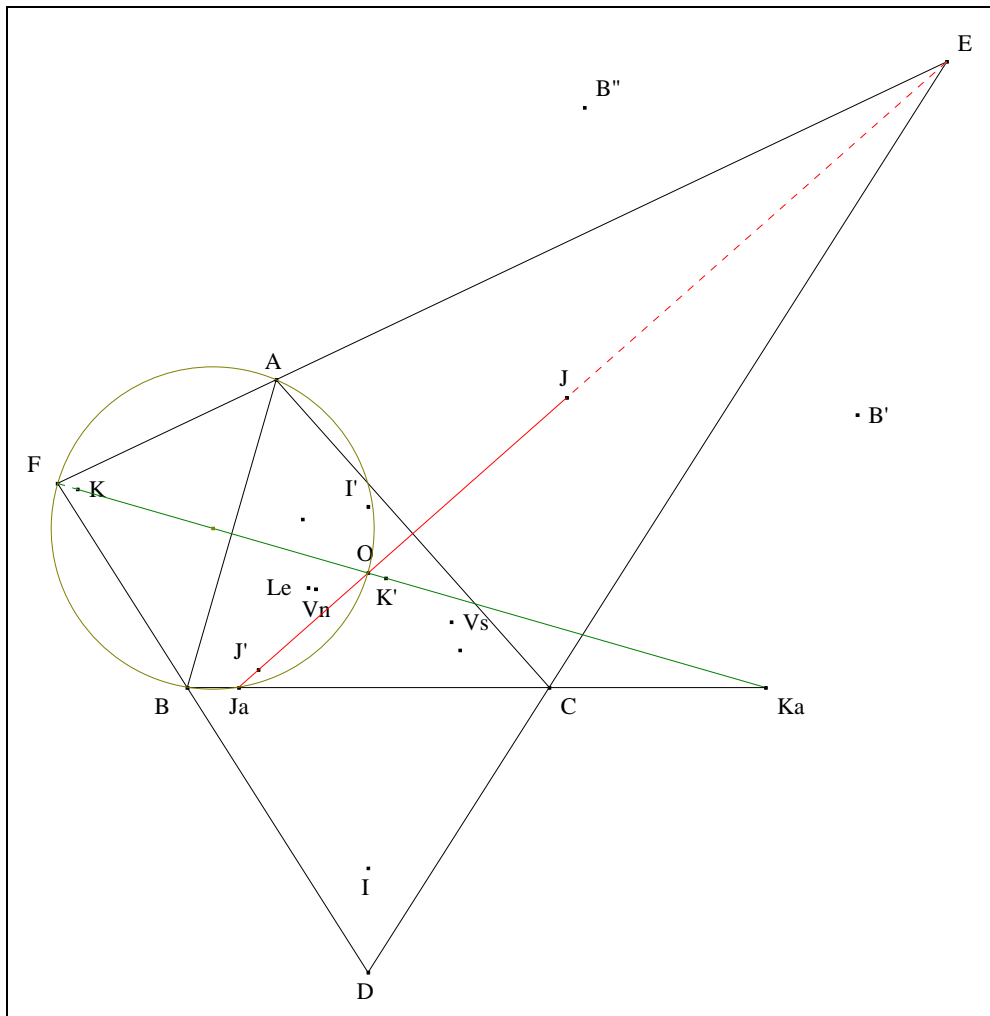


• Notons DEF le triangle tangential de ABC

<sup>97</sup> Gibert B., Re: [EMHL] X\_371 (and X372), Message *Hyacinthos* # 1585 du 12/10/2000.

et  $J_a, K_a$  les points d'intersection resp. de  $(JJ')$ ,  $(KK')$  avec  $(BC)$ .

- Considérons les pinceaux anharmoniques  $P_a = (A ; K, K', F, K_a)$   
 $P'_a = (A ; J', J, J_a, E)$ .

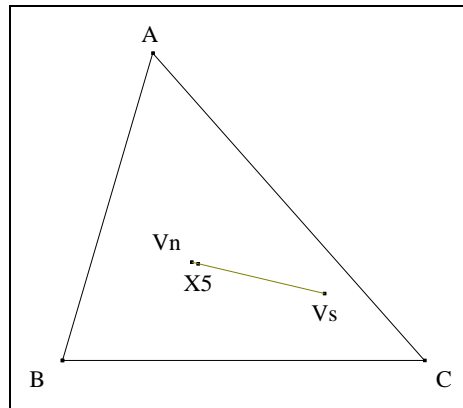


- Une chasse angulaire montre que  $P'_a$  est l'image de  $P_a$  par la rotation de centre A et d'angle  $\angle BAC$  ( $2 \cdot \Pi$ ) ;  
 en conséquence,  $(A ; K, K', F, K_a) = (A ; J', J, J_a, E)$ .
- En permutant simultanément les deux premiers et les deux derniers points de  $P'_a$ ,  
 le pinceau anharmonique  $P'_a$  reste inchangé :  
 $(A ; J', J, J_a, E) = (A ; J, J', E, J_a)$  ;  
 par changement d'origine de A en B,  $(A ; J, J', E, J_a) = (B ; J, J', E, J_a)$  ;  
 par transitivité de la relation = entre pinceaux anharmoniques de même centre,  
 $(A ; K, K', F, K_a) = (B ; J, J', E, J_a)$  ;  
 par changement d'origine de A en C,  
 $(A ; K, K', F, K_a) = (C ; K, K', F, K_a)$  ;  
 en conséquence,  $(C ; K, K', F, K_a) = (B ; J, J', E, J_a)$ .
- **Scolies :**
  - (1)  $(CK), (CK'), (CF)$  et  $(CK_a)$  sont les rayons du pinceau à gauche de l'égalité
  - (2)  $(BJ), (BJ'), (BE)$  et  $(BJ_a)$  sont les rayons du pinceau à droite de l'égalité.
- Ces deux pinceaux ayant le rayon  $(BC)$  en commun, les points d'intersection des rayons homologues  $(CK)$  et  $(BJ)$ ,  $(CK')$  et  $(BJ')$ ,  $(CF)$  et  $(BE)$  sont alignés.
- **Conclusion :**  $V_n, V_s$  et  $Le$  sont alignés.

### 5. La droite de Vecten passe par le centre du cercle d'Euler

#### VISION

Figure :



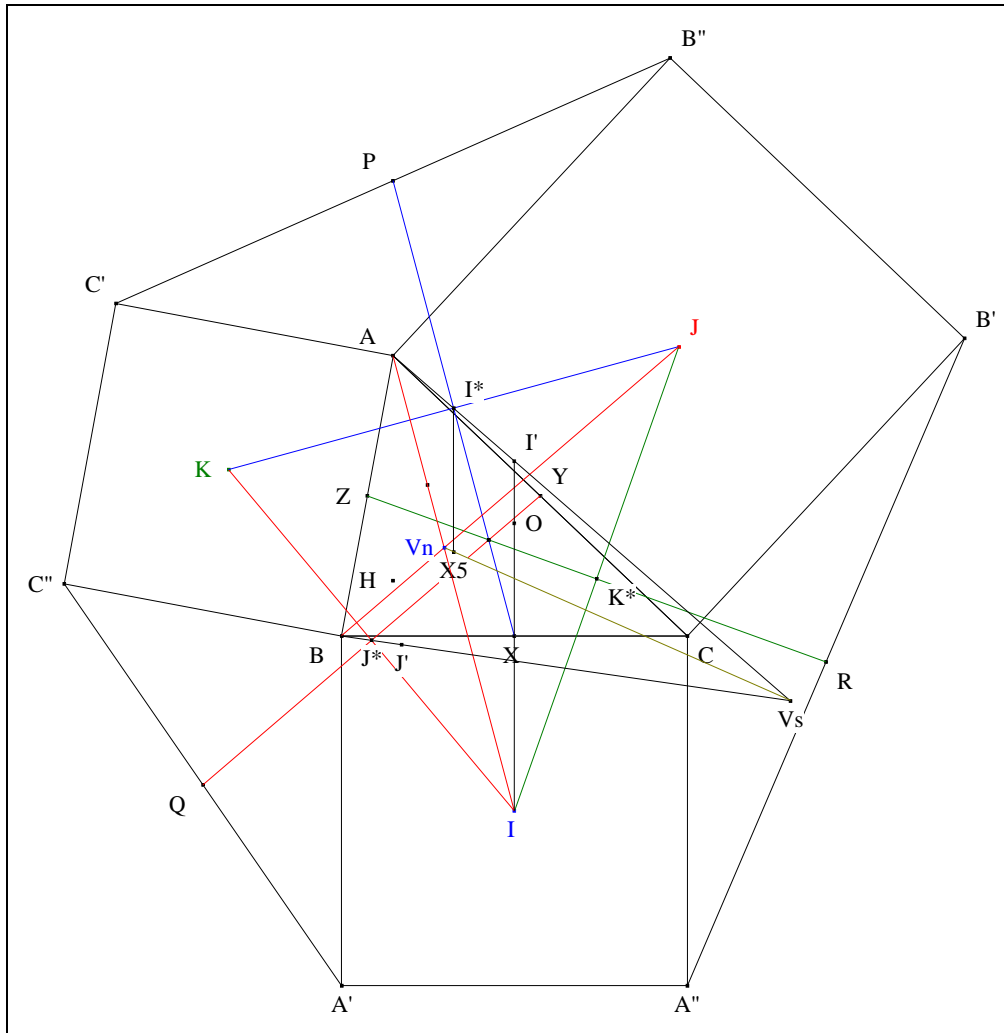
**Traits :** les hypothèses et les notations sont les mêmes que précédemment  
 et  $X_5$  le centre du cercle d'Euler de ABC.

**Donné :**  $V_n$ ,  $V_s$  et  $X_5$  sont alignés <sup>98</sup>.

#### VISUALISATION

<sup>98</sup>

Montes J., Valderrama, pers. comm., Ricardo Barroso Campos du 20/04/2004.



- Notons  $I^*, J^*, K^*$  les milieux resp. de  $[JK], [KI], [IJ]$   
et  $H$  l'orthocentre de  $ABC$ .
- D'après VI. 4. Un résultat de Bottema, scolie 4,  $I^*$  est le milieu de  $[AI']$ .
- **Scolie :**  $(AH) // (II')$
- L'axe médian de la bande de frontières  $(AH)$  et  $(II')$  passe par  $I^*$  et est perpendiculaire à  $(BC)$   
d'après l'axiome de passage IIIb, il passe par le milieu  $X_5$  de  $[OH]$
- Mutatis mutandis, nous montrerions que
  - (1) l'axe médian de la bande de frontières  $(BH)$  et  $(JJ')$  passe par le milieu  $X_5$  de  $[OH]$
  - (2) l'axe médian de la bande de frontières  $(CH)$  et  $(KK')$  passe par le milieu  $X_5$  de  $[OH]$ .
- **Scolies :**
  - (1)  $I^*J^*K^*$  est homothétique à  $IJK$
  - (2)  $V_n$  est le pôle d'orthologie de  $ABC$  relativement à  $I^*J^*K^*$
  - (3)  $X_5$  est le pôle d'orthologie de  $I^*J^*K^*$  relativement à  $ABC$
  - (4)  $V_s$  étant le centre de perspective de  $ABC$  et  $I'J'K'$ ,  
 $V_s$  est le centre de perspective de  $ABC$  et  $I^*J^*K^*$ .
- **Conclusion :** d'après le théorème de Sondat<sup>99</sup> appliqué à  $ABC$  et  $I^*J^*K^*$ ,  $V_n, V_s$  et  $X_5$  sont alignés.<sup>100</sup>

<sup>99</sup>  
<sup>100</sup>

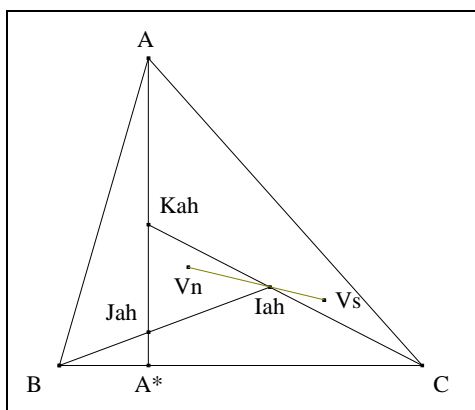
Ayme J.-L., Le théorème de Sondat, G.G.G. vol. 1 ; <http://pagesperso-orange.fr/jl.ayme/>.  
Ayme J.-L., <http://www.mathlinks.ro/Forum/viewtopic.php?t=275742>.

**Note historique :** ce résultat de Jose Montes Valderrama de Séville (Andalousie, Espagne) trouvé en 2004 a été prouvé avec l'aide des coordonnées barycentriques par l'Ingénieur naval Jose Maria Pedret <sup>101</sup> de Barcelone (Catalogne, Espagne).

**6. Un résultat de l'auteur**

**VISION**

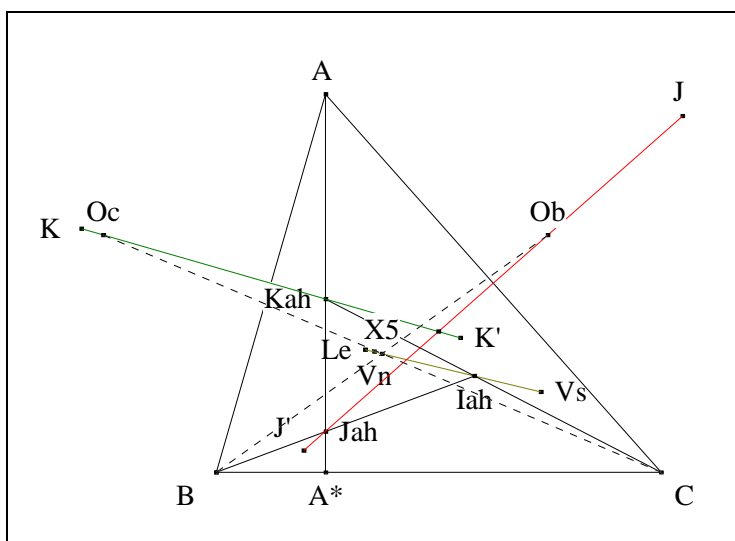
**Figure :**



**Traits :** les hypothèses et les notations sont les mêmes que précédemment,  
 et Jah, Kah les points d'intersection de (AA\*) resp. avec (JJ'), (KK'),  
 et Iah le point d'intersection de (BJah) et (CKah).

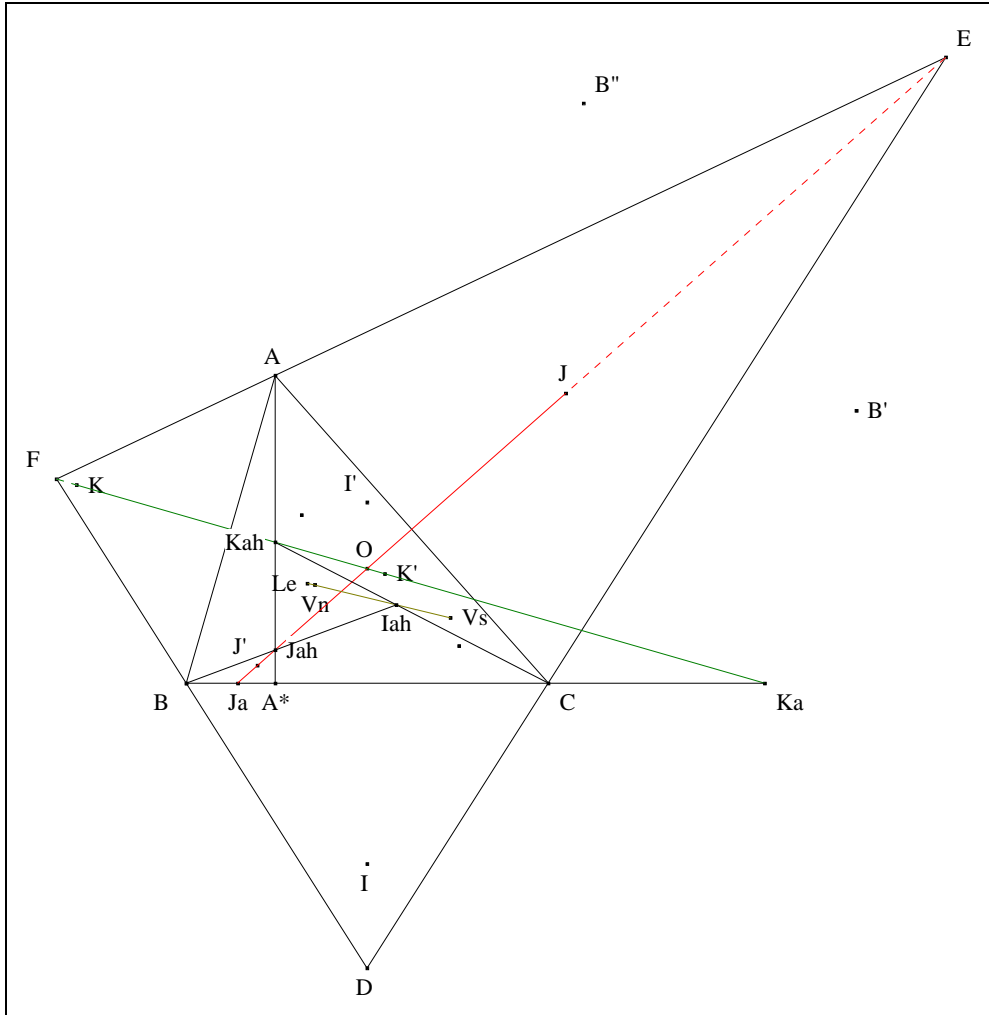
**Donné :** Vn, Vs et Iah sont alignés <sup>102</sup>.

**VISUALISATION**



<sup>101</sup> Pedret J. M., Problema 163 (23/04/2004) ; <http://www.aloj.us.es/rbarroso/trianguloscabri/sol/sol163ped.htm>.  
<sup>102</sup> Ayme J.-L., Vecten's line, Can You confirm, Message Hyacinthos # 17451 du 04/04/2009 ; <http://tech.groups.yahoo.com/group/Hyacinthos/message/17451>.

- Notons  $Ob, Oc$  les symétriques de  $O$  par rapport à  $(CA), (AB)$ .
- Considérons les pinceaux anharmoniques  $Pa = (A ; K, K', Oc, Kah)$   
 $P'a = (A ; J', J, Jah, Ob)$ .



- Une chasse angulaire montre que  $P'a$  est l'image de  $Pa$  par la rotation de centre  $A$  et d'angle  $\sphericalangle BAC$  ( $2. \Pi$ ) ;  
 en conséquence,  $(A ; K, K', Oc, Kah) = (A ; J', J, Jah, Ob)$ .
- En permutant simultanément les deux premiers et les deux derniers points de  $P'a$ ,  
 le pinceau anharmonique  $P'a$  reste inchangé :  
 $(A ; J', J, Jah, Ob) = (A ; J, J', Ob, Jah)$  ;  
 par changement d'origine de  $A$  en  $B$ ,  $(A ; J, J', Ob, Jah) = (B ; J, J', Ob, Jah)$  ;  
 par transitivité de la relation = entre pinceaux anharmoniques de même centre,  
 $(A ; K, K', Oc, Kah) = (B ; J, J', Ob, Jah)$  ;  
 par changement d'origine de  $A$  en  $C$ ,  $(A ; K, K', Oc, Kah) = (C ; K, K', Oc, Kah)$  ;  
 en conséquence,  $(C ; K, K', Oc, Kah) = (B ; J, J', Ob, Jah)$ .
- **Scolies :** (1)  $(CK), (CK'), (COc)$  et  $(CKah)$  sont les rayons du pinceau à gauche de l'égalité  
 (2)  $(BJ), (BJ'), (BOb)$  et  $(BJah)$  sont les rayons du pinceau à droite de l'égalité.
- Les points d'intersection des rayons homologues  $(CK)$  et  $(BJ), (CK')$  et  $(BJ'), (COc)$  et  $(BOb)$   
 i.e.  $Vn, Vs, X_5$  étant alignés,  $X$  est sur  $(VnVsX_5)$
- **Conclusion :**  $Vn, Vs$  et  $Iah$  sont alignés.

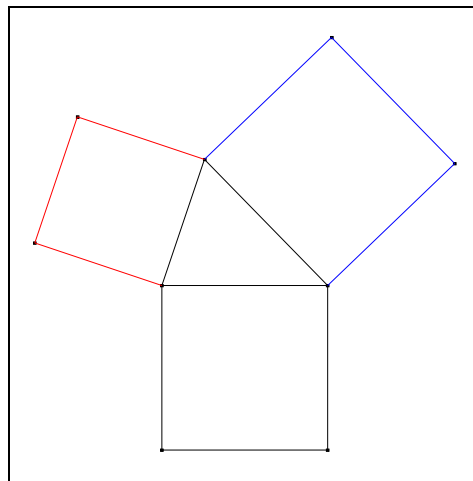
**Solie :** Vn, Vs, X<sub>5</sub>, Le et Iah

**Note historique :** ce résultat a été confirmé par Peter J. C. Moses<sup>103</sup> par le biais des coordonnées barycentriques. Il ajoute que circulairement on obtient 3 point en perspective avec ABC en X(847).

#### D. "SE LAISSER PRENDRE"

PAR

LE RESBIS



*Lorsque deux aspects semblent s'opposer, le géomètre devra croire en tous les deux...  
avec la conviction qu'ils puissent engendrer un lien,  
voire une Unité occulte<sup>104</sup>*

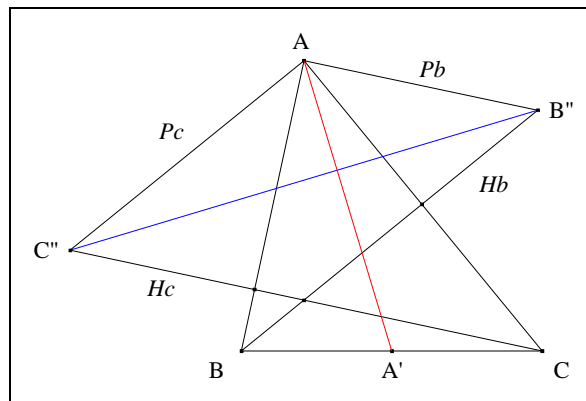
#### 1. L'équivalence d'Hatzipolakis-Thébault

VISION

**Figure :**

<sup>103</sup>  
<sup>104</sup>

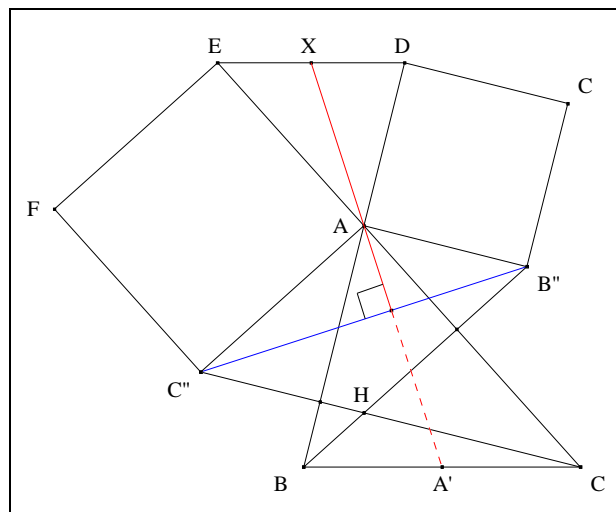
Moses P. J. C., Vecten's line : Can You confirm, Message *Hyacinthos* # 17453 du 04/04/2009.  
Cachée en se cachant.



**Traits :**  $ABC$  un triangle,  
 $Hb, Hc$  les B, C-hauteurs de  $ABC$ ,  
 $Pb, Pc$  les perpendiculaires resp. à  $(AB), (AC)$  en  $A$ ,  
 $B'', C''$  les points d'intersection de  $Hb$  et  $Pb$ , de  $Hc$  et  $Pc$ ,  
 et  $A'$  un point de  $(BC)$ .

**Donné :**  $(AA')$  est perpendiculaire  $(B''C'')$  si, et seulement si,  $A'$  le milieu de  $[BC]$ .

### VISUALISATION NÉCESSAIRE <sup>105</sup>



- Notons  $AB''CD, AEFC''$  les carrés construits à l'extérieur du triangle  $AC''B''$   
 et  $X$  le milieu du segment  $[DE]$ .
- D'après V. 1. D'une hauteur à une médiane,  
 la A-hauteur  $(AA')$  de  $AC''B''$  est la A-médiane du triangle  $ADE$ ; en conséquence,  $(AA')$  passe par  $X$ .
- D'après le théorème "a.a.a.", les triangles rectangles  $ABB''$  et  $ACC''$  sont semblables ;  
 en conséquence,  $\frac{AB''}{AB} = \frac{AC''}{AC}$  i.e.  $\frac{AD}{AB} = \frac{AE}{AC}$  ; il s'en suit que  $(DE) \parallel (BC)$  .
- **Conclusion :** d'après "Le trapèze complet" (Cf. Annexe 17) appliqué à  $BCDE$ ,  $A'$  est le milieu de  $[BC]$ .

<sup>105</sup> Hatzipolakis A., Another point, Message *Hyacinthos* # 1094 du 02/07/2000.

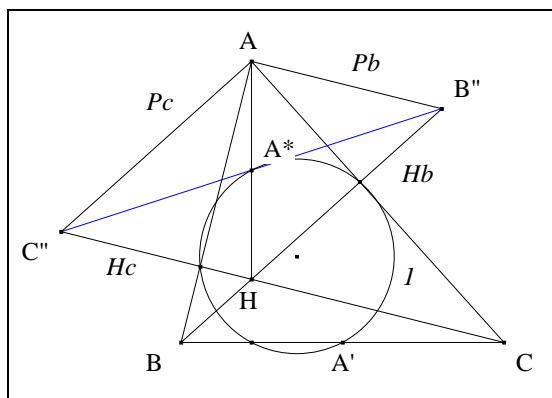
**Note historique :** cette situation est une réciproque d'un problème de Victor Thébault.

### VISUALISATION SUFFISANTE <sup>106</sup>

- D'après la visualisation nécessaire,  $(DE) // (BC)$ .
- D'après "Le trapèze complet" (Cf. Annexe 17) appliqué à BCDE,  $A', A$  et  $X$  sont alignés.
- **Conclusion :** d'après VIII. 1. D'une médiane à une hauteur,  $(AA')$  est perpendiculaire  $(B''C'')$ .

**Note historique :** cette situation de Victor Thébault a été résolu à partir d'une chasse angulaire.

**Scolies :** (1) l'observation de Paul Yiu <sup>107</sup>



- Le quadrilatère  $AB''HC''$  étant un parallélogramme, ses diagonales se coupent en leur milieu.
- Notons  $A^*$  ce point.
- Nous savons que  $A^*$  est le A-point d'Euler de ABC.
- Notons  $I$  le cercle d'Euler de ABC.
- **Conclusion :** d'après "Le cercle d'Euler" <sup>108</sup>,  $I$  passe par  $A^*$ .

(2) La remarque de Jean-Pierre Ehrmann <sup>109</sup>

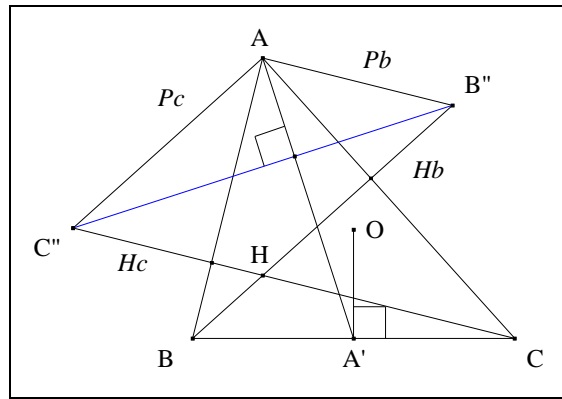
<sup>106</sup> Thébault V., Questions proposées, *L'Éducation mathématique* 50 (1947-48) 112, n° 9256 ; solution : *L'Éducation mathématique* 51 (1948-49) 6, n° 9256.

Hatzipolakis A., Another point, Message *Hyacinthos* # 1102 du 03/07/2000.

<sup>107</sup> Yiu P., Another point, Message *Hyacinthos* # 1104 du 03/07/2000.

<sup>108</sup> Ayme J.-L., Les cercles de Morley, Euler, Mannheim et Miquel, G.G.G., vol. 2 ; <http://pagesperso-orange.fr/jl.ayme/vol2.html>.

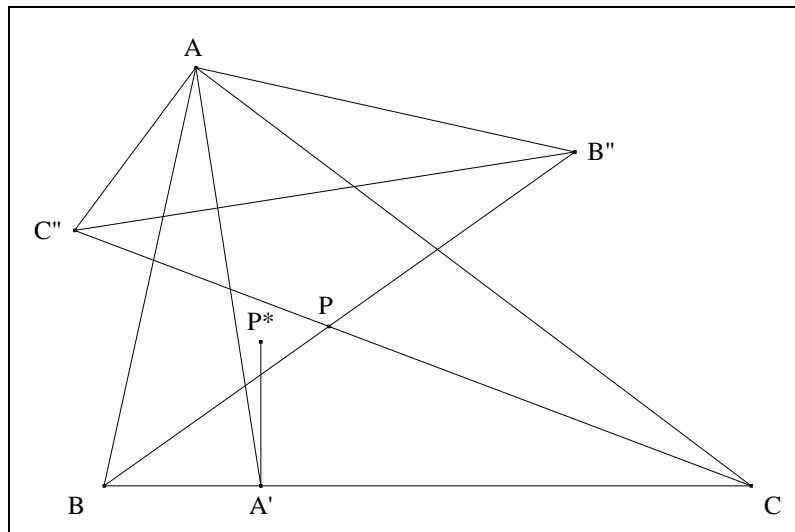
<sup>109</sup> Ehrmann J.-P., Another point, Message *Hyacinthos* # 1103 du 03/07/2000



- Notons  $O$  le centre du cercle circonscrit à  $ABC$ .
  - Nous savons que  $O$  est l'isogonal de  $H$  relativement à  $ABC$
  - **Conclusion :**  $A'$  est le  $A$ -sommet du triangle  $O$ -pédal relativement à  $ABC$ .
- (3) Exercice ou la généralisation de Jean-Pierre Ehrmann<sup>110</sup>

### VISION

Figure :



**Traits :**

$ABC$  un triangle,  
 $P$  un point,  
 $P^*$  l'isogonal de  $P$  relativement à  $ABC$ ,  
 $Pb, Pc$  les perpendiculaires resp. à  $(AB), (AC)$  en  $A$ ,  
 $B'', C''$  les points d'intersection de  $(BP)$  et  $Pb$ , de  $(CP)$  et  $Pc$ ,  
 et  $A'$  un point de  $(BC)$ .

**Donné :**  $(AA')$  est perpendiculaire  $(B''C'')$   
*si, et seulement si,*  
 $(A'P^*)$  est perpendiculaire à  $(BC)$ .<sup>111</sup>

<sup>110</sup> Ehrmann J.-P., Another point, Message *Hyacinthos* # 1103 du 03/07/2000

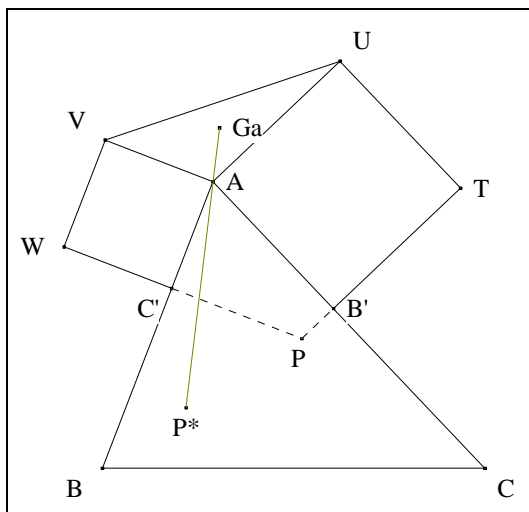
<sup>111</sup> La réciproque est une idée de l'auteur.

Ayme J.-L., Two perpendicular lines, *Mathlinks* du 06/05/2009 ; <http://www.mathlinks.ro/Forum/viewtopic.php?t=275376>.

## 2. Un résultat de Floor van Lamoen

### VISION

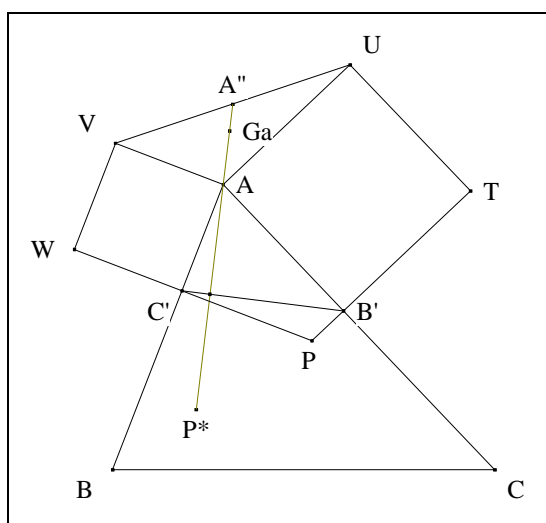
Figure :



**Traits :**  $ABC$  un triangle,  
 $P$  un point,  
 $B', C'$  les pieds des perpendiculaires issues de  $P$  resp. sur  $(AC)$ ,  $(AB)$ ,  
 $B'TUA, C'AVW$  deux carrés extérieurs à  $ABC$ ,  
 $Ga$  le point médian du triangle  $AUV$   
 et  $P^*$  le conjugué isogonal de  $P$  relativement à  $ABC$ .

**Donné :**  $P^*, A$  et  $Ga$  sont alignés <sup>112</sup>.

### VISUALISATION



• Notons  $A''$  le milieu du segment  $[UV]$ .

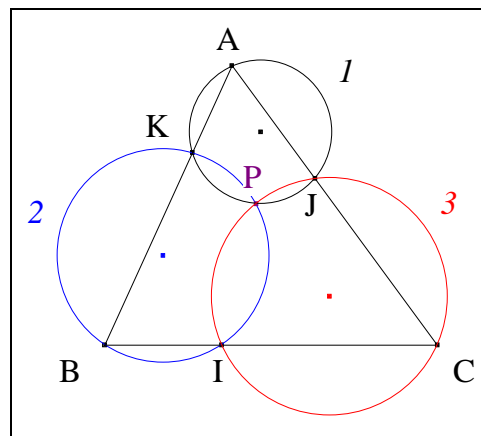
<sup>112</sup> van Lamoen F., Pedal flanks, Message *Hyacinthos* # 6097 du 01/12/2002.

- **Scolie :**  $A''$ ,  $G_a$  et  $A$  sont alignés.
- D'après VI. 1. D'une hauteur à une médiane, la  $A$ -médiane de  $AUV$  est la  $A$ -hauteur du triangle  $AC'B'$ .
- D'après Vigarié "Isogonale et perpendiculaire" (Cf. Annexe 12), la  $A$ -hauteur de  $AC'B'$  i.e.  $(AG_a)$  est l'isogonale de  $(AP)$  relativement à  $ABC$  ; en conséquence,  $(AG_a)$  passe par  $P^*$ .
- **Conclusion :**  $P^*$ ,  $A$  et  $G_a$  sont alignés.

**Note historique :** Floor van Lamoën a directement considéré la vision triangulaire ; sous ce point de vue, il propose trois droites concourantes en  $P^*$ .

## D. ANNEXE

### 1. Le théorème du pivot<sup>113</sup>

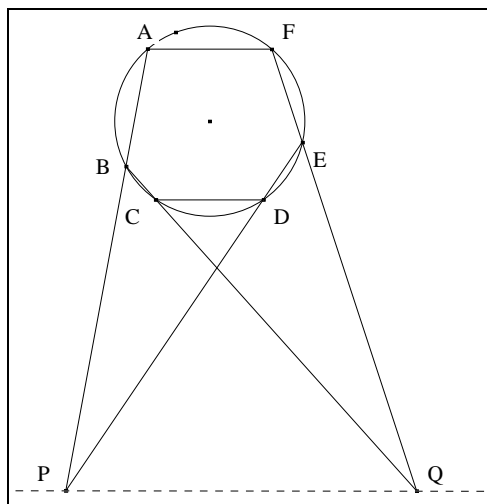


**Traits :**  $I, 2, 3$  trois cercles sécants deux à deux,  
 $K, P$  les points d'intersection de  $I$  et  $2$ ,  
 $I$  l'un des points d'intersection de  $2$  et  $3$ ,  
 $J$  l'un des points d'intersection de  $3$  et  $I$ ,  
 $A$  un point de  $I$ ,  
 $B$  le second point d'intersection de la monienne  $(AK)$  avec  $2$   
 et  $C$  le second point d'intersection de la monienne  $(BI)$  avec  $3$ .

**Donné :**  $(CJA)$  est une monienne de  $3$  et  $I$  si, et seulement si,  $3$  passe par  $P$ .

### 2. Un résultat d'Aubert<sup>114</sup>

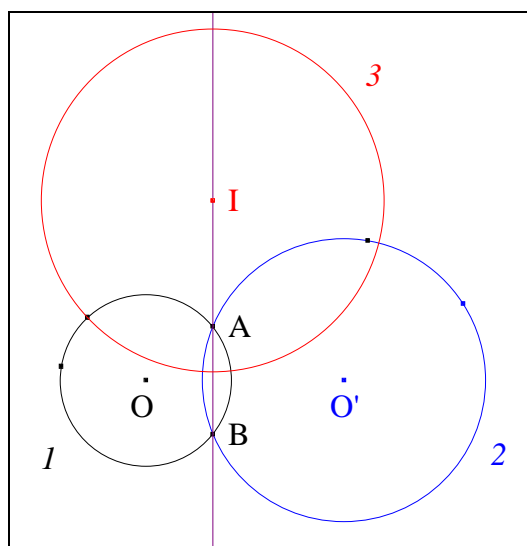
<sup>113</sup> Miquel, Théorèmes de Géométrie, *Journal de mathématiques pures et appliquées* de Liouville vol. 1, 3 (1838) 485-487.  
<sup>114</sup> La condition nécessaire est de Paul Aubert.



**Traits :**  $I$  un cercle,  
 ABCDE un pentagone inscrit dans  $I$ ,  
 F un point tel que (AF) soit parallèle à (CD)  
 et P, Q les points d'intersection de (AB) et (DE), de (BC) et (EF).

**Donné :** F est sur  $I$  si, et seulement si, (PQ) et (AF) sont parallèles.

### 3. Axe radical de deux cercles sécants<sup>115</sup>



**Traits :**  $1, 2$  deux cercles sécants,  
 $O, O'$  les centres de  $1, 2$ ,  
 $A, B$  les points d'intersection de  $1$  et  $2$ ,  
 $3$  un cercle orthogonal à  $2$   
 et  $I$  le centre de  $3$ .

**Donné :**  $I$  est sur la droite (AB) si, et seulement si,  $3$  est orthogonal à  $2$ .

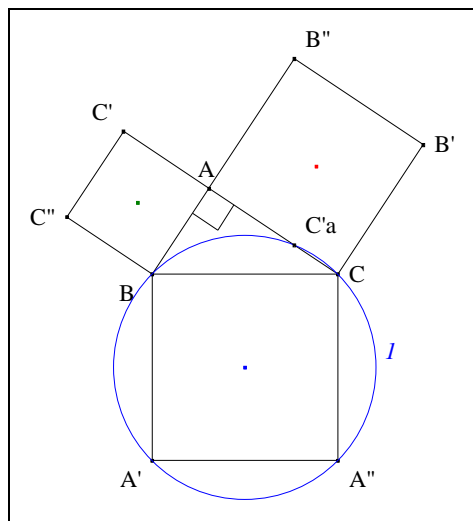
### 4. Un point sur $I$

## VISION

<sup>115</sup>

Gautier (de Tours) Louis, Les contacts des cercles, *Journal de l'École Polytechnique, Cahier 16* (1813) 124-214.

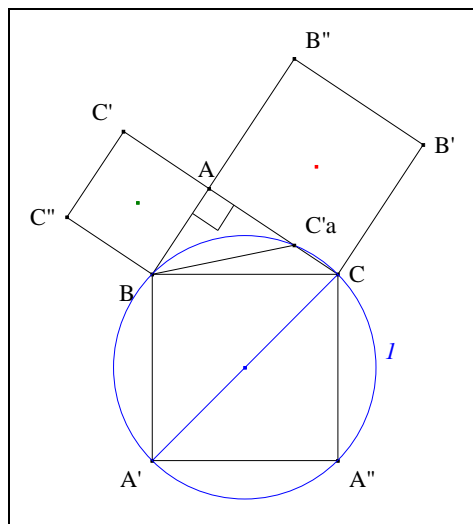
Figure :



**Traits :**  $ABC$  un triangle rectangle en  $A$ ,  
 $CB'B''A$ ,  $AC'C''B$ ,  $BA'A''C$  trois carrés resp. extérieurs à  $ABC$ ,  
 $I$  le cercle circonscrit à  $BA'A''C$   
 et  $C'a$  le symétrique de  $C'$  par rapport à  $A$ .

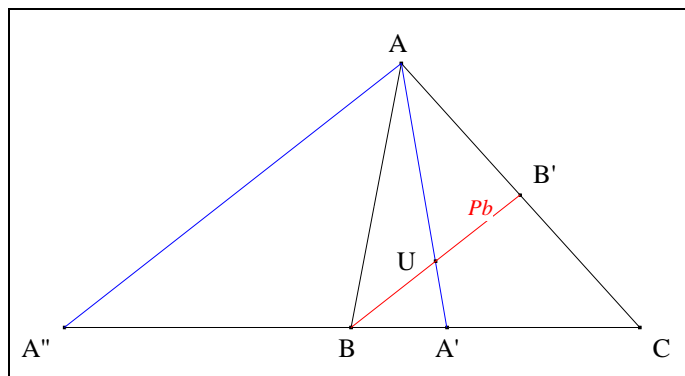
**Donné :**  $C'a$  est sur  $I$ .

### VISUALISATION



- Notons  $X$  le second point d'intersection de  $(CAC')$  avec  $I$ .
- Le quadrilatère  $A'CXB$  étant cyclique,  
 en conséquence,  $\angle AXB = \angle CA'B (= 45^\circ)$  ;  
 le triangle  $ABX$  est rectangle-isocèle en  $A$ .
- Nous avons :  
 en conséquence,  $AX = AB = AC'$  ;  
 $X$  et  $C'a$  sont confondus.
- **Conclusion :**  $C'a$  est sur  $I$ .

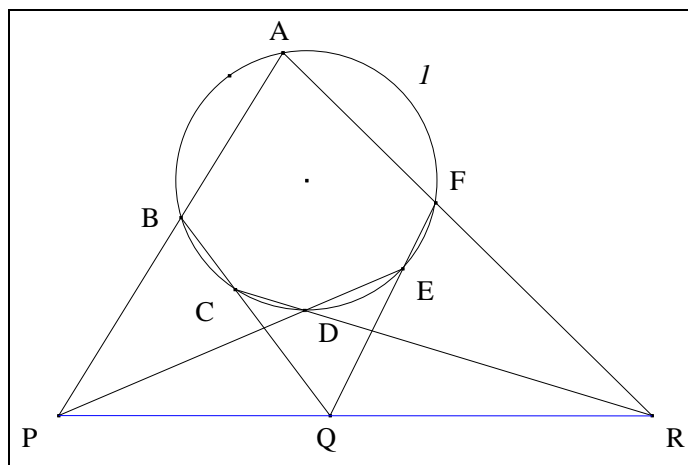
### 5. La proposition 137 de Pappus <sup>116</sup>



**Traits :** ABC un triangle,  
 A', A'' deux points de (BC),  
 Pb une B-cévienne de ABC,  
 B', U les points d'intersection de Pb resp. avec (AC), (AA').

**Donné :** la quaterne (B, C, A', A'') est harmonique  
*si, et seulement si,*  
 U est le milieu de [BB'].

### 6. Hexagramma mysticum <sup>117</sup>



**Traits :** I un cercle,  
 ABCDEF un hexagone tels que les points A, B, C, D, E soient sur I,  
 et P, Q, R les points d'intersection de (AB) et (DE), (BC) et (EF), (CD) et (FA).

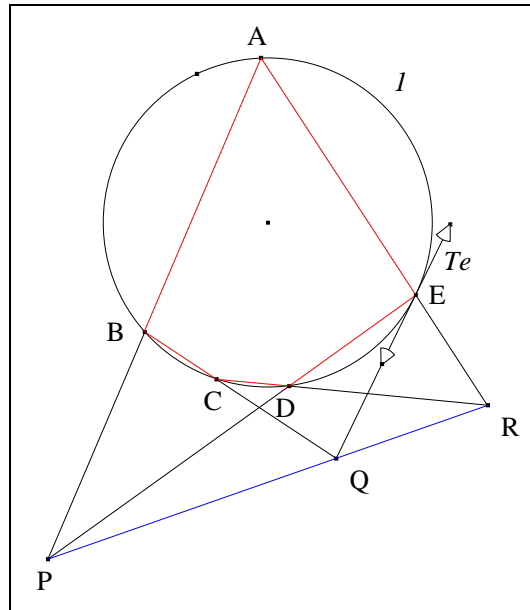
**Donné :** F est sur I *si, et seulement si,* les points P, Q et R sont alignés.

### 7. Pentagramma mysticum <sup>118</sup>

<sup>116</sup> Pappus, *Collections*, Livre VII.

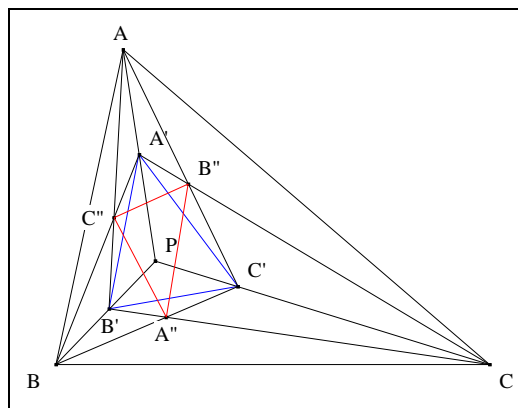
<sup>117</sup> Pascal B. (1640)

<sup>118</sup> Carnot, *De la corrélation des figures de Géométrie* (1801) 455-456.



- Traits :**  $I$  un cercle,  
 ABCDEA un pentagone tels que les points A, B, C, E soient sur  $I$ ,  
 $T_e$  la tangente à  $I$  en E  
 et P, Q, R les points d'intersection des droites (AB) et (DE), (BC) et  $T_e$ , (CD) et (EA).
- Donné :** D est sur  $I$  si, et seulement si, les points P, Q et R sont alignés.

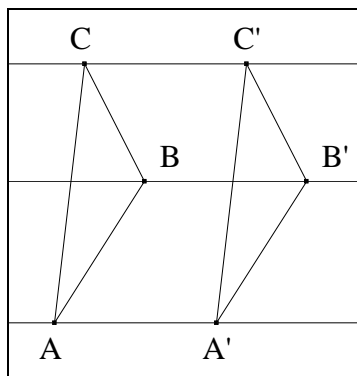
### 8. Le théorème desmique <sup>119</sup>



- Traits :** ABC un triangle,  
 A'B'C' un triangle en perspective avec ABC,  
 P le centre de perspective,  
 et A'', B'', C'' les points d'intersection resp. de (BC') et (B'C), de (CA') et (C'A),  
 de (AB') et (A'B).
- Donné :** ABC et A''B''C'' sont en perspectives.

### 9. Le petit théorème de Desargues

<sup>119</sup> Papelier G., *Exercices de Géométrie Moderne*, Paris (1927), Rééditions Jacques Gabay, Paris (1996) ;  
 Division et faisceau harmoniques n° 37 p. 28 ;  
 ce résultat a été redécouvert par Floor van Lamoën.

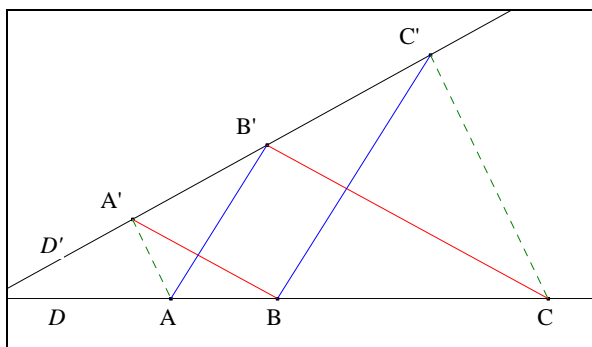


**Traits :**  $ABC$  un triangle,  
 et  $A'B'C'$  un triangle tel que

- (1)  $(AA')$  soit strictement parallèle à  $(BB')$
- (2)  $(AB)$  soit parallèle à  $(A'B')$
- (3)  $(BC)$  soit parallèle à  $(B'C')$

**Donné :**  $(CC')$  est parallèle à  $(BB')$  *si, et seulement si,*  $(AC)$  est parallèle à  $(A'C')$ .

### 10. Le petit théorème de Pappus<sup>120</sup>

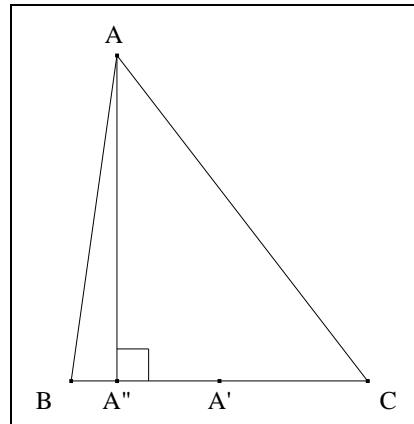


**Traits :**  $D, D'$  deux droites,  
 $A, B, C$  trois points pris dans cet ordre sur  $D$ ,  
 $B'$  un point  
 et  $A', C'$  deux points de  $D'$  tels que  $(AB') \parallel (BC')$  et  $(A'B) \parallel (B'C)$ .

**Donné :**  $B'$  est sur  $D'$  *si, et seulement si,*  $(AA')$  et  $(CC')$  sont parallèles.

### 11. Différence de deux carrés

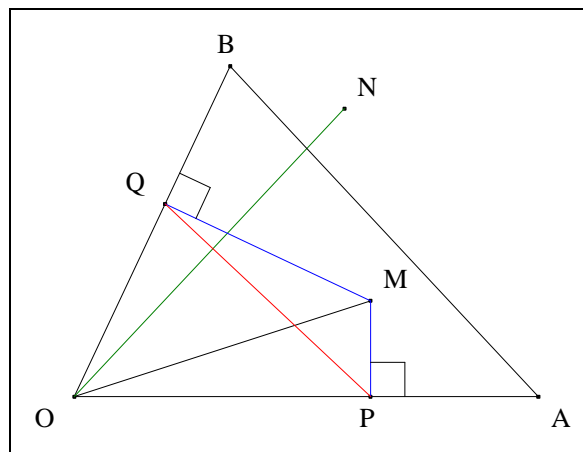
<sup>120</sup>



**Traits :** ABC un triangle,  
 A' le milieu de [AB],  
 et A'' le pied de la perpendiculaire abaissée de A sur (BC).

**Donné :**  $AB^2 - AC^2 = 2 \cdot \overline{BC} \cdot \overline{A'A''}$ .

## 12. Isogonale et perpendiculaires <sup>121</sup>

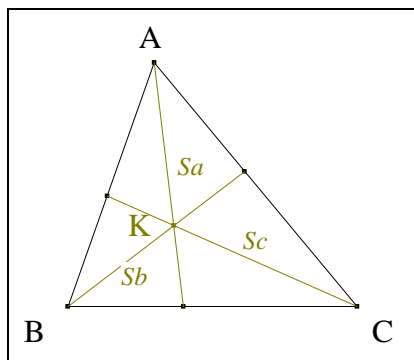


**Traits :** OAB un triangle,  
 M un point,  
 P, Q les pieds des perpendiculaires abaissées de M resp. sur (OA), (OB),  
 et N un point.

**Donné :** (ON) est l'isogonale de (OM) relativement à (OA) et (OB)  
*si, et seulement si,*  
 (ON) est perpendiculaire à (PQ).

## 13. Le point de Lemoine

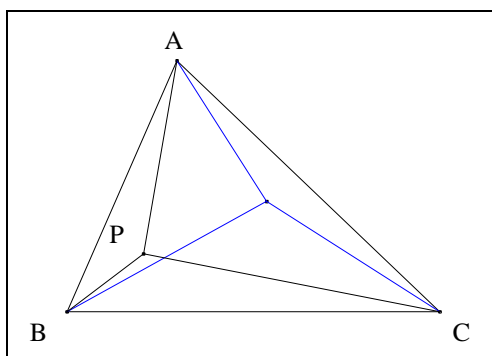
<sup>121</sup> Vigarié E., *Journal de Mathématiques Élémentaires* (1885) 33-.



**Traits :** ABC un triangle  
 et  $S_a, S_b, S_c$  les A, B, C-symédianes de ABC.

**Donné :**  $S_a, S_b$  et  $S_c$  sont concourantes<sup>122</sup>.

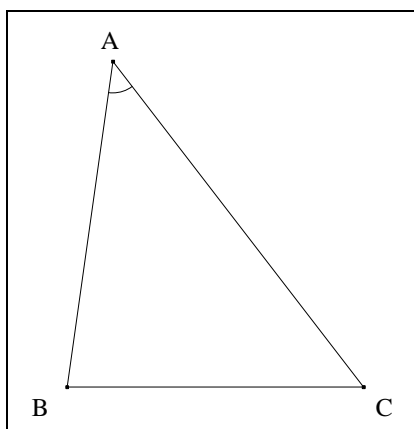
#### 14. The isogonal theorem <sup>123</sup>



**Traits :** ABC un triangle,  
 P un point non situé sur le cercle circonscrit de ABC  
 et  $D_a, D_b, D_c$  les isogonales resp. de (AP), (BP), (CP).

**Donné :**  $D_a, D_b$  et  $D_c$  sont concourantes.

#### 15. La formule d'al-Kaschi



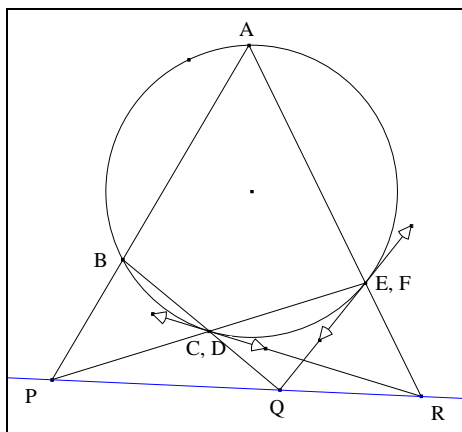
**Traits :** ABC un triangle,

<sup>122</sup> Lemoine E., Sur un point remarquable du triangle, Congrès de Lyon (1873).  
<sup>123</sup> Mathieu J. J. A., *Nouvelles Annales* (1865) 393 ff., 400.

et  $A'$  le milieu de  $[AB]$ ,  
 $A''$  le pied de la perpendiculaire abaissée de  $A$  sur  $(BC)$ .

**Donné :**  $BC^2 = AB^2 + AC^2 - 2 \cdot AB \cdot AC \cdot \cos \angle BAC$ .

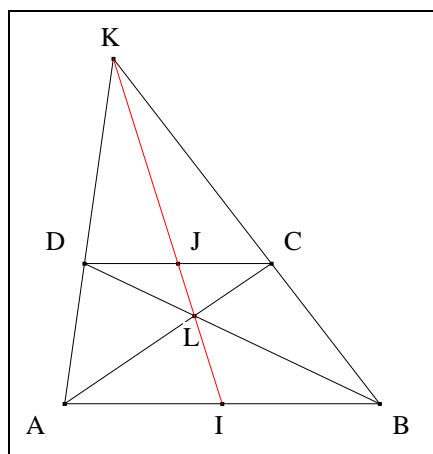
### 16. Tetragramma mysticum



**Traits :**  $O$  un cercle,  
 $ABCEA$  un quadrilatère tels que les points  $A, C, E$  soient sur  $O$ ,  
 $T_c, T_e$  les tangentes à  $O$  resp. en  $C, E$   
 et  $P, Q, R$  les points d'intersection resp. de  $(AB)$  et  $(CE)$ ,  $(BC)$  et  $T_e$ ,  $T_c$  et  $(EA)$ .

**Donné :**  $B$  est sur  $O$  si, et seulement si,  $P, Q$  et  $R$  sont alignés.

### 17. Le trapèze complet



**Traits :**  $ABCD$  un quadrilatère,  
 $I$  le milieu de  $[AB]$ ,  
 $J$  le milieu de  $[CD]$ ,  
 $K$  le point d'intersection de  $(AD)$  et  $(BC)$   
 et  $L$  le point d'intersection de  $(AC)$  et  $(BD)$ .

**Donné :**  $ABCD$  est un trapèze de bases  $(AB)$  et  $(CD)$   
 si, et seulement si,  
 $I, J, K$  et  $L$  sont alignés.